

COMMITTENTE:



PROGETTAZIONE:



U.O. INFRASTRUTTURE SUD

PROGETTO DEFINITIVO

**LINEA SALERNO - PONTECAGNANO AEROPORTO
COMPLETAMENTO METROPOLITANA DI SALERNO
TRATTA ARECHI - PONTECAGNANO AEROPORTO**

FABBRICATI

SSE km 5+750 - FA01 - Fabbricato Sse

Relazione di calcolo strutture di elevazione

SCALA:

-

COMMESSA LOTTO FASE ENTE TIPO DOC. OPERA/DISCIPLINA Progr. REV.

NN1X 00 D 78 CL FA0100 002 B

Rev.	Descrizione	Redatto	Data	Verificato	Data	Approvato	Data	Autorizzato Data
A	Emissione Esecutiva	F.Durastanti	Ott-2020	G.Romano	Ott-2020	M.D'Avino	Ott-2020	D.Tiberti
B	Emissione Esecutiva	F.Durastanti	Gen-2021	G.Romano	Gen-2021	M.D'Avino	Gen-2021	Gen-2021

ITALFERR S.p.A.
Gruppo Ferrovie dello Stato
Direzione Geniale
UO Infrastrutture Sud
Dott. Ing. Dante Tiberti
Ordine degli Ingegneri Prov. di Napoli n. 10576

NN1X.0.0.D.78.CL.FA.01.0.0.002.B

n. Elab.:

INDICE

1	PREMESSA	3
2	SCOPO DEL DOCUMENTO	3
3	DOCUMENTI DI RIFERIMENTO.....	5
3.1	DOCUMENTI REFERENZIATI	5
3.2	DOCUMENTI CORRELATI	6
4	CARATTERISTICHE DEI MATERIALI	7
4.1	CEMENTO ARMATO.....	7
4.1.1	CALCESTRUZZO	7
4.1.2	ACCIAIO D'ARMATURA IN BARRE TONDE AD ADERENZA MIGLIORATA.....	8
4.1.3	COPRIFERRO	9
5	TERRENO DI FONDAZIONE	10
6	ANALISI DEI CARICHI	11
6.1	PESO PROPRIO STRUTTURE	11
6.1.1	SOLAIO DI COPERTURA	11
6.1.2	STRUTTURA PRINCIPALE IN C.A.	12
6.2	CARICHI PERMANENTI NON STRUTTURALI	12
6.3	SOVRACCARICO ACCIDENTALE	13
6.4	AZIONE DELLA NEVE	13
6.5	AZIONE DEL VENTO	14
6.6	VARIAZIONI TERMICHE.....	18
6.7	EFFETTI AERODINAMICI ASSOCIATI AL PASSAGGIO DEI CONVOGLI	19
6.8	AZIONE SISMICA.....	20
7	MODELLO STRUTTURALE E COMBINAZIONI DI CARICO	29
7.1	CONSIDERAZIONI GENERALI SUL MODELLO DI CALCOLO	29
7.2	COMBINAZIONI DELLE AZIONI	40

7.3 ANALISI MODALE	43
8 VERIFICHE STRUTTURALI	45
8.1 SOLAIO DI COPERTURA	45
8.2 VERIFICHE DEGLI ELEMENTI NON STRUTTURALI E DEGLI IMPIANTI	53
8.3 TRAVI DI BORDO 30X40	57
8.3.1 VERIFICA A FLESSIONE	62
8.3.2 VERIFICA A TAGLIO E TORSIONE	66
8.3.3 VERIFICA LIMITAZIONI ARMATURA	69
8.4 TRAVI INTERNE 30X50	71
8.4.1 VERIFICA A FLESSIONE	74
8.4.2 VERIFICA A TAGLIO E TORSIONE	77
8.4.3 VERIFICA LIMITAZIONI ARMATURA	80
8.5 PILASTRI D'ANGOLO (30X70)	82
8.5.1 VERIFICA A FLESSIONE	84
8.5.2 VERIFICA LIMITAZIONI ARMATURA	90
8.6 PILASTRI INTERNI (30X70)	93
8.6.1 VERIFICA A FLESSIONE	94
8.6.2 VERIFICA LIMITAZIONI ARMATURA	100
8.7 VERIFICA DEGLI ELEMENTI STRUTTURALI IN TERMINI DI CONTENIMENTO DEL DANNO AGLI ELEMENTI NON STRUTTURALI (SLO)	103
9 REAZIONI VINCOLARI	104
10 VERIFICHE AL FUOCO	106
10.1 RESISTENZA AL FUOCO: TRAVI	106
10.2 RESISTENZA AL FUOCO: PILASTRI	107
10.3 RESISTENZA AL FUOCO: SOLAI	107
11 CONCLUSIONI	108

Relazione di calcolo strutture di elevazione

COMMESSA	LOTTO	CODIFICA	DOCUMENTO	REV	FOGLIO
NN1X	00 D 78	CL	FA 01 00 002	B	3 di 108

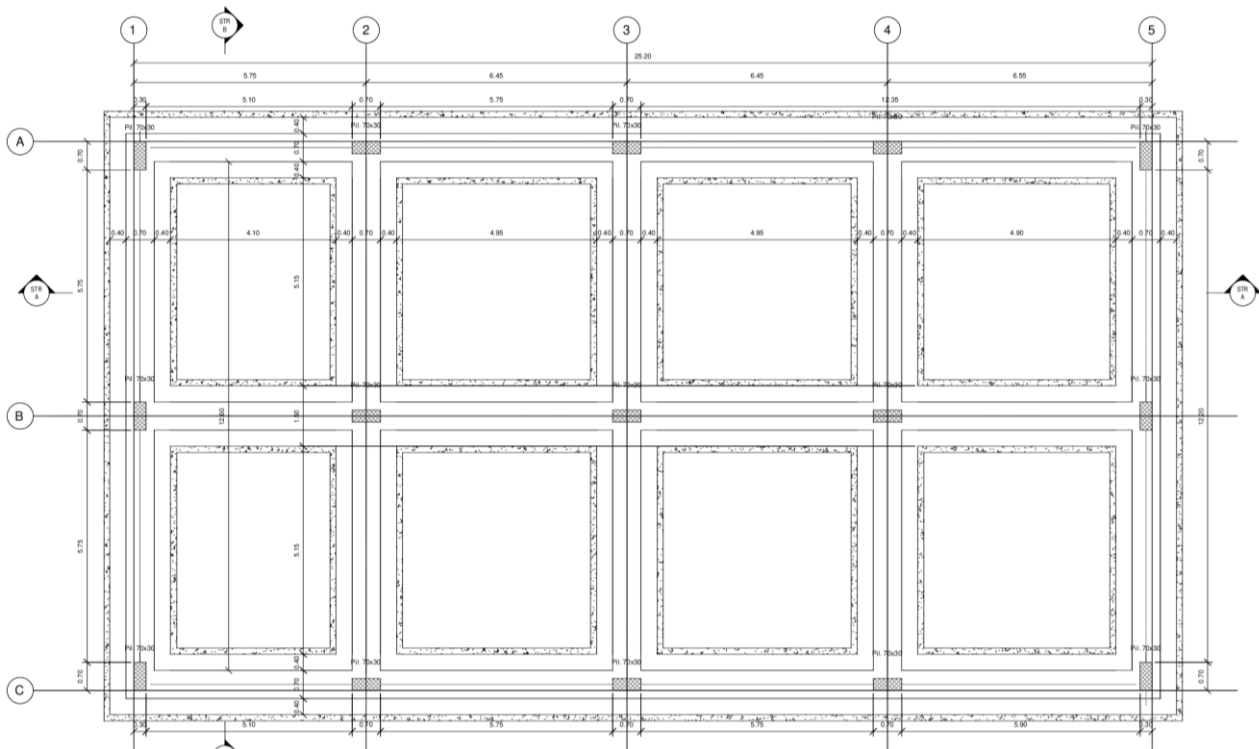
1 PREMESSA

Il presente documento è emesso nell'ambito dello sviluppo della Progettazione Definitiva per il completamento della Linea Salerno – Pontecagnano Aeroporto, tratta Arechi – Pontecagnano Aeroporto.

Nel presente elaborato viene calcolato il "Fabbricato SSE Km 5+750", di dimensioni pari a 25,58 x 13,98 m, che verrà realizzato all'interno della SSE al Km 5+750:

2 SCOPO DEL DOCUMENTO

Lo scopo del presente documento è quello di calcolare e verificare le strutture in elevazione del "Fabbricato SSE Km 5+750".



Carpenteria Fondazione
 1:50

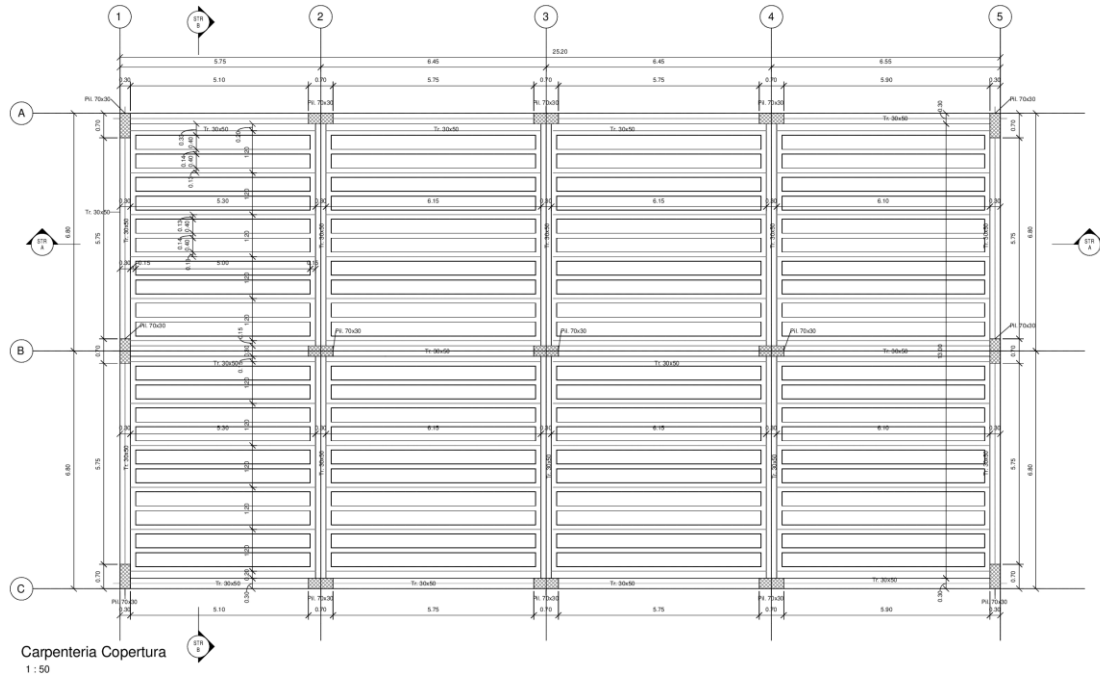


Figura 2-1 – Carpenteria Fondazione e Copertura.

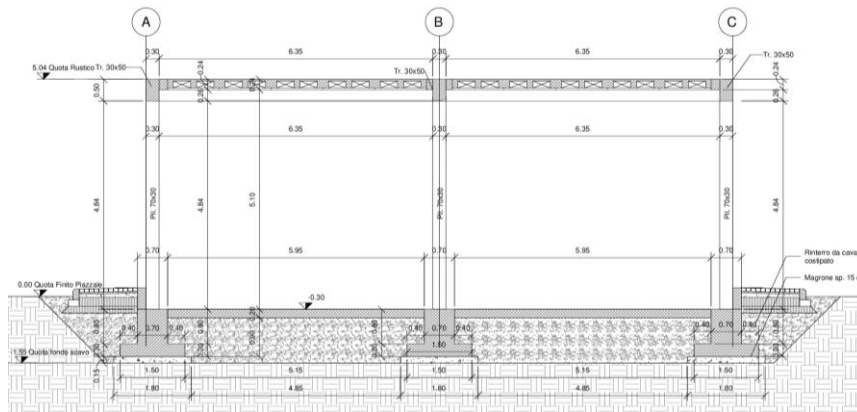
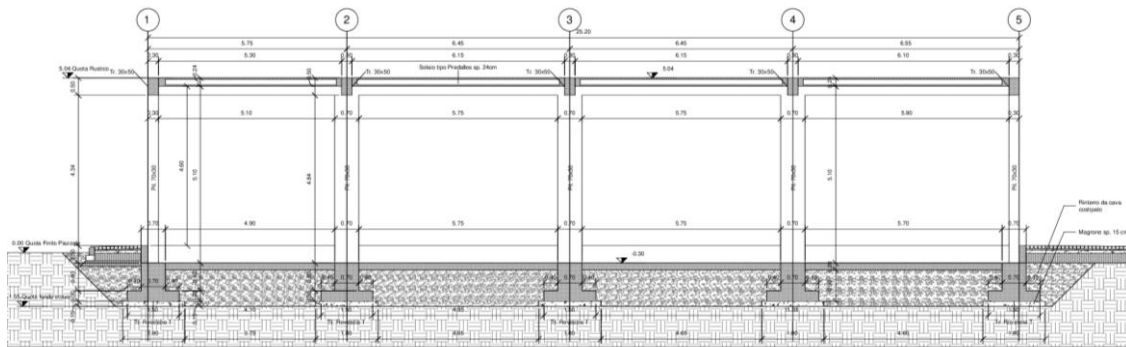


Figura 2-2 – Sezione longitudinale e trasversale.

 <p>ITALFERR GRUPPO FERROVIE DELLO STATO ITALIANE</p>	<p>LINEA SALERNO - PONTECAGNANO AEROPORTO COMPLETAMENTO METROPOLITANA DI SALERNO TRATTA ARECHI - PONTECAGNANO AEROPORTO PROGETTO DEFINITIVO Fabbricati – SSE Km 5+750 – FA01 – Fabbricato SSE</p>												
<p>Relazione di calcolo strutture di elevazione</p>	<table border="1"> <thead> <tr> <th>COMMESSA</th> <th>LOTTO</th> <th>CODIFICA</th> <th>DOCUMENTO</th> <th>REV</th> <th>FOGLIO</th> </tr> </thead> <tbody> <tr> <td>NN1X</td> <td>00 D 78</td> <td>CL</td> <td>FA 01 00 002</td> <td>B</td> <td>5 di 108</td> </tr> </tbody> </table>	COMMESSA	LOTTO	CODIFICA	DOCUMENTO	REV	FOGLIO	NN1X	00 D 78	CL	FA 01 00 002	B	5 di 108
COMMESSA	LOTTO	CODIFICA	DOCUMENTO	REV	FOGLIO								
NN1X	00 D 78	CL	FA 01 00 002	B	5 di 108								

La struttura in pianta del fabbricato ha forma rettangolare avente le seguenti dimensioni 25.58 m x 13.98 m, comprensiva del rivestimento. Il sistema strutturale è caratterizzato da un telaio spaziale monolivello avente copertura piana costituito da due campate in direzione trasversale di luce 5.90 m mentre, parallelamente al lato lungo, è suddiviso in 4 campate di luce massima pari a 6.15 m.

La struttura relativa alla parte in elevazione è costituita da travi e pilastri in cemento armato. Il solaio di copertura è del tipo semiprefabbricato a prédalles, con getto in opera dei travetti e della caldana superiore. Lo spessore totale del solaio di copertura è di 24 cm e comprende 4 cm di prédalles, 16 cm di nervature e 4 cm di caldana superiore. Le lastre in c.a. sono larghe 120 cm e presentano tre tralici metallici di irrigidimento ed elementi di alleggerimento delimitanti le nervature intermedie. Il solaio è ordito secondo la direzione longitudinale del fabbricato in modo da essere poggiato direttamente sui telai trasversali disposti ad interasse che vanno da 5.90 m a 6.15 m. I pilastri hanno dimensione in pianta di 30x70 cm, le travi longitudinali hanno dimensioni 30x40 cm, le travi trasversali invece sono 30x50.

Le fondazioni dell'edificio sono di tipo diretto, costituite da un graticcio di travi a T rovesce con spessore dell'anima pari a 70 cm, altezza di 100 cm larghezza suola pari a 150 cm e spessore della suola di 30 cm. Al di sotto delle fondazioni è previsto uno strato di magrone di spessore 10 cm debordante l'impronta delle fondazioni di 10 cm.

3 DOCUMENTI DI RIFERIMENTO

3.1 DOCUMENTI REFERENZIATI

La progettazione è conforme alle normative vigenti nonché ai manuali di progettazione societari.

La normativa cui viene fatto riferimento nelle fasi di calcolo e progettazione è la seguente:

- Rif. [1] - Norme tecniche per le costruzioni - D.M. 17/01/2018 (NTC-2018)
- Rif. [2] - Circolare n. 7 del 21 gennaio 2019 - Istruzioni per l'Applicazione dell'aggiornamento delle Norme Tecniche per le Costruzioni di cui al Decreto Ministeriale 17 gennaio 2018;
- Rif. [3] – Regolamento (UE) N. 1299/2014 della Commissione del 18 novembre 2014 relativo alle specifiche tecniche di interoperabilità per il sottosistema “infrastruttura” del sistema ferroviario dell'Unione Europea, modificato dal Regolamento di esecuzione (UE) N° 2019/76 della Commissione del 16/ maggio 2019;
- Rif. [4] – Eurocodici EN 1991-2:2003/AC:2010 – Eurocodice 1 – Parte 2
- Rif. [5] – RFI DTC SI MA IFS 001 D del 20 dicembre 2019 – Manuale di Progettazione delle Opere Civili

Relazione di calcolo strutture di elevazione

COMMESSA	LOTTO	CODIFICA	DOCUMENTO	REV	FOGLIO
NN1X	00 D 78	CL	FA 01 00 002	B	6 di 108

3.2 DOCUMENTI CORRELATI

I documenti correlati sono:

- Rif. [6] Fabbricati – SSE Km 5+750 – FA01 – Fabbricato SSE -
Pianta prospetto e sezioni fabbricato NN1X.0.0.D.78.PZ.FA.01.0.0.001.
- Rif. [7] Fabbricati – SSE Km 5+750 – FA01 – Fabbricato SSE -
Pianta fili fissi e pianta fondazioni NN1X.0.0.D.78.PB.FA.01.0.0.001.
- Rif. [8] Fabbricati – SSE Km 5+750 – FA01 – Fabbricato SSE -
Pianta copertura e carpenteria solai NN1X.0.0.D.78.PZ.FA.01.0.0.002.
- Rif. [9] Fabbricati – SSE Km 5+750 – FA01 – Fabbricato SSE -
Carpenteria pilastri e travi NN1X.0.0.D.78.BB.FA.01.0.0.001.
- Rif. [10] Fabbricati – SSE Km 5+750 – FA01 – Fabbricato SSE
- Carpenteria travi di fondazione NN1X.0.0.D.78.BB.FA.01.0.0.002.

4 CARATTERISTICHE DEI MATERIALI

4.1 CEMENTO ARMATO

4.1.1 Calcestruzzo

Si riportano di seguito due tabelle riepilogative del tipo e delle caratteristiche del calcestruzzo adottato per i diversi elementi strutturali:

	Solaio in lastre predalles	Struttura in elevazione	Fondazioni
Classe di resistenza	C32/40	C30/37	C25/30
Classe di esposizione	XC3	XC3	XC2
Condizioni ambientali	ordinarie	ordinarie	ordinarie
Rapporto acqua/cemento		0,55	0,60

		Solaio in lastre predalles	Struttura in elevazione	Fondazioni
R _{ck}	(N/mm ²)	40	37	30
f _{ck}	(N/mm ²)	32	30	25
f _{cm}	(N/mm ²)	40	36	33
α _{cc}	(-)	0,85	0,85	0,85
γ _c	(-)	1,5	1,5	1,5
f _{cd}	(N/mm ²)	18,1	17,4	14,17
f _{ctm}	(N/mm ²)	3,02	2,94	2,56
f _{ctk}	(N/mm ²)	2,12	3,82	1,79
f _{ctd}	(N/mm ²)	1,41	1,40	1,19
f _{cfm}	(N/mm ²)	3,62	3,52	3,07
f _{cfk}	(N/mm ²)	2,54	2,46	2,15
E _c	(N/mm ²)	33346	33019	31476

Dove:

R_{ck} = Resistenza cubica caratteristica a compressione

f_{ck} = 0.83·R_{ck} = Resistenza cilindrica caratteristica

Relazione di calcolo strutture di elevazione

COMMESSA	LOTTO	CODIFICA	DOCUMENTO	REV	FOGLIO
NN1X	00 D 78	CL	FA 01 00 002	B	8 di 108

 $f_{cm} = f_{ck} + 8 \text{ (N/mm}^2\text{)} = \text{Resistenza cilindrica media a compressione}$
 $\alpha_{cc} = \text{Coefficiente per effetti a lungo termine e sfavorevoli: } \alpha_{cc} \text{ (t > 28gg)} = 0.85$
 $\gamma_c = 1.5$; viene ridotto a 1.4 per produzioni continuative di elementi o strutture soggette a controllo continuativo del calcestruzzo dal quale risulti un coefficiente di variazione (rapporto tra scarto quadratico medio e valore medio della resistenza) non superiore al 10%.

 $f_{cd} = \frac{\alpha_{cc} \cdot f_{ck}}{\gamma_c} = \text{Resistenza di calcolo a compressione}$

compressione

 $f_{ctm} = 0.3 \cdot (f_{ck})^{2/3}$ [per classi \leq C50/60] = Resistenza cilindrica media a trazione

 $f_{ctk} = 0.7 \cdot f_{ctm} = \text{Resistenza cilindrica caratteristica a trazione}$
 $f_{ctd} = \frac{f_{ctk}}{\gamma_c} = \text{Resistenza di calcolo a trazione}$
 $f_{cfm} = 1.2 \cdot f_{ctm} = \text{Resistenza media a trazione per flessione}$
 $f_{cfk} = 0.7 \cdot f_{cfm} = \text{Resistenza cilindrica caratteristica a trazione}$
 $E_{cm} = 22000 \cdot \left(\frac{f_{cm}}{10} \right)^{0.3} = \text{Modulo Elastico}$

Coefficiente di Poisson:

Secondo quanto prescritto al punto 11.2.10.4 della NTC2018, per il coefficiente di Poisson può adottarsi, a seconda dello stato di sollecitazione, un valore compreso tra 0 (calcestruzzo fessurato) e 0.2 (calcestruzzo non fessurato).

Coefficiente di dilatazione termica:

 In sede di progettazione, o in mancanza di una determinazione sperimentale diretta, per il coefficiente di dilatazione termica del calcestruzzo può assumersi un valore medio pari a $10 \times 10^{-6} \text{ } ^\circ\text{C}^{-1}$ (NTC2018 – 11.2.10.5).

4.1.2 Acciaio d'armatura in barre tonde ad aderenza migliorata

Si adotta acciaio tipo B450C come previsto al punto 11.3.2.1 delle NTC2018, per il quale si possono assumere le seguenti caratteristiche:

Resistenza a trazione – compressione:

 $f_{tk} = 540 \text{ N/mm}^2 = \text{Resistenza caratteristica di rottura}$
 $f_{yk} = 450 \text{ N/mm}^2 = \text{Resistenza caratteristica a snervamento}$
 $f_{yd} = \frac{f_{yk}}{\gamma_s} = 391.3 \text{ N/mm}^2 = \text{Resistenza di calcolo}$

dove:

Relazione di calcolo strutture di elevazione

COMMESSA	LOTTO	CODIFICA	DOCUMENTO	REV	FOGLIO
NN1X	00 D 78	CL	FA 01 00 002	B	9 di 108

 $\gamma_s = 1.15 =$ Coefficiente parziale di sicurezza relativo all'acciaio.

Modulo Elastico:
 $E_s = 210000 \text{ N/mm}^2$
Tensione tangenziale di aderenza acciaio-calcestruzzo:

		Solaio in lastre predalles	Struttura in elevazione	Fondazioni
f_{bk}	(N/mm ²)	4.36	4,36	4,36
f_{bd}	(N/mm ²)	2.90	2,90	2,90

dove:

 $f_{bk} = 2.25 \cdot \eta \cdot f_{ctk} =$ Resistenza tangenziale caratteristica di aderenza

 $f_{bd} = \frac{f_{bk}}{\gamma_c} =$ Resistenza tangenziale di aderenza di calcolo

 $\eta = 1.0$ – per barre di diametro $\Phi \leq 32 \text{ mm}$;

 $\gamma_c = 1.5$ – Coefficiente parziale di sicurezza relativo al calcestruzzo.

4.1.3 Copriferro

Con riferimento al punto 4.1.6.1.3 delle NTC, al fine della protezione delle armature dalla corrosione il valore minimo dello strato di ricoprimento di calcestruzzo (copriferro) deve rispettare quanto indicato nella tabella C4.1.IV della Circolare 21.01.2019, n. 7 C.S.LL.PP, riportata di seguito, nella quale sono distinte le tre condizioni ambientali di Tabella 4.1.III delle NTC.

			barre da c.a. elementi a piastra		barre da c.a. altri elementi		cavi da c.a.p elementi a piastra		cavi da c.a.p altri elementi	
C_{min}	C_o	ambiente	$C \geq C_o$	$C_{min} \leq C < C_o$	$C \geq C_o$	$C_{min} \leq C < C_o$	$C \geq C_o$	$C_{min} \leq C < C_o$	$C \geq C_o$	$C_{min} \leq C < C_o$
C25/30	C35/45	ordinario	15	20	20	25	25	30	30	35
C28/35	C40/50	aggressivo	25	30	30	35	35	40	40	45
C35/45	C45/55	molto ag.	35	40	40	45	45	50	50	50

Ai valori riportati nella tabella vanno aggiunte le tolleranze di posa, pari a 10 mm. Si riportano di seguito i copriferri adottati, determinati in funzione della classe del cls e delle condizioni ambientali.

	Ambiente	Copriferro minimo	Tolleranza di posa	Copriferro nominale
Struttura in elevazione	Ordinario	25	10	35
Lastre predalles	Ordinario	20	0	20
Fondazioni	Ordinario	25	10	35

In definitiva si prescrive che in fondazione il copriferro netto non deve essere inferiore a 40mm, mentre per le strutture in elevazione tranne che per le lastre predalles il copriferro netto non deve essere inferiore a 45mm.

5 TERRENO DI FONDAZIONE

Il terreno costituente il piano di posa dell'edificio in progetto è l'unità geotecnica L1, le cui caratteristiche fisiche e meccaniche, in accordo con quanto riportato nella relazione geotecnica, sono riepilogate in tabella:

SSE Km 5+750

pk	5+750
----	-------

quota terreno	28.13	m s.l.m.
quota progetto	28.85	m s.l.m.

quota falda	3.00	m da p.c.
-------------	------	-----------

Unità geotecnica	da	a
	[m]	[m]
R	0.00	1.00 - 1.50
L2	1.00 - 1.50	4.00 - 4.50
SL	4.00 - 4.50	5.00 - 5.50
L2	5.00 - 5.50	7.50 - 8.00
A2	7.50 - 8.00	11.50 - 12.00
S	11.50 - 12.00	16.00 - 16.50
A2	16.00 - 16.50	21.00 - 21.50
GS	21.00 - 21.50	28.00 - 28.50
SL	28.00 - 28.50	33.50 - 34.00
L1/L2	33.50 - 34.00	

Categoria sottosuolo	C	
----------------------	---	--

 <p>ITALFERR GRUPPO FERROVIE DELLO STATO ITALIANE</p>	<p>LINEA SALERNO - PONTECAGNANO AEROPORTO COMPLETAMENTO METROPOLITANA DI SALERNO TRATTA ARECHI - PONTECAGNANO AEROPORTO PROGETTO DEFINITIVO Fabbricati – SSE Km 5+750 – FA01 – Fabbricato SSE</p>												
<p>Relazione di calcolo strutture di elevazione</p>	<table border="1"> <thead> <tr> <th>COMMESSA</th> <th>LOTTO</th> <th>CODIFICA</th> <th>DOCUMENTO</th> <th>REV</th> <th>FOGLIO</th> </tr> </thead> <tbody> <tr> <td>NN1X</td> <td>00 D 78</td> <td>CL</td> <td>FA 01 00 002</td> <td>B</td> <td>11 di 108</td> </tr> </tbody> </table>	COMMESSA	LOTTO	CODIFICA	DOCUMENTO	REV	FOGLIO	NN1X	00 D 78	CL	FA 01 00 002	B	11 di 108
COMMESSA	LOTTO	CODIFICA	DOCUMENTO	REV	FOGLIO								
NN1X	00 D 78	CL	FA 01 00 002	B	11 di 108								

6 ANALISI DEI CARICHI

Come prescritto dalle NTC2018, sono state considerate agenti sulla struttura le seguenti condizioni di carico elementari, combinate tra loro in modo da determinare gli effetti più sfavorevoli ai fini delle verifiche dei singoli elementi strutturali:

- peso proprio strutture;
- carichi permanenti non strutturali;
- sovraccarico variabile;
- azione sismica;
- azione del vento;
- azione della neve;
- variazioni termiche;
- effetti aerodinamici associati al passaggio dei convogli.

Nel progetto strutturale in esame, le azioni esterne, quali vento e neve, sono state valutate considerando la località di Salerno.

6.1 PESO PROPRIO STRUTTURE

6.1.1 Solaio di copertura

E' realizzato con lastre predalles in cemento armato di altezza 24 cm alleggerite con polistirene espanso.

Solaio in lastre Predalles

($H = 4 + 16 + 4 = 24$ cm) lastra larga 1,20 m.

Predalles ($s = 4$ cm) $25 \times 0,04 \times 1,20 = 1,2$ kN;

Nervatura centrale ($h = 16$ cm, $s = 14$ cm) $25 \times 0,16 \times 0,14 = 0,56$ kN;

Nervature laterali ($h = 16$ cm, $s = 12$ cm) $2 \times 25 \times 0,16 \times 0,12 = 0,96$ kN;

Soletta superiore ($s = 4$ cm) $25 \times 0,04 \times 1,20 = 1,2$ kN;

Alleggerimento in polistirene espanso ($h = 16$ cm, $s = 40$ cm) $2 \times 0,15 \times 0,4 \times 0,16 = 0,0192$ kN.

Peso totale di una lastra larga 1,20 m: $G = 1,2 + 0,56 + 0,96 + 1,2 + 0,019 = 3,94$ kN

 ITALFERR GRUPPO FERROVIE DELLO STATO ITALIANE	LINEA SALERNO - PONTECAGNANO AEROPORTO COMPLETAMENTO METROPOLITANA DI SALERNO TRATTA ARECHI - PONTECAGNANO AEROPORTO PROGETTO DEFINITIVO Fabbricati – SSE Km 5+750 – FA01 – Fabbricato SSE					
	Relazione di calcolo strutture di elevazione	COMMESSA NN1X	LOTTO 00 D 78	CODIFICA CL	DOCUMENTO FA 01 00 002	REV B

Peso totale a metro quadrato = $3,94/1,20 = 3,28 \text{ kN/m}^2$

6.1.2 *Struttura principale in c.a.*

Il peso proprio delle travi e dei pilastri, viene calcolato automaticamente dal programma considerando il peso specifico del cemento armato pari a:

$$\gamma_{c.a.} = 25 \text{ kN/m}^3$$

6.2 *CARICHI PERMANENTI NON STRUTTURALI*

- Tamponamenti esterni

Il rivestimento esterno è ottenuto mediante muratura armata in blocchi architettonici facciavista, costituiti da blocchi semipieni in cls vibrocompresso e alleggerito (sp.30cm) + isolante esterno in polistirene (sp. 6 cm) + camera di ventilazione (sp 5 cm) + blocchi architettonici facciavista sp 8 cm, il cui peso è pari a **3,60 kN/m²**.

Il peso per unità di superficie moltiplicato per l'altezza totale del singolo pannello $h=3,60 \text{ m}$, trascurando le eventuali aperture, è pari a **13 kN/m**, che è il peso a metro lineare della tamponatura da applicare ai cordoli di fondazione.

- Carichi permanenti non strutturali agenti in copertura

Incidenza zone piene solaio	0,20	kN/m ²
Massetto delle pendenze	0,60	kN/m ²
Strato coibente	0,10	kN/m ²
Guaina di impermeabilizzazione	0,10	kN/m ²
Malta di allettamento (2 cm)	0,40	kN/m ²
Pavimento	0,50	kN/m ²
Intonaco intradosso	0,30	kN/m ²
Incidenza impianti	0,30	kN/m ²
Controsoffitto	0,10	kN/m ²
Totale carico:	2.60	kN/m²

Incidenza muretti perimetrali e scala su travi di bordo 2,00 kN/m

 ITALFERR GRUPPO FERROVIE DELLO STATO ITALIANE	LINEA SALERNO - PONTECAGNANO AEROPORTO COMPLETAMENTO METROPOLITANA DI SALERNO TRATTA ARECHI - PONTECAGNANO AEROPORTO PROGETTO DEFINITIVO Fabbricati – SSE Km 5+750 – FA01 – Fabbricato SSE					
	Relazione di calcolo strutture di elevazione	COMMESSA NN1X	LOTTO 00 D 78	CODIFICA CL	DOCUMENTO FA 01 00 002	REV B

6.3 SOVRACCARICO ACCIDENTALE

Il sovraccarico assunto per la copertura è pari a 0,50 kN/m².

6.4 AZIONE DELLA NEVE

Le azioni della neve sono definite al capitolo 3.4 delle NTC2018. Il carico provocato dalla neve sulle coperture è definito dall'espressione seguente:

$$q_s = \mu_i C_e C_t q_{sk}$$

dove:

μ_i - Coefficiente di forma della copertura;

C_e - Coefficiente di esposizione;

C_t - Coefficiente termico;

q_{sk} - Valore di riferimento del carico neve al suolo.

Per la valutazione di q_{sk} si è fatto riferimento ad un sito posto in zona I - Mediterranea, con altezza sul livello del mare pari a 20 m:

$$q_{sk} = 1.17 \text{ kN/m}^2$$

Il coefficiente di esposizione C_e può essere utilizzato per modificare il valore del carico neve in copertura in funzione delle caratteristiche specifiche dell'area in cui sorge l'opera. Valori del coefficiente di esposizione per diverse classi di topografia sono forniti in tabella 3.4.I. NTC2018. Per il caso in esame, si assume $C_e = 1.0$.

Il coefficiente termico C_t può essere utilizzato per tener conto della riduzione del carico neve a causa dello scioglimento della stessa, causata dalla perdita di calore della costruzione. Tale coefficiente tiene conto delle proprietà di isolamento termico del materiale utilizzato in copertura. In assenza di uno specifico e documentato studio, deve essere utilizzato $C_t = 1.0$ (3.4.4 - NTC2018).

Il coefficiente di forma della copertura dipende dall'angolo di inclinazione della falda, i valori proposti dalla normativa vigente vengono riportati nella Tab.3.4.II (DM 14 Gennaio 2018):

Coefficiente di forma	$0^\circ \leq \alpha \leq 30^\circ$	$30^\circ < \alpha < 60^\circ$	$\alpha \geq 60^\circ$
μ_1	0,8	$0,8 \cdot \frac{(60 - \alpha)}{30}$	0,0

Nel caso in esame si ha $\alpha = 0^\circ$ pertanto:

$$\mu_1 (0^\circ) = 0,8$$

Si assume una distribuzione uniforme del carico da neve per la copertura piana, quindi si ha:

$$q_s = 0.8 \cdot 1.00 \cdot 1.00 \cdot 1.17 = \mathbf{0.95 \text{ kN/m}^2}.$$

	LINEA SALERNO - PONTECAGNANO AEROPORTO COMPLETAMENTO METROPOLITANA DI SALERNO TRATTA ARECHI - PONTECAGNANO AEROPORTO PROGETTO DEFINITIVO Fabbricati – SSE Km 5+750 – FA01 – Fabbricato SSE					
Relazione di calcolo strutture di elevazione	COMMESSA NN1X	LOTTO 00 D 78	CODIFICA CL	DOCUMENTO FA 01 00 002	REV B	FOGLIO 14 di 108

6.5 AZIONE DEL VENTO

Il vento, la cui direzione si considera generalmente orizzontale, esercita sulle costruzioni azioni che variano nel tempo e nello spazio provocando, in generale, effetti dinamici. Per le costruzioni usuali tali azioni sono convenzionalmente ricondotte alle azioni statiche equivalenti definite al punto 3.3.3 – NTC2018. Per il calcolo dell'azione statica equivalente dovuta al vento, si è fatto riferimento ad un sito posto in zona 3, con altezza sul livello del mare pari a 30 m.

Pressione del vento:

La pressione del vento, considerata come azione statica agente normalmente alle superfici, è data dall'espressione:

$$p = q_b \cdot c_e \cdot c_p \cdot c_d$$

dove

- q_b - Pressione cinetica di riferimento
- c_e - Coefficiente di esposizione
- c_p - Coefficiente di forma (o coefficiente aerodinamico)
- c_d - Coefficiente dinamico che si assume unitario.

Pressione cinetica di riferimento:

La pressione cinetica di riferimento q_b in (N/m²) è data dall'espressione:

$$q_b = \frac{1}{2} \cdot \rho \cdot v_b^2$$

dove:

- v_b - Velocità di riferimento del vento;
- ρ - Densità dell'aria assunta convenzionalmente costante e pari a 1.25 kg/m³.

In mancanza di indagini statistiche adeguate, la velocità di riferimento del vento $v_b(T_R)$ riferita ad un generico periodo di ritorno T_R può essere valutata, nel campo compreso tra 10 e 500 anni, con l'espressione:

$$V_b(T_R) = \alpha \cdot v_b$$

dove:

v_b – Velocità di riferimento del vento associata ad un periodo di ritorno di 50 anni;

α_R – Coefficiente posto in un diagramma in funzione di T_R espresso in anni;

Il periodo di ritorno T_R al quale si è fatto affidamento per la valutazione della velocità di riferimento del vento risulta pari a 75 anni.

Relazione di calcolo strutture di elevazione

COMMESSA	LOTTO	CODIFICA	DOCUMENTO	REV	FOGLIO
NN1X	00 D 78	CL	FA 01 00 002	B	15 di 108

Coefficiente di esposizione:

Il coefficiente d'esposizione c_e dipende dall'altezza z sul suolo del punto considerato, dalla topografia del terreno, e dalla categoria di esposizione del sito ove sorge la costruzione. Per il caso in esame considerando zona 3, classe di rugosità del terreno C e categoria d'esposizione del sito II, il coefficiente di esposizione, per un'altezza massima del fabbricato di 4.35 m, risulta pari ad 1.85.

Coefficiente dinamico:

Il coefficiente dinamico tiene conto degli effetti riduttivi associati alla non contemporaneità delle massime pressioni locali e degli effetti amplificativi dovuti alla risposta dinamica della struttura. Esso è assunto cautelativamente pari ad 1.

Coefficiente di forma (o aerodinamico):

Per la determinazione del coefficiente di forma si fa riferimento a quanto riportato nel paragrafo 3.3.8 della Circolare del 21/01/2019 in relazione a quanto riassunto nelle figure seguenti:

3) Toscana, Marche, Umbria, Lazio, Abruzzo, Molise, Puglia, Campania, Basilicata, Calabria (esclusa la provincia di Reggio Calabria)

Zona	$v_{b,0}$ [m/s]	a_0 [m]	k_a [1/s]
3	27	500	0.02
a_s (altitudine sul livello del mare [m])	30		
T_R (Tempo di ritorno)	75		
$v_b = v_{b,0}$ per $a_s \leq a_0$			
$v_b = v_{b,0} + k_a (a_s - a_0)$ per $a_0 < a_s \leq 1500$ m			
v_b ($T_R = 50$ [m/s])	27.000		
α_R (T_R)	1.02346		
v_b (T_R) = $v_b \times \alpha_R$ [m/s]	27.633		

p (pressione del vento [N/mq]) = $q_b \cdot c_e \cdot c_p \cdot c_d$
q_b (pressione cinetica di riferimento [N/mq])
c_e (coefficiente di esposizione)
c_p (coefficiente di forma)
c_d (coefficiente dinamico)



Pressione cinetica di riferimento

$$q_b = 1/2 \cdot \rho \cdot v_b^2 \quad (\rho = 1,25 \text{ kg/m}^3)$$

q_b [N/mq]	477.25
--------------	--------

Coefficiente di forma

E' il coefficiente di forma (o coefficiente aerodinamico), funzione della tipologia e della geometria della costruzione e del suo orientamento rispetto alla direzione del vento. Il suo valore può essere ricavato da dati suffragati da opportuna documentazione o da prove sperimentali in galleria del vento.

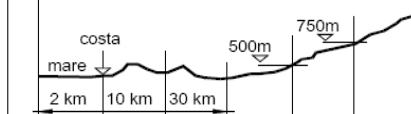
Coefficiente dinamico

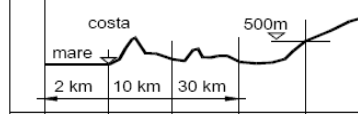
Esso può essere assunto cautelativamente pari ad 1 nelle costruzioni di tipologia ricorrente, quali gli edifici di forma regolare non eccedenti 80 m di altezza ed i capannoni industriali, oppure può essere determinato mediante analisi specifiche o facendo riferimento a dati di comprovata affidabilità.

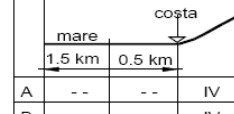
Relazione di calcolo strutture di elevazione

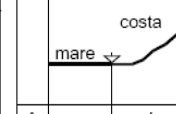
COMMESSA	LOTTO	CODIFICA	DOCUMENTO	REV	FOGLIO
NN1X	00 D 78	CL	FA 01 00 002	B	16 di 108

Categoria di esposizione

ZONE 1,2,3,4,5						
						
A	--	IV	IV	V	V	V
B	--	III	III	IV	IV	IV
C	--	*	III	III	IV	IV
D	I	II	II	II	III	**
* Categoria II in zona 1,2,3,4 Categoria III in zona 5 ** Categoria III in zona 2,3,4,5 Categoria IV in zona 1						

ZONA 6					
					
A	--	III	IV	V	V
B	--	II	III	IV	IV
C	--	II	III	III	IV
D	I	I	II	II	III

ZONE 7,8			
			
A	--	--	IV
B	--	--	IV
C	--	--	III
D	I	II	*
* Categoria II in zona 8 Categoria III in zona 7			

ZONA 9		
		
A	--	I
B	--	I
C	--	I
D	I	I

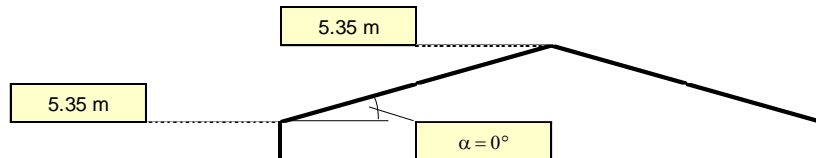
Zona	Classe di rugosità	a_s [m]
3	C	30

$$c_e(z) = k_r^2 \cdot c_t \cdot \ln(z/z_0) [7 + c_t \cdot \ln(z/z_0)] \quad \text{per } z \geq z_{\min}$$

$$c_e(z) = c_e(z_{\min}) \quad \text{per } z < z_{\min}$$

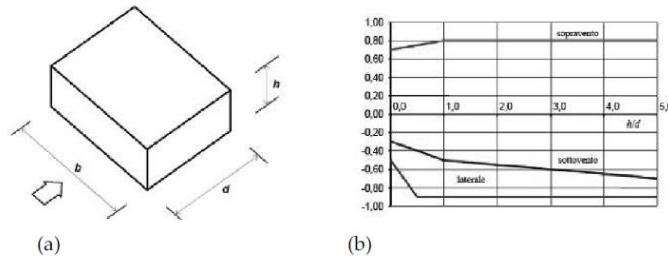
Cat. Esposiz.	k_r	z_0 [m]	z_{\min} [m]	c_t
II	0.19	0.05	4	1

z [m]	c_e
$z \leq 4$	1.801
$z = 5.35$	1.969
$z = 5.35$	1.969



C3.3.8.1.1 Pareti verticali

I coefficienti globali c_{pe} da assumere sulle pareti di un edificio a pianta rettangolare sono riportati in Figura C3.3.2 e in Tabella C3.3.1



a) Parametri caratteristici di edifici a pianta rettangolare,
 b) Edifici a pianta rettangolare: c_{pe} per facce sopravvento, sottovento e laterali

Figura C3.3.2

Tabella C3.3.1: Edifici a pianta rettangolare: c_{pe} per facce sopravvento, sottovento e laterali

Faccia sopravvento	$C_U = 2,0$	$C_U = 1,5$
$h/d \leq 1$: $c_{pe} = 0,7 + 0,1 \cdot h/d$	$h/d \leq 0,5$: $c_{pe} = -0,5 - -0,8 \cdot h/d$	$h/d \leq 1$: $c_{pe} = -0,3 - 0,2 \cdot h/d$
$h/d > 1$: $c_{pe} = 0,8$	$h/d > 0,5$: $c_{pe} = -0,9$	$1 < h/d \leq 5$: $c_{pe} = -0,5 - 0,05 \cdot (h/d - 1)$

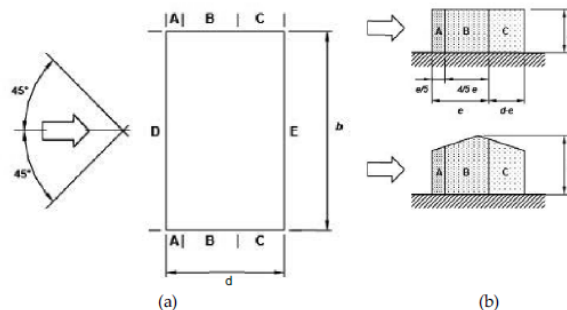
Relazione di calcolo strutture di elevazione

COMMESSA	LOTTO	CODIFICA	DOCUMENTO	REV	FOGLIO
NN1X	00 D 78	CL	FA 01 00 002	B	17 di 108

COEFFICIENTI GLOBALI DI PRESSIONE		COEFFICIENTI GLOBALI DI PRESSIONE	
h	4.35 m	h	4.35 m
d	6 m	d	44 m
h/d	0.725	h/d	0.099
SOPRAVENTO	ce = 0.77	SOPRAVENTO	ce = 0.71
LATERALI	ce = -1.08	LATERALI	ce = -0.579
SOTTOVENTO	ce = -0.445	SOTTOVENTO	ce = -0.32
PRESSIONE DI PROGETTO VENTO Y		PRESSIONE DI PROGETTO VENTO Y	
qd	0.477 KN/m ²	qd	0.477 KN/m ²
ct	1.0	ct	1.0
ce	1.969	ce	1.969
SOPRAVENTO	pd= 0.726 KN/m ²	SOPRAVENTO	pd= 0.667 KN/m ²
LATERALI	pd= -1.014 KN/m ²	LATERALI	pd= -0.544 KN/m ²
SOTTOVENTO	pd= -0.418 KN/m ²	SOTTOVENTO	pd= -0.3 KN/m ²

• Coefficienti locali

I coefficienti locali $C_{pe,10}$ e di dettaglio $C_{pe,1}$ da assumere sulle pareti di un edificio a pianta rettangolare sono riportati in Figura C3.3.3 e in Tabella C3.3.II, il valore della dimensione e è pari al minimo tra b e $2h$.



a) Schema planimetrico di riferimento

b) Suddivisione delle pareti verticali di edificio a pianta rettangolare in zone di uguale pressione (prospetti laterali)

Figura C3.3.3

Tabella C3.3.II - Edifici a pianta rettangolare: c_{pe} per facce sopravento, sottovento e laterali.

Zona	A		B		C		D		E	
	$C_{pe,10}$	$C_{pe,1}$	$C_{pe,10}$	$C_{pe,1}$	$C_{pe,10}$	$C_{pe,1}$	$C_{pe,10}$	$C_{pe,1}$	$C_{pe,10}$	$C_{pe,1}$
h/d										
5	-1,2	-1,4	-0,8	-1,1	-0,5		+0,8	+1,0		-0,7
1	-1,2	-1,4	-0,8	-1,1	-0,5		+0,8	+1,0		-0,5
≤ 0,25	-1,2	-1,4	-0,8	-1,1	-0,5		+0,7	+1,0		-0,3

Relazione di calcolo strutture di elevazione

COMMESSA	LOTTO	CODIFICA	DOCUMENTO	REV	FOGLIO
NN1X	00 D 78	CL	FA 01 00 002	B	18 di 108

COEFFICIENTI LOCALI		COEFFICIENTI LOCALI	
h	5.35 m	h	5.35 m
d	6 m	d	44 m
h/d	0.892	h/d	0.122
FASCIA A	ce = -1.40	FASCIA A	ce = -1.40
FASCIA B	ce = -1.1	FASCIA B	ce = -1.1
FASCIA C	ce = -0.5	FASCIA C	ce = -0.5
FASCIA D	ce = 1	FASCIA D	ce = 1
FASCIA E	ce = -0.3	FASCIA E	ce = -0.3
PRESSIONE DI PROGETTO VENTO X		PRESSIONE DI PROGETTO VENTO X	
qd	0.477 KN/m ²	qd	0.477 KN/m ²
ct	1.0	ct	1.0
ce	1.969	ce	1.969
FASCIA A	pd= -1.315 KN/m ²	FASCIA A	pd= -1.315 KN/m ²
FASCIA B	pd= -1.033 KN/m ²	FASCIA B	pd= -1.033 KN/m ²
FASCIA C	pd= -0.470 KN/m ²	FASCIA C	pd= -0.470 KN/m ²
FASCIA D	pd= 0.939 KN/m ²	FASCIA D	pd= 0.939 KN/m ²
FASCIA E	pd= -0.282 KN/m ²	FASCIA E	pd= -0.282 KN/m ²

6.6 VARIAZIONI TERMICHE

Nel caso in cui la temperatura non costituisca azione fondamentale per la sicurezza o per la efficienza funzionale della struttura è consentito tener conto, per gli edifici, della sola componente ΔT_u , ricavandola direttamente dalla Tab. 3.5.II delle NTC 2018 che viene riportata nel seguito.

Nel caso in cui la temperatura costituisca, invece, azione fondamentale per la sicurezza o per la efficienza funzionale della struttura, l'andamento della temperatura T nelle sezioni degli elementi strutturali deve essere valutato più approfonditamente studiando il problema della trasmissione del calore.

Tabella 3.5.II – Valori di ΔT_u per gli edifici

Tipo di struttura	ΔT_u
Strutture in c.a. e c.a.p. esposte	± 15 °C
Strutture in c.a. e c.a.p. protette	± 10 °C
Strutture in acciaio esposte	± 25 °C
Strutture in acciaio protette	± 15 °C

Nel caso in esame, si tiene conto della sola componente ΔT_u e in particolare si assume $\Delta T_u = \pm 15$ °C per tutta la struttura.

6.7 EFFETTI AERODINAMICI ASSOCIATI AL PASSAGGIO DEI CONVOGLI

Il passaggio dei convogli ferroviari induce sulle superfici situate in prossimità della linea ferroviaria onde di pressione e depressione si considera l'effetto aerodinamico associato al passaggio dei treni. Tali prescrizioni si riscontrano al punto 5.2 della NTC2018 relativo ai ponti ferroviari. Le azioni possono essere schematizzate mediante carichi equivalenti agenti nelle zone prossime alla testa ed alla coda del treno, il cui valore viene determinato con riferimento alla seguente situazione:

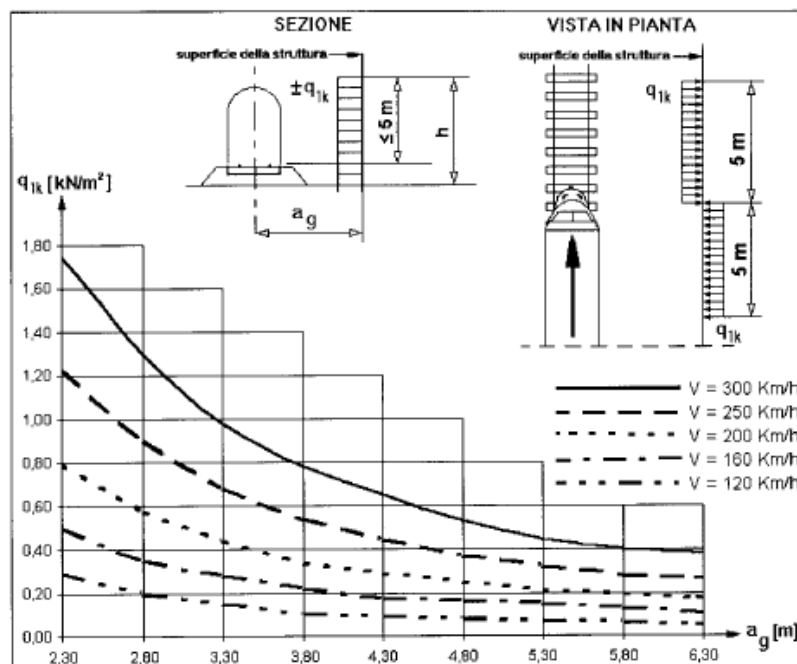
- Superfici verticali parallele al binario (5.2.2.7.1 – NTC2018):

il valore caratteristico dell'azione $\pm q_{1k}$ agente ortogonalmente alla superficie verticale di facciata del fabbricato viene valutato in funzione della distanza a_g dall'asse del binario più vicino. Supponendo che la distanza minima da garantire da ostacolo fisso, quale può essere un fabbricato, in assenza di organi respingenti è:

$$a_g = 5.00 \text{ m};$$

a tale valore di a_g corrisponde il seguente valore dell'azione q_{1k} prodotta dal passaggio del convoglio, calcolata secondo quanto riportato nella figura successiva in base alla velocità $V = 300 \text{ km/h}$ e con riferimento a treni con forme aerodinamiche sfavorevoli (a vantaggio di sicurezza):

$$q_{1k} = 0.70 \text{ kN/m}^2$$



Si considerano pertanto le condizioni di carico elementari:

AerodA) pressione dovuta al passaggio dei treni in arrivo (per una fascia di 5 m);

 <p>ITAFERR GRUPPO FERROVIE DELLO STATO ITALIANE</p>	<p>LINEA SALERNO - PONTECAGNANO AEROPORTO COMPLETAMENTO METROPOLITANA DI SALERNO TRATTA ARECHI - PONTECAGNANO AEROPORTO PROGETTO DEFINITIVO Fabbricati – SSE Km 5+750 – FA01 – Fabbricato SSE</p>												
<p>Relazione di calcolo strutture di elevazione</p>	<table border="1"> <tr> <td>COMMESSA</td> <td>LOTTO</td> <td>CODIFICA</td> <td>DOCUMENTO</td> <td>REV</td> <td>FOGLIO</td> </tr> <tr> <td>NN1X</td> <td>00 D 78</td> <td>CL</td> <td>FA 01 00 002</td> <td>B</td> <td>20 di 108</td> </tr> </table>	COMMESSA	LOTTO	CODIFICA	DOCUMENTO	REV	FOGLIO	NN1X	00 D 78	CL	FA 01 00 002	B	20 di 108
COMMESSA	LOTTO	CODIFICA	DOCUMENTO	REV	FOGLIO								
NN1X	00 D 78	CL	FA 01 00 002	B	20 di 108								

AerodB) pressione (fascia di 5 m) e depressione (fascia di 5 m) dovuti al passaggio dei treni in avanzamento.

6.8 AZIONE SISMICA

Per la definizione dell'azione sismica sono necessarie delle valutazioni preliminari relative alle seguenti caratteristiche proprie della costruzione (2.4 – NTC2018):

- Vita Nominale (V_N);
- Classe d'uso (C_u);
- Periodo di Riferimento (V_R).

Si attribuisce una vita nominale $V_N = 75$ anni e la classe d'uso II con coefficiente d'uso $C_u=1,5$, in conformità ai seguenti riferimenti normativi:

- DM 17/01/2018 par. 2.4;
- Circ. 21/01/2019, n. 617 par. C2.4.1 e C2.4.2;
- Decreto 21/10/2003 P.C.M. Dipartimento della Prot. Civile (all.1);
- Manuale di Progettazione delle Opere Civili – RFIDTCSIPSMAIFS001D

Il periodo di riferimento da considerare per il calcolo dell'azione sismica sarà quindi $V_R = C_u \times V_N = 112,5$ anni.

Le azioni sismiche di progetto, in base alle quali valutare il rispetto dei diversi stati limite considerati, si definiscono a partire dalla "pericolosità sismica di base" del sito di costruzione, ai sensi dell'Ordinanza del Presidente del Consiglio dei Ministri n. 3274 del 20 marzo 2003. La pericolosità sismica è definita in termini di accelerazione orizzontale massima attesa a_g , nonché di ordinate dello spettro di risposta elastico in accelerazione ad essa corrispondente, con riferimento a prefissata probabilità di eccedenza P_{VR} nel periodo di riferimento V_R (3.2 – NTC2018).

La normativa NTC2018 definisce le forme spettrali, per ciascuna delle probabilità di superamento nel periodo di riferimento P_{VR} , a partire dai valori dei seguenti parametri su sito di riferimento rigido orizzontale:

- a_g – Accelerazione orizzontale massima al sito;
- F_0 – Valore massimo del fattore di amplificazione dello spettro in accelerazione orizzontale;
- T_C^* - Periodo d'inizio del tratto a velocità costante dello spettro in accelerazione orizzontale.

Nei confronti delle azioni sismiche si definiscono due stati limite di esercizio e due ultimi, che sono individuati riferendosi alle prestazioni della costruzione nel suo complesso (3.2.1 – NTC2018), ai quali corrispondono i valori dei parametri precedentemente definiti.

Ai fini della definizione dell'azione sismica di progetto, si rende necessario valutare l'effetto della risposta sismica locale mediante specifiche analisi. In assenza di tali analisi, per la definizione dell'azione sismica

si può far riferimento a un approccio semplificato, che si basa sull'individuazione di categorie di sottosuolo di riferimento (Tab. 3.2.II e 3.2.III – NTC2018).

Il terreno su cui insiste la costruzione è stato assimilato ad un sottosuolo di *categoria C*.

Nel caso in esame si può assumere una categoria topografica T_1 (Superficie pianeggiante, pendii e rilievi isolati con inclinazione media $i \leq 15^\circ$).

Lo spettro di risposta elastico in accelerazione è espresso da una forma spettrale (spettro normalizzato) riferita ad uno smorzamento convenzionale del 5%, moltiplicata per il valore dell'accelerazione orizzontale massima a_g su sito di riferimento rigido orizzontale. Sia la forma spettrale che il valore di a_g variano al variare della probabilità di superamento nel periodo di riferimento P_{VR} .

Lo spettro di risposta elastico orizzontale è descritto dalle seguenti espressioni, riportate al punto 3.2.3.2.1 – NTC2018:

$$0 \leq T \leq T_B \quad S_e(T) = a_g \cdot S \cdot \eta \cdot F_0 \cdot \left[\frac{T}{T_B} + \frac{1}{\eta \cdot F_0} \cdot \left(1 - \frac{T}{T_B} \right) \right]$$

$$T_B \leq T < T_C \quad S_e(T) = a_g \cdot S \cdot \eta \cdot F_0$$

$$T_C \leq T < T_D \quad S_e(T) = a_g \cdot S \cdot \eta \cdot F_0 \cdot \left(\frac{T_C}{T} \right)$$

$$T_D \leq T \quad S_e(T) = a_g \cdot S \cdot \eta \cdot F_0 \cdot \left(\frac{T_C \cdot T_D}{T^2} \right)$$

Poiché il fabbricato è dotato di solai che presentano luce inferiore a 8 m, non è stata considerata la componente verticale dell'azione sismica, come stabilito al punto 7.2.2 e al punto 3.2.3.1 delle NTC2018, considerato anche che $a_g < 0,15g$.

Agli stati limite ultimi le capacità dissipative delle strutture possono essere considerate attraverso una riduzione delle forze elastiche, tenendo conto in modo semplificato della capacità dissipativa anelastica della struttura, della sua sovrarresistenza, dell'incremento del suo periodo proprio a seguito delle plasticizzazioni.

In tal caso lo spettro di progetto da utilizzare, sia per le componenti orizzontali, sia per la componente verticale, è lo spettro elastico corrispondente riferito alla probabilità di superamento nel periodo di riferimento P_{VR} considerata con le ordinate ridotte sostituendo nelle formule 3.2.4 - NTC2018 η con $1/q$, dove q è il fattore di comportamento.

Il valore del fattore di comportamento q da utilizzare per ciascuna direzione dell'azione sismica, dipende dalla tipologia strutturale, dal suo grado di iperstaticità e dai criteri di progettazione adottati e prende in conto le non linearità di materiale. Esso può essere calcolato mediante la seguente espressione:

$$q = q_0 \cdot K_R$$

dove:

q_0 è il valore massimo del fattore di comportamento

Relazione di calcolo strutture di elevazione

COMMESSA	LOTTO	CODIFICA	DOCUMENTO	REV	FOGLIO
NN1X	00 D 78	CL	FA 01 00 002	B	22 di 108

K_R è un fattore che dipende dalle caratteristiche di regolarità in altezza della costruzione.

Un problema importante è la scelta del valore base del coefficiente di comportamento q_0 , che risulta legato alla tipologia strutturale ed al livello di duttilità attesa. Osservando le tipologie strutturali riportate al punto 7.4.3.1 – NTC2018 si evince che l'edificio in esame può essere riconducibile ad un sistema a telaio.

Per quanto riguarda il livello di duttilità attesa, si stabilisce di progettare il fabbricato in accordo con un comportamento strutturale dissipativo caratterizzato da Classe di Duttilità bassa (CD"B").

In base alla tabella 7.4.I delle NTC 2018, il coefficiente di comportamento q_0 può essere valutato come segue:

$$q_0 = 3.0 \cdot \frac{\alpha_u}{\alpha_1}$$

Dall'analisi della rigidezza globale e dal tipologico della struttura si è rilevato come l'edificio in progetto è del tipo a **pendolo inverso intelaiato monopiano: struttura nella quali almeno il 50% della massa è nel terzo superiore dell'altezza della costruzione.**

Ai sensi delle NTC 2018 Par. 7.4.3.1 si deve adottare $q_0 = 2.5$.

Simbologia

Imp. = Numero dell'impalcato

X = Coordinata X

Y = Coordinata Y

Z = Coordinata Z

Mo = Massa orizzontale

Jpz = Massa rotazionale intorno all'asse Z

Imp.	X	Y	Z	Mo	Jpz
	<m>	<m>	<m>	<kg>	<kg*mq>

 1 22.07 2.85 4.35 274940.00 48441000.00

Mo <kg> Jpz <kg*mq>

 274940.00 48441000.00

Percentuale masse nel terzo superiore in direzione X = 73.50%

Percentuale masse nel terzo superiore in direzione Y = 73.50%

Area resistente a taglio totale = 4.32 <mq>

Area resistente a taglio pilastri = 4.32 <mq> (100.00 %)

Percentuale taglio assorbito dai pilastri per azioni in dir. X = 100.00% (glob. 100.00%)

Percentuale taglio assorbito dai pilastri per azioni in dir. Y = 100.00% (glob. 100.00%)

Essendo, poi, la struttura REGOLARE IN ALTEZZA si assume $K_R=1.0$.

	LINEA SALERNO - PONTECAGNANO AEROPORTO COMPLETAMENTO METROPOLITANA DI SALERNO TRATTA ARECHI - PONTECAGNANO AEROPORTO PROGETTO DEFINITIVO Fabbricati – SSE Km 5+750 – FA01 – Fabbricato SSE												
Relazione di calcolo strutture di elevazione	<table border="1"> <tr> <td>COMMESSA</td> <td>LOTTO</td> <td>CODIFICA</td> <td>DOCUMENTO</td> <td>REV</td> <td>FOGLIO</td> </tr> <tr> <td>NN1X</td> <td>00 D 78</td> <td>CL</td> <td>FA 01 00 002</td> <td>B</td> <td>23 di 108</td> </tr> </table>	COMMESSA	LOTTO	CODIFICA	DOCUMENTO	REV	FOGLIO	NN1X	00 D 78	CL	FA 01 00 002	B	23 di 108
COMMESSA	LOTTO	CODIFICA	DOCUMENTO	REV	FOGLIO								
NN1X	00 D 78	CL	FA 01 00 002	B	23 di 108								

Pertanto il fattore di comportamento al quale si farà riferimento per la definizione dello spettro di progetto è $q = 2.5$.

Per gli stati limite di esercizio lo spettro di progetto da utilizzare, sia per le componenti orizzontali che per la componente verticale, è lo spettro elastico corrispondente, riferito alla probabilità di superamento nel periodo di riferimento P_{VR} .

Per una costruzione di Classe III, devono essere effettuate le verifiche riportate nella seguente tabella, estrapolata dalla tabella C7.1.I contenuta nella Circolare 2019:

Stato limite	Descrizione della prestazione	Riferimento norme D.M.17/01/2018	η
SLO	Contenimento del danno degli elementi non strutturali (spostamenti di interpiano)	§7.3.7.2	1
SLD	Resistenza degli elementi strutturali	§7.3.7.1	2/3
SLV	Resistenza delle strutture	§7.3.6.1	1/q
	Duttilità delle strutture	§7.3.6.2	
	Assenza di collasso fragile ed espulsione di elementi non strutturali	§7.3.6.3	

Si riporta di seguito il piazzale e le corrispondenti coordinate geografiche in cui è ubicato l'edificio lungo il tracciato di progetto.

Fabbricato SSE

PROGRESSIVA [km]	LATITUDINE [-]	LONGITUDINE [-]	a_g [g]	F_0 [-]	T_c^* [s]
5+750	40.634948	14.890081	0.105	2.606	0.450



Stati limite



Classe Edificio

II. Affollamento normale. Assenza di funz. pubbliche e sociali...



Vita Nominale

50



Interpolazione

Media ponderata

CU = 1

Stato Limite	Tr [anni]	a_g [g]	F_0	T_c^* [s]
Operatività (SLO)	30	0.037	2.413	0.281
Danno (SLD)	50	0.047	2.408	0.326
Salvaguardia vita (SLV)	475	0.105	2.606	0.450
Prevenzione collasso (SLC)	975	0.130	2.689	0.472
Periodo di riferimento per l'azione sismica:	50			

 ITAFERR GRUPPO FERROVIE DELLO STATO ITALIANE	LINEA SALERNO - PONTECAGNANO AEROPORTO COMPLETAMENTO METROPOLITANA DI SALERNO TRATTA ARECHI - PONTECAGNANO AEROPORTO PROGETTO DEFINITIVO Fabbricati – SSE Km 5+750 – FA01 – Fabbricato SSE					
	Relazione di calcolo strutture di elevazione	COMMESSA NN1X	LOTTO 00 D 78	CODIFICA CL	DOCUMENTO FA 01 00 002	REV B

Pertanto sono stati assunti i seguenti parametri sismici:

categoria	ag/g	F0 (-)	Tc* (s)
C	0,105	2,606	0,450

Gli effetti dell'azione sismica vengono valutati tenendo conto delle masse associate ai carichi gravitazionali dovuti al peso proprio (G_1), ai sovraccarichi permanenti (G_2) e a un'aliquota (ψ_{2j}) dei sovraccarichi accidentali (Q_{kj}):

$$G_1 + G_2 + \sum_j \psi_{2j} \cdot Q_{kj}$$

I valori dei coefficienti ψ_{2j} sono riportati nella Tabella 2.5.I – NTC2018. Nel caso in esame i sovraccarichi accidentali che possono essere sottoposti ad eccitazione sismica sono:

- per il solaio di copertura, la neve ed il vento per copertura presentano $\psi_{2j} = 0$;
- per il solaio di copertura, il sovraccarico variabile agente presenta $\psi_{2j} = 0$.

Per tener conto della variabilità spaziale del moto sismico, nonché di eventuali incertezze nella localizzazione delle masse, al centro di massa deve essere attribuita un'eccentricità accidentale rispetto alla sua posizione quale deriva dal calcolo. Per gli edifici, gli effetti dell'eccentricità accidentale del centro di massa possono essere determinati mediante l'applicazione di carichi statici costituiti da momenti torcenti di valore pari alla risultante orizzontale della forza agente al piano, moltiplicata per l'eccentricità accidentale del baricentro delle masse rispetto alla sua posizione di calcolo. In assenza di più accurate determinazioni l'eccentricità accidentale in ogni direzione non può essere considerata inferiore a 0.05 volte la dimensione dell'edificio misurata perpendicolarmente alla direzione di applicazione dell'azione sismica.

Gli effetti delle forze equivalenti dovute all'eccentricità accidentale, vengono portati in conto nella combinazione sismica, sommandoli al contributo delle sollecitazioni che si ottengono a valle dell'analisi dinamica lineare con spettro di risposta.

Come metodo di analisi per determinare gli effetti dell'azione sismica si è scelto di utilizzare l'analisi dinamica lineare o analisi modale con spettro di risposta, nella quale l'equilibrio è trattato dinamicamente e l'azione sismica è modellata direttamente attraverso lo spettro di progetto.

L'analisi dinamica lineare consiste:

- nella determinazione dei modi di vibrare della costruzione (analisi modale);
- nel calcolo degli effetti dell'azione sismica, rappresentata dallo spettro di risposta di progetto, per ciascuno dei modi di vibrare individuati;
- nella combinazione di questi effetti.

Come prescritto dalle NTC 2018 al paragrafo 7.3.3.1, devono essere considerati tutti i modi di vibrare con massa partecipante significativa. E' opportuno a tal riguardo considerare tutti i modi con massa partecipante superiore al 5% e comunque un numero di modi la cui massa partecipante totale sia superiore all'85%. Per la combinazione degli effetti relativi ai singoli modi, deve essere utilizzata una

Relazione di calcolo strutture di elevazione

COMMESSA	LOTTO	CODIFICA	DOCUMENTO	REV	FOGLIO
NN1X	00 D 78	CL	FA 01 00 002	B	26 di 108

combinazione quadratica completa (CQC) degli effetti relativi a ciascun modo, secondo quanto definito al punto 7.3.3.1 delle NTC2018.

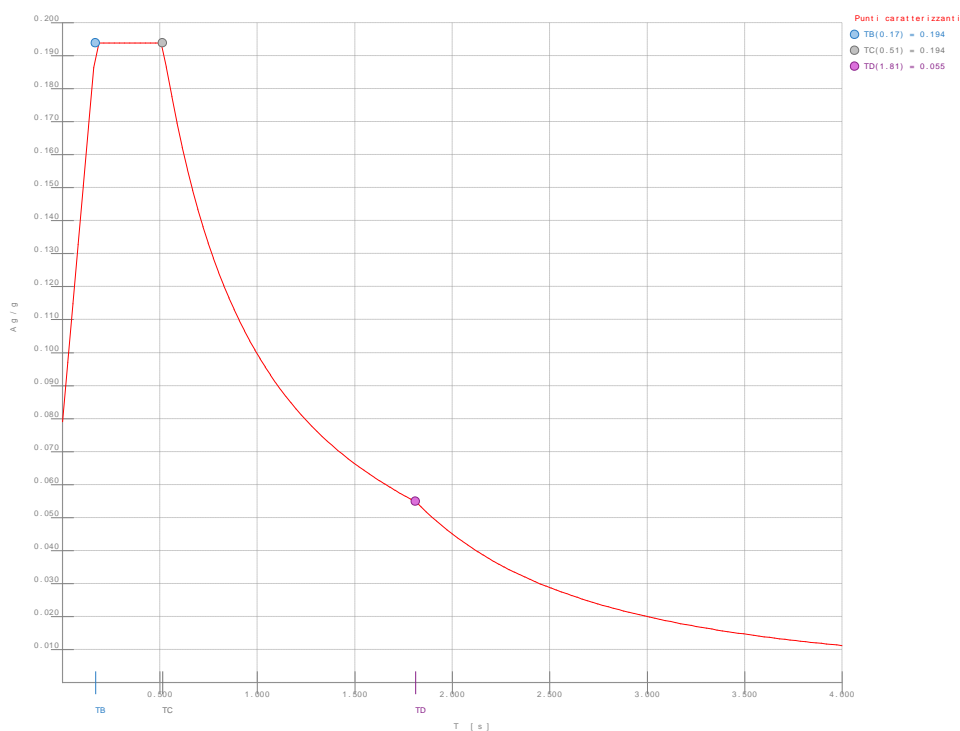
La risposta della struttura viene calcolata separatamente per ciascuna delle due componenti dell'azione sismica orizzontale; gli effetti sulla struttura, in termini di sollecitazioni e spostamenti, sono poi combinati applicando le seguenti espressioni:

$$1.00 \cdot E_x + 0.30 \cdot E_y$$

$$1.00 \cdot E_y + 0.30 \cdot E_x$$

Si è infine provveduto a combinare gli effetti dell'analisi spettrale ai differenti stati limite con quelli provocati dalle forze equivalenti all'eccentricità accidentale.

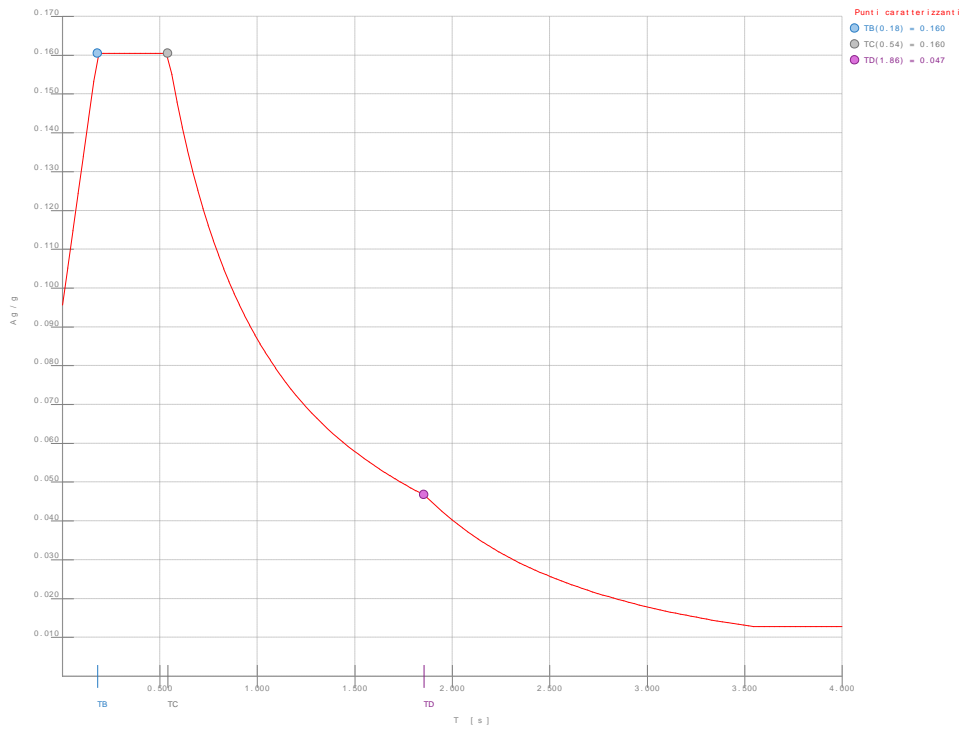
Si riportano di seguito i diagrammi degli spettri:



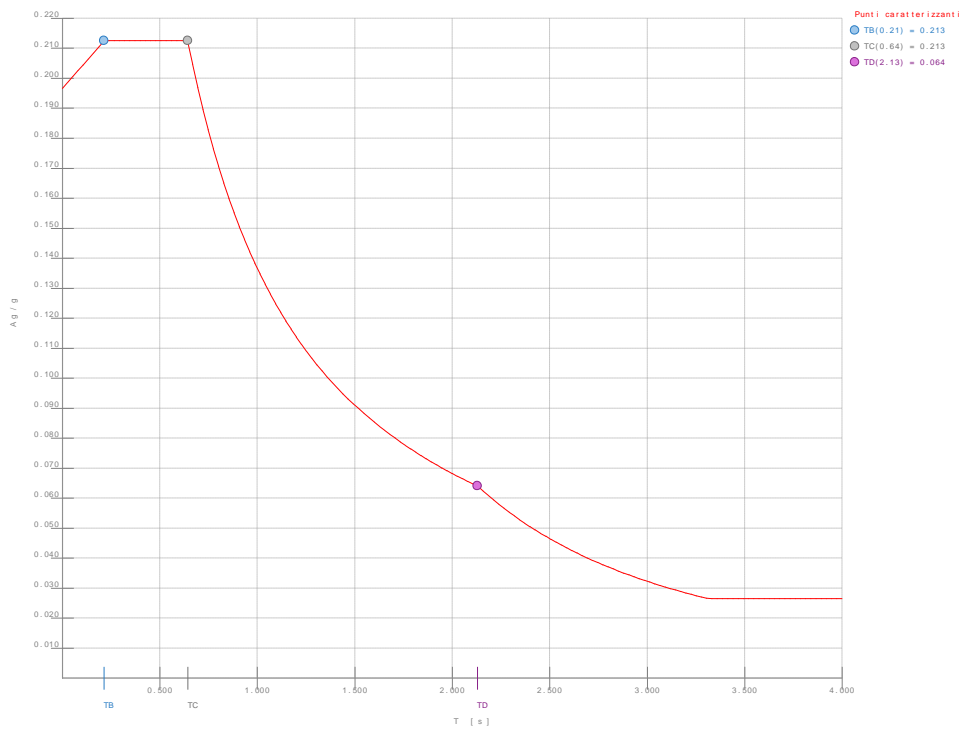
Spettro SLO

Relazione di calcolo strutture di elevazione

COMMESSA	LOTTO	CODIFICA	DOCUMENTO	REV	FOGLIO
NN1X	00 D 78	CL	FA 01 00 002	B	27 di 108



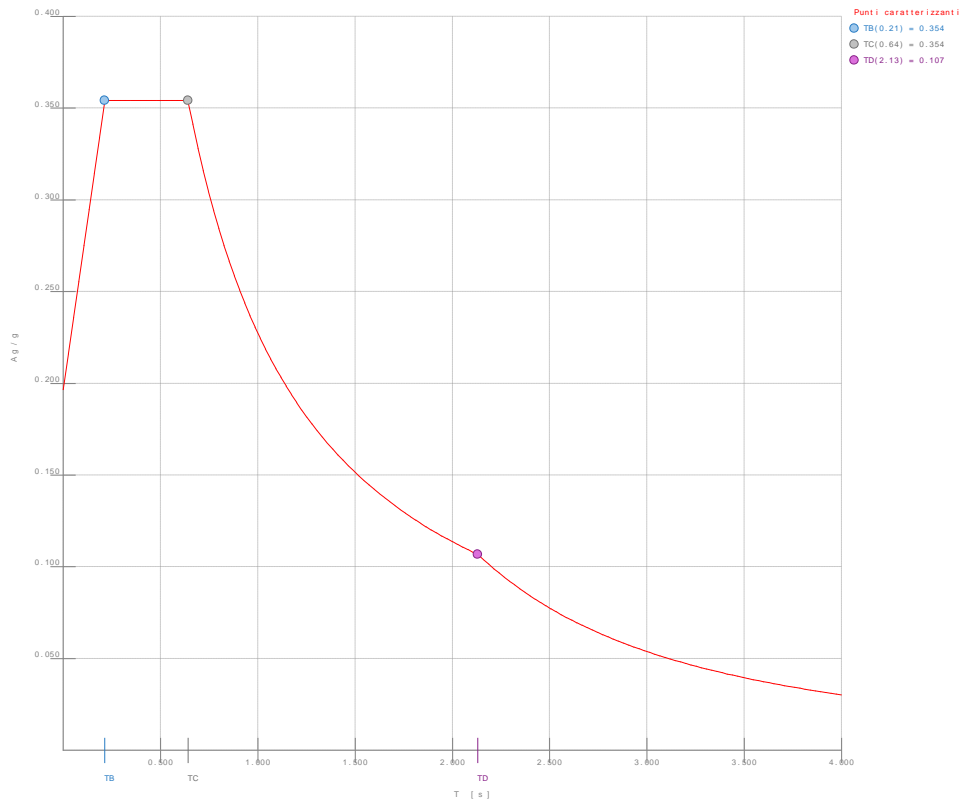
Spettro SLD



Spettro SLV

Relazione di calcolo strutture di elevazione

COMMESSA	LOTTO	CODIFICA	DOCUMENTO	REV	FOGLIO
NN1X	00 D 78	CL	FA 01 00 002	B	28 di 108



Spettro SND

 <p>ITALFERR GRUPPO FERROVIE DELLO STATO ITALIANE</p>	<p>LINEA SALERNO - PONTECAGNANO AEROPORTO COMPLETAMENTO METROPOLITANA DI SALERNO TRATTA ARECHI - PONTECAGNANO AEROPORTO PROGETTO DEFINITIVO Fabbricati – SSE Km 5+750 – FA01 – Fabbricato SSE</p>					
<p>Relazione di calcolo strutture di elevazione</p>	<p>COMMESSA NN1X</p>	<p>LOTTO 00 D 78</p>	<p>CODIFICA CL</p>	<p>DOCUMENTO FA 01 00 002</p>	<p>REV B</p>	<p>FOGLIO 29 di 108</p>

7 MODELLO STRUTTURALE E COMBINAZIONI DI CARICO

7.1 CONSIDERAZIONI GENERALI SUL MODELLO DI CALCOLO

Il sistema costruttivo che caratterizza il fabbricato tecnologico in c.a. è costituito, in elevazione, da un telaio spaziale realizzato mediante la rigida connessione di travi e pilastri, e in fondazione, da travi rovesce.

Lo step del lavoro relativo al calcolo computazionale e alla definizione dell'output, in termini di caratteristiche di sollecitazione e deformazioni per i vari elementi strutturali, prevede un approccio preliminare basato sulla modellazione della struttura attraverso un processo di discretizzazione agli elementi finiti facendo riferimento ad un modello elastico.

La modellazione della struttura e la rielaborazione dei risultati del calcolo sono stati effettuati con il programma ModeSt versione 8.18 prodotto dalla Tecnisoft s.a.s. di Prato.

La struttura è stata calcolata utilizzando come solutore agli elementi finiti il programma Xfinest versione 2016 prodotto dalla Ce.A.S. S.r.l. di Milano.

Il programma ModeSt viene utilizzato per definire la geometria della struttura da analizzare, i carichi cui è sottoposta e le combinazioni di queste. A valle dell'elaborazione agli Elementi Finiti (sviluppata dall'X-Finest) il programma opera le verifiche sui singoli elementi analizzati, utilizzando dei criteri di verifica preventivamente impostati dal progettista, e comunque in linea con il dettato delle NTC 2018.

L'affidabilità del codice utilizzato è stata verificata sia effettuando il raffronto tra casi prova di cui si conoscono i risultati esatti sia esaminando le indicazioni, la documentazione ed i test forniti dal produttore stesso.

Gli elementi strutturali, travi e pilastri in elevazione e graticcio di travi rovesce in fondazione, sono stati schematizzati mediante elementi monodimensionali tipo *frame*.

Essi presentano caratteristiche geometriche e meccaniche in accordo con le proprietà reali dei materiali e delle sezioni che li rappresentano.

Ciascuna asta è stata posizionata in corrispondenza dell'asse baricentrico degli elementi strutturali. L'interazione tra terreno e struttura è stata studiata ipotizzando un comportamento elastico del terreno.

L'interazione tra terreno e struttura è stata studiata ipotizzando un comportamento elastico del terreno. L'intera struttura è poggiata a terra su un letto di molle alla Winkler la cui rigidità viene assegnata per unità di lunghezza di elemento. Il coefficiente di fondazione (Winkler) adottato nel modello è pari a $K = 18000 \text{ kN/m}^3$. Il calcolo è stato condotto come descritto di seguito:

Relazione di calcolo strutture di elevazione

COMMESSA	LOTTO	CODIFICA	DOCUMENTO	REV	FOGLIO
NN1X	00 D 78	CL	FA 01 00 002	B	30 di 108

Per le analisi d'interazione struttura-terreno in direzione verticale, il coefficiente di sottofondo alla Winkler può essere determinato con la seguente relazione:

$$k_w = \frac{E}{(1 - \nu^2) \cdot B \cdot c_t}$$

dove:

- E = modulo elastico del terreno (assunto pari a $E_0/5$, dove E_0 è il modulo di deformazione elastico a piccole deformazioni);
- ν = coefficiente di Poisson = 0.3;
- B = larghezza della fondazione.
- c_t = fattore di forma, coefficiente adimensionale ottenuto dalla interpolazione dei valori dei coefficienti proposti dal Bowles, 1960 (vedasi tabella seguente).

Tabella 12-1 – Fattore di forma per la stima del coefficiente di Winkler

Fondazione Rigida	c_t
- rettangolare con $L/B \leq 10$	$c_t = 0.853 + 0.534 \ln(L/B)$
- rettangolare con $L/B > 10$	$c_t = 2 + 0.0089 (L/B)$
dove L è il lato maggiore della fondazione.	

 $E_{0/5}$ Mpa

 ν_0 0.3

B mm

L mm

 c_t 1.566

 K_w 0.0187 N/mm³

L'analisi degli effetti dovuti all'azione sismica prevede la definizione delle masse strutturali partecipanti all'eccitazione dinamica dovuta al terremoto. Pertanto nel modello le masse strutturali coincidono con i carichi caratteristici permanenti strutturali e non strutturali e con il 30% dei carichi di esercizio.

La presenza del solaio di copertura è stata modellata mediante un vincolo di diaframma al livello di copertura, oltre che con l'assegnazione dei carichi alle travi. L'assegnazione dei carichi alle travi è stata effettuata sulla base della tessitura dei solai secondo il criterio della larghezza d'influenza. Agli elementi in elevazione è stato assegnato un carico termico, pari a quello riportato nell'analisi dei carichi.

Seguono alcune immagini rappresentative del modello di calcolo.

Relazione di calcolo strutture di elevazione

COMMESSA	LOTTO	CODIFICA	DOCUMENTO	REV	FOGLIO
NN1X	00 D 78	CL	FA 01 00 002	B	31 di 108

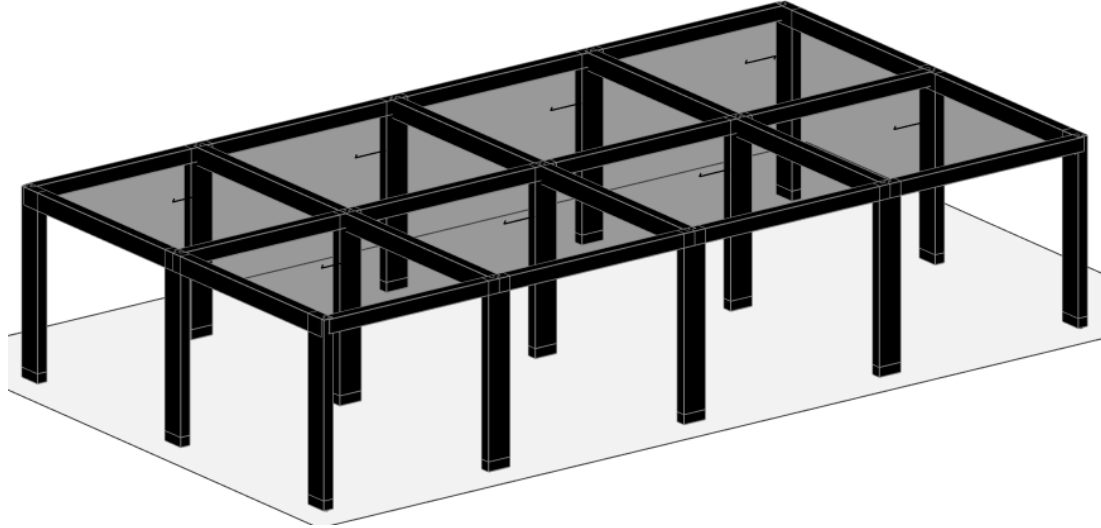


Figura 7.1-1 - Vista estrusa del modello.

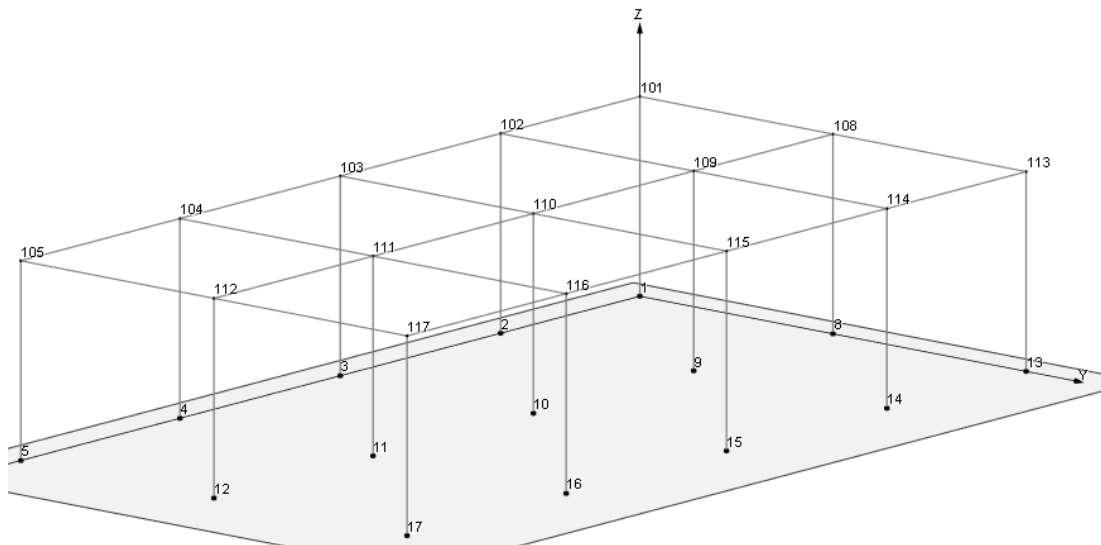


Figura 7.1-2 Numerazione nodi.

Relazione di calcolo strutture di elevazione

COMMESSA	LOTTO	CODIFICA	DOCUMENTO	REV	FOGLIO
NN1X	00 D 78	CL	FA 01 00 002	B	32 di 108

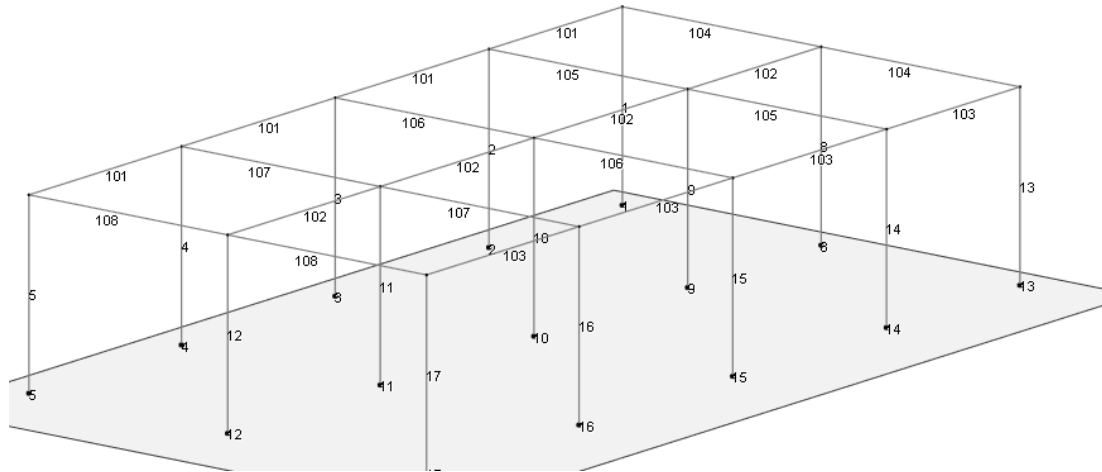


Figura 7.1-3 Modello di calcolo – numerazione aste.

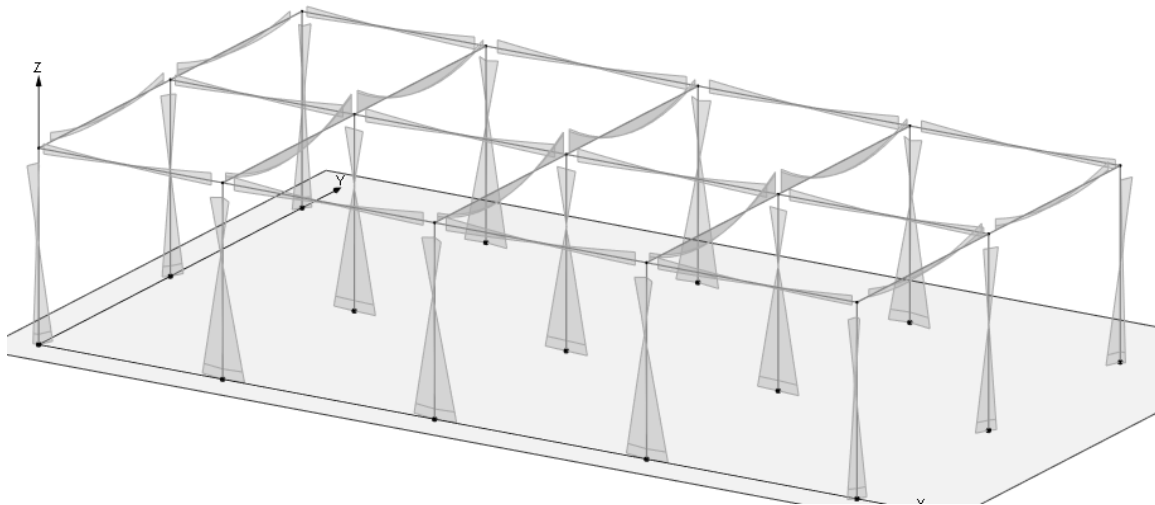


Figura 7.1-4 Diagramma dei momenti M_3 – COMB_INV_SLV

Relazione di calcolo strutture di elevazione

COMMESSA	LOTTO	CODIFICA	DOCUMENTO	REV	FOGLIO
NN1X	00 D 78	CL	FA 01 00 002	B	33 di 108

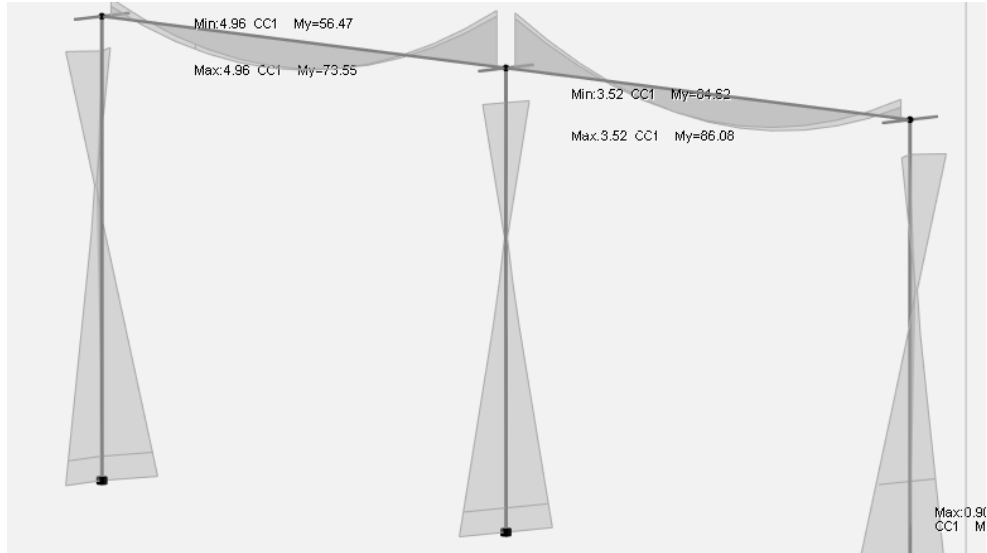


Figura 7.1-5 Diagramma dei momenti M3 - COMB_INV_SLV – Telaio interno

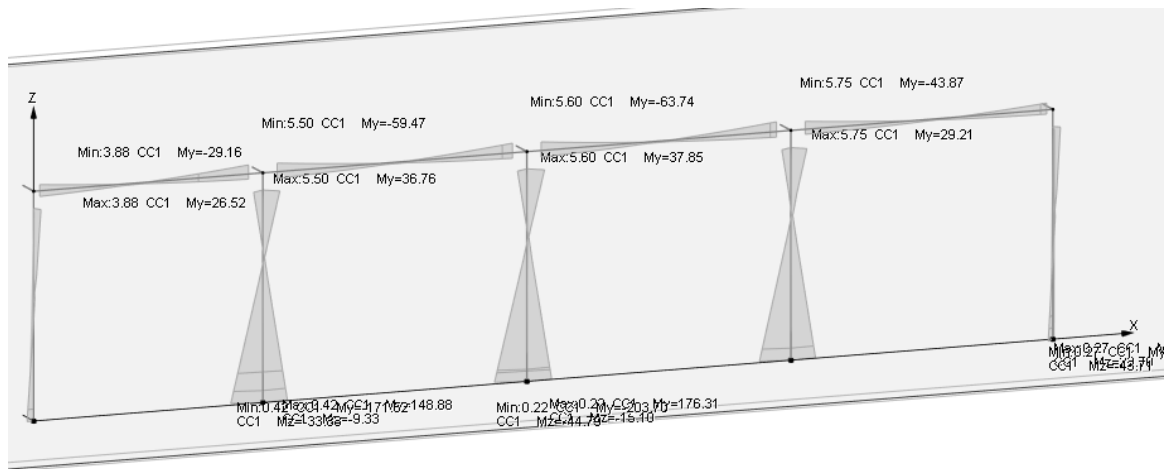


Figura 7.1-6 Diagramma dei momenti M3 - COMB_INV_SLV – Telaio di bordo

Relazione di calcolo strutture di elevazione

COMMESSA	LOTTO	CODIFICA	DOCUMENTO	REV	FOGLIO
NN1X	00 D 78	CL	FA 01 00 002	B	34 di 108

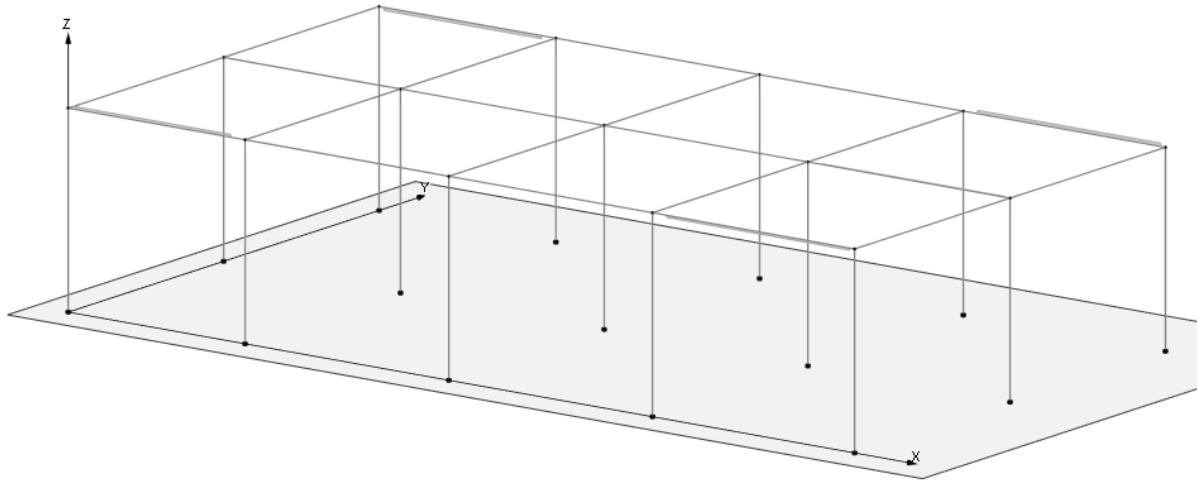


Figura 7.1-7 Diagramma della torsione T- COMB_INV_SLV.

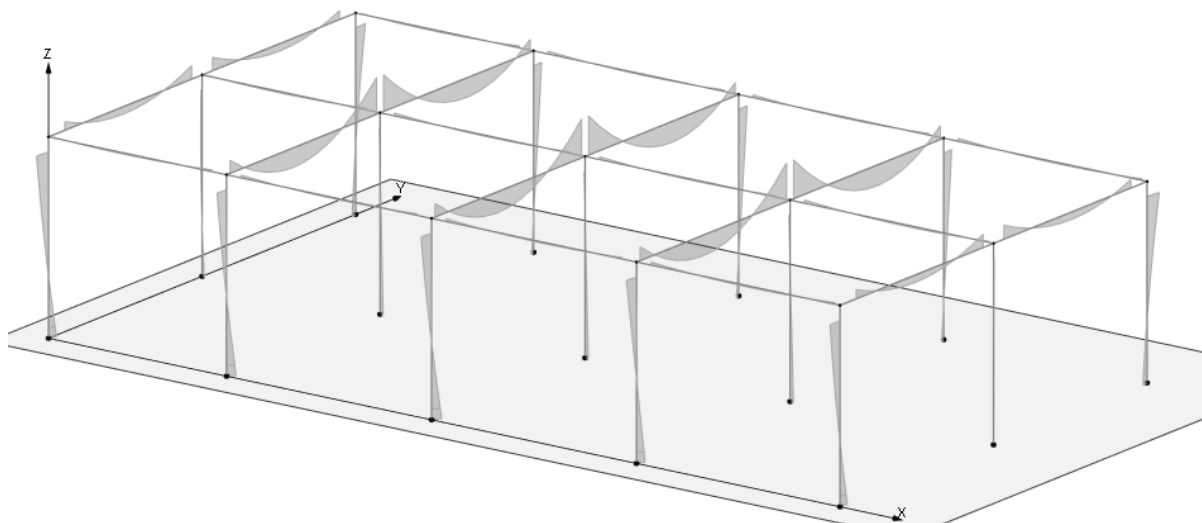


Figura 7.1-8 Diagramma dei momenti M3- COMB_INV_SLU

Relazione di calcolo strutture di elevazione

COMMESSA	LOTTO	CODIFICA	DOCUMENTO	REV	FOGLIO
NN1X	00 D 78	CL	FA 01 00 002	B	35 di 108

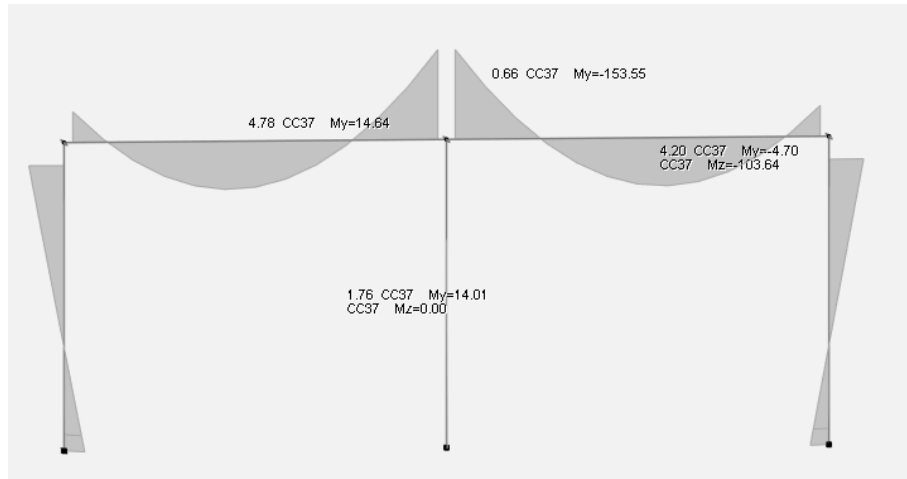


Figura 7.1-9 Diagramma dei momenti M3 – COMB_INV_SLU – Telaio interno.

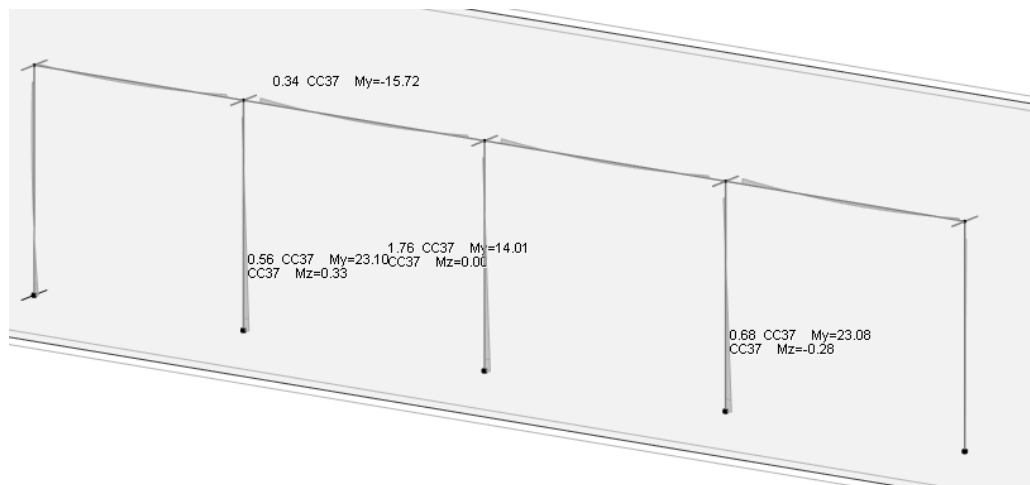


Figura 7.1-10 Diagramma dei momenti M3 – COMB_INV_SLU – Telaio di bordo.

Relazione di calcolo strutture di elevazione

COMMESSA	LOTTO	CODIFICA	DOCUMENTO	REV	FOGLIO
NN1X	00 D 78	CL	FA 01 00 002	B	36 di 108

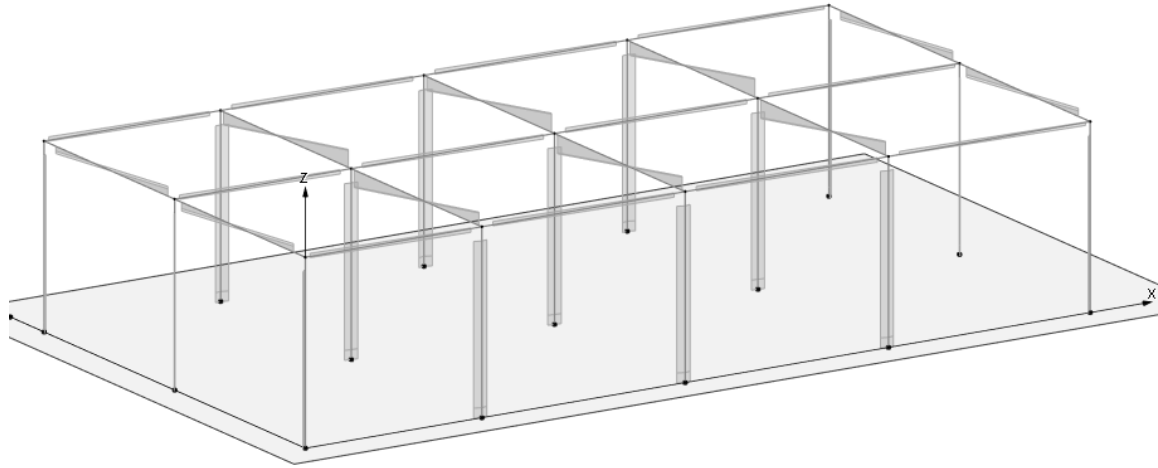


Figura 7.1-11 Diagramma del taglio V2 – COMB_INV_SLV.

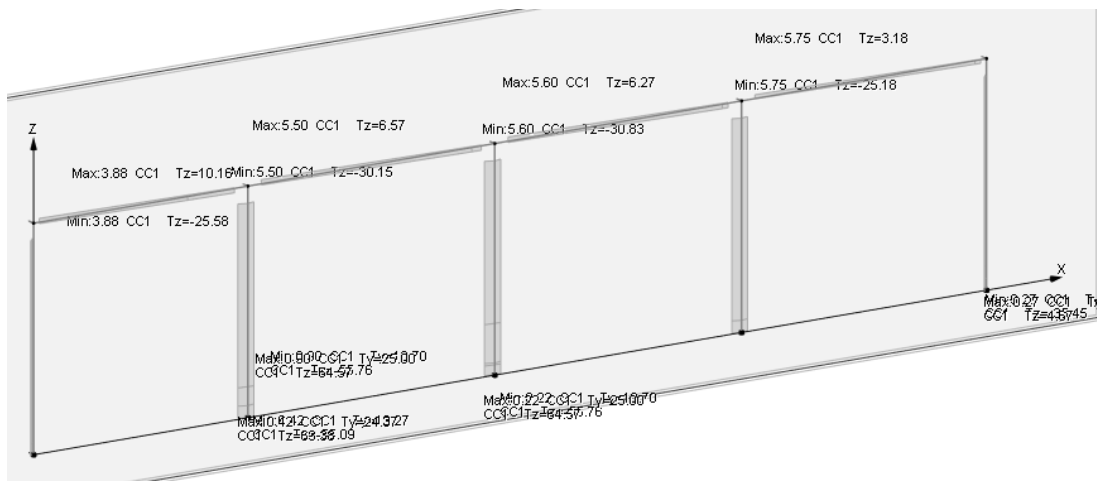


Figura 7.1-12 Diagramma del taglio V2 – COMB_INV_SLV_CC1 – Telaio di bordo

Relazione di calcolo strutture di elevazione

COMMESSA	LOTTO	CODIFICA	DOCUMENTO	REV	FOGLIO
NN1X	00 D 78	CL	FA 01 00 002	B	37 di 108

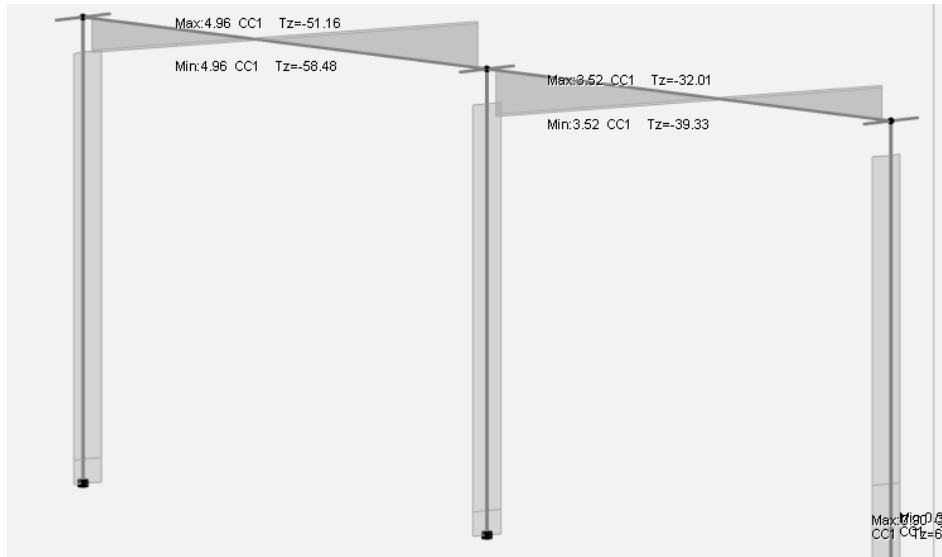


Figura 7.1-13 Diagramma del taglio V2 – COMB_INV_SLV – Telaio interno

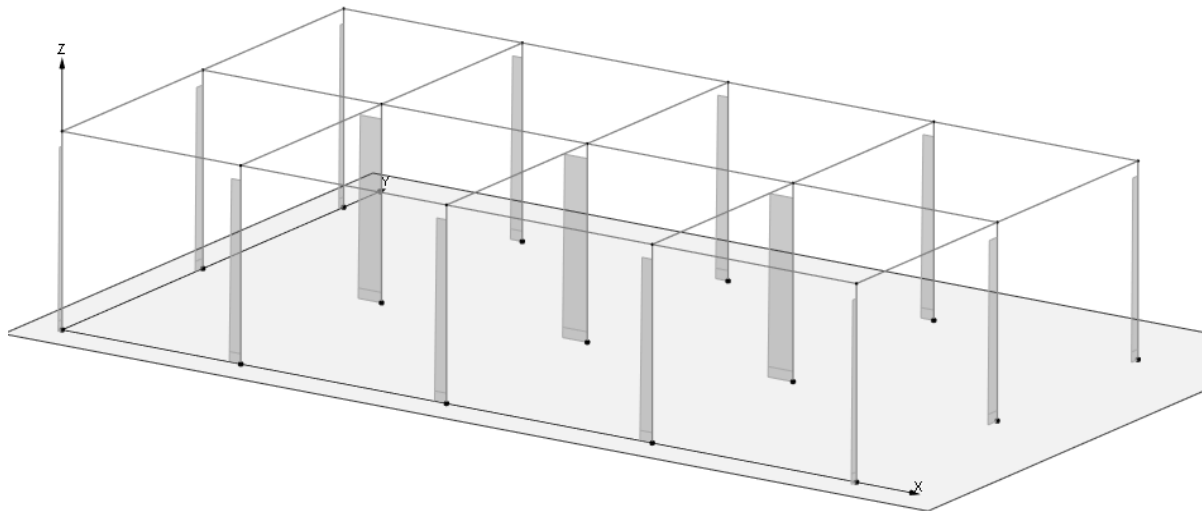


Figura 7.1-14 Diagramma dello sforzo assiale – COMB_INV_SLV

Relazione di calcolo strutture di elevazione

COMMESSA	LOTTO	CODIFICA	DOCUMENTO	REV	FOGLIO
NN1X	00 D 78	CL	FA 01 00 002	B	38 di 108

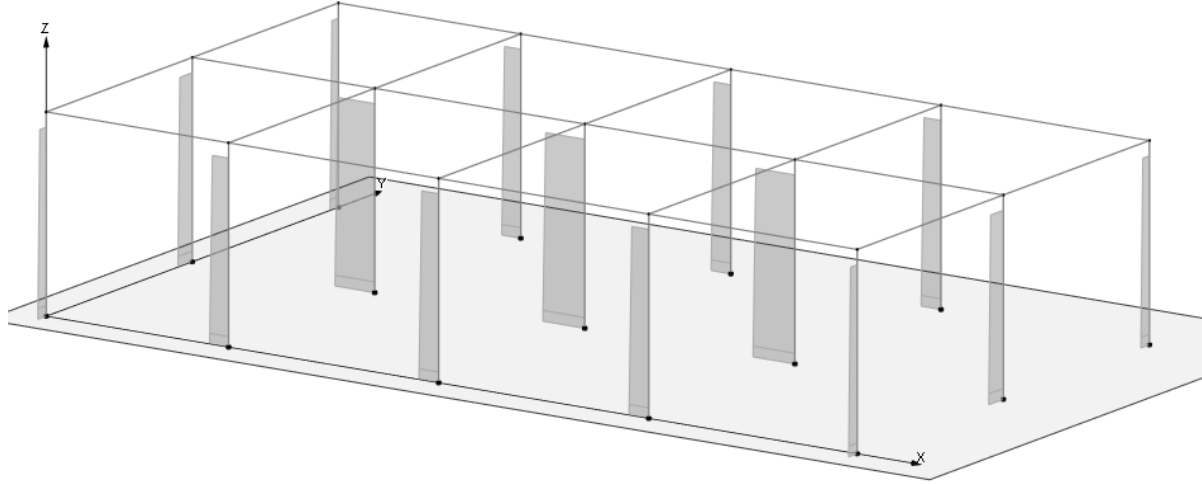


Figura 7.1-15 Diagramma dello sforzo assiale – COMB_INV_SLU

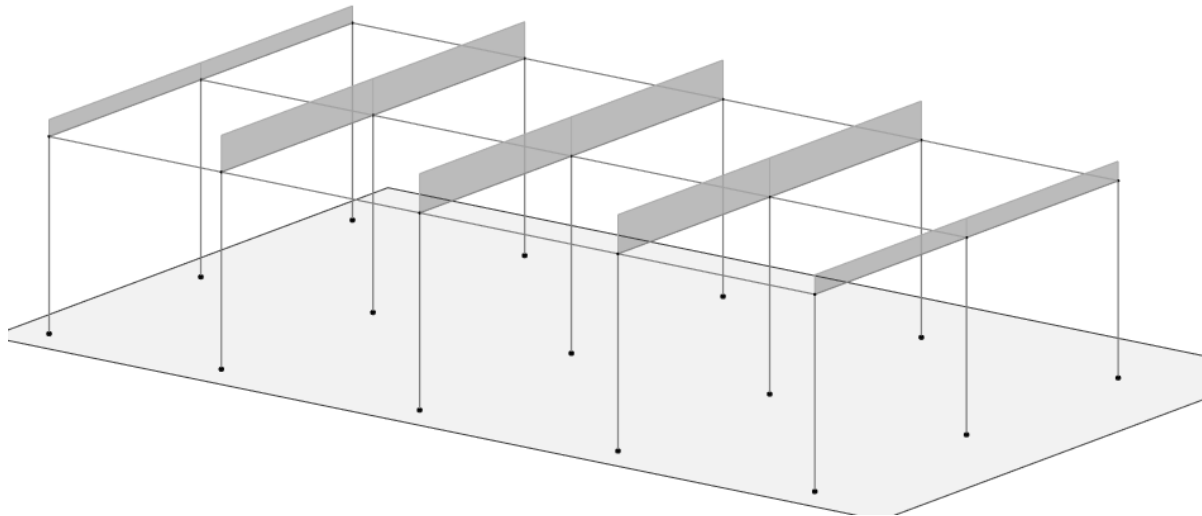


Figura 7.1-16 Schemi di carico - Permanenti solai

Relazione di calcolo strutture di elevazione

COMMESSA	LOTTO	CODIFICA	DOCUMENTO	REV	FOGLIO
NN1X	00 D 78	CL	FA 01 00 002	B	39 di 108

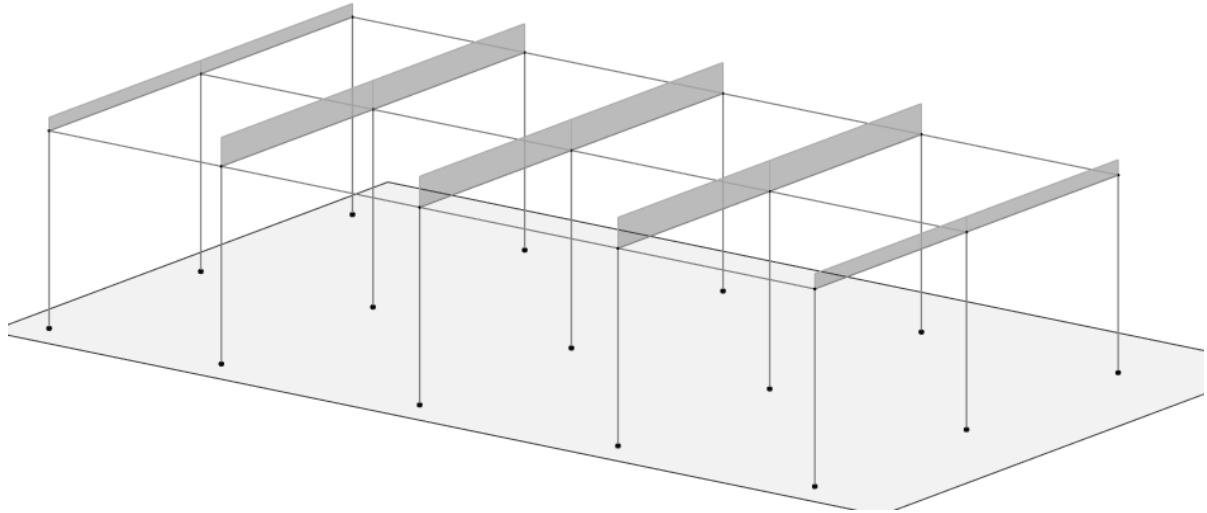


Figura 7.1-17 Schemi di carico – Peso portato dai solai

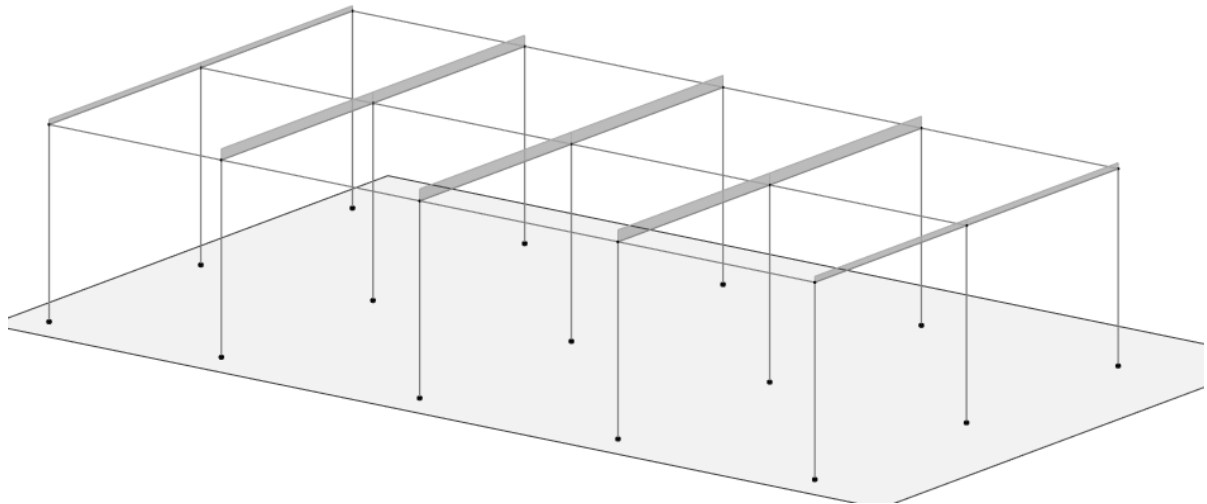


Figura 7.1-18 Schemi di carico - Accidentali copertura

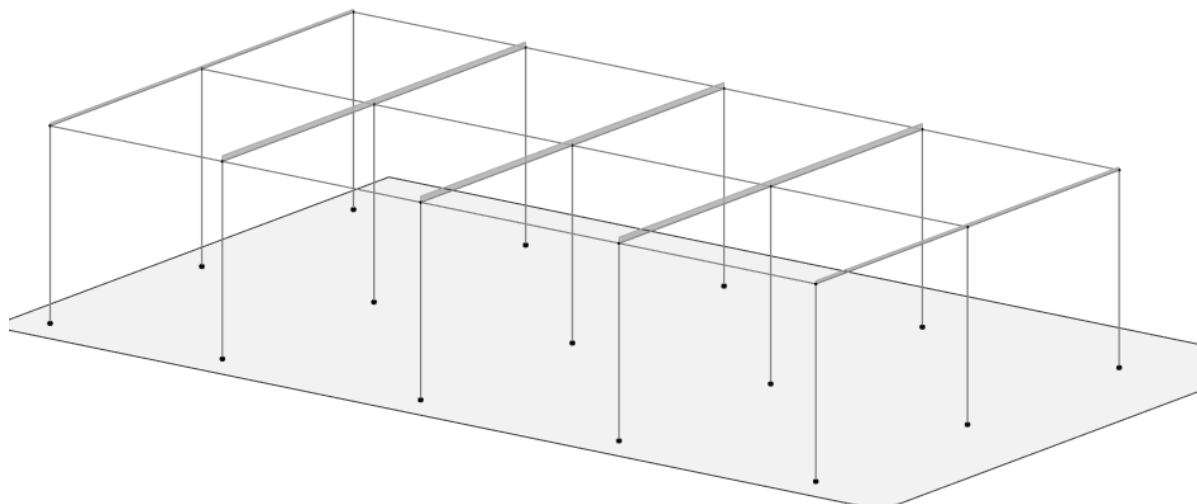


Figura 7.1-19 Schemi di carico - Accidentali neve solai

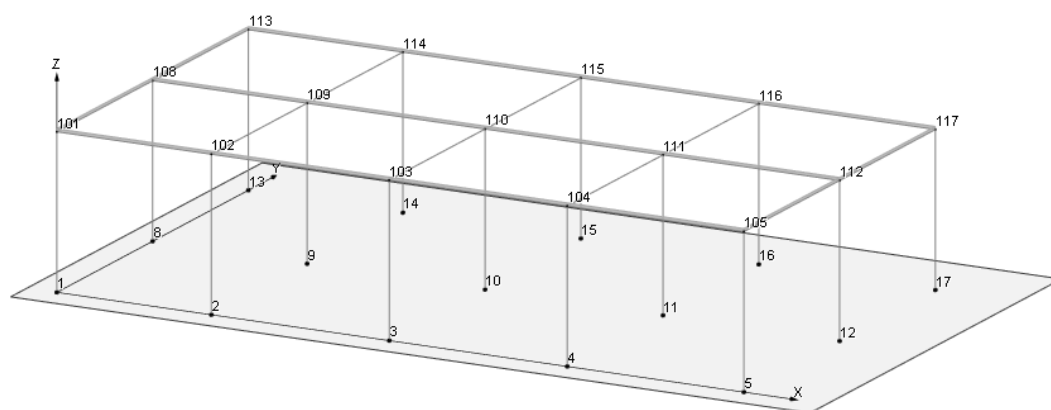


Figura 7.1-20 Schemi di carico – Tamponature copertura

7.2 COMBINAZIONI DELLE AZIONI

Ai fini delle verifiche degli stati limite si definiscono le seguenti combinazioni delle azioni (2.5.3 – NTC2018).

- Combinazione fondamentale, generalmente impiegata per gli stati limite ultimi (SLU):

$$\gamma_{G1} \cdot G_1 + \gamma_{G2} \cdot G_2 + \gamma_P \cdot P + \gamma_{Q1} \cdot Q_{k1} + \gamma_{Q2} \cdot \psi_{02} \cdot Q_{k2} + \gamma_{Q3} \cdot \psi_{03} \cdot Q_{k3} + \dots$$

Relazione di calcolo strutture di elevazione

COMMESSA	LOTTO	CODIFICA	DOCUMENTO	REV	FOGLIO
NN1X	00 D 78	CL	FA 01 00 002	B	41 di 108

- Combinazione caratteristica (rara), generalmente impiegata per gli stati limite di esercizio (SLE) irreversibili:

$$G_1 + G_2 + P + Q_{k1} + \psi_{02} \cdot Q_{k2} + \psi_{03} \cdot Q_{k3} + \dots$$

- Combinazione caratteristica (frequente), generalmente impiegata per gli stati limite di esercizio (SLE) reversibili:

$$G_1 + G_2 + P + \psi_{11} \cdot Q_{k1} + \psi_{22} \cdot Q_{k2} + \psi_{23} \cdot Q_{k3} + \dots$$

- Combinazione caratteristica (quasi permanente), generalmente impiegata per gli effetti a lungo termine (SLE):

$$G_1 + G_2 + P + \psi_{21} \cdot Q_{k1} + \psi_{22} \cdot Q_{k2} + \psi_{23} \cdot Q_{k3} + \dots$$

- Combinazione sismica impiegata per gli stati limite ultimi e di esercizio connessi all'azione sismica E:

$$E + G_1 + G_2 + P + \psi_{21} \cdot Q_{k1} + \psi_{22} \cdot Q_{k2} + \dots$$

Dove:

- Azioni Permanenti (G);
- Azioni Variabili (Q);
- Azioni di Precompressione (P);
- Azioni Eccezionali (A);
- Azioni Sismiche (E);

Le combinazioni delle azioni che sono state adottate per lo SLU sono riportate nelle tabelle seguenti, indicando nella casella, corrispondente all'azione coinvolta, il moltiplicatore dei carichi in funzione della combinazione considerata. Per quanto riguarda le azioni aerodinamiche generate dal transito dei convogli, sono stati utilizzati coefficienti di combinazione Ψ riportati nella tabella 5.2.VI delle NTC2018.

Si precisa che, data la simmetria della struttura, si sono individuate le combinazioni delle azioni tali da risultare maggiormente gravose e sbilanciati per la costruzione in esame.

Per quanto concerne la combinazione delle altre azioni con l'azione sismica è necessario garantire il rispetto degli stati limite, quali definiti al punto 3.2.1 – NTC2018, effettuando opportune verifiche di sicurezza. Ciascuna di esse garantisce, per ogni stato limite, quindi per il corrispettivo livello di azione sismica, il raggiungimento di una data prestazione da parte della costruzione nel suo complesso. Le verifiche di sicurezza da effettuare sono riepilogate in funzione della classe d'uso nella tabella C7.1.I – Circolare2019. A riguardo, si evidenzia che le verifiche allo stato limite di collasso (SLC) devono essere eseguite necessariamente sulle sole costruzioni provviste di isolamento sismico.

Relazione di calcolo strutture di elevazione

COMMESSA	LOTTO	CODIFICA	DOCUMENTO	REV	FOGLIO
NN1X	00 D 78	CL	FA 01 00 002	B	42 di 108

- Combinazioni di carico SLV – SND – SLO:

CC	Commento	TCC	An.	Bk	1	2	3	4	5	6	7	8	9	Mt	±S X	±S Y
1	Amb. 1 (SLU S) S M	SLV+SND	L		1.00	1.00	1.00	0.00	0.20	0.00	1.00	0.00	0.00	1.00	1.00	0.30
2	Amb. 1 (SLE) S Mt+	SLD	L		1.00	1.00	1.00	0.00	0.20	0.00	1.00	0.00	0.00	1.00	1.00	0.30
3	Amb. 1 (SLE) S Mt+	SLO	L		1.00	1.00	1.00	0.00	0.20	0.00	1.00	0.00	0.00	1.00	1.00	0.30
4	Amb. 1 (SLU S) S M	SLV+SND	L		1.00	1.00	1.00	0.00	0.20	0.00	1.00	0.00	0.00	1.00	1.00	-0.30
5	Amb. 1 (SLE) S Mt+	SLD	L		1.00	1.00	1.00	0.00	0.20	0.00	1.00	0.00	0.00	1.00	1.00	-0.30
6	Amb. 1 (SLE) S Mt+	SLO	L		1.00	1.00	1.00	0.00	0.20	0.00	1.00	0.00	0.00	1.00	1.00	-0.30
7	Amb. 1 (SLU S) S M	SLV+SND	L		1.00	1.00	1.00	0.00	0.20	0.00	1.00	0.00	0.00	1.00	0.30	1.00
8	Amb. 1 (SLE) S Mt+	SLD	L		1.00	1.00	1.00	0.00	0.20	0.00	1.00	0.00	0.00	1.00	0.30	1.00
9	Amb. 1 (SLE) S Mt+	SLO	L		1.00	1.00	1.00	0.00	0.20	0.00	1.00	0.00	0.00	1.00	0.30	1.00
10	Amb. 1 (SLU S) S M	SLV+SND	L		1.00	1.00	1.00	0.00	0.20	0.00	1.00	0.00	0.00	1.00	-0.30	1.00
11	Amb. 1 (SLE) S Mt-	SLD	L		1.00	1.00	1.00	0.00	0.20	0.00	1.00	0.00	0.00	1.00	-0.30	1.00
12	Amb. 1 (SLE) S Mt-	SLO	L		1.00	1.00	1.00	0.00	0.20	0.00	1.00	0.00	0.00	1.00	-0.30	1.00
13	Amb. 1 (SLU S) S -	SLV+SND	L		1.00	1.00	1.00	0.00	0.20	0.00	1.00	0.00	0.00	-1.00	1.00	0.30
14	Amb. 1 (SLE) S -Mt	SLD	L		1.00	1.00	1.00	0.00	0.20	0.00	1.00	0.00	0.00	-1.00	1.00	0.30
15	Amb. 1 (SLE) S -Mt	SLO	L		1.00	1.00	1.00	0.00	0.20	0.00	1.00	0.00	0.00	-1.00	1.00	0.30
16	Amb. 1 (SLU S) S -	SLV+SND	L		1.00	1.00	1.00	0.00	0.20	0.00	1.00	0.00	0.00	-1.00	1.00	-0.30
17	Amb. 1 (SLE) S -Mt	SLD	L		1.00	1.00	1.00	0.00	0.20	0.00	1.00	0.00	0.00	-1.00	1.00	-0.30
18	Amb. 1 (SLE) S -Mt	SLO	L		1.00	1.00	1.00	0.00	0.20	0.00	1.00	0.00	0.00	-1.00	1.00	-0.30
19	Amb. 1 (SLU S) S -	SLV+SND	L		1.00	1.00	1.00	0.00	0.20	0.00	1.00	0.00	0.00	-1.00	0.30	1.00
20	Amb. 1 (SLE) S -Mt	SLD	L		1.00	1.00	1.00	0.00	0.20	0.00	1.00	0.00	0.00	-1.00	0.30	1.00
21	Amb. 1 (SLE) S -Mt	SLO	L		1.00	1.00	1.00	0.00	0.20	0.00	1.00	0.00	0.00	-1.00	0.30	1.00
22	Amb. 1 (SLU S) S -	SLV+SND	L		1.00	1.00	1.00	0.00	0.20	0.00	1.00	0.00	0.00	-1.00	-0.30	1.00
23	Amb. 1 (SLE) S -Mt	SLD	L		1.00	1.00	1.00	0.00	0.20	0.00	1.00	0.00	0.00	-1.00	-0.30	1.00
24	Amb. 1 (SLE) S -Mt	SLO	L		1.00	1.00	1.00	0.00	0.20	0.00	1.00	0.00	0.00	-1.00	-0.30	1.00

- Combinazioni SLU – SLE

25	Amb. 2 (SLU)	SLU	L		1.30	1.30	1.50	1.50	1.50	1.50	1.50	0.00	0.00	0.00	0.00	0.00
26	Amb. 2 (SLE R)	SLE R	L		1.00	1.00	1.00	1.00	1.00	1.00	1.00	0.00	0.00	0.00	0.00	0.00
27	Amb. 2 (SLE F)	SLE F	L		1.00	1.00	1.00	0.00	0.50	0.50	1.00	0.00	0.00	0.00	0.00	0.00
28	Amb. 2 (SLE Q)	SLE Q	L		1.00	1.00	1.00	0.00	0.20	0.00	1.00	0.00	0.00	0.00	0.00	0.00
29	Amb. 3 (SLU)	SLU	L		1.30	1.30	1.50	1.50	1.50	1.50	1.50	1.50	0.00	0.00	0.00	0.00
30	Amb. 3 (SLU)	SLU	L		1.30	1.30	1.50	1.50	1.50	1.50	1.50	0.90	0.00	0.00	0.00	0.00
31	Amb. 3 (SLE R)	SLE R	L		1.00	1.00	1.00	1.00	1.00	1.00	1.00	1.00	0.00	0.00	0.00	0.00
32	Amb. 3 (SLE R)	SLE R	L		1.00	1.00	1.00	1.00	1.00	1.00	1.00	0.60	0.00	0.00	0.00	0.00
33	Amb. 3 (SLE F)	SLE F	L		1.00	1.00	1.00	0.00	0.50	0.50	1.00	0.20	0.00	0.00	0.00	0.00
34	Amb. 3 (SLE F)	SLE F	L		1.00	1.00	1.00	0.00	0.50	0.50	1.00	0.00	0.00	0.00	0.00	0.00
35	Amb. 3 (SLE Q)	SLE Q	L		1.00	1.00	1.00	0.00	0.20	0.00	1.00	0.00	0.00	0.00	0.00	0.00
36	Amb. 4 (SLU)	SLU	L		1.30	1.30	1.50	1.50	1.50	1.50	1.50	0.00	1.50	0.00	0.00	0.00
37	Amb. 4 (SLU)	SLU	L		1.30	1.30	1.50	1.50	1.50	1.50	1.50	0.00	0.90	0.00	0.00	0.00
38	Amb. 4 (SLE R)	SLE R	L		1.00	1.00	1.00	1.00	1.00	1.00	1.00	0.00	1.00	0.00	0.00	0.00
39	Amb. 4 (SLE R)	SLE R	L		1.00	1.00	1.00	1.00	1.00	1.00	1.00	0.00	0.60	0.00	0.00	0.00
40	Amb. 4 (SLE F)	SLE F	L		1.00	1.00	1.00	0.00	0.50	0.50	1.00	0.00	0.20	0.00	0.00	0.00
41	Amb. 4 (SLE F)	SLE F	L		1.00	1.00	1.00	0.00	0.50	0.50	1.00	0.00	0.00	0.00	0.00	0.00
42	Amb. 4 (SLE Q)	SLE Q	L		1.00	1.00	1.00	0.00	0.20	0.00	1.00	0.00	0.00	0.00	0.00	0.00

- Condizioni di carico elementari

CCE	Commento	Tipo CCE	Sic.	Var.	Peso	C. A.	Dir.	Tipo	s	Mx	My	Mz	Jpx	Jpy	Jpz
1	Peso proprio	1 D.M. 18 Permanenti	a sfavore		<input checked="" type="checkbox"/>	P			1.00	1.0	1.0	0.0	0.0	0.0	1.0
2	Peso proprio solai	1 D.M. 18 Permanenti	a sfavore		<input type="checkbox"/>	QPS			1.00	1.0	1.0	0.0	0.0	0.0	1.0
3	Permanente portato sola	2 D.M. 18 Permanenti	a sfavore		<input type="checkbox"/>	QPN			1.00	1.0	1.0	0.0	0.0	0.0	1.0
4	Accidentale solai	19 D.M. 18 Variabili C	a sfavore	di base	<input type="checkbox"/>	QA			1.00	1.0	1.0	0.0	0.0	0.0	1.0
5	Accidentale neve	13 D.M. 18 Variabili N	a sfavore	di base	<input type="checkbox"/>	QA2			1.00	1.0	1.0	0.0	0.0	0.0	1.0
6	Variazione termica	10 D.M. 18 Variabili	a sfavore	di base	<input type="checkbox"/>				1.00	1.0	1.0	0.0	0.0	0.0	1.0
7	Tamponature	2 D.M. 18 Permanenti	a sfavore		<input type="checkbox"/>				1.00	1.0	1.0	0.0	0.0	0.0	1.0
8	Vento X	11 D.M. 18 Variabili	a sfavore	ambigua	<input type="checkbox"/>		0	Massimizzata	1.00						
9	Vento Y	11 D.M. 18 Variabili	a sfavore	ambigua	<input type="checkbox"/>		90	Massimizzata	1.00						

7.3 ANALISI MODALE

L'analisi a spettro di risposta cerca la risposta più probabile alle equazioni di equilibrio dinamico associate alla risposta della struttura al moto del suolo. L'accelerazione del suolo dovuta ad un terremoto in ogni direzione viene espressa come una curva di spettro di risposta della pseudo-accellerazione spettrale in funzione del periodo della struttura.

Anche se le accelerazioni possono essere specificate in 3 direzioni, viene prodotto un unico risultato positivo per ciascuna quantità in risposta; le quantità in risposta comprendono spostamenti, forze e tensioni. Ciascun risultato calcolato rappresenta una misura statistica della grandezza più probabile di quella particolare quantità in risposta. È da attendersi che la vera risposta sia compresa in un intervallo che va dal valore positivo a quello negativo del valore trovato.

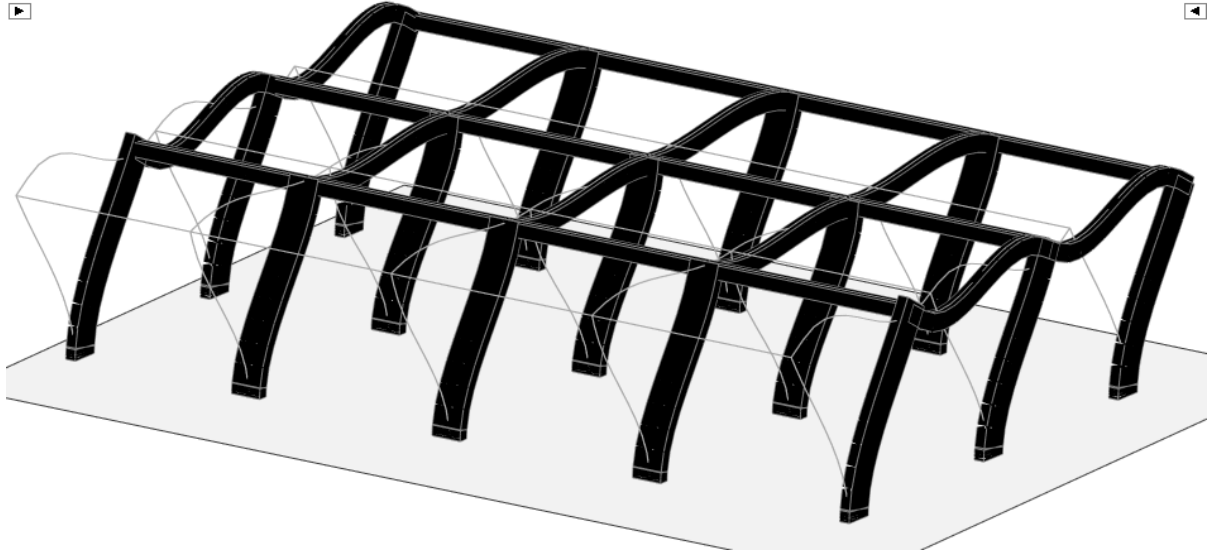
L'analisi a spettro di risposta viene eseguita usando la sovrapposizione dei modi, ricavati usando l'analisi agli autovettori. Per una data direzione di accelerazione, la risposta modale è calcolata su tutta la struttura per ciascuno dei modi di vibrazione: questi valori modali, per una data quantità in risposta, vengono combinati per produrre un unico risultato positivo per quella data direzione di accelerazione, usando il metodo CQC.

Si riportano nella tabella e nelle immagini seguenti i risultati dell'analisi modale condotta sulla struttura.

	Risultato	Cons.	T	%Mx	%My	%Jpz
Totali:				100.0	100.0	100.0
1	Modo n. 1	<input checked="" type="checkbox"/>	0.326	0.00	99.99	0.01
2	Modo n. 2	<input checked="" type="checkbox"/>	0.307	100.0	0.00	0.00
3	Modo n. 3	<input checked="" type="checkbox"/>	0.230	0.00	0.01	99.99

Relazione di calcolo strutture di elevazione

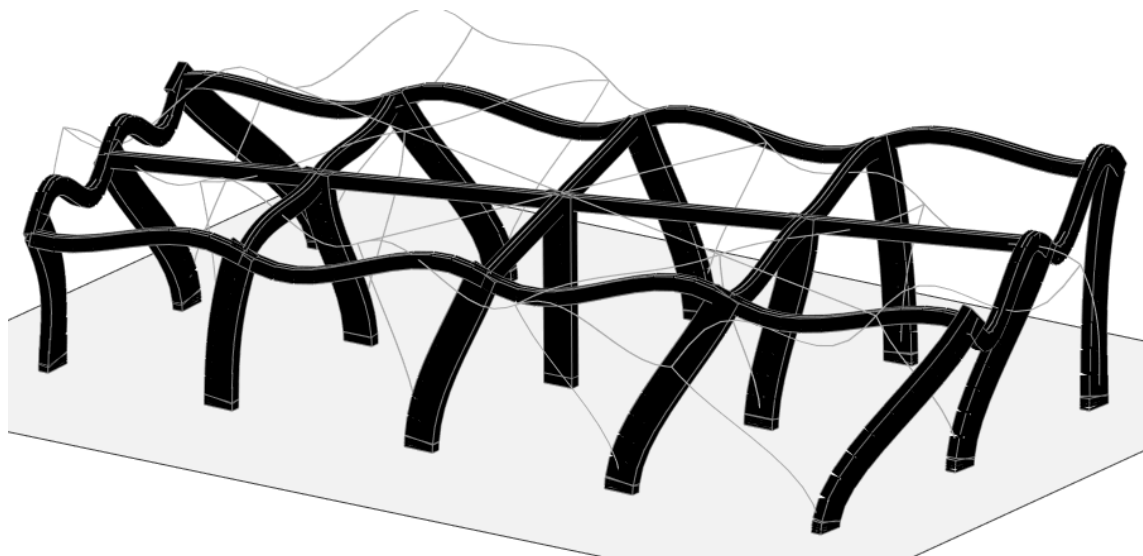
COMMESSA	LOTTO	CODIFICA	DOCUMENTO	REV	FOGLIO
NN1X	00 D 78	CL	FA 01 00 002	B	44 di 108



Modo 1



Modo 2



Modo 3

8 VERIFICHE STRUTTURALI

Di seguito si riportano le verifiche relative agli elementi strutturali principali della struttura.

8.1 SOLAIO DI COPERTURA

Il solaio si considera, a vantaggio di sicurezza, come una trave semplicemente appoggiata, con campata di luce pari a $L = 6.15$ m.

Con riferimento all'analisi dei carichi, di seguito si riportano le caratteristiche di sollecitazioni significative. La verifica viene condotta in riferimento al singolo travetto (interasse $i = 0.54$ m).

Si considera agente il peso proprio dell'intero solaio, il carico della neve, il carico del vento ed il sovraccarico variabile. Lo schema è quello di trave semplicemente appoggiata per il dimensionamento della sezione in campata e di trave doppiamente incastrata per le sezioni di appoggio.

Relazione di calcolo strutture di elevazione

COMMESSA	LOTTO	CODIFICA	DOCUMENTO	REV	FOGLIO
NN1X	00 D 78	CL	FA 01 00 002	B	46 di 108

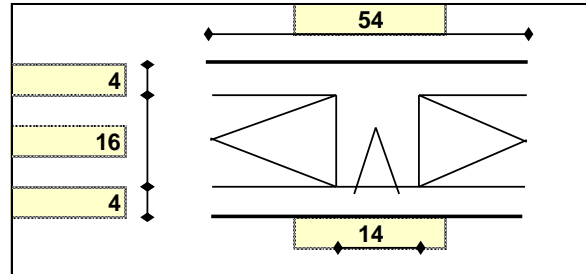
Verifica di SLU a flessione

Geometria

Misure in centimetri

Tipo di solaio

Con blocchi in POLISTIROLO



Controllo limiti geometrici

Luce massima consigliata (snellezza 25) (m)

Larghezza dei blocchi calcolata (cm)

Larghezza max dei blocchi in laterizio (cm)

Larghezza min. nervature per blocchi in laterizio (cm)

Interasse max nervature per blocchi in laterizio (cm)

L max	6.15
Largh.	40
Largh.	
b min	
i max	

Luci e carichi

Luci (m)

Peso proprio solaio calcolato (daN/mq.)

Peso proprio solaio adottato (daN/mq.)

Sovr. perm. compiutamente definiti (daN/mq.)

Sovr. perm. non-compiutamente definiti (daN/mq.)

Sovr. variabili (daN/mq.)

Carichi totali (daN/m)

L	6.15
p.p. calc	328
p.p.	328
g1	0
g2	260
q	50
tot	638

Momento d'incastro negativo alle due estremità

x sx	36	36	x dx
Mg1 sx	-186	-186	Mg1 dx
Mg2 sx	-148	-148	Mg2 dx
Mq sx	-28	-28	Mq dx
Mtot sx	-362	-362	Mtot dx

Categoria del carico variabile

Cat. H Coperture	ψ_0	0.0
	ψ_1	0.0
	ψ_2	0.0

Relazione di calcolo strutture di elevazione

COMMESSA	LOTTO	CODIFICA	DOCUMENTO	REV	FOGLIO
NN1X	00 D 78	CL	FA 01 00 002	B	47 di 108

1: COMBINAZIONE ULTIMA

Momenti Max -	-506	-506
Momenti Max +	1770	1770
Tagli dx Max	1480	
Tagli sx Max		1480
Reazioni Max	1480	1480
Reazioni Max per fascia di un metro	2741	2741

2: COMBINAZIONE RARA

Momenti Max -	-362	-362
Momenti Max +	1267	1267
Tagli dx Max	1059	
Tagli sx Max		1059
Reazioni Max	1059	1059
Reazioni Max per fascia di un metro	1962	1962

3: COMBINAZIONE QUASI PERMANENTE

Momenti Max -	-334	-334
Momenti Max +	1168	1168
Tagli dx Max	976	
Tagli sx Max		976
Reazioni Max	976	976
Reazioni Max per fascia di un metro	1808	1808

4: COMBINAZIONE FREQUENTE

Momenti Max -	-334	-334
Momenti Max +	1168	1168
Tagli dx Max	976	
Tagli sx Max		976
Reazioni Max	976	976
Reazioni Max per fascia di un metro	1808	1808

Materiali

Calcestruzzo

 Classe **C30/37**

Acciaio

 Tipo **B450C**
Dati geometrici

Diametro delle barre longitudinali superiori (mm)

 ϕ **14** 14

Diametro delle barre longitudinali inferiori (mm)

 ϕ **14** 14

Relazione di calcolo strutture di elevazione

COMMESSA	LOTTO	CODIFICA	DOCUMENTO	REV	FOGLIO
NN1X	00 D 78	CL	FA 01 00 002	B	48 di 108

Armatura appoggi

	ϕ	n.	n.	c
	-	-	-	2.0
sup.	$\phi 14$	1	1	2.0
inf.	$\phi 14$	1	1	2.0
	-	-	-	2.0

1: VERIFICHE IN COMBINAZIONE ULTIMA

mm	B	140	140
mm	H	240	240
mm	c	27	27
mm ²	As compr	154	154
mm ²	As tesa	154	154
MPa	fcd	17.40	17.40
MPa	fyd	391.3	391.3
N	Ned	0	0
Momento sollecitante (daN*m)	Med	506	506
Momento resistente (daN*m)	Mrd	1194	1194
fattore di sicurezza	f	2.36	2.36
Asse neutro (cm)	xc	3	3
Sforzo acciaio (daN/cm ²)	σ_s	3913	3913
Sforzo calcestruzzo (daN/cm ²)	σ_c	-172.4	-172.4
Deformazione acciaio	ϵ_s	1.000%	1.000%
Deformazione calcestruzzo	ϵ_c	-0.181%	-0.181%
Campo di rottura	n.	2	2
Ridistribuzione massima consentita	1- δ	0%	0%
Controllo	1- δ	si	si

2: VERIFICHE IN COMBINAZIONE RARA

	B	14	14
	d	21.30	21.30
	h'	2.7	2.7
	M	362	362
	As tesa	1.54	1.54
	As compr	1.54	1.54
	y	6.19	6.19
	Jci	6657	6657
	σ limite	3600	3600
	σ	1232	1232
fattore di sicurezza lato acciaio	f	2.92	2.92
	σ limite	184.3	184.3
	σ	33.7	33.7
fattore di sicurezza lato cls	f	5.48	5.48

3: VERIFICHE IN COMBINAZIONE QUASI PERMANENTE

	B	14	14
	d	21.30	21.30
	h'	2.7	2.7
	M	334	334
	As tesa	1.54	1.54
	As compr	1.54	1.54
	y	6.19	6.19
	Jci	6657	6657
	σ limite	138.2	138.2
	σ	31.0	31.0
fattore di sicurezza lato cls	f	4.46	4.46

Armatura campate

	ϕ	n .	c
	-	-	2.0
sup.	Ø14	-	2.0
inf.	Ø14	2	2.0
	-	-	2.0

 controllo armatura minima scelta: $+1/12 p l^2$ **si**
1: VERIFICHE IN COMBINAZIONE ULTIMA

mm	B	540
mm	H	240
mm	c	27
mm ²	As compr	0
mm ²	As tesa	308
MPa	fcd	13.92
MPa	fyd	391.3
N	Ned	0
Momento sollecitante (daN*m)	Med	1770
Momento resistente (daN*m)	Mrd	2441
fattore di sicurezza	f	1.38
Asse neutro (cm)	xc	3
Sforzo acciaio (daN/cm ²)	σ_s	3913
Sforzo calcestruzzo (daN/cm ²)	σ_c	-131.3
Deformazione acciaio	ϵ_s	1.000%
Deformazione calcestruzzo	ϵ_c	-0.152%
Campo di rottura	n.	2

2: VERIFICHE IN COMBINAZIONE RARA

	B	54
	d	21.3
	h'	0.0
	M	1267
	As tesa	3.08
	As compr	0.00
	y	5.24
	Jci	14495
	σ limite	3600
	σ	2105
fattore di sicurezza lato acciaio	f	1.71
	σ limite	147.4
	σ_c	45.8
fattore di sicurezza lato cls	f	3.22

3: VERIFICHE IN COMBINAZIONE QUASI PERMANENTE

	B	54
	d	21.3
	h'	0.0
	M	1168
	As tesa	3.08
	As compr	0.00
	y	5.24
	Jci	14495
	σ limite	110.6
	σ	42.2
fattore di sicurezza lato cls	f	2.62
	σ	1940
	σ	1940

4: VERIFICHE IN COMBINAZIONE FREQUENTE

σ	1940
----------	------

Relazione di calcolo strutture di elevazione

COMMESSA	LOTTO	CODIFICA	DOCUMENTO	REV	FOGLIO
NN1X	00 D 78	CL	FA 01 00 002	B	50 di 108

Verifica di SLU a taglio

La verifica a taglio si effettua considerando la larghezza effettiva del travetto centrale $b_w=13\text{cm}$.

La verifica di resistenza (SLU) si pone con

$$V_{Rd} \geq V_{Ed} \quad (4.1.13)$$

dove V_{Ed} è il valore di calcolo dello sforzo di taglio agente.

Con riferimento all'elemento fessurato da momento flettente, la resistenza al taglio si valuta con

$$V_{Rd} = \left\{ 0,18 \cdot k \cdot (100 \cdot \rho_1 \cdot f_{tk})^{1/3} / \gamma_c + 0,15 \cdot \sigma_{cp} \right\} \cdot b_w \cdot d \geq (v_{min} + 0,15 \cdot \sigma_{cp}) \cdot b_w \cdot d \quad (4.1.14)$$

con

$$k = 1 + (200/d)^{1/2} \leq 2$$

$$v_{min} = 0,035 k^{3/2} f_{tk}^{1/2}$$

e dove

d è l'altezza utile della sezione (in mm);

$\rho_1 = A_{s1} / (b_w \cdot d)$ è il rapporto geometrico di armatura longitudinale ($\leq 0,02$);

$\sigma_{cp} = N_{Ed} / A_c$ è la tensione media di compressione nella sezione ($\leq 0,2 f_{cd}$);

b_w è la larghezza minima della sezione (in mm).

Verifiche a taglio

fck	307
b	140
d (mm)	213
k calc	1.97
k	1.97
v min	0.54
ρ_1 calc	0.0052
ρ_1	0.0052
VRd1	1770
VRd2	1598
ρ_1 calc	0.0052
ρ_1	0.0052
VRd1	1770
VRd2	1598

2: con fasce piene e barre longitudinali tese

	ϕ	n.	n.
sup.	Ø14	1	1
inf.	Ø14	1	1

Tagli resistenti sx (daN)	VRd	1770
fascia piena (dall'asse dell'appoggio)	d1	-
Tagli resistenti dx (daN)	VRd	1770
fascia piena (dall'asse dell'appoggio)	d2	-

Verifica delle tensioni in esercizio

Si calcolano le massime tensioni sia nel calcestruzzo sia nelle armature; si deve verificare che tali tensioni siano inferiori ai massimi valori consentiti di seguito riportati.

La massima tensione di compressione del calcestruzzo σ_c , deve rispettare la limitazione seguente:

$\sigma_c < 0,60 f_{ck} = 16,80 \text{ N/mm}^2$ per combinazione caratteristica (rara);

Verifiche di fessurazione			
CONDIZ. AMBIENTALI ORDINARIE			
Appoggi			
	diametro armature superiori	ϕ	14
	combinazione frequente	σ_s	1136
	comb. frequente CONDIZ. AMBIENTALI ORDINARIE	f	2.86
	combinazione quasi permanente	σ_s	1136
	comb. quasi perm. CONDIZ. AMBIENTALI ORDINARIE	f	2.29
Campate			
	diametro armature inferiori	ϕ	14
	combinazione frequente	σ_s	1940
	comb. frequente CONDIZ. AMBIENTALI ORDINARIE	f	2.37
	combinazione quasi permanente	σ_s	1940
	comb. quasi perm. CONDIZ. AMBIENTALI ORDINARIE	f	1.86

Verifica di deformabilità

Il calcolo della deformazione flessionale di solai e travi si effettua in genere mediante integrazione delle curvature tenendo conto della viscosità del calcestruzzo e, se del caso, degli effetti del ritiro.

Per il calcolo delle deformazioni flessionali si considera lo stato non fessurato (sezione interamente reagente) per tutte le parti della struttura per le quali, nelle condizioni di carico considerate, le tensioni di trazione nel calcestruzzo non superano la sua resistenza media f_{ctm} a trazione. Per le altre parti si fa riferimento allo stato fessurato, potendosi considerare l'effetto irrigidente del calcestruzzo teso fra le fessure.

Al riguardo detto p_f il valore assunto dal parametro di deformazione nella membratura interamente fessurata e p il valore assunto da detto parametro nella membratura interamente reagente, il valore di calcolo p^* del parametro è dato da

$$p^* = \zeta * p_f + (1 - \zeta) * p$$

in cui:

$$\zeta = 1 - c\beta^2.$$

Nell'equazione precedente il fattore β è il rapporto tra il momento di fessurazione M_f e il momento flettente effettivo, $\beta = M_f / M$, o il rapporto tra la forza normale di fessurazione N_f e la forza normale effettiva, $\beta = N_f / N$, a seconda che la membratura sia soggetta a flessione o a trazione, e il coefficiente c assume il valore 1, nel caso di applicazione di un singolo carico di breve durata, o il valore 0,50 nel caso di carichi permanenti o per cicli di carico ripetuti.

Per quanto riguarda la salvaguardia dell'aspetto e della funzionalità dell'opera, le frecce a lungo termine di travi e solai, calcolate sotto la condizione quasi permanente dei carichi, non dovrebbero superare il limite di 1/250 della luce.

Si procede al calcolo considerando in favore di sicurezza il travetto centrale della predalle tipo, la cui rappresentazione grafica è riportata qui di seguito:

Relazione di calcolo strutture di elevazione

COMMESSA	LOTTO	CODIFICA	DOCUMENTO	REV	FOGLIO
NN1X	00 D 78	CL	FA 01 00 002	B	52 di 108

Verifiche di deformabilità

PER L'ASPETTO E LA FUNZIONALITA'

Coefficiente di viscosità (11.2.10.7)

$\phi(\text{inf})$

1.6

Freccia massima sez. non-fessurata (cm)

f max

0.65

Freccia massima sez. fessurata (cm)

f max

2.36

Freccia massima combinata (cm)

f max

1.22

Freccia limite (cm)

f lim

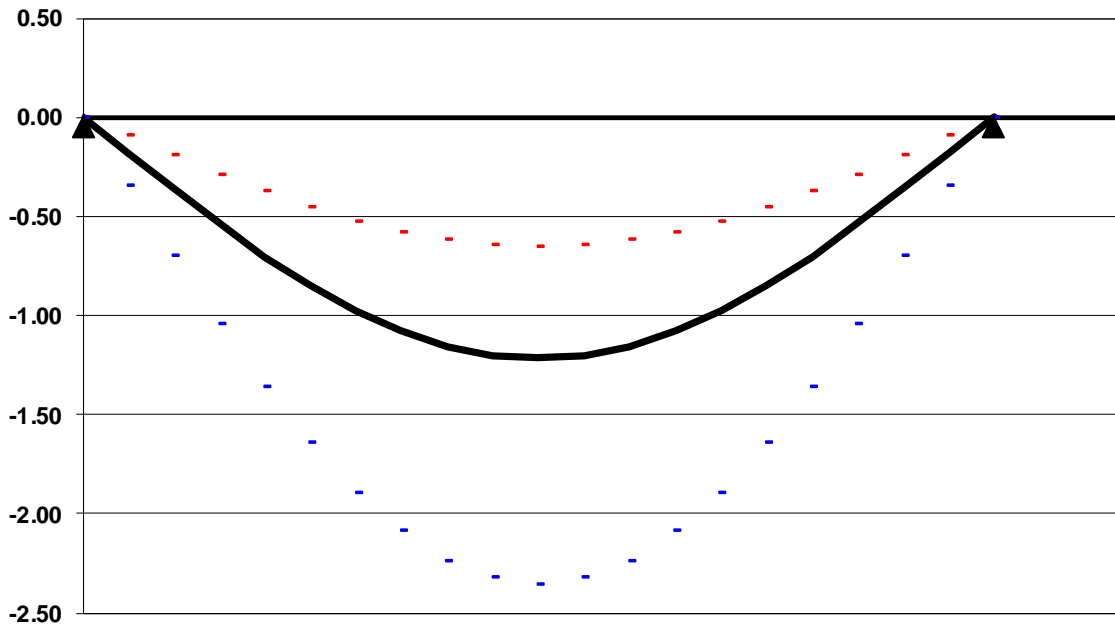
2.46

Fattore di sicurezza

f

2.02

DEFORMATA COMBINAZIONE QUASI PERMANENTE



— combinata - - - sez. non fess. - - - sez. fess.

8.2 VERIFICHE DEGLI ELEMENTI NON STRUTTURALI E DEGLI IMPIANTI

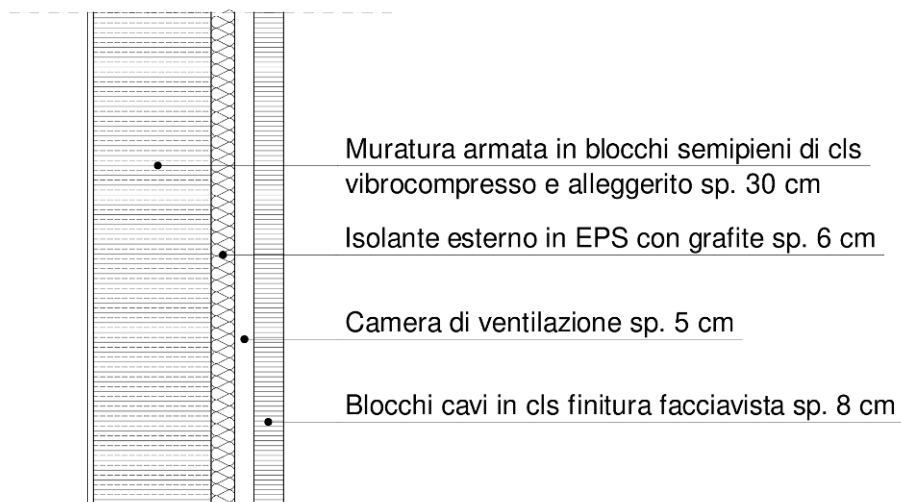
Al § 7.3.6 in Tab. 7.3.III le NTC 2018 specificano come per le costruzioni ricadenti in Classe d'Uso III sia necessario operare una verifica di stabilità per gli elementi NON Strutturali soggetti all'azione sismica valutata per lo SLV.

In particolare, secondo quanto riportato al § 7.3.6.2 della stessa norma, per gli elementi costruttivi senza funzione strutturale devono essere adottati magisteri atti ad evitare collassi fragili e prematuri e la possibile espulsione sotto l'azione della F_a (v. § 7.2.3) corrispondente allo SLV.

Considerando la stratigrafia della muratura esterna riportata in Figura, si assume che la funzione portante della parete sia svolta dal blocco in calcestruzzo prefabbricato interno, di spessore pari a 30 cm, il cui peso è pari a 300 Kg/m^2 , desunto da schede tecniche di alcuni prefabbricatori.

A questo si aggiunge il peso del rivestimento esterno in blocchi architettonici facciavista di spessore 8 cm, pari a 150 Kg/m^2 , dell'intonaco interno, pari a 30 Kg/m^2 e dell'isolante, valutato in $p'=20 \text{ Kg/m}^2$. Ai fini del calcolo il peso complessivo della tamponatura è pari a $W = 500 \text{ Kg/m}^2$.

Per garantire la resistenza dell'intero tamponamento alle azioni orizzontali, si prevede di inserire all'interno di questa muratura, ogni due corsi di forati, dei tralicci in acciaio inglobati nei letti di malta. Per solidarizzare la muratura esterna di spessore pari a 8 cm allo strato portante interno della parete, si prevede la disposizione di collegamenti puntuali diffusi.



La forza orizzontale F_a applicata sulla tamponatura può essere valutata con la seguente formula, riportata al § 7.2.3 della norma:

$$F_a = (S_a \cdot W_a) / q_a$$

in cui:

F_a = forza sismica orizzontale distribuita o agente nel centro di massa dell'elemento non strutturale, nella direzione più sfavorevole, risultante delle forze distribuite proporzionali alla massa;

Relazione di calcolo strutture di elevazione

COMMESSA	LOTTO	CODIFICA	DOCUMENTO	REV	FOGLIO
NN1X	00 D 78	CL	FA 01 00 002	B	54 di 108

W_a = peso dell'elemento;

S_a = accelerazione massima, adimensionalizzata rispetto a quella di gravità, che l'elemento strutturale subisce durante il sisma e corrisponde allo stato limite in esame (v. § 3.2.1 NTC 2018)

q_a = fattore di comportamento dell'elemento non strutturale.

In assenza di specifiche determinazioni, per S_a e q_a si può fare utile riferimento a quanto riportato nella Circolare n.7/2019; in particolare, per il fattore di struttura q_a si può assumere un valore pari a 2, valido per tramezzature e facciate (vedi Tabella C7.2.I), mentre per la definizione dell'accelerazione massima S_a si può ricorrere alle formulazioni semplificate valide per costruzioni con struttura a telai di seguito riportate.

$$S_a = \begin{cases} \alpha \cdot S \cdot \left(1 + \frac{Z}{H}\right) \cdot \left[\frac{a_p}{1 + (a_p - 1) \cdot \left(1 - \frac{T_a}{a \cdot T_1}\right)^2} \right] \geq \alpha \cdot S & \text{per } T_a < a \cdot T_1 \\ \alpha \cdot S \cdot \left(1 + \frac{Z}{H}\right) \cdot a_p & \text{per } a \cdot T_1 < T_a < b \cdot T_1 \\ \alpha \cdot S \cdot \left(1 + \frac{Z}{H}\right) \cdot \left[\frac{a_p}{1 + (a_p - 1) \cdot \left(1 - \frac{T_a}{b \cdot T_1}\right)^2} \right] \geq \alpha \cdot S & \text{per } T_a \geq b \cdot T_1 \end{cases}$$

In cui:

α = rapporto tra accelerazione massima del terreno a_g su sottosuolo di tipo A da considerare per lo stato limite in esame e l'accelerazione di gravità g ;

S = coefficiente che tiene conto della categoria di sottosuolo e delle condizioni topografiche secondo quanto riportato nel § 3.2.3.2.1 delle NTC 2018;

T_a = periodo fondamentale di vibrazione dell'elemento non strutturale;

T_1 = periodo fondamentale di vibrazione dell'edificio nella direzione considerata;

Z = quota del baricentro dell'elemento non strutturale misurata a partire dal piano di fondazione;

H = altezza della costruzione misurata a partire dal piano di fondazione.

a, b, a_p = parametri definiti in accordo con il primo periodo di vibrazione della costruzione T_1 , vedi Tab. C7.2.II della circolare.

Di seguito si riportano i calcoli effettuati per la tamponatura esterna più estesa dell'edificio, che rappresenta il caso più gravoso, essendo la parete in esame caratterizzata da specchiatura e massa maggiori. Si assume pertanto di poter estendere le considerazioni seguenti anche alle restanti tipologie di pareti presenti all'interno dell'edificio.

PROGETTO TAMPONATURA

DATI TAMPONATURA

H=	5	m	altezza tamponature
z=	2.5	m	quota baricentro
s=	30	cm	spessore blocco
L=	6.5	m	interasse tra due pilastri
W=	500	kg/m ²	peso specifico blocco muratura, intonaco interno e rivestimento esterno
W _{tamponatura} =	16250	kg	peso complessivo tamponatura (al netto delle aperture)
E=	20000	N/mm ²	modulo elastico muratura
J=Ls ³ /12=	1.4625E+10	mm ⁴	momento d'inerzia muratura
K=3EJ/H ³ =	7020.000	N/mm	rigidezza
Ta=2π*√(m/k)=	0.3023	s	periodo d'oscillazione della tamponatura T = 2ρ(m/K) ^{0.5}

DATI SISMICI

α=ag/g=	0.133		accelerazione su suolo di tipo A
F ₀ =	2.697		
S _s =	1.50		suolo C
St=	1.00		categoria topografica T1
S=S _s *St=	1.50		
T1=	0.22	s	Periodo fondamentale struttura nella direzione considerata
q=	2		Fattore di comportamento per tamponature
a=	0.8		Parametro a da tab. C7.2.II - Circ. n. 7 del 21/01/2019
b=	1.4		Parametro a da tab. C7.2.II - Circ. n. 7 del 21/01/2019
ap=	5		Parametro a da tab. C7.2.II - Circ. n. 7 del 21/01/2019
aT1	0.176	s	
bT1	0.308	s	

Relazione di calcolo strutture di elevazione

COMMESSA	LOTTO	CODIFICA	DOCUMENTO	REV	FOGLIO
NN1X	00 D 78	CL	FA 01 00 002	B	56 di 108

PROGETTO (C7.2.II Circolare 7 NTC 2018)

Sa=	0.289		Accelerazione elemento non strutturale
Fh=W*Sa/q=	23.45	KN	Forza sismica complessiva agente sulla tamponatura
interasse armature	0.19	m	interasse armature orizzontali
FH i	4.45	KN	Forza sismica orizzontale agente sul traliccio i-esimo
MED = Fh x H / 8	3.62	KNxm	Momento flettente orizzontale
Interasse i=	6.5	m	Interasse tra i pilastri
Z	2.500	m	Altezza baricentro tamponatura dal piano di fondaz.
H	5.6	m	Altezza complessiva costruzione

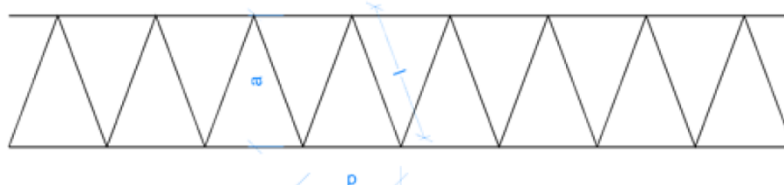
MOMENTO RESISTENTE TRALICCIO

fyk	450	N/mm ²	
gs	1.15		
fyd	391.30	N/mm ²	
a orizz	250	mm	
∅ orizz	8	mm	
Ares	50.27	mm ²	
M _{RD}	4.92	KNxm	
F.S. M _{RD} /M _{ED}	1.359	>	1.00

CALCOLO INCIDENZA ARMATURA TRALICCI A METRO QUADRO DI PARETE

∅	8	mm	Diametro armatura traliccio
a	250	mm	Larghezza traliccio orizzontale
p	150	mm	Passo armatura diagonale traliccio
l	261	mm	Lunghezza diagonale traliccio
L _{TOT_1m}	5480	mm	Lunghezza diagonale barre di acciaio in un metro di traliccio
A _{s_TOT_1m}	275.46	mm ²	Area di acciaio componente un metro di singolo traliccio
W _{s_TOT_1m}	2.16	kg/m	Peso di acciaio componente un metro di singolo traliccio
W _{s_TOT}	11.38	kg/m ²	Peso di acciaio presente in un metro quadrato di parete (ipotizzando di disporre un traliccio ogni due corsi di muratura)

Schema traliccio inserito nei letti di malta delle tamponature



8.3 TRAVI DI BORDO 30X40

Si riportano di seguito le verifiche strutturali della trave di bordo avente sezione rettangolare di dimensioni 30x40 cm. Le verifiche saranno condotte per i differenti stati limite ed in corrispondenza delle sezioni maggiormente sollecitate dell'elemento per effetto della combinazioni di carico più gravose.

Di seguito si riportano le tabelle delle sollecitazioni più gravose ottenute allo SLU (statico e sismico) e agli SLE (Rara, Frequente e Quasi Permanente):

CC	TCC	X <m>	N <kN>	Ty <kN>	Mz <kNm>	Tz <kN>	My <kNm>	Mx <kNm>
25	SLU	0.15	-891.524	0	0	12.203	-5.855	-9.275
25	SLU	2.4	-891.524	0	0	0.049	7.932	-9.275
25	SLU	5.25	-891.524	0	0	-15.338	-13.849	-9.275
29	SLU	0.15	-891.524	0	0	12.605	-5.032	-9.289
29	SLU	2.48	-891.524	0	0	0.03	9.681	-9.289
29	SLU	5.25	-891.524	0	0	-14.935	-10.972	-9.289
30	SLU	0.15	-891.524	0	0	12.444	-5.361	-9.283
30	SLU	2.45	-891.524	0	0	0.021	8.978	-9.283
30	SLU	5.25	-891.524	0	0	-15.096	-12.123	-9.283
36	SLU	0.15	-891.524	0	0	18.075	-9.507	-11.128
36	SLU	2.46	-891.524	0	0	0.035	11.436	-11.128
36	SLU	5.25	-891.524	0	0	-21.705	-18.762	-11.128
37	SLU	0.15	-891.524	0	0	15.726	-8.046	-10.387
37	SLU	2.45	-891.524	0	0	-0.01	10.033	-10.387
37	SLU	5.25	-891.524	0	0	-19.158	-16.797	-10.387
25	SLU	0.35	-891.524	0	0	15.499	-14.4	-1.002
25	SLU	3.21	-891.524	0	0	0.038	7.841	-1.002
25	SLU	6.1	-891.524	0	0	-15.551	-14.551	-1.002
29	SLU	0.35	-891.524	0	0	17.431	-20.087	-0.975
29	SLU	3.58	-891.524	0	0	0	8.048	-0.975
29	SLU	6.1	-891.524	0	0	-13.618	-9.124	-0.975
30	SLU	0.35	-891.524	0	0	16.658	-17.812	-0.986
30	SLU	3.43	-891.524	0	0	0	7.882	-0.986
30	SLU	6.1	-891.524	0	0	-14.392	-11.295	-0.986
36	SLU	0.35	-891.524	0	0	22.962	-22.468	-0.991
36	SLU	3.29	-891.524	0	0	0	11.33	-0.991
36	SLU	6.1	-891.524	0	0	-21.888	-19.38	-0.991
37	SLU	0.35	-891.524	0	0	19.977	-19.241	-0.995
37	SLU	3.27	-891.524	0	0	0	9.931	-0.995
37	SLU	6.1	-891.524	0	0	-19.353	-17.449	-0.995
25	SLU	0.35	-891.524	0	0	15.374	-14.208	0.326

Relazione di calcolo strutture di elevazione

COMMESSA	LOTTO	CODIFICA	DOCUMENTO	REV	FOGLIO
NN1X	00 D 78	CL	FA 01 00 002	B	58 di 108

25	SLU	3.19	-891.524	0	0	0.029	7.678	0.326
25	SLU	6.1	-891.524	0	0	-15.676	-15.074	0.326
29	SLU	0.35	-891.524	0	0	17.72	-20.445	0.359
29	SLU	3.63	-891.524	0	0	0	8.629	0.359
29	SLU	6.1	-891.524	0	0	-13.33	-7.824	0.359
30	SLU	0.35	-891.524	0	0	16.782	-17.951	0.346
30	SLU	3.46	-891.524	0	0	0	8.126	0.346
30	SLU	6.1	-891.524	0	0	-14.268	-10.724	0.346
36	SLU	0.35	-891.524	0	0	22.781	-22.169	0.469
36	SLU	3.27	-891.524	0	0	0	11.098	0.469
36	SLU	6.1	-891.524	0	0	-22.069	-20.124	0.469
37	SLU	0.35	-891.524	0	0	19.818	-18.985	0.412
37	SLU	3.25	-891.524	0	0	0	9.726	0.412
37	SLU	6.1	-891.524	0	0	-19.512	-18.104	0.412
25	SLU	0.35	-891.524	0	0	17.47	-17.826	8.458
25	SLU	3.59	-891.524	0	0	0	10.433	8.458
25	SLU	6.25	-891.524	0	0	-14.39	-8.741	8.458
29	SLU	0.35	-891.524	0	0	18.174	-21.865	8.635
29	SLU	3.72	-891.524	0	0	0	8.719	8.635
29	SLU	6.25	-891.524	0	0	-13.686	-8.623	8.635
30	SLU	0.35	-891.524	0	0	17.893	-20.249	8.564
30	SLU	3.66	-891.524	0	0	0	9.394	8.564
30	SLU	6.25	-891.524	0	0	-13.967	-8.67	8.564
36	SLU	0.35	-891.524	0	0	25.73	-27.346	10.39
36	SLU	3.65	-891.524	0	0	0	15.093	10.39
36	SLU	6.25	-891.524	0	0	-20.29	-11.296	10.39
37	SLU	0.35	-891.524	0	0	22.426	-23.538	9.617
37	SLU	3.63	-891.524	0	0	0	13.226	9.617
37	SLU	6.25	-891.524	0	0	-17.93	-10.274	9.617

CC	TCC	X <m>	N <kN>	Ty <kN>	Mz <kNm>	Tz <kN>	My <kNm>	Mx <kNm>
26	SLE R	0.15	-594.349	0	0	9.035	-4.329	-6.609
26	SLE R	2.4	-594.349	0	0	0.036	5.875	-6.609
26	SLE R	5.25	-594.349	0	0	-11.365	-10.27	-6.609
31	SLE R	0.15	-594.349	0	0	9.304	-3.78	-6.619
31	SLE R	2.47	-594.349	0	0	0.02	7.039	-6.619
31	SLE R	5.25	-594.349	0	0	-11.096	-8.352	-6.619
32	SLE R	0.15	-594.349	0	0	9.196	-4	-6.615
32	SLE R	2.45	-594.349	0	0	-0.006	6.572	-6.615
32	SLE R	5.25	-594.349	0	0	-11.204	-9.119	-6.615

Relazione di calcolo strutture di elevazione

COMMESSA	LOTTO	CODIFICA	DOCUMENTO	REV	FOGLIO
NN1X	00 D 78	CL	FA 01 00 002	B	59 di 108

38	SLE R	0.15	-594.349	0	0	12.95	-6.764	-7.845
38	SLE R	2.46	-594.349	0	0	0.024	8.21	-7.845
38	SLE R	5.25	-594.349	0	0	-15.61	-13.545	-7.845
39	SLE R	0.15	-594.349	0	0	11.384	-5.79	-7.351
39	SLE R	2.45	-594.349	0	0	-0.007	7.275	-7.351
39	SLE R	5.25	-594.349	0	0	-13.912	-12.235	-7.351
26	SLE R	0.35	-594.349	0	0	11.481	-10.668	-0.711
26	SLE R	3.21	-594.349	0	0	0.028	5.808	-0.711
26	SLE R	6.1	-594.349	0	0	-11.519	-10.779	-0.711
31	SLE R	0.35	-594.349	0	0	12.769	-14.459	-0.693
31	SLE R	3.54	-594.349	0	0	0	5.923	-0.693
31	SLE R	6.1	-594.349	0	0	-10.231	-7.161	-0.693
32	SLE R	0.35	-594.349	0	0	12.254	-12.942	-0.701
32	SLE R	3.41	-594.349	0	0	0	5.827	-0.701
32	SLE R	6.1	-594.349	0	0	-10.746	-8.608	-0.701
38	SLE R	0.35	-594.349	0	0	16.456	-16.046	-0.704
38	SLE R	3.29	-594.349	0	0	0	8.133	-0.704
38	SLE R	6.1	-594.349	0	0	-15.744	-13.998	-0.704
39	SLE R	0.35	-594.349	0	0	14.466	-13.895	-0.707
39	SLE R	3.27	-594.349	0	0	0	7.2	-0.707
39	SLE R	6.1	-594.349	0	0	-14.054	-12.71	-0.707
26	SLE R	0.35	-594.349	0	0	11.389	-10.525	0.232
26	SLE R	3.19	-594.349	0	0	0.022	5.687	0.232
26	SLE R	6.1	-594.349	0	0	-11.611	-11.166	0.232
31	SLE R	0.35	-594.349	0	0	12.952	-14.683	0.254
31	SLE R	3.59	-594.349	0	0	0.005	6.287	0.254
31	SLE R	6.1	-594.349	0	0	-10.048	-6.333	0.254
32	SLE R	0.35	-594.349	0	0	12.327	-13.02	0.245
32	SLE R	3.43	-594.349	0	0	0	5.974	0.245
32	SLE R	6.1	-594.349	0	0	-10.673	-8.266	0.245
38	SLE R	0.35	-594.349	0	0	16.326	-15.832	0.328
38	SLE R	3.27	-594.349	0	0	0	7.966	0.328
38	SLE R	6.1	-594.349	0	0	-15.874	-14.533	0.328
39	SLE R	0.35	-594.349	0	0	14.351	-13.71	0.289
39	SLE R	3.24	-594.349	0	0	0	7.052	0.289
39	SLE R	6.1	-594.349	0	0	-14.169	-13.186	0.289
26	SLE R	0.35	-594.349	0	0	12.944	-13.215	6.026
26	SLE R	3.59	-594.349	0	0	0	7.728	6.026
26	SLE R	6.25	-594.349	0	0	-10.656	-6.467	6.026
31	SLE R	0.35	-594.349	0	0	13.414	-15.908	6.144
31	SLE R	3.7	-594.349	0	0	0	6.582	6.144
31	SLE R	6.25	-594.349	0	0	-10.187	-6.388	6.144

Relazione di calcolo strutture di elevazione

COMMESSA	LOTTO	CODIFICA	DOCUMENTO	REV	FOGLIO
NN1X	00 D 78	CL	FA 01 00 002	B	60 di 108

32	SLE R	0.35	-594.349	0	0	13.226	-14.831	6.097
32	SLE R	3.66	-594.349	0	0	0	7.034	6.097
32	SLE R	6.25	-594.349	0	0	-10.374	-6.42	6.097
38	SLE R	0.35	-594.349	0	0	18.451	-19.561	7.314
38	SLE R	3.64	-594.349	0	0	0	10.834	7.314
38	SLE R	6.25	-594.349	0	0	-14.589	-8.17	7.314
39	SLE R	0.35	-594.349	0	0	16.248	-17.023	6.798
39	SLE R	3.63	-594.349	0	0	0	9.59	6.798
39	SLE R	6.25	-594.349	0	0	-13.016	-7.489	6.798

CC	TCC	X <m>	N <kN>	Ty <kN>	Mz <kNm>	Tz <kN>	My <kNm>	Mx <kNm>
27	SLE F	0.15	-297.175	0	0	9.019	-4.295	-5.548
27	SLE F	2.4	-297.175	0	0	0.036	5.872	-5.548
27	SLE F	5.25	-297.175	0	0	-11.381	-10.319	-5.548
33	SLE F	0.15	-297.175	0	0	9.072	-4.185	-5.55
33	SLE F	2.41	-297.175	0	0	0.036	6.104	-5.55
33	SLE F	5.25	-297.175	0	0	-11.328	-9.936	-5.55
34	SLE F	0.15	-297.175	0	0	9.019	-4.295	-5.548
34	SLE F	2.4	-297.175	0	0	0.036	5.872	-5.548
34	SLE F	5.25	-297.175	0	0	-11.381	-10.319	-5.548
40	SLE F	0.15	-297.175	0	0	9.802	-4.781	-5.795
40	SLE F	2.41	-297.175	0	0	0.039	6.338	-5.795
40	SLE F	5.25	-297.175	0	0	-12.23	-10.974	-5.795
41	SLE F	0.15	-297.175	0	0	9.019	-4.295	-5.548
41	SLE F	2.4	-297.175	0	0	0.036	5.872	-5.548
41	SLE F	5.25	-297.175	0	0	-11.381	-10.319	-5.548
27	SLE F	0.35	-297.175	0	0	11.481	-10.672	-0.593
27	SLE F	3.21	-297.175	0	0	0.028	5.806	-0.593
27	SLE F	6.1	-297.175	0	0	-11.519	-10.778	-0.593
33	SLE F	0.35	-297.175	0	0	11.739	-11.43	-0.59
33	SLE F	3.28	-297.175	0	0	0	5.796	-0.59
33	SLE F	6.1	-297.175	0	0	-11.261	-10.055	-0.59
34	SLE F	0.35	-297.175	0	0	11.481	-10.672	-0.593
34	SLE F	3.21	-297.175	0	0	0.028	5.806	-0.593
34	SLE F	6.1	-297.175	0	0	-11.519	-10.778	-0.593
40	SLE F	0.35	-297.175	0	0	12.476	-11.748	-0.592
40	SLE F	3.24	-297.175	0	0	0	6.269	-0.592
40	SLE F	6.1	-297.175	0	0	-12.364	-11.422	-0.592
41	SLE F	0.35	-297.175	0	0	11.481	-10.672	-0.593
41	SLE F	3.21	-297.175	0	0	0.028	5.806	-0.593

Relazione di calcolo strutture di elevazione

COMMESSA	LOTTO	CODIFICA	DOCUMENTO	REV	FOGLIO
NN1X	00 D 78	CL	FA 01 00 002	B	61 di 108

41	SLE F	6.1	-297.175	0	0	-11.519	-10.778	-0.593
27	SLE F	0.35	-297.175	0	0	11.389	-10.527	0.195
27	SLE F	3.19	-297.175	0	0	0.022	5.685	0.195
27	SLE F	6.1	-297.175	0	0	-11.611	-11.168	0.195
33	SLE F	0.35	-297.175	0	0	11.701	-11.358	0.199
33	SLE F	3.28	-297.175	0	0	0	5.757	0.199
33	SLE F	6.1	-297.175	0	0	-11.299	-10.201	0.199
34	SLE F	0.35	-297.175	0	0	11.389	-10.527	0.195
34	SLE F	3.19	-297.175	0	0	0.022	5.685	0.195
34	SLE F	6.1	-297.175	0	0	-11.611	-11.168	0.195
40	SLE F	0.35	-297.175	0	0	12.376	-11.588	0.214
40	SLE F	3.21	-297.175	0	0	0.03	6.139	0.214
40	SLE F	6.1	-297.175	0	0	-12.464	-11.841	0.214
41	SLE F	0.35	-297.175	0	0	11.389	-10.527	0.195
41	SLE F	3.19	-297.175	0	0	0.022	5.685	0.195
41	SLE F	6.1	-297.175	0	0	-11.611	-11.168	0.195
27	SLE F	0.35	-297.175	0	0	12.957	-13.26	5.056
27	SLE F	3.59	-297.175	0	0	0	7.725	5.056
27	SLE F	6.25	-297.175	0	0	-10.643	-6.434	5.056
33	SLE F	0.35	-297.175	0	0	13.051	-13.799	5.08
33	SLE F	3.61	-297.175	0	0	0	7.492	5.08
33	SLE F	6.25	-297.175	0	0	-10.549	-6.418	5.08
34	SLE F	0.35	-297.175	0	0	12.957	-13.26	5.056
34	SLE F	3.59	-297.175	0	0	0	7.725	5.056
34	SLE F	6.25	-297.175	0	0	-10.643	-6.434	5.056
40	SLE F	0.35	-297.175	0	0	14.058	-14.529	5.314
40	SLE F	3.6	-297.175	0	0	0	8.346	5.314
40	SLE F	6.25	-297.175	0	0	-11.43	-6.774	5.314
41	SLE F	0.35	-297.175	0	0	12.957	-13.26	5.056
41	SLE F	3.59	-297.175	0	0	0	7.725	5.056
41	SLE F	6.25	-297.175	0	0	-10.643	-6.434	5.056

CC	TCC	X <m>	N <kN>	Ty <kN>	Mz <kNm>	Tz <kN>	My <kNm>	Mx <kNm>
28	SLE Q	0.15	0	0	0	9.017	-4.29	-5.421
28	SLE Q	2.4	0	0	0	0.036	5.872	-5.421
28	SLE Q	5.25	0	0	0	-11.383	-10.325	-5.421
35	SLE Q	0.15	0	0	0	9.017	-4.29	-5.421
35	SLE Q	2.4	0	0	0	0.036	5.872	-5.421
35	SLE Q	5.25	0	0	0	-11.383	-10.325	-5.421
42	SLE Q	0.15	0	0	0	9.017	-4.29	-5.421

42	SLE Q	2.4	0	0	0	0.036	5.872	-5.421
42	SLE Q	5.25	0	0	0	-11.383	-10.325	-5.421
28	SLE Q	0.35	0	0	0	11.482	-10.672	-0.579
28	SLE Q	3.21	0	0	0	0.028	5.806	-0.579
28	SLE Q	6.1	0	0	0	-11.518	-10.778	-0.579
35	SLE Q	0.35	0	0	0	11.482	-10.672	-0.579
35	SLE Q	3.21	0	0	0	0.028	5.806	-0.579
35	SLE Q	6.1	0	0	0	-11.518	-10.778	-0.579
42	SLE Q	0.35	0	0	0	11.482	-10.672	-0.579
42	SLE Q	3.21	0	0	0	0.028	5.806	-0.579
42	SLE Q	6.1	0	0	0	-11.518	-10.778	-0.579
28	SLE Q	0.35	0	0	0	11.389	-10.527	0.19
28	SLE Q	3.19	0	0	0	0.022	5.685	0.19
28	SLE Q	6.1	0	0	0	-11.611	-11.168	0.19
35	SLE Q	0.35	0	0	0	11.389	-10.527	0.19
35	SLE Q	3.19	0	0	0	0.022	5.685	0.19
35	SLE Q	6.1	0	0	0	-11.611	-11.168	0.19
42	SLE Q	0.35	0	0	0	11.389	-10.527	0.19
42	SLE Q	3.19	0	0	0	0.022	5.685	0.19
42	SLE Q	6.1	0	0	0	-11.611	-11.168	0.19
28	SLE Q	0.35	0	0	0	12.959	-13.265	4.94
28	SLE Q	3.59	0	0	0	0	7.725	4.94
28	SLE Q	6.25	0	0	0	-10.641	-6.43	4.94
35	SLE Q	0.35	0	0	0	12.959	-13.265	4.94
35	SLE Q	3.59	0	0	0	0	7.725	4.94
35	SLE Q	6.25	0	0	0	-10.641	-6.43	4.94
42	SLE Q	0.35	0	0	0	12.959	-13.265	4.94
42	SLE Q	3.59	0	0	0	0	7.725	4.94
42	SLE Q	6.25	0	0	0	-10.641	-6.43	4.94

8.3.1 Verifica a flessione

Si riportano di seguito le verifiche a flessione, in corrispondenza della sezione d'appoggio e della sezione di campata (convenzione sui segni: compressione negativa (-), momento flettente che tende le fibre superiori negativo (-)).

In funzione delle sollecitazioni si è dimensionata opportunamente l'armatura longitudinale delle travi:

1) Zone d'appoggio:

- Armatura superiore 3 Φ 16
- Armatura inferiore 3 Φ 16

Relazione di calcolo strutture di elevazione

COMMESSA	LOTTO	CODIFICA	DOCUMENTO	REV	FOGLIO
NN1X	00 D 78	CL	FA 01 00 002	B	63 di 108

2) Campata:

- Armatura superiore 3 Φ 16
- Armatura inferiore 3 Φ 16

In aggiunta, fuori calcolo, andranno disposti 2 Φ 12 come ferri di parete.

Le verifiche di resistenza a flessione allo SLU ed agli SLE (NTC2018 – 4.1.2.1.2.4) per le sezioni di appoggio e di campata sono state condotte con il supporto del MODEST considerando le sollecitazioni riportate nel prospetto precedente.

Essendo la sezione armata in maniera simmetrica in campata ed in appoggio si esegue la verifica di una sola sezione in cui le sollecitazioni calcolate in appoggio sono invertite di segno.

Travata n. 101

Nodi: 101 102 103 104 105

Simbologia

Caso = Caso di verifica
 Xg = Coordinata progressiva (dal primo nodo) in cui viene effettuato il progetto/verifica
 CC = Combinazione delle condizioni di carico elementari
 c = momento fittizio in campata
 a = momento fittizio agli appoggi
 TG = taglio da gerarchia delle resistenze
 TGND = taglio non dissipativo limitante la gerarchia
 T = momento traslato per taglio
 e = eccentricità aggiuntiva in caso di compressione o pressoflessione
 TCC = Tipo di combinazione di carico
 SLU = Stato limite ultimo
 SLU S = Stato limite ultimo (azione sismica)
 SLE R = Stato limite d'esercizio, combinazione rara
 SLE F = Stato limite d'esercizio, combinazione frequente
 SLE Q = Stato limite d'esercizio, combinazione quasi permanente
 SLD = Stato limite di danno
 SLV = Stato limite di salvaguardia della vita
 SLC = Stato limite di prevenzione del collasso
 SLO = Stato limite di operatività
 SLU I = Stato limite di resistenza al fuoco
 SND = Stato limite di salvaguardia della vita (non dissipativo)
 El = Elemento (asta) in cui viene effettuato il progetto/verifica (progressivo sul numero di aste)
 Sez. = Numero della sezione
 Crit. = Numero del criterio di progetto
 X = Coordinata progressiva rispetto al nodo iniziale
 AfE S = Area di ferro effettiva totale presente nel punto di verifica, superiore
 AfE I = Area di ferro effettiva totale presente nel punto di verifica, inferiore
 AfEP S = Area di ferro effettiva parziale presente nella CC considerata, per la sollecitazione indicata, superiore
 AfEP I = Area di ferro effettiva parziale presente nella CC considerata, per la sollecitazione indicata, inferiore
 My = Momento flettente intorno all'asse Y
 MRdy = Momento resistente allo stato limite ultimo intorno all'asse Y
 Sic. = Sicurezza a rottura
 σ_{add} = Tensione di distacco della fibra di estremità (modo I)
 $\Delta\%$ = Incremento percentuale sicurezza
 σ_s sup = Tensione nel ferro - superiore

Relazione di calcolo strutture di elevazione

COMMESSA	LOTTO	CODIFICA	DOCUMENTO	REV	FOGLIO
NN1X	00 D 78	CL	FA 01 00 002	B	64 di 108

$\sigma_{z \text{ inf}}$ = Tensione nel ferro - inferiore
 σ_c = Tensione nel calcestruzzo
 X_0 = Coordinata progressiva (dal nodo iniziale) dell'inizio del tratto
 X_1 = Coordinata progressiva (dal nodo iniziale) della fine del tratto
 Lung. = Lunghezza del tratto di progettazione
 Staff. = Staffatura adottata
 $A_{fE \text{ St.}}$ = Area di ferro effettiva della staffatura (d'anima per travi a T o L)
 b_w = Larghezza membratura resistente al taglio
 V_{sdu} = Taglio agente nella direzione del momento ultimo
 $ctg\theta$ = Cotangente dell'angolo di inclinazione dei puntoni di calcestruzzo
 VR_{sd} = Taglio ultimo lato armatura
 VR_{cd} = Taglio ultimo lato calcestruzzo
 VR_{du} = Taglio ultimo assorbibile dal solo calcestruzzo
 $Sic.T$ = Sicurezza a rottura per taglio
 c = Ricoprimento dell'armatura
 s = Distanza minima tra le barre
 K_3 = Coefficiente di forma del diagramma delle tensioni prima della fessurazione
 s_{sm} = Distanza media tra le fessure
 Φ = Diametro della barra
 A_s = Area complessiva dei ferri nell'area di calcestruzzo efficace
 $A_{c \text{ eff}}$ = Area di calcestruzzo efficace
 σ_s = Tensione nell'acciaio nella sezione fessurata
 σ_{sr} = Tensione nell'acciaio corrispondente al raggiungimento della resistenza a trazione nel calcestruzzo
 ϵ_{sm} = Deformazione unitaria media dell'armatura (*1000)
 W_k = Apertura delle fessure
 Tipo = Tipologia
 2C = Doppia C lato labbri
 2Cdx = Doppia C lato costola
 2I = Doppia I
 2L = Doppia L lato labbri
 2Ldx = Doppia L lato costole
 C = Sezione a C
 Cdx = C destra
 Cir. = Circolare
 Cir.c = Circolare cava
 I = Sezione a I
 L = Sezione a L
 Ldx = L destra
 Om. = Omega
 Eg = Pi greco
 Pr = Poligono regolare
 Prc = Poligono regolare cavo
 Pc = Per coordinate
 Ia = Inerzie assegnate
 R = Rettangolare
 Rc = Rettangolare cava
 T = Sezione a T
 U = Sezione a U
 Ur = U rovescia
 V = Sezione a V
 Vr = V rovescia
 Z = Sezione a Z
 Zdx = Z destra
 Ts = T stondata
 Ls = L stondata
 Cs = C stondata
 Is = I stondata

Relazione di calcolo strutture di elevazione

COMMESSA	LOTTO	CODIFICA	DOCUMENTO	REV	FOGLIO
NN1X	00 D 78	CL	FA 01 00 002	B	65 di 108

Dis. = Disegnata
 B = Base
 H = Altezza
 Cf sup = Copriferro superiore
 Cf inf = Copriferro inferiore
 Cls = Tipo di calcestruzzo
 Fck = Resistenza caratteristica cilindrica a compressione del calcestruzzo
 Fctk = Resistenza caratteristica a trazione del calcestruzzo
 Fcd = Resistenza di calcolo a compressione del calcestruzzo
 Fctd = Resistenza di calcolo a trazione del calcestruzzo
 Tp = Tipo di acciaio
 Fyk = Tensione caratteristica di snervamento dell'acciaio
 Fyd = Resistenza di calcolo dell'acciaio

Caratteristiche delle sezioni e dei materiali utilizzati

Sez.	Tipo	B <cm>	H <cm>	Cf sup <cm>	Cf inf <cm>	Cls	Fck <daN/cmq>	Fctk <daN/cmq>	Fcd <daN/cmq>	Fctd <daN/cmq>	Tp	Fyk <daN/cmq>	Fyd <daN/cmq>
3R		30.00	40.00	4.50	4.50	C30/37	307.10	20.59	174.02	13.73	B450C	4500.00	3913.04

Stato limite ultimo - Verifiche a flessione/pressoflessione

Xg <m>	CC	TCC	El	X <cm>	AfE S <cmq>	AfE I <cmq>	AfEP S <cmq>	AfEP I <cmq>	My <daNm>	MRdy <daNm>	Sic.
0.15	13	SLV	1	15.00	6.03	6.03	6.03	6.03	-4855.77	-7825.13	1.612
4.95	1	SLV	1	495.00	6.03	6.03	6.03	6.03	-6341.43	-7825.13	1.234
5.25	1	SLV	1	525.00	6.03	6.03	6.03	6.03	-6341.43	-7825.13	1.234
5.95	13	SLV	2	35.00	6.03	6.03	6.03	6.03	-6722.91	-7825.13	1.164
11.70	1	SLV	2	610.00	6.03	6.03	6.03	6.03	-6708.65	-7825.13	1.166
12.40	13	SLV	3	35.00	6.03	6.03	6.03	6.03	-6722.12	-7825.13	1.164
18.15	1	SLV	3	610.00	6.03	6.03	6.03	6.03	-6849.28	-7825.13	1.142
18.85	13	SLV	4	35.00	6.03	6.03	6.03	6.03	-6134.52	-7825.13	1.276
24.44	1	SLV	4	593.95	6.03	6.03	6.03	6.03	-4770.26	-7825.13	1.640
24.75	1	SLV	4	625.00	6.03	6.03	6.03	6.03	-4770.26	-7825.13	1.640

Stato limite d'esercizio - Verifiche tensionali

Xg <m>	CC	TCC	El	X <cm>	AfE S <cmq>	AfE I <cmq>	My <daNm>	σ_f sup <daN/cmq>	σ_f inf <daN/cmq>	σ_c <daN/cmq>
0.15	38	SLE R	1	15.00	6.03	6.03	-676.36	353.50	-87.15	10.07
0.15	28	SLE Q	1	15.00	6.03	6.03	-429.04	224.24	-55.28	6.39
4.95	38	SLE R	1	495.00	6.03	6.03	-1354.52	707.94	-174.54	20.18
4.95	28	SLE Q	1	495.00	6.03	6.03	-1032.51	539.64	-133.04	15.38
5.25	38	SLE R	1	525.00	6.03	6.03	-1354.52	707.94	-174.54	20.18
5.25	28	SLE Q	1	525.00	6.03	6.03	-1032.51	539.64	-133.04	15.38
5.95	38	SLE R	2	35.00	6.03	6.03	-1604.59	838.64	-206.76	23.90
5.95	28	SLE Q	2	35.00	6.03	6.03	-1067.23	557.78	-137.52	15.90
11.70	38	SLE R	2	610.00	6.03	6.03	-1399.82	731.61	-180.37	20.85
11.70	28	SLE Q	2	610.00	6.03	6.03	-1077.84	563.33	-138.88	16.05
12.40	38	SLE R	3	35.00	6.03	6.03	-1583.25	827.48	-204.01	23.58
12.40	28	SLE Q	3	35.00	6.03	6.03	-1052.70	550.19	-135.65	15.68
18.15	38	SLE R	3	610.00	6.03	6.03	-1453.26	759.54	-187.26	21.65
18.15	28	SLE Q	3	610.00	6.03	6.03	-1116.80	583.69	-143.91	16.63

Relazione di calcolo strutture di elevazione

COMMESSA	LOTTO	CODIFICA	DOCUMENTO	REV	FOGLIO
NN1X	00 D 78	CL	FA 01 00 002	B	66 di 108

18.85	38	SLE R	4	35.00	6.03	6.03	-1956.15	1022.37	-252.06	29.14
18.85	28	SLE Q	4	35.00	6.03	6.03	-1326.55	693.32	-170.93	19.76
24.44	38	SLE R	4	593.95	6.03	6.03	-817.02	427.01	-105.28	12.17
24.44	28	SLE Q	4	593.95	6.03	6.03	-642.96	336.04	-82.85	9.58
24.75	38	SLE R	4	625.00	6.03	6.03	-817.02	427.01	-105.28	12.17
24.75	28	SLE Q	4	625.00	6.03	6.03	-642.96	336.04	-82.85	9.58

Stato limite d'esercizio - Verifiche a fessurazione

Caso	Xg <m>	CC	TCC	El	Sez.	Crit.	X <cm>	My <daNm>	c <mm>	s <mm>	K3	S _{rm} <mm>	Φ	A _s <cmq>	A _{o eff} <cmq>	σ _s <daN/cmq>	σ _{sr} <daN/cmq>	ε _{sm}	Wk <mm>
27	0.15	28	SLE Q	1	3	2	15.00	-429.04	37.00	105.00	0.15	168.62	16.00	6.03	456.12	224.24	1877.20	0.04	0.01
33	0.15	40	SLE F	1	3	2	15.00	-478.15	37.00	105.00	0.15	168.62	16.00	6.03	456.12	249.90	1877.20	0.05	0.01
61	4.95	28	SLE Q	1	3	2	495.00	-1032.51	37.00	105.00	0.15	168.62	16.00	6.03	456.12	539.64	1877.20	0.10	0.03
67	4.95	40	SLE F	1	3	2	495.00	-1097.42	37.00	105.00	0.15	168.62	16.00	6.03	456.12	573.57	1877.20	0.11	0.03
95	5.25	28	SLE Q	1	3	2	525.00	-1032.51	37.00	105.00	0.15	168.62	16.00	6.03	456.12	539.64	1877.20	0.10	0.03
101	5.25	40	SLE F	1	3	2	525.00	-1097.42	37.00	105.00	0.15	168.62	16.00	6.03	456.12	573.57	1877.20	0.11	0.03
129	5.95	28	SLE Q	2	3	2	35.00	-1067.23	37.00	105.00	0.15	168.62	16.00	6.03	456.12	557.78	1877.20	0.11	0.03
135	5.95	40	SLE F	2	3	2	35.00	-1174.75	37.00	105.00	0.15	168.62	16.00	6.03	456.12	613.98	1877.20	0.12	0.03
163	11.70	28	SLE Q	2	3	2	610.00	-1077.84	37.00	105.00	0.15	168.62	16.00	6.03	456.12	563.33	1877.20	0.11	0.03
169	11.70	40	SLE F	2	3	2	610.00	-1142.23	37.00	105.00	0.15	168.62	16.00	6.03	456.12	596.99	1877.20	0.12	0.03
197	12.40	28	SLE Q	3	3	2	35.00	-1052.70	37.00	105.00	0.15	168.62	16.00	6.03	456.12	550.19	1877.20	0.11	0.03
203	12.40	40	SLE F	3	3	2	35.00	-1158.83	37.00	105.00	0.15	168.62	16.00	6.03	456.12	605.66	1877.20	0.12	0.03
231	18.15	28	SLE Q	3	3	2	610.00	-1116.80	37.00	105.00	0.15	168.62	16.00	6.03	456.12	583.69	1877.20	0.11	0.03
237	18.15	40	SLE F	3	3	2	610.00	-1184.11	37.00	105.00	0.15	168.62	16.00	6.03	456.12	618.87	1877.20	0.12	0.03
267	18.85	28	SLE Q	4	3	2	35.00	-1326.55	37.00	105.00	0.15	168.62	16.00	6.03	456.12	693.32	1877.20	0.13	0.04
273	18.85	40	SLE F	4	3	2	35.00	-1452.94	37.00	105.00	0.15	168.62	16.00	6.03	456.12	759.38	1877.20	0.15	0.04
307	24.44	28	SLE Q	4	3	2	593.95	-642.96	37.00	105.00	0.15	168.62	16.00	6.03	456.12	336.04	1877.20	0.07	0.02
319	24.44	40	SLE F	4	3	2	593.95	-677.43	37.00	105.00	0.15	168.62	16.00	6.03	456.12	354.06	1877.20	0.07	0.02
349	24.75	28	SLE Q	4	3	2	625.00	-642.96	37.00	105.00	0.15	168.62	16.00	6.03	456.12	336.04	1877.20	0.07	0.02
355	24.75	40	SLE F	4	3	2	625.00	-677.43	37.00	105.00	0.15	168.62	16.00	6.03	456.12	354.06	1877.20	0.07	0.02

8.3.2 Verifica a taglio e torsione

Al fine di escludere la formazione di meccanismi inelastici dovuti al taglio, le sollecitazioni di taglio di calcolo V_{Ed} si ottengono sommando il contributo dovuto ai carichi gravitazionali agenti sulla trave, considerata incernierata agli estremi, alle sollecitazioni di taglio corrispondenti alla formazione di cerniere plastiche nella trave e prodotte dai momenti resistenti (ultimi) delle due sezioni di plasticizzazione (generalmente quelle di estremità) amplificati del fattore di sovra resistenza γ_{Rd} assunto pari a 1.0 per CDB.

Deve risultare (NTC2018 – 4.1.2.1.3.2):

$$V_{Rd} > V_d$$

dove:

V_d = Valore di calcolo del taglio agente;

$$V_{Rd} = \min(V_{Rsd}, V_{Rcd})$$

Con riferimento all'armatura trasversale, la resistenza di calcolo a "taglio trazione" si calcola con:

$$V_{Rsd} = 0.9 \cdot d \cdot \frac{A_{sw}}{s} \cdot f_{yd} \cdot (\text{ctg}\alpha + \text{ctg}\theta) \cdot \sin \alpha$$

Con riferimento al calcestruzzo d'anima, la resistenza di calcolo a "taglio compressione" si calcola con:

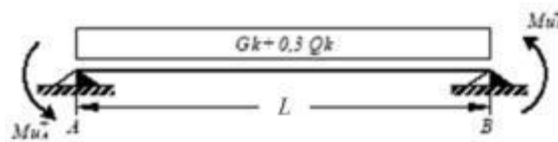
$$V_{Rcd} = 0.9 \cdot d \cdot b_w \cdot \alpha_c \cdot f'_{cd} \cdot (\text{ctg}\alpha + \text{ctg}\theta) / (1 + \text{ctg}^2\theta)$$

dove:

α : Angolo d'inclinazione dell'armatura trasversale rispetto all'asse dell'elemento;

θ : Angolo d'inclinazione dei puntoni in calcestruzzo rispetto all'asse dell'elemento.

• **1° Schema:**

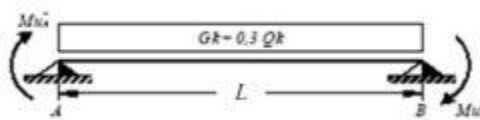


Il taglio è variabile linearmente lungo la trave ed è pari a:

$$V_A = \gamma_{Rd} \frac{Mu_A^+ + Mu_B^+}{l_{trave}} + \frac{(G_k + 0,3Q_k) \cdot l_{trave}}{2}$$

$$V_B = \gamma_{Rd} \frac{Mu_A^+ + Mu_B^+}{l_{trave}} - \frac{(G_k + 0,3Q_k) \cdot l_{trave}}{2}$$

• **2° Schema:**



Il taglio è variabile linearmente lungo la trave ed è pari a:

$$V_A = \gamma_{Rd} \frac{Mu_A^- + Mu_B^-}{l_{trave}} + \frac{(G_k + 0,3Q_k) \cdot l_{trave}}{2}$$

$$V_B = \gamma_{Rd} \frac{Mu_A^- + Mu_B^-}{l_{trave}} - \frac{(G_k + 0,3Q_k) \cdot l_{trave}}{2}$$

La verifica di resistenza nei confronti della torsione (SLU) (NTC2018 – 4.1.2.1.4) consiste nel controllare che:

$$T_{Rd} \geq T_{Ed}$$

dove T_{Ed} è il valore di calcolo del momento torcente.

Per elementi prismatici sottoposti a torsione semplice o combinata con altre sollecitazioni, che abbiano sezione piena o cava, lo schema resistente è costituito da un traliccio periferico in cui gli sforzi di trazione sono affidati alle armature longitudinali e trasversali ivi contenute e gli sforzi di compressione sono affidati alle bielle di calcestruzzo.

Con riferimento al calcestruzzo la resistenza si calcola con:

$$T_{Rcd} = 2 \cdot A \cdot t \cdot f'_{cd} \cdot \text{ctg}\theta / (1 + \text{ctg}\theta)$$

dove t è lo spessore della sezione cava; per sezioni piene $t = A_c / u$ dove A_c è l'area della sezione ed u è il suo perimetro; t deve essere assunta comunque ≥ 2 volte la distanza fra il bordo e il centro dell'armatura longitudinale.

Le armature longitudinali e trasversali del traliccio resistente devono essere poste entro lo spessore t del profilo periferico. Le barre longitudinali possono essere distribuite lungo detto profilo, ma comunque una barra deve essere presente su tutti i suoi spigoli.

Con riferimento alle staffe trasversali la resistenza si calcola con:

$$T_{Rsd} = 2 \cdot A \cdot (A_s / s) \cdot f_{yd} \cdot \text{ctg}\theta$$

Con riferimento all'armatura longitudinale la resistenza si calcola con:

$$T_{Rsd} = 2 \cdot A \cdot (\sum A_l / u_m) \cdot f_{yd} / \text{ctg}\theta$$

dove si è posto:

A area racchiusa dalla fibra media del profilo periferico;

A_s area delle staffe;

u_m perimetro medio del nucleo resistente;

s passo delle staffe;

$\sum A_l$ area complessiva delle barre longitudinali.

L'inclinazione θ delle bielle compresse di calcestruzzo rispetto all'asse della trave deve rispettare i limiti seguenti:

$$0,4 \leq \text{ctg}\theta \leq 2,5$$

Entro questi limiti, nel caso di torsione pura, può porsi $\text{ctg}\theta = (a_l / a_s)^{1/2}$

con: $a_l = \sum A_l / u_m$

$$a_s = A_s / s$$

La resistenza alla torsione della trave è la minore delle tre sopra definite.

Si riporta di seguito un prospetto riepilogativo con i valori delle sollecitazioni taglianti e torcenti ottenute seguendo la metodologia descritta e riportata negli schemi precedenti:

Poiché il valore del taglio determinato mediante la procedura sopra riportata non è maggiore del taglio di calcolo ottenuto a valle dell'analisi strutturale mediante il MODEST ($V_2=42.79$ kN) si procede alla verifica di resistenza considerando il seguente valore del taglio massimo:

$$V_{Ed-max} = 42.79 \text{ kN}$$

Staffe - Verifiche armatura

CC	X0 <m>	X1 <m>	Lung. <m>	Staff.	AfE St. <cmq/m>	bw <m>	Vsdu <daN>	ctgθ	VRsd <daN>	VRcd <daN>	Vrdu <daN>	Sic.T
TGND	0.15	0.55	0.40	ø8/ 8 2 br.	12.57	0.30	4083.26	2.08	32610.70	32610.70	32610.70	7.99
TGND	0.55	4.75	4.20	ø8/20 2 br.	5.03	0.30	4119.91	2.50	15710.70	28758.90	15710.70	3.81
TGND	4.75	5.15	0.40	ø8/ 8 2 br.	12.57	0.30	4279.91	2.08	32610.70	32610.70	32610.70	7.62
TG	6.05	6.45	0.40	ø8/ 8 2 br.	12.57	0.30	4102.51	2.08	32610.70	32610.70	32610.70	7.95
TG	6.45	11.20	4.75	ø8/20 2 br.	5.03	0.30	3942.51	2.50	15710.70	28758.90	15710.70	3.98
TG	11.20	11.60	0.40	ø8/ 8 2 br.	12.57	0.30	4102.51	2.08	32610.70	32610.70	32610.70	7.95
TG	12.50	12.90	0.40	ø8/ 8 2 br.	12.57	0.30	4102.51	2.08	32610.70	32610.70	32610.70	7.95
TG	12.90	17.65	4.75	ø8/20 2 br.	5.03	0.30	3942.50	2.50	15710.70	28758.90	15710.70	3.98
TG	17.65	18.05	0.40	ø8/ 8 2 br.	12.57	0.30	4102.51	2.08	32610.70	32610.70	32610.70	7.95
TGND	18.95	19.35	0.40	ø8/ 8 2 br.	12.57	0.30	3779.95	2.08	32610.70	32610.70	32610.70	8.63
TGND	19.35	24.35	5.00	ø8/20 2 br.	5.03	0.30	3619.95	2.50	15710.70	28758.90	15710.70	4.34
TGND	24.35	24.75	0.40	ø8/ 8 2 br.	12.57	0.30	3588.22	2.08	32610.70	32610.70	32610.70	9.09

Si adotteranno nelle zone d'appoggio, per un tratto pari ad 40 cm dal filo esterno del pilastro, staffe $\Phi 8/8$ cm, per il rispetto dei limiti normativi, mentre nelle zone centrali di campata staffe $\Phi 8/20$ cm.

8.3.3 Verifica limitazioni armatura

In ogni sezione della trave, il rapporto geometrico ρ relativo all'armatura tesa, indipendentemente dal fatto che l'armatura tesa sia quella al lembo superiore della sezione A_s o quella al lembo inferiore della sezione A_i , deve essere compreso entro i seguenti limiti:

$$\frac{1,4}{f_{yk}} < \rho < \rho_{comp} + \frac{3,5}{f_{yk}}$$

dove:

$$\rho = A_s / (bh)$$

Rapporto geometrico relativo all'armatura tesa

$$\rho_{comp} = A_s' / (bh)$$

Rapporto geometrico relativo all'armatura compressa

Dati Geometrici
Trave:

Base	b=	30cm	ok
altezza	h=	40cm	
allargamento	dsx =	0cm	
allargamento	ddx =	0cm	
copriferro		c=	5cm

Valori max	Limit. geometriche 7.4.6.1.1	
30cm	b ≥ 20cm	b ≤ 2lp
120cm	b/h ≥ 0.25	
20cm	dsx ≤ h/2	
20cm	ddx ≤ h/2	

Dati di armatura

Tipo CLS	C30/37	(min C20/25)	D.M.(7.4.2.1)
Tipo Acciaio	B450C	(B450C)	D.M.(7.4.2.2)

$$R_{ck} = 37 \text{ N/mm}^2$$

f _{ck} =	30.71	f _{cd} =	17.40	D.M.(4.1.2.1.1.1)	f _{ctm} =	2.94	D.M.(11.2.10.2)
f _{yk} =	450	f _{yd} =	391.30	D.M.(4.1.2.1.1.3)			

Diametro min. armatura long.	16	≥ 14	D.M.(7.4.6.2.1)
------------------------------	----	------	-----------------

Diametro staffe	8	≥ 6	D.M.(7.4.6.2.1)
-----------------	---	-----	-----------------

N° braccia staffe	2		
-------------------	---	--	--

Armatura longitudinale

In campata	n°ferri_tesi	3	As=	6.08cm ²	As=	6.08cm ²
	n°ferri_comp.	3	A's=	6.08cm ²	A's=	6.08cm ²
zona critica	n°ferri_tesi	3	As=	6.08cm ²	As=	6.08cm ²
	n°ferri_comp.	3	A's=	6.08cm ²	A's=	6.08cm ²

Limitazioni Armatura longitudinale 7.4.6.2.1

In campata:	ρ_{comp}	Arm. min.	Arm. max.	limitazioni	
	0.00507	3.7cm ²	15.4cm ²	1.4/f _{yk} < $(\rho_{comp} + (3.5/f_{yk}))$	OK
	0.00507	1.5cm ²		$\rho_{comp} \geq 0,25$	OK
zona critica:	0.00507	3.7cm ²	15.4cm ²	1.4/f _{yk} < $(\rho_{comp} + (3.5/f_{yk}))$	OK
	0.00507	3.0cm ²		$\rho_{comp} \geq 0,5$	OK

In ogni caso almeno il 50% dell'armatura necessaria per il taglio deve essere costituita da staffe.

Per gli elementi in esame l'armatura trasversale è costituita solo da staffe.

8.4 TRAVI INTERNE 30X50

Si riportano di seguito le verifiche strutturali della trave interna avente sezione rettangolare di dimensioni 30x50 cm. Le verifiche saranno condotte per i differenti stati limite ed in corrispondenza delle sezioni maggiormente sollecitate dell'elemento per effetto della combinazioni di carico più gravose.

Di seguito si riportano le tabelle delle sollecitazioni più gravose ottenute allo SLU (statico e sismico) e agli SLE (Rara, Frequente e Quasi Permanente):

CC	TCC	X <m>	N <kN>	Ty <kN>	Mz <kNm>	Tz <kN>	My <kNm>	Mx <kNm>
25	SLU	0.15	-1114.4	0	0	182.774	-87.615	0.028
25	SLU	2.84	-1114.4	0	0	0.76	158.828	0.028
25	SLU	6.5	-1114.4	0	0	-247.603	-293.448	0.028
29	SLU	0.15	-1114.4	0	0	185.871	-88.647	-0.15
29	SLU	2.83	-1114.4	0	0	0.78	161.785	-0.15
29	SLU	6.5	-1114.4	0	0	-252.126	-299.005	-0.15
30	SLU	0.15	-1114.4	0	0	184.633	-88.234	-0.079
30	SLU	2.83	-1114.4	0	0	0.772	160.602	-0.079
30	SLU	6.5	-1114.4	0	0	-250.317	-296.782	-0.079
36	SLU	0.15	-1114.4	0	0	184.43	-93.842	0.218
36	SLU	2.87	-1114.4	0	0	0.23	157.089	0.218
36	SLU	6.5	-1114.4	0	0	-245.948	-289.162	0.218
37	SLU	0.15	-1114.4	0	0	183.768	-91.351	0.142
37	SLU	2.86	-1114.4	0	0	0.397	157.781	0.142
37	SLU	6.5	-1114.4	0	0	-246.61	-290.876	0.142
25	SLU	0.15	-1114.4	0	0	247.603	-293.448	-0.028
25	SLU	3.8	-1114.4	0	0	0	158.832	-0.028
25	SLU	6.5	-1114.4	0	0	-182.774	-87.615	-0.028
29	SLU	0.15	-1114.4	0	0	251.865	-298.315	0.035
29	SLU	3.8	-1114.4	0	0	0.079	161.524	0.035
29	SLU	6.5	-1114.4	0	0	-186.133	-89.617	0.035
30	SLU	0.15	-1114.4	0	0	250.16	-296.368	0.01
30	SLU	3.8	-1114.4	0	0	0	160.447	0.01
30	SLU	6.5	-1114.4	0	0	-184.789	-88.816	0.01
36	SLU	0.15	-1114.4	0	0	249.299	-297.82	0.164
36	SLU	3.83	-1114.4	0	0	0	160.677	0.164
36	SLU	6.5	-1114.4	0	0	-181.078	-81.218	0.164
37	SLU	0.15	-1114.4	0	0	248.621	-296.071	0.087
37	SLU	3.82	-1114.4	0	0	0	159.934	0.087
37	SLU	6.5	-1114.4	0	0	-181.757	-83.777	0.087

CC	TCC	X <m>	N <kN>	Ty <kN>	Mz <kNm>	Tz <kN>	My <kNm>	Mx <kNm>
26	SLE R	0.15	-742.936	0	0	130.347	-62.482	0.02
26	SLE R	2.84	-742.936	0	0	0.542	113.27	0.02
26	SLE R	6.5	-742.936	0	0	-176.581	-209.276	0.02
31	SLE R	0.15	-742.936	0	0	132.411	-63.17	-0.099
31	SLE R	2.83	-742.936	0	0	0.556	115.241	-0.099
31	SLE R	6.5	-742.936	0	0	-179.596	-212.98	-0.099
32	SLE R	0.15	-742.936	0	0	131.585	-62.895	-0.051
32	SLE R	2.83	-742.936	0	0	0.55	114.453	-0.051
32	SLE R	6.5	-742.936	0	0	-178.39	-211.498	-0.051
38	SLE R	0.15	-742.936	0	0	131.45	-66.634	0.146
38	SLE R	2.87	-742.936	0	0	0.165	112.11	0.146
38	SLE R	6.5	-742.936	0	0	-175.477	-206.418	0.146
39	SLE R	0.15	-742.936	0	0	131.009	-64.973	0.096
39	SLE R	2.85	-742.936	0	0	0.272	112.572	0.096
39	SLE R	6.5	-742.936	0	0	-175.918	-207.561	0.096
26	SLE R	0.15	-742.936	0	0	176.581	-209.276	-0.02
26	SLE R	3.8	-742.936	0	0	0	113.273	-0.02
26	SLE R	6.5	-742.936	0	0	-130.347	-62.482	-0.02
31	SLE R	0.15	-742.936	0	0	179.421	-212.52	0.022
31	SLE R	3.8	-742.936	0	0	0	115.068	0.022
31	SLE R	6.5	-742.936	0	0	-132.586	-63.817	0.022
32	SLE R	0.15	-742.936	0	0	178.285	-211.222	0.005
32	SLE R	3.8	-742.936	0	0	0	114.35	0.005
32	SLE R	6.5	-742.936	0	0	-131.69	-63.283	0.005
38	SLE R	0.15	-742.936	0	0	177.711	-212.19	0.108
38	SLE R	3.83	-742.936	0	0	0	114.502	0.108
38	SLE R	6.5	-742.936	0	0	-129.216	-58.217	0.108
39	SLE R	0.15	-742.936	0	0	177.259	-211.024	0.057
39	SLE R	3.82	-742.936	0	0	0	114.007	0.057
39	SLE R	6.5	-742.936	0	0	-129.668	-59.923	0.057

CC	TCC	X <m>	N <kN>	Ty <kN>	Mz <kNm>	Tz <kN>	My <kNm>	Mx <kNm>
27	SLE F	0.15	-371.468	0	0	110.034	-52.733	0.016
27	SLE F	2.84	-371.468	0	0	0.458	95.626	0.016
27	SLE F	6.5	-371.468	0	0	-149.07	-176.674	0.016
33	SLE F	0.15	-371.468	0	0	110.447	-52.871	-0.007
33	SLE F	2.83	-371.468	0	0	0.461	96.02	-0.007
33	SLE F	6.5	-371.468	0	0	-149.673	-177.415	-0.007

Relazione di calcolo strutture di elevazione

COMMESSA	LOTTO	CODIFICA	DOCUMENTO	REV	FOGLIO
NN1X	00 D 78	CL	FA 01 00 002	B	73 di 108

34	SLE F	0.15	-371.468	0	0	110.034	-52.733	0.016
34	SLE F	2.84	-371.468	0	0	0.458	95.626	0.016
34	SLE F	6.5	-371.468	0	0	-149.07	-176.674	0.016
40	SLE F	0.15	-371.468	0	0	110.254	-53.563	0.042
40	SLE F	2.85	-371.468	0	0	-0.017	95.394	0.042
40	SLE F	6.5	-371.468	0	0	-148.849	-176.103	0.042
41	SLE F	0.15	-371.468	0	0	110.034	-52.733	0.016
41	SLE F	2.84	-371.468	0	0	0.458	95.626	0.016
41	SLE F	6.5	-371.468	0	0	-149.07	-176.674	0.016
27	SLE F	0.15	-371.468	0	0	149.07	-176.674	-0.016
27	SLE F	3.8	-371.468	0	0	0	95.628	-0.016
27	SLE F	6.5	-371.468	0	0	-110.034	-52.733	-0.016
33	SLE F	0.15	-371.468	0	0	149.638	-177.323	-0.008
33	SLE F	3.8	-371.468	0	0	0	95.987	-0.008
33	SLE F	6.5	-371.468	0	0	-110.481	-53	-0.008
34	SLE F	0.15	-371.468	0	0	149.07	-176.674	-0.016
34	SLE F	3.8	-371.468	0	0	0	95.628	-0.016
34	SLE F	6.5	-371.468	0	0	-110.034	-52.733	-0.016
40	SLE F	0.15	-371.468	0	0	149.296	-177.257	0.009
40	SLE F	3.81	-371.468	0	0	0	95.872	0.009
40	SLE F	6.5	-371.468	0	0	-109.808	-51.88	0.009
41	SLE F	0.15	-371.468	0	0	149.07	-176.674	-0.016
41	SLE F	3.8	-371.468	0	0	0	95.628	-0.016
41	SLE F	6.5	-371.468	0	0	-110.034	-52.733	-0.016

CC	TCC	X <m>	N <kN>	Ty <kN>	Mz <kNm>	Tz <kN>	My <kNm>	Mx <kNm>
28	SLE Q	0.15	0	0	0	107.596	-51.563	0.016
28	SLE Q	2.84	0	0	0	0.448	93.508	0.016
28	SLE Q	6.5	0	0	0	-145.769	-172.762	0.016
35	SLE Q	0.15	0	0	0	107.596	-51.563	0.016
35	SLE Q	2.84	0	0	0	0.448	93.508	0.016
35	SLE Q	6.5	0	0	0	-145.769	-172.762	0.016
42	SLE Q	0.15	0	0	0	107.596	-51.563	0.016
42	SLE Q	2.84	0	0	0	0.448	93.508	0.016
42	SLE Q	6.5	0	0	0	-145.769	-172.762	0.016
28	SLE Q	0.15	0	0	0	145.769	-172.762	-0.016
28	SLE Q	3.8	0	0	0	0	93.511	-0.016
28	SLE Q	6.5	0	0	0	-107.596	-51.563	-0.016
35	SLE Q	0.15	0	0	0	145.769	-172.762	-0.016
35	SLE Q	3.8	0	0	0	0	93.511	-0.016

Relazione di calcolo strutture di elevazione

COMMESSA	LOTTO	CODIFICA	DOCUMENTO	REV	FOGLIO
NN1X	00 D 78	CL	FA 01 00 002	B	74 di 108

35	SLE Q	6.5	0	0	0	-107.596	-51.563	-0.016
42	SLE Q	0.15	0	0	0	145.769	-172.762	-0.016
42	SLE Q	3.8	0	0	0	0	93.511	-0.016
42	SLE Q	6.5	0	0	0	-107.596	-51.563	-0.016

8.4.1 Verifica a flessione

Si riportano di seguito le verifiche a flessione, in corrispondenza della sezione d'appoggio e della sezione di campata (convenzione sui segni: compressione negativa (-), momento flettente che tende le fibre superiori negativo (-)).

In funzione delle sollecitazioni si è dimensionata opportunamente l'armatura longitudinale delle travi:

1) Zone d'appoggio:

- Armatura superiore 3 Φ 20
- Armatura inferiore 1 Φ 20 + 2 Φ 24

2) Campata:

- Armatura superiore 3 Φ 20
- Armatura inferiore 1 Φ 20 + 2 Φ 24

In aggiunta, fuori calcolo, andranno disposti 2 Φ 12 come ferri di parete.

Le verifiche di resistenza a flessione allo SLU ed agli SLE (NTC2018 – 4.1.2.1.2.4) per le sezioni di appoggio e di campata sono state condotte con il supporto del MODEST considerando le sollecitazioni riportate nel prospetto precedente.

Essendo la sezione armata in maniera simmetrica in campata ed in appoggio si esegue la verifica di una sola sezione in cui le sollecitazioni calcolate in appoggio sono invertite di segno.

Travata n. 105

Nodi: 102 109 114

Simbologia

Caso = Caso di verifica
 Xg = Coordinata progressiva (dal primo nodo) in cui viene effettuato il progetto/verifica
 CC = Combinazione delle condizioni di carico elementari
 c = momento fittizio in campata
 a = momento fittizio agli appoggi
 TG = taglio da gerarchia delle resistenze
 TGND = taglio non dissipativo limitante la gerarchia
 T = momento traslato per taglio
 e = eccentricità aggiuntiva in caso di compressione o pressoflessione
 TCC = Tipo di combinazione di carico

Relazione di calcolo strutture di elevazione

COMMESSA	LOTTO	CODIFICA	DOCUMENTO	REV	FOGLIO
NN1X	00 D 78	CL	FA 01 00 002	B	75 di 108

SLU = Stato limite ultimo
 SLU S = Stato limite ultimo (azione sismica)
 SLE R = Stato limite d'esercizio, combinazione rara
 SLE F = Stato limite d'esercizio, combinazione frequente
 SLE Q = Stato limite d'esercizio, combinazione quasi permanente
 SLD = Stato limite di danno
 SLV = Stato limite di salvaguardia della vita
 SLC = Stato limite di prevenzione del collasso
 SLO = Stato limite di operatività
 SLU I = Stato limite di resistenza al fuoco
 SND = Stato limite di salvaguardia della vita (non dissipativo)

El = Elemento (asta) in cui viene effettuato il progetto/verifica (progressivo sul numero di aste)

Sez. = Numero della sezione

Crit. = Numero del criterio di progetto

X = Coordinata progressiva rispetto al nodo iniziale

AfE S = Area di ferro effettiva totale presente nel punto di verifica, superiore

AfE I = Area di ferro effettiva totale presente nel punto di verifica, inferiore

AfEP S = Area di ferro effettiva parziale presente nella CC considerata, per la sollecitazione indicata, superiore

AfEP I = Area di ferro effettiva parziale presente nella CC considerata, per la sollecitazione indicata, inferiore

My = Momento flettente intorno all'asse Y

MRdy = Momento resistente allo stato limite ultimo intorno all'asse Y

Sic. = Sicurezza a rottura

σ_{fdd} = Tensione di distacco della fibra di estremità (modo 1)

$\Delta\%$ = Incremento percentuale sicurezza

σ_f sup = Tensione nel ferro - superiore

σ_f inf = Tensione nel ferro - inferiore

σ_c = Tensione nel calcestruzzo

X0 = Coordinata progressiva (dal nodo iniziale) dell'inizio del tratto

X1 = Coordinata progressiva (dal nodo iniziale) della fine del tratto

Lung. = Lunghezza del tratto di progettazione

Staff. = Staffatura adottata

AfE St. = Area di ferro effettiva della staffatura (d'anima per travi a T o L)

bw = Larghezza membratura resistente al taglio

Vsdu = Taglio agente nella direzione del momento ultimo

ctg θ = Cotangente dell'angolo di inclinazione dei puntoni di calcestruzzo

VRsd = Taglio ultimo lato armatura

VRcd = Taglio ultimo lato calcestruzzo

Vrdu = Taglio ultimo assorbibile dal solo calcestruzzo

Sic.T = Sicurezza a rottura per taglio

c = Ricoprimento dell'armatura

s = Distanza minima tra le barre

K3 = Coefficiente di forma del diagramma delle tensioni prima della fessurazione

s_{zm} = Distanza media tra le fessure

Φ = Diametro della barra

A_s = Area complessiva dei ferri nell'area di calcestruzzo efficace

$A_{c\ eff}$ = Area di calcestruzzo efficace

σ_s = Tensione nell'acciaio nella sezione fessurata

σ_{sr} = Tensione nell'acciaio corrispondente al raggiungimento della resistenza a trazione nel calcestruzzo

ϵ_{sm} = Deformazione unitaria media dell'armatura (*1000)

Wk = Apertura delle fessure

Tipo = Tipologia

2C = Doppia C lato labbri

2Cdx = Doppia C lato costola

2I = Doppia I

2L = Doppia L lato labbri

2Ldx = Doppia L lato costole

C = Sezione a C

Relazione di calcolo strutture di elevazione

COMMESSA	LOTTO	CODIFICA	DOCUMENTO	REV	FOGLIO
NN1X	00 D 78	CL	FA 01 00 002	B	76 di 108

Cdx = C destra
 Cir. = Circolare
 Cir.c = Circolare cava
 I = Sezione a I
 L = Sezione a L
 Ldx = L destra
 Om. = Omega
 Pg = Pi greco
 Pr = Poligono regolare
 Prc = Poligono regolare cavo
 Pc = Per coordinate
 Ia = Inerzie assegnate
 R = Rettangolare
 Rc = Rettangolare cava
 T = Sezione a T
 U = Sezione a U
 Ur = U rovescia
 V = Sezione a V
 Vr = V rovescia
 Z = Sezione a Z
 Zdx = Z destra
 Ts = T stondata
 Ls = L stondata
 Cs = C stondata
 Is = I stondata
 Dis. = Disegnata

B = Base
 H = Altezza
 Cf sup = Copriferro superiore
 Cf inf = Copriferro inferiore
 Cls = Tipo di calcestruzzo
 Fck = Resistenza caratteristica cilindrica a compressione del calcestruzzo
 Fctk = Resistenza caratteristica a trazione del calcestruzzo
 Fcd = Resistenza di calcolo a compressione del calcestruzzo
 Fctd = Resistenza di calcolo a trazione del calcestruzzo
 Tp = Tipo di acciaio
 Fyk = Tensione caratteristica di snervamento dell'acciaio
 Fyd = Resistenza di calcolo dell'acciaio

Caratteristiche delle sezioni e dei materiali utilizzati

Sez.	Tipo	B <cm>	H <cm>	Cf sup <cm>	Cf inf <cm>	Cls	Fck <daN/cm ² >	Fctk <daN/cm ² >	Fcd <daN/cm ² >	Fctd <daN/cm ² >	Tp	Fyk <daN/cm ² >	Fyd <daN/cm ² >
1R		30.00	50.00	4.50	4.50	C30/37	307.10	20.59	174.02	13.73	B450C	4500.00	3913.04

Stato limite ultimo - Verifiche a flessione/pressoflessione

Xg <m>	CC	TCC	El	X <cm>	AfE S <cmq>	AfE I <cmq>	AfEP S <cmq>	AfEP I <cmq>	My <daNm>	MRdy <daNm>	Sic.
0.157	SLV	1	15.00	9.42	12.19	9.42	12.19	-10106.80	-15634.20	1.547	
2.3629	SLU	1	235.53	6.28	12.19	6.28	12.19	17796.90	20012.20	1.124	
6.5029	SLU	1	650.00	20.23	12.19	20.23	12.19	-29900.50	-32783.40	1.096	
6.8029	SLU	2	15.00	20.23	12.19	20.23	12.19	-29831.50	-32783.40	1.099	
9.9729	SLU	2	332.50	6.28	12.19	6.28	12.19	17767.70	20012.20	1.126	
13.1519	SLV	2	650.00	9.42	12.19	9.42	12.19	-10106.80	-15634.20	1.547	

Relazione di calcolo strutture di elevazione

COMMESSA	LOTTO	CODIFICA	DOCUMENTO	REV	FOGLIO
NN1X	00 D 78	CL	FA 01 00 002	B	77 di 108

Stato limite d'esercizio - Verifiche tensionali

Xg <m>	CC	TCC	El	X <cm>	AfE S <cmq>	AfE I <cmq>	My <daNm>	σ_f sup <daN/cmq>	σ_f inf <daN/cmq>	σ_c <daN/cmq>
0.15	38	SLE R	1	15.00	9.42	12.19	-6663.36	1726.14	-499.21	49.56
0.15	28	SLE Q	1	15.00	9.42	12.19	-5156.33	1335.74	-386.30	38.35
2.36	31	SLE R	1	235.53	6.28	12.19	12676.90	-1085.21	2587.92	99.22
2.36	28	SLE Q	1	235.53	6.28	12.19	10286.20	-880.55	2099.87	80.51
6.50	31	SLE R	1	650.00	20.23	12.19	-21298.00	2646.65	-1444.66	126.25
6.50	28	SLE Q	1	650.00	20.23	12.19	-17276.20	2146.87	-1171.85	102.41
6.80	31	SLE R	2	15.00	20.23	12.19	-21252.00	2640.94	-1441.53	125.97
6.80	28	SLE Q	2	15.00	20.23	12.19	-17276.20	2146.87	-1171.85	102.41
9.97	31	SLE R	2	332.50	6.28	12.19	12657.50	-1083.55	2583.95	99.07
9.97	28	SLE Q	2	332.50	6.28	12.19	10286.20	-880.55	2099.86	80.51
13.15	31	SLE R	2	650.00	9.42	12.19	-6381.69	1653.17	-478.11	47.47
13.15	28	SLE Q	2	650.00	9.42	12.19	-5156.34	1335.74	-386.30	38.35

Stato limite d'esercizio - Verifiche a fessurazione

Caso	Xg <m>	CC	TCC	El	Sez.	Crit.	X <cm>	My <daNm>	c <mm>	s <mm>	K3	s_{Fm} <mm>	Φ	A_s <cmq>	A_c eff <cmq>	σ_s <daN/cmq>	σ_{sz} <daN/cmq>	ϵ_{sm}	Wk <mm>
35	0.15	28	SLE Q	1	1	1	15.00	-5156.33	35.00	105.00	0.16	164.32	20.00	9.42	541.84	1335.74	1610.14	0.26	0.07
41	0.15	40	SLE F	1	1	1	15.00	-5356.35	35.00	105.00	0.16	164.32	20.00	9.42	541.84	1387.56	1610.14	0.27	0.08
69	2.36	28	SLE Q	1	1	1	235.53	10286.20	33.00	105.00	0.14	153.79	24.00	12.19	608.93	2099.87	1283.71	0.83	0.22
73	2.36	33	SLE F	1	1	1	235.53	10562.50	33.00	105.00	0.14	153.79	24.00	12.19	608.93	2156.27	1283.71	0.86	0.23
103	6.50	28	SLE Q	1	1	1	650.00	-17276.20	33.00	42.00	0.14	112.67	24.00	20.23	583.47	2146.87	947.78	0.94	0.18
107	6.50	33	SLE F	1	1	1	650.00	-17741.50	33.00	42.00	0.14	112.67	24.00	20.23	583.47	2204.70	947.78	0.97	0.19
137	6.80	28	SLE Q	2	1	1	15.00	-17276.20	33.00	42.00	0.14	112.67	24.00	20.23	583.47	2146.87	947.78	0.94	0.18
141	6.80	33	SLE F	2	1	1	15.00	-17732.30	33.00	42.00	0.14	112.67	24.00	20.23	583.47	2203.55	947.78	0.97	0.19
171	9.97	28	SLE Q	2	1	1	332.50	10286.20	33.00	105.00	0.14	153.79	24.00	12.19	608.93	2099.86	1283.71	0.83	0.22
175	9.97	33	SLE F	2	1	1	332.50	10558.60	33.00	105.00	0.14	153.79	24.00	12.19	608.93	2155.47	1283.71	0.86	0.23
217	13.15	28	SLE Q	2	1	1	650.00	-5156.34	35.00	105.00	0.16	164.32	20.00	9.42	541.84	1335.74	1610.14	0.26	0.07
221	13.15	33	SLE F	2	1	1	650.00	-5300.02	35.00	105.00	0.16	164.32	20.00	9.42	541.84	1372.96	1610.14	0.27	0.07

8.4.2 Verifica a taglio e torsione

Al fine di escludere la formazione di meccanismi inelastici dovuti al taglio, le sollecitazioni di taglio di calcolo V_{Ed} si ottengono sommando il contributo dovuto ai carichi gravitazionali agenti sulla trave, considerata incernierata agli estremi, alle sollecitazioni di taglio corrispondenti alla formazione di cerniere plastiche nella trave e prodotte dai momenti resistenti (ultimi) delle due sezioni di plasticizzazione (generalmente quelle di estremità) amplificati del fattore di sovra resistenza γ_{Rd} assunto pari a 1.0 per CDB.

Deve risultare (NTC2018 – 4.1.2.1.3.2):

$$V_{Rd} > V_d$$

dove:

V_d = Valore di calcolo del taglio agente;

$$V_{Rd} = \min (V_{Rsd}, V_{Rcd})$$

Con riferimento all'armatura trasversale, la resistenza di calcolo a "taglio trazione" si calcola con:

$$V_{Rsd} = 0.9 \cdot d \cdot \frac{A_{sw}}{s} \cdot f_{yd} \cdot (\text{ctg}\alpha + \text{ctg}\theta) \cdot \sin \alpha$$

Con riferimento al calcestruzzo d'anima, la resistenza di calcolo a "taglio compressione" si calcola con:

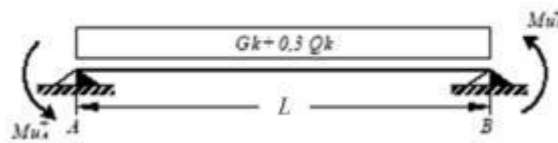
$$V_{Rcd} = 0.9 \cdot d \cdot b_w \cdot \alpha_c \cdot f'_{cd} \cdot (\text{ctg}\alpha + \text{ctg}\theta) / (1 + \text{ctg}^2\theta)$$

dove:

α : Angolo d'inclinazione dell'armatura trasversale rispetto all'asse dell'elemento;

θ : Angolo d'inclinazione dei puntoni in calcestruzzo rispetto all'asse dell'elemento.

• **1° Schema:**

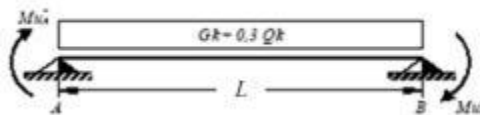


Il taglio è variabile linearmente lungo la trave ed è pari a:

$$V_A = \gamma_{Rd} \frac{Mu^+_A + Mu^+_B}{l_{trave}} + \frac{(G_k + 0,3Q_k) \cdot l_{trave}}{2}$$

$$V_B = \gamma_{Rd} \frac{Mu^+_A + Mu^+_B}{l_{trave}} - \frac{(G_k + 0,3Q_k) \cdot l_{trave}}{2}$$

• **2° Schema:**



Il taglio è variabile linearmente lungo la trave ed è pari a:

$$V_A = \gamma_{Rd} \frac{Mu^-_A + Mu^-_B}{l_{trave}} + \frac{(G_k + 0,3Q_k) \cdot l_{trave}}{2}$$

$$V_B = \gamma_{Rd} \frac{Mu^-_A + Mu^-_B}{l_{trave}} - \frac{(G_k + 0,3Q_k) \cdot l_{trave}}{2}$$

 <p>ITALFERR GRUPPO FERROVIE DELLO STATO ITALIANE</p>	<p>LINEA SALERNO - PONTECAGNANO AEROPORTO COMPLETAMENTO METROPOLITANA DI SALERNO TRATTA ARECHI - PONTECAGNANO AEROPORTO PROGETTO DEFINITIVO Fabbricati – SSE Km 5+750 – FA01 – Fabbricato SSE</p>												
<p>Relazione di calcolo strutture di elevazione</p>	<table border="1"> <thead> <tr> <th>COMMESSA</th> <th>LOTTO</th> <th>CODIFICA</th> <th>DOCUMENTO</th> <th>REV</th> <th>FOGLIO</th> </tr> </thead> <tbody> <tr> <td>NN1X</td> <td>00 D 78</td> <td>CL</td> <td>FA 01 00 002</td> <td>B</td> <td>79 di 108</td> </tr> </tbody> </table>	COMMESSA	LOTTO	CODIFICA	DOCUMENTO	REV	FOGLIO	NN1X	00 D 78	CL	FA 01 00 002	B	79 di 108
COMMESSA	LOTTO	CODIFICA	DOCUMENTO	REV	FOGLIO								
NN1X	00 D 78	CL	FA 01 00 002	B	79 di 108								

La verifica di resistenza nei confronti della torsione (SLU) (NTC2018 – 4.1.2.1.4) consiste nel controllare che:

$$T_{Rd} \geq T_{Ed}$$

dove T_{Ed} è il valore di calcolo del momento torcente.

Per elementi prismatici sottoposti a torsione semplice o combinata con altre sollecitazioni, che abbiano sezione piena o cava, lo schema resistente è costituito da un traliccio periferico in cui gli sforzi di trazione sono affidati alle armature longitudinali e trasversali ivi contenute e gli sforzi di compressione sono affidati alle bielle di calcestruzzo.

Con riferimento al calcestruzzo la resistenza si calcola con:

$$T_{Rcd} = 2 \cdot A \cdot t \cdot f'_{cd} \cdot \text{ctg}\theta / (1 + \text{ctg}\theta)$$

dove t è lo spessore della sezione cava; per sezioni piene $t = A_c / u$ dove A_c è l'area della sezione ed u è il suo perimetro; t deve essere assunta comunque ≥ 2 volte la distanza fra il bordo e il centro dell'armatura longitudinale.

Le armature longitudinali e trasversali del traliccio resistente devono essere poste entro lo spessore t del profilo periferico. Le barre longitudinali possono essere distribuite lungo detto profilo, ma comunque una barra deve essere presente su tutti i suoi spigoli.

Con riferimento alle staffe trasversali la resistenza si calcola con:

$$T_{Rsd} = 2 \cdot A \cdot (A_s / s) \cdot f_{yd} \cdot \text{ctg}\theta$$

Con riferimento all'armatura longitudinale la resistenza si calcola con:

$$T_{Rsd} = 2 \cdot A \cdot (\Sigma A_l / u_m) \cdot f_{yd} / \text{ctg}\theta$$

dove si è posto:

A area racchiusa dalla fibra media del profilo periferico;

A_s area delle staffe;

u_m perimetro medio del nucleo resistente;

s passo delle staffe;

ΣA_l area complessiva delle barre longitudinali.

L'inclinazione θ delle bielle compresse di calcestruzzo rispetto all'asse della trave deve rispettare i limiti seguenti:

$$0,4 \leq \text{ctg}\theta \leq 2,5$$

Entro questi limiti, nel caso di torsione pura, può porsi $\text{ctg}\theta = (a_l / a_s)^{1/2}$

con: $a_l = \Sigma A_l / u_m$

Relazione di calcolo strutture di elevazione

COMMESSA	LOTTO	CODIFICA	DOCUMENTO	REV	FOGLIO
NN1X	00 D 78	CL	FA 01 00 002	B	80 di 108

$$a_s = A_s / s$$

La resistenza alla torsione della trave è la minore delle tre sopra definite.

Si riporta di seguito un prospetto riepilogativo con i valori delle sollecitazioni taglianti e torcenti ottenute seguendo la metodologia descritta e riportata negli schemi precedenti:

Poiché il valore del taglio determinato mediante la procedura sopra riportata non è maggiore del taglio di calcolo ottenuto a valle dell'analisi strutturale mediante il MODEST ($V_2=252.12$ kN) si procede alla verifica di resistenza considerando il seguente valore del taglio massimo:

$$V_{Ed-max} = 252.12 \text{ kN}$$

Staffe - Verifiche armatura

CC	X0 <m>	X1 <m>	Lung. <m>	Staff.	AfE St. <cmq/m>	bw <m>	Vsdu <daN>	ctgθ	VRsd <daN>	VRcd <daN>	Vrdu <daN>	Sic. T
29 SLU	0.15	0.65	0.50	ø8/ 8 2 br.	12.57	0.30	18587.10	2.08	41796.80	41796.80	41796.80	2.25
29 SLU	0.65	6.00	5.35	ø8/16 2 br.	6.28	0.30	21763.80	2.50	25170.30	36859.90	25170.30	1.16
29 SLU	6.00	6.50	0.50	ø8/ 8 2 br.	12.57	0.30	25212.60	2.08	41796.80	41796.80	41796.80	1.66
29 SLU	6.80	7.30	0.50	ø8/ 8 2 br.	12.57	0.30	25186.50	2.08	41796.80	41796.80	41796.80	1.66
29 SLU	7.30	12.65	5.35	ø8/16 2 br.	6.28	0.30	21737.60	2.50	25170.30	36859.90	25170.30	1.16
29 SLU	12.65	13.15	0.50	ø8/ 8 2 br.	12.57	0.30	18613.30	2.08	41796.80	41796.80	41796.80	2.25

Si adatteranno nelle zone d'appoggio, per un tratto pari ad 50 cm dal filo esterno del pilastro, staffe $\Phi 8/8$ cm, per il rispetto dei limiti normativi, mentre nelle zone centrali di campata staffe $\Phi 8/16$ cm.

8.4.3 Verifica limitazioni armatura

In ogni sezione della trave, il rapporto geometrico ρ relativo all'armatura tesa, indipendentemente dal fatto che l'armatura tesa sia quella al lembo superiore della sezione A_s o quella al lembo inferiore della sezione A_i , deve essere compreso entro i seguenti limiti:

$$\frac{1,4}{f_{yk}} < \rho < \rho_{comp} + \frac{3,5}{f_{yk}}$$

dove:

$\rho = A_s / (bh)$ Rapporto geometrico relativo all'armatura tesa

$\rho_{comp} = A_s' / (bh)$ Rapporto geometrico relativo all'armatura compressa

Relazione di calcolo strutture di elevazione

COMMESSA	LOTTO	CODIFICA	DOCUMENTO	REV	FOGLIO
NN1X	00 D 78	CL	FA 01 00 002	B	81 di 108

Dati Geometrici

Trave:

Base	b=	30cm	ok
altezza	h=	50cm	
allargamento	dsx =	0cm	
allargamento	ddx =	0cm	
copriferro	c=	5cm	

Valori max	Limit. geometriche 7.4.6.1.1	
30cm	$b \geq 20cm$	$b \leq 2lp$
120cm	$b/h \geq 0.25$	
25cm	$dsx \leq h/2$	
25cm	$ddx \leq h/2$	

Dati di armatura

Tipo CLS	C30/37	(min C20/25)	D.M.(7.4.2.1)
Tipo Acciaio	B450C	(B450C)	D.M.(7.4.2.2)

$$R_{ck} = 37 \text{ N/mm}^2$$

fck=	30.71	fcd=	17.40	D.M.(4.1.2.1.1.1)	fctm=	2.94	D.M.(11.2.10.2)
fyk=	450	fyd=	391.30	D.M.(4.1.2.1.1.3)			

Diametro min. armatura long.	16	≥ 14	D.M.(7.4.6.2.1)
------------------------------	----	-----------	-----------------

Diametro staffe	8	≥ 6	D.M.(7.4.6.2.1)
-----------------	---	----------	-----------------

N° braccia staffe	2		
-------------------	---	--	--

Armatura longitudinale

In campata	n°ferri_tesi	3	As=	12.20cm ²	As=	12.20cm ²
	n°ferri_comp.	2	A's=	6.28cm ²	A's=	6.28cm ²
zona critica	n°ferri_tesi	3	As=	9.42cm ²	As=	9.42cm ²
	n°ferri_comp.	3	A's=	9.42cm ²	A's=	9.42cm ²

Limitazioni Armatura longitudinale 7.4.6.2.1

In campata:	ρ_{comp}	Arm. min.	Arm. max.	limitazioni	
	0.00813	4.7cm ²	17.9cm ²	$1.4/fyk < <(\rho_{comp} + (3.5/fyk))$	OK
	0.00419	3.1cm ²		$\rho_{comp} \geq 0,25$	OK
zona critica:	0.00628	4.7cm ²	21.1cm ²	$1.4/fyk < <(\rho_{comp} + (3.5/fyk))$	OK
	0.00628	4.7cm ²		$\rho_{comp} \geq 0,5$	OK

In ogni caso almeno il 50% dell'armatura necessaria per il taglio deve essere costituita da staffe.

Per gli elementi in esame l'armatura trasversale è costituita solo da staffe.

8.5 PILASTRI D'ANGOLO (30X70)

Si riportano di seguito le verifiche strutturali dei pilastri d'angolo aventi sezione rettangolare di dimensioni 30x90 cm. Le verifiche saranno condotte per i differenti stati limite ed in corrispondenza delle sezioni maggiormente sollecitate dell'elemento per effetto delle combinazioni di carico più gravose.

Preliminarmente alla verifica di resistenza dei pilastri allo SLU è necessario valutare la stabilità degli elementi snelli. Tali verifiche devono essere condotte attraverso un'analisi del secondo ordine che tenga conto degli effetti flessionali delle azioni assiali sulla configurazione deformata degli elementi stessi. In via approssimativa gli effetti del secondo ordine in pilastri singoli possono essere trascurati se la snellezza λ non supera il valore limite (4.1.2.1.7-NTC2018):

$$\lambda_{lim} = 15.4 \cdot \frac{C}{\sqrt{\nu}}$$

dove:

$\nu = N_{Ed} / (A_c \cdot f_{cd})$ è l'azione assiale adimensionale;

$C = 1,7 - r_m$ dipende dalla distribuzione dei momenti del primo ordine;

$r_m = M_{01} / M_{02}$ rapporto tra i momenti flettenti del primo ordine alle due estremità del pilastro (con $M_{02} \geq M_{01}$).

E' stata valutata la snellezza λ del pilastro:

SNELLEZZA LIMITE PILASTRI

$$\lambda_{lim} = 15.4 \cdot \frac{C}{\sqrt{\nu}}$$

NED =	262159	N		l limite	136.461
B=	300	mm			
H=	700	mm		SNELLEZZA PILASTRO	
fcd=	17.40	N/mm ²		J min	1.58E+09 mm ⁴
				r min	86.603 mm
n	0.0718				
				b	1
C	2.374			L0	5350 mm
Mtesta	29986000	Nxmm		l pilastro	61.776
Mpiede	44509000	Nxmm			
rm	0.6737				

La verifica risulta soddisfatta.

Relazione di calcolo strutture di elevazione

COMMESSA	LOTTO	CODIFICA	DOCUMENTO	REV	FOGLIO
NN1X	00 D 78	CL	FA 01 00 002	B	83 di 108

Per quanto concerne le non linearità geometriche sono prese in conto, quando necessario, attraverso il fattore θ di seguito definito. In particolare, per le costruzioni civili ed industriali esse possono essere trascurate nel caso in cui risulti:

$$\theta = \frac{P \cdot d_r}{V \cdot h} \leq 0.1$$

dove:

P è il carico verticale totale agente;

d_r è lo spostamento orizzontale medio d'interpiano;

V è la forza orizzontale totale agente;

h è l'altezza dell'elemento.

Si riporta di seguito la verifica delle non linearità geometriche facendo riferimento alle combinazioni di carico che producono lo spostamento orizzontale maggiore SLD_Y.

Elenco spostamenti e rigidezze teoriche di impalcato

Simbologia

Imp. = Numero dell'impalcato
 Sx = Spostamento impalcato in dir. X
 Rig X = Rigidezza teorica in direzione X
 Dif X % = Differenza percentuale della rigidezza X rispetto all'impalcato precedente
 Θ_x = Coefficiente Θ in dir. X
 Br X = Coordinata X della posizione baricentro rigidezze teorico
 Sy = Spostamento impalcato in dir. Y
 Rig Y = Rigidezza teorica in direzione Y
 Dif Y % = Differenza percentuale della rigidezza Y rispetto all'impalcato precedente
 Θ_y = Coefficiente Θ in dir. Y
 Br Y = Coordinata Y della posizione baricentro rigidezze teorico

Imp.	Sx <m>	Rig X <kN/m>	Dif X %	Θ_x	Br X <m>	Sy <m>	Rig Y <kN/m>	Dif Y %	Θ_y	Br Y <m>	
1	6.53E-03	127031.00	0.00	5.46E-03	12.33		7.35E-03	112883.00	0.00	6.14E-03	6.65

$$\Theta_{y \max} = 0.00614 < 0.01$$

8.5.1 Verifica a flessione

Nelle tabelle seguenti sono riportate le sollecitazioni ottenute agli SLU statico e sismo ed agli SLE (rara, frequente e quasi permanente).

CC	TCC	X <m>	N <kN>	Ty <kN>	Mz <kNm>	Tz <kN>	My <kNm>	Mx <kNm>
25	SLU	0	-264.07	29.986	-52.905	-0.132	0.07	0
25	SLU	0.28	-262.159	29.986	-44.509	-0.132	0.033	0
29	SLU	0	-268.878	30.338	-53.318	-21.214	41.963	-0.116
29	SLU	0.28	-266.967	30.338	-44.824	-21.214	36.023	-0.116
30	SLU	0	-266.955	30.197	-53.153	-12.781	25.206	-0.069
30	SLU	0.28	-265.044	30.197	-44.698	-12.781	21.627	-0.069
36	SLU	0	-281.237	63.908	-104.465	-2.011	6.397	-0.322
36	SLU	0.28	-279.326	63.908	-86.571	-2.011	5.833	-0.322
37	SLU	0	-274.37	50.339	-83.841	-1.26	3.866	-0.193
37	SLU	0.28	-272.459	50.339	-69.746	-1.26	3.513	-0.193
25	SLU	0	-262.159	29.986	-44.509	-0.132	0.033	0
25	SLU	4.67	-230.287	29.986	95.526	-0.132	-0.583	0
29	SLU	0	-266.967	30.338	-44.824	-21.214	36.023	-0.116
29	SLU	4.67	-235.094	30.338	96.854	1.202	-10.704	-0.116
30	SLU	0	-265.044	30.197	-44.698	-12.781	21.627	-0.069
30	SLU	4.67	-233.171	30.197	96.323	0.669	-6.655	-0.069
36	SLU	0	-279.326	63.908	-86.571	-2.011	5.833	-0.322
36	SLU	4.67	-247.453	18.376	105.562	-2.011	-3.559	-0.322
37	SLU	0	-272.459	50.339	-69.746	-1.26	3.513	-0.193
37	SLU	4.67	-240.586	23.02	101.547	-1.26	-2.368	-0.193

CC	TCC	X <m>	N <kN>	Ty <kN>	Mz <kNm>	Tz <kN>	My <kNm>	Mx <kNm>
26	SLE R	0	-191.33	21.385	-37.73	-0.095	0.049	0
26	SLE R	0.28	-189.86	21.385	-31.742	-0.095	0.022	0
31	SLE R	0	-194.535	21.62	-38.005	-14.149	27.977	-0.077
31	SLE R	0.28	-193.065	21.62	-31.952	-14.149	24.015	-0.077
32	SLE R	0	-193.253	21.526	-37.895	-8.527	16.806	-0.046
32	SLE R	0.28	-191.783	21.526	-31.868	-8.527	14.418	-0.046
38	SLE R	0	-202.774	44	-72.104	-1.348	4.266	-0.215
38	SLE R	0.28	-201.304	44	-59.784	-1.348	3.889	-0.215
39	SLE R	0	-198.196	34.954	-58.354	-0.846	2.579	-0.129
39	SLE R	0.28	-196.726	34.954	-48.567	-0.846	2.342	-0.129
26	SLE R	0	-189.86	21.385	-31.742	-0.095	0.022	0
26	SLE R	4.67	-165.342	21.385	68.126	-0.095	-0.42	0

Relazione di calcolo strutture di elevazione

COMMESSA	LOTTO	CODIFICA	DOCUMENTO	REV	FOGLIO
NN1X	00 D 78	CL	FA 01 00 002	B	85 di 108

31	SLE R	0	-193.065	21.62	-31.952	-14.149	24.015	-0.077
31	SLE R	4.67	-168.547	21.62	69.011	0.795	-7.167	-0.077
32	SLE R	0	-191.783	21.526	-31.868	-8.527	14.418	-0.046
32	SLE R	4.67	-167.265	21.526	68.657	0.439	-4.468	-0.046
38	SLE R	0	-201.304	44	-59.784	-1.348	3.889	-0.215
38	SLE R	4.67	-176.786	13.645	74.816	-1.348	-2.404	-0.215
39	SLE R	0	-196.726	34.954	-48.567	-0.846	2.342	-0.129
39	SLE R	4.67	-172.209	16.741	72.14	-0.846	-1.611	-0.129

CC	TCC	X <m>	N <kN>	Ty <kN>	Mz <kNm>	Tz <kN>	My <kNm>	Mx <kNm>
27	SLE F	0	-169.904	18.056	-31.856	-0.082	0.034	0
27	SLE F	0.28	-168.434	18.056	-26.8	-0.082	0.011	0
33	SLE F	0	-170.545	18.103	-31.911	-2.893	5.619	-0.015
33	SLE F	0.28	-169.075	18.103	-26.843	-2.893	4.809	-0.015
34	SLE F	0	-169.904	18.056	-31.856	-0.082	0.034	0
34	SLE F	0.28	-168.434	18.056	-26.8	-0.082	0.011	0
40	SLE F	0	-172.193	22.579	-38.731	-0.332	0.877	-0.043
40	SLE F	0.28	-170.723	22.579	-32.409	-0.332	0.784	-0.043
41	SLE F	0	-169.904	18.056	-31.856	-0.082	0.034	0
41	SLE F	0.28	-168.434	18.056	-26.8	-0.082	0.011	0
27	SLE F	0	-168.434	18.056	-26.8	-0.082	0.011	0
27	SLE F	4.67	-143.917	18.056	57.52	-0.082	-0.371	0
33	SLE F	0	-169.075	18.103	-26.843	-2.893	4.809	-0.015
33	SLE F	4.67	-144.558	18.103	57.697	0.096	-1.721	-0.015
34	SLE F	0	-168.434	18.056	-26.8	-0.082	0.011	0
34	SLE F	4.67	-143.917	18.056	57.52	-0.082	-0.371	0
40	SLE F	0	-170.723	22.579	-32.409	-0.332	0.784	-0.043
40	SLE F	4.67	-146.206	16.508	58.858	-0.332	-0.768	-0.043
41	SLE F	0	-168.434	18.056	-26.8	-0.082	0.011	0
41	SLE F	4.67	-143.917	18.056	57.52	-0.082	-0.371	0

CC	TCC	X <m>	N <kN>	Ty <kN>	Mz <kNm>	Tz <kN>	My <kNm>	Mx <kNm>
28	SLE Q	0	-167.333	17.656	-31.151	-0.08	0.032	0
28	SLE Q	0.28	-165.863	17.656	-26.207	-0.08	0.009	0
35	SLE Q	0	-167.333	17.656	-31.151	-0.08	0.032	0
35	SLE Q	0.28	-165.863	17.656	-26.207	-0.08	0.009	0
42	SLE Q	0	-167.333	17.656	-31.151	-0.08	0.032	0
42	SLE Q	0.28	-165.863	17.656	-26.207	-0.08	0.009	0
28	SLE Q	0	-165.863	17.656	-26.207	-0.08	0.009	0

Relazione di calcolo strutture di elevazione

COMMESSA	LOTTO	CODIFICA	DOCUMENTO	REV	FOGLIO
NN1X	00 D 78	CL	FA 01 00 002	B	86 di 108

28	SLE Q	4.67	-141.346	17.656	56.248	-0.08	-0.366	0
35	SLE Q	0	-165.863	17.656	-26.207	-0.08	0.009	0
35	SLE Q	4.67	-141.346	17.656	56.248	-0.08	-0.366	0
42	SLE Q	0	-165.863	17.656	-26.207	-0.08	0.009	0
42	SLE Q	4.67	-141.346	17.656	56.248	-0.08	-0.366	0

In funzione delle sollecitazioni si è dimensionata opportunamente l'armatura longitudinale del pilastro:

- Armatura lati corti 2 + 2 Φ 20
- Armatura lato lungo 4 + 4 Φ 20

Le verifiche di resistenza a flessione allo SLU ed agli SLE (NTC2018 – 4.1.2.1.2.4) per le sezioni di incastro e di campata sono state condotte con il supporto del MODEST considerando le sollecitazioni riportate nel prospetto precedente.

Essendo i pilastri orientati in maniera diversa sono state eseguite le verifiche coerentemente con l'orientamento degli assi locali definiti nel modello di calcolo.

Pilastrata n. 2

Nodi: 2 -2 102

Simbologia

Xg = Coordinata progressiva (dal primo nodo) in cui viene effettuato il progetto/verifica
 CC = Combinazione delle condizioni di carico elementari
 e = eccentricità aggiuntiva in caso di compressione o pressoflessione
 α = amplificazione per gerarchia delle resistenze
 TG = taglio da gerarchia delle resistenze
 TCC = Tipo di combinazione di carico
 SLU = Stato limite ultimo
 SLU S = Stato limite ultimo (azione sismica)
 SLE R = Stato limite d'esercizio, combinazione rara
 SLE F = Stato limite d'esercizio, combinazione frequente
 SLE Q = Stato limite d'esercizio, combinazione quasi permanente
 SLD = Stato limite di danno
 SLV = Stato limite di salvaguardia della vita
 SLC = Stato limite di prevenzione del collasso
 SLO = Stato limite di operatività
 SLU I = Stato limite di resistenza al fuoco
 SND = Stato limite di salvaguardia della vita (non dissipativo)
 El = Elemento (asta) in cui viene effettuato il progetto/verifica (progressivo sul numero di aste)
 Sez. = Numero della sezione
 X = Coordinata progressiva rispetto al nodo iniziale
 N = Sforzo normale
 Mz = Momento flettente intorno all'asse Z
 My = Momento flettente intorno all'asse Y
 My ver. = Momento flettente di verifica intorno all'asse Y

Relazione di calcolo strutture di elevazione

COMMESSA	LOTTO	CODIFICA	DOCUMENTO	REV	FOGLIO
NN1X	00 D 78	CL	FA 01 00 002	B	87 di 108

c = Ricoprimento dell'armatura
s = Distanza minima tra le barre
K3 = Coefficiente di forma del diagramma delle tensioni prima della fessurazione
 s_{rm} = Distanza media tra le fessure
 Φ = Diametro della barra
 A_s = Area complessiva dei ferri nell'area di calcestruzzo efficace
 $A_{c\ eff}$ = Area di calcestruzzo efficace
 σ_s = Tensione nell'acciaio nella sezione fessurata
 σ_{sr} = Tensione nell'acciaio corrispondente al raggiungimento della resistenza a trazione nel calcestruzzo
 ϵ_{sm} = Deformazione unitaria media dell'armatura (*1000)
Wk = Apertura delle fessure
M = Momento flettente
MRd = Momento resistente allo stato limite ultimo
 $\mu\Phi$ = Valore di progetto della duttilità di curvatura
Mz ver. = Momento flettente di verifica intorno all'asse Z
Nu = Sforzo normale ultimo
MRdy = Momento resistente allo stato limite ultimo intorno all'asse Y
MRdz = Momento resistente allo stato limite ultimo intorno all'asse Z
 α = Angolo asse neutro a rottura
 ϵ_y = Deformazione nell'acciaio (*1000)
Sic. = Sicurezza a rottura
AfT = Area di ferro tesa
AfC = Area di ferro compressa
 σ_c = Tensione nel calcestruzzo
 σ_f = Tensione nel ferro
X0 = Coordinata progressiva (dal nodo iniziale) dell'inizio del tratto
X1 = Coordinata progressiva (dal nodo iniziale) della fine del tratto
Staff. = Staffatura adottata
 Br_y = Numero bracci in dir. Y locale
 Br_z = Numero bracci in dir. Z locale
 $bw_{,y}$ = Larghezza membratura resistente al taglio in dir. Y
 $Vsdu_{,y}$ = Taglio agente in dir. Y
 $ctg\theta_{,y}$ = Cotangente dell'angolo di inclinazione dei puntoni di calcestruzzo in dir. Y
 $VRsd_{,y}$ = Taglio ultimo lato armatura in dir. Y
 $VRcd_{,y}$ = Taglio ultimo lato calcestruzzo in dir. Y
 $bw_{,z}$ = Larghezza membratura resistente al taglio in dir. Z
 $Vsdu_{,z}$ = Taglio agente in dir. Z
 $ctg\theta_{,z}$ = Cotangente dell'angolo di inclinazione dei puntoni di calcestruzzo in dir. Z
 $VRsd_{,z}$ = Taglio ultimo lato armatura in dir. Z
 $VRcd_{,z}$ = Taglio ultimo lato calcestruzzo in dir. Z
Sic.T = Sicurezza a rottura per taglio
Nodo = Numero del nodo
Conf. = Nodo confinato
S = Si
N = No
F. = Identificativo faccia del nodo
Y+ = Faccia sul lato positivo Y locale pilastro
Z+ = Faccia sul lato positivo Z locale pilastro
Y- = Faccia sul lato negativo Y locale pilastro
Z- = Faccia sul lato negativo Z locale pilastro
Mod. = Modalità di verifica faccia

Relazione di calcolo strutture di elevazione

COMMESSA	LOTTO	CODIFICA	DOCUMENTO	REV	FOGLIO
NN1X	00 D 78	CL	FA 01 00 002	B	88 di 108

I = Interna

E = Esterna

Br. = Numero bracci

As1 = Area di ferro superiore delle travi incidenti sulla faccia

As2 = Area di ferro inferiore delle travi incidenti sulla faccia

Bj = Larghezza effettiva utile del nodo

Hjc = Distanza tra armature pilastro

Hjw = Distanza tra armature trave

Ash = Area totale della sezione della staffa

Vc = Taglio nel pilastro al di sopra del nodo

Vjbd = Taglio agente nel nucleo di calcestruzzo [7.4.6/7]

vd_s = Sforzo normale normalizzato del pilastro superiore (%)

vd_i = Sforzo normale normalizzato del pilastro inferiore (%)

Vjbr = Resistenza a compressione del nucleo di calcestruzzo [7.4.8]

Afni = Azione di fessurazione sul nodo integro [7.4.10]

Rfni = Resistenza a fessurazione nodo integro [7.4.10]

Vjwd = Azione agente di trazione diagonale [7.4.11/12]

VjwR = Resistenza a trazione diagonale [7.4.11/12]

Tipo = Tipologia

2C = Doppia C lato labbri

2Cdx = Doppia C lato costola

2I = Doppia I

2L = Doppia L lato labbri

2Ldx = Doppia L lato costole

C = Sezione a C

Cdx = C destra

Cir. = Circolare

Cir.c = Circolare cava

I = Sezione a I

L = Sezione a L

Ldx = L destra

Om. = Omega

Pg = Pi greco

Pr = Poligono regolare

Prc = Poligono regolare cavo

Pc = Per coordinate

Ia = Inerzie assegnate

R = Rettangolare

Rc = Rettangolare cava

T = Sezione a T

U = Sezione a U

Ur = U rovescia

V = Sezione a V

Vr = V rovescia

Z = Sezione a Z

Zdx = Z destra

Ts = T stondata

Ls = L stondata

Cs = C stondata

Is = I stondata

Dis. = Disegnata

B = Base

Relazione di calcolo strutture di elevazione

COMMESSA	LOTTO	CODIFICA	DOCUMENTO	REV	FOGLIO
NN1X	00 D 78	CL	FA 01 00 002	B	89 di 108

H = Altezza
 Cf = Copriferro
 Cls = Tipo di calcestruzzo
 Fck = Resistenza caratteristica cilindrica a compressione del calcestruzzo
 Fctk = Resistenza caratteristica a trazione del calcestruzzo
 Fcd = Resistenza di calcolo a compressione del calcestruzzo
 Fctd = Resistenza di calcolo a trazione del calcestruzzo
 Tp = Tipo di acciaio
 Fyk = Tensione caratteristica di snervamento dell'acciaio
 Fyd = Resistenza di calcolo dell'acciaio

Caratteristiche delle sezioni e dei materiali utilizzati

Sez.	Tipo	B <cm>	H <cm>	Cf <cm>	Cls	Fck <daN/cm²>	Fctk <daN/cm²>	Fcd <daN/cm²>	Fctd <daN/cm²>	Tp	Fyk <daN/cm²>	Fyd <daN/cm²>
2R		30.00	70.00	4.50	C30/37	307.10	20.59	174.02	13.73	B450C	4500.00	3913.04
2R		30.00	70.00	6.30	C30/37	307.10	20.59	174.02	13.73	B450C	4500.00	3913.04

Stato limite ultimo - Verifiche a flessione/pressoflessione

Xg <m>	CC	TCC	El	Sez.	X <cm>	N <daN>	My <daNm>	My ver. <daNm>	Mz <daNm>	Mz ver. <daNm>	Nu <daN>	MRdy <daNm>	MRdz <daNm>	α <grad>	ε _r	Sic.
0.00	1	SLV	1	2	0.00	-16385.40	-21583.90		-5037.55		-16385.40	-27105.70	-6418.42	230.63	5.55	1.257
0.00	1	SLV	1	2	0.00	-16385.40	-21583.90		-5037.55		-16385.40	-27105.70	-6418.42	230.63	5.55	1.257
0.28	1	SLV	1	2	28.00	-16238.40	-19809.30		-4355.11		-16238.40	-27085.10	-6416.58	230.63	5.56	1.372
0.28	1	SLV	2	2	0.00	-16238.40	-19809.30		-4355.11		-16238.40	-27085.10	-6416.58	230.63	5.56	1.372
4.85	36(e)	SLU	2	2	457.00	-24813.50	-335.79	-663.76	10367.50	10367.50	-24813.50	-699.89	12833.00	90.44	8.06	1.237

Stato limite d'esercizio - Verifiche tensionali

Xg <m>	CC	TCC	El	Sez.	X <cm>	N <daN>	Mz <daNm>	My <daNm>	AfT <cmq>	AfC <cmq>	σ _c <daN/cm²>	σ _f <daN/cm²>
0.00	38	SLE R	1	2	0.00	-20277.40	-7210.37	426.62	12.57	12.57	108.02	2050.30
0.00	28	SLE Q	1	2	0.00	-16733.30	-3115.12	3.19	12.57	12.57	44.65	576.58
0.00	38	SLE R	1	2	0.00	-20277.40	-7210.37	426.62	12.57	12.57	108.02	2050.30
0.00	28	SLE Q	1	2	0.00	-16733.30	-3115.12	3.19	12.57	12.57	44.65	576.58
0.28	38	SLE R	1	2	28.00	-20130.40	-5978.37	388.89	12.57	12.57	89.58	1575.26
0.28	28	SLE Q	1	2	28.00	-16586.30	-2620.75	0.94	12.57	12.57	37.23	401.68
0.28	38	SLE R	2	2	0.00	-20130.40	-5978.37	388.89	12.57	12.57	89.58	1575.26
0.28	28	SLE Q	2	2	0.00	-16586.30	-2620.75	0.94	12.57	12.57	37.23	401.68
4.85	38	SLE R	2	2	457.00	-17731.10	7341.94	-226.94	12.57	12.57	108.56	2182.33
4.85	28	SLE Q	2	2	457.00	-14187.10	5448.20	-35.75	12.57	12.57	79.52	1566.77

Stato limite d'esercizio - Verifiche a fessurazione

Xg <m>	CC	TCC	El	Sez.	X <cm>	N <daN>	My <daNm>	Mz <daNm>	c <mm>	s <mm>	K3	s _{zm} <mm>	Φ	A _s <cmq>	A _{o eff} <cmq>	σ _s <daN/cm²>	σ _{s z} <daN/cm²>	ε _{sm}	wk <mm>
0.00	28	SLE Q	1	2	0.00	-16733.30	3.19	-3115.12	54.00	190.67	0.13	253.11	20.00	12.57	1344.30	576.58	1102.62	0.11	0.05
0.00	28	SLE Q	1	2	0.00	-16733.30	3.19	-3115.12	54.00	190.67	0.13	253.11	20.00	12.57	1344.30	576.58	1102.62	0.11	0.05
0.28	28	SLE Q	1	2	28.00	-16586.30	0.94	-2620.75	54.00	190.67	0.13	253.11	20.00	12.57	1344.30	401.68	977.14	0.08	0.03
0.28	28	SLE Q	2	2	0.00	-16586.30	0.94	-2620.75	54.00	190.67	0.13	253.11	20.00	12.57	1344.30	401.68	977.14	0.08	0.03
4.85	28	SLE Q	2	2	457.00	-14187.10	-35.75	5448.20	54.00	190.67	0.13	253.17	20.00	12.57	1345.02	1566.77	1437.54	0.44	0.19

Relazione di calcolo strutture di elevazione

COMMESSA	LOTTO	CODIFICA	DOCUMENTO	REV	FOGLIO
NN1X	00 D 78	CL	FA 01 00 002	B	90 di 108

Staffe - Verifiche armatura

X0 <m>	X1 <m>	Staff.	Br _y	Br _z	CC	TCC	bw _y <m>	Vsdu _y <daN>	ctgθ _y	VRsd _y <daN>	VRcd _y <daN>	bw _z <m>	Vsdu _z <daN>	ctgθ _z	VRsd _z <daN>	VRcd _z <daN>	Sic.T
0.00	0.81	ø8/10	2	2	29	SLU	0.70	3033.78	2.50	20888.60	47892.10	0.30	2121.38	2.47	55722.10	55722.10	6.89
0.00	0.81	ø8/10	2	2	36	SLU	0.70	6390.81	2.50	20888.60	48043.00	0.30	201.12	2.48	55824.10	55824.10	3.27
0.00	0.81	ø8/10	2	2	13 (TG)	SLV	0.70	3495.72	2.50	20888.60	46384.30	0.30	10950.90	2.43	54692.10	54692.10	4.99
0.00	0.81	ø8/10	2	2	10 (TG)	SLV	0.70	5335.11	2.50	20888.60	46502.70	0.30	4824.33	2.43	54773.70	54773.70	3.92
0.81	4.04	ø8/15	2	2	29	SLU	0.70	3033.78	2.50	13925.70	47824.80	0.30	1867.78	2.50	37528.60	55235.90	4.59
0.81	4.04	ø8/15	2	2	36	SLU	0.70	5875.69	2.50	13925.70	47975.70	0.30	201.12	2.50	37528.60	55410.10	2.37
0.81	4.04	ø8/15	2	2	13 (TG)	SLV	0.70	3495.72	2.50	13925.70	46384.30	0.30	10950.90	2.50	37528.60	53572.10	3.43
0.81	4.04	ø8/15	2	2	10 (TG)	SLV	0.70	5335.11	2.50	13925.70	46502.70	0.30	4824.33	2.50	37528.60	53708.90	2.61
4.04	4.85	ø8/10	2	2	29	SLU	0.70	3033.78	2.50	20888.60	47555.40	0.30	315.78	2.46	55493.80	55493.80	6.89
4.04	4.85	ø8/10	2	2	13 (TG)	SLV	0.70	3495.72	2.50	20888.60	46384.30	0.30	10950.90	2.43	54692.10	54692.10	4.99
4.04	4.85	ø8/10	2	2	10 (TG)	SLV	0.70	5335.11	2.50	20888.60	46502.70	0.30	4824.33	2.43	54773.70	54773.70	3.92

Caratteristiche nodi trave-pilastro

Nodo	Conf.	Staff.	F.	Mod.	Br.	As1 <cmq>	As2 <cmq>	Bj <m>	Hjc <m>	Hjw <m>	Ash <cmq>
102	N	ø12/ 7	Y+	E	4	9.42	12.19	0.45	0.17	0.41	31.67
			Z+	I	2	6.03	6.03	0.30	0.57	0.31	13.57
			Z-	I	2	6.03	6.03	0.30	0.57	0.31	13.57

Verifiche nodi trave-pilastro

Nodo	F.	CC	TCC	Vc <daN>	Vjbd <daN>	vd _s	vd _i	Vjbr <daN>	Afni <daN/mq>	Rfni <daN/mq>	Vjwd <daN>	VjwR <daN>
102	Y+	1	SLV	0.00	40567.50	0.00	3.79	54732.90	2010870.00	671628.00	50877.80	123915.00
		19	SLV	0.00	40567.50	0.00	3.51	54732.90	2010870.00	671628.00	50992.60	123915.00
	Z+	1	SLV	0.00	51926.40	0.00	3.79	155516.00	543876.00	571038.00	---	---
	Z-	1	SLV	0.00	51926.40	0.00	3.79	155516.00	543876.00	571038.00	---	---

8.5.2 Verifica limitazioni armatura

Resta da verificare che l'armatura determinata in funzione delle sollecitazioni agenti rispetti le limitazioni riportate nel punto 7.4.6.2.2 delle NTC2018:

- Per tutta la lunghezza del pilastro l'interasse tra le barre non deve essere superiore a 25 cm;
- Nella sezione corrente del pilastro, la percentuale geometrica ρ di armatura longitudinale, con ρ rapporto tra l'area dell'armatura longitudinale e l'area della sezione del pilastro, deve essere compresa entro i seguenti limiti:

$$1\% < \rho < 4\%$$

- Nelle zone critiche devono essere rispettate le condizioni seguenti: le barre disposte sugli angoli della sezione devono essere contenute dalle staffe; almeno una barra ogni due, di quelle disposte

Relazione di calcolo strutture di elevazione

COMMESSA	LOTTO	CODIFICA	DOCUMENTO	REV	FOGLIO
NN1X	00 D 78	CL	FA 01 00 002	B	91 di 108

sui lati, deve essere trattenuta da staffe interne o legature; le barre non fissate si devono trovare a meno di 20 cm da una barra fissata per CDB.

- Il diametro delle staffe di contenimento e legature deve essere non inferiore a 6 mm ed il loro passo deve essere non superiore alla più piccola delle quantità seguenti:
 - 1/2 del lato minore della sezione trasversale per CDB;
 - 175 mm (per CD" B");
 - 8 volte il diametro minimo delle barre longitudinali che collegano (per CD" B")
- li devono disporre staffe in un quantitativo minimo non inferiore a:

$$\frac{A_{st}}{s} = 0.08 \frac{f_{cd} \cdot b_{st}}{f_{yd}}$$

Nel caso specifico risulta:

- Le staffe orizzontali presenti lungo l'altezza del nodo devono verificare la seguente condizione

Nella quale n_{st} e A_{st} sono rispettivamente il numero di bracci e l'area della sezione trasversale della barra della singola staffa orizzontale, i è l'interasse, e b_j è la larghezza utile del nodo determinata come segue:

- se la trave ha una larghezza b_w superiore a quella del pilastro b_c , allora b_j è il valore minimo fra b_w e $b_c + h_c/2$, essendo h_c la dimensione della sezione della colonna parallela alla trave;
- se la trave ha una larghezza b_w inferiore a quella del pilastro b_c , allora b_j è il valore minimo fra b_c e $b_w + h_c/2$.

Devono inoltre essere rispettati i limiti riportati al punto 4.1.6.1.2 delle NTC2018:

- Nel caso di elementi sottoposti a prevalente sforzo normale, le barre parallele all'asse devono avere diametro maggiore od uguale a 12 mm. Inoltre la loro area non deve essere inferiore a :

$$A_{s,min} = (0.10 \cdot \frac{N_{Ed}}{f_{yd}})$$

e comunque non minore di 0.003 A_c ;

Relazione di calcolo strutture di elevazione

COMMESSA	LOTTO	CODIFICA	DOCUMENTO	REV	FOGLIO
NN1X	00 D 78	CL	FA 01 00 002	B	92 di 108

dove:

 N_{Ed} rappresenta lo sforzo di compressione assiale di calcolo;

 A_c è l'area di calcestruzzo;

 f_{yd} è il valore della resistenza di calcolo dell'armatura.

Nel caso in esame risulta:

Dati Geometrici

Pilastro:	Base	b=	30.0cm
	Altezza sez.	h=	90.0cm
	Copriferro	c=	5.0cm
	Altezza pil.	hp=	435.0cm
	Altezza libera	hl=	435.0cm

OK

Lim. Geom. 7.4.6.1.2	
b \geq	25cm

Dati di armatura

Tipo CLS	C30/37	(min C20/25)	D.M.(7.4.2.1)
Tipo Acciaio	B450C	(B450C)	D.M.(7.4.2.2)

$R_{ck} = 37 \text{ N/mm}^2$

fck=	30.71	fcd=	17.40	D.M.(4.1.2.1.1.1)	fctm=	2.94	D.M.(11.2.10.2)
fyk=	450	fyd=	391.30	D.M.(4.1.2.1.1.3)			

Diametro armatura long.	20	≥ 12	
Diametro staffe	8	≥ 6	OK $\geq (1/4) \text{ long}$

Armatura longitudinale

n°ferri "b"	n°ferri "h"
4	8
<i>tot sui due lati</i>	<i>tot sui due lati</i>

$n^{\circ}\text{ferri}_{\text{tot}} = 8$
 $As+A's = 25.12\text{cm}^2$

Limitazioni Armatura longitudinale 7.4.6.2.2

1.20%	Arm. min. 21.0cm ²	Arm. max. 84.00cm ²	limitazioni 1% \leq \leq 4%	OK
-------	-------------------------------	--------------------------------	---------------------------------	-----------

Limitazioni Armatura longitudinale 4.1.6.1.2

6.3	Arm. min. 6.3	Arm. max. 84	OK
-----	---------------	--------------	-----------

Inter. Ferri "b"	20.0cm	OK	≤ 25	OK	$\leq 12 * \Phi_{\text{long}} \cdot 24$
Inter. Ferri "h"	20.0cm	OK	≤ 25	OK	$\leq 12 * \Phi_{\text{long}} \cdot 24$

Si riscontra, pertanto, che l'armatura dei pilastri rispetta i limiti prescritti dalle NTC2018.

8.6 PILASTRI INTERNI (30X70)

Si riportano di seguito le verifiche strutturali dei pilastri interni aventi sezione rettangolare di dimensioni 30x90 cm. Le verifiche saranno condotte per i differenti stati limite ed in corrispondenza delle sezioni maggiormente sollecitate dell'elemento per effetto delle combinazioni di carico più gravose.

Preliminarmente alla verifica di resistenza dei pilastri allo SLU è necessario valutare la stabilità degli elementi snelli. Tali verifiche devono essere condotte attraverso un'analisi del secondo ordine che tenga conto degli effetti flessionali delle azioni assiali sulla configurazione deformata degli elementi stessi. In via approssimativa gli effetti del secondo ordine in pilastri singoli possono essere trascurati se la snellezza λ non supera il valore limite (4.1.2.1.7-NTC2018):

$$\lambda_{lim} = 15.4 \cdot \frac{C}{\sqrt{\nu}}$$

dove:

$\nu = N_{Ed} / (A_c \cdot f_{cd})$ è l'azione assiale adimensionale;

$C = 1,7 - r_m$ dipende dalla distribuzione dei momenti del primo ordine;

$r_m = M_{01} / M_{02}$ rapporto tra i momenti flettenti del primo ordine alle due estremità del pilastro (con $M_{02} \geq M_{01}$).

E' stata valutata la snellezza λ del pilastro:

SNELLEZZA LIMITE PILASTRI

$$\lambda_{lim} = 15.4 \cdot \frac{C}{\sqrt{\nu}}$$

NED =	629679	N		l limite	73.426
B=	300	mm		SNELLEZZA PILASTRO	
H=	700	mm		J min	1.58E+09 mm ⁴
fcd=	17.40	N/mm ²		r min	86.603 mm
n	0.1724			b	1
C	1.979			L0	5350 mm
Mtesta	6733000	Nxmm		l pilastro	61.776
Mpiede	24093000	Nxmm			
r _m	0.2795				

La verifica risulta soddisfatta.

8.6.1 Verifica a flessione

Nelle tabelle seguenti sono riportate le sollecitazioni ottenute agli SLU statico e simico ed agli SLE (rara, frequente e quasi permanente).

CC	TCC	X <m>	N <kN>	Ty <kN>	Mz <kNm>	Tz <kN>	My <kNm>	Mx <kNm>
25	SLU	0	-622.481	0	0	0.132	-0.386	0
25	SLU	0.28	-620.57	0	0	0.132	-0.349	0
29	SLU	0	-631.59	-0.011	0.027	-7.816	26.282	-0.116
29	SLU	0.28	-629.679	-0.011	0.024	-7.816	24.093	-0.116
30	SLU	0	-627.946	-0.006	0.016	-4.637	15.614	-0.069
30	SLU	0.28	-626.035	-0.006	0.015	-4.637	14.316	-0.069
36	SLU	0	-637.902	35.453	-54.814	0.182	-0.505	-0.322
36	SLU	0.28	-635.991	35.453	-44.887	0.182	-0.454	-0.322
37	SLU	0	-631.734	21.272	-32.888	0.162	-0.457	-0.193
37	SLU	0.28	-629.823	21.272	-26.932	0.162	-0.412	-0.193
25	SLU	0	-620.57	0	0	0.132	-0.349	0
25	SLU	4.67	-588.697	0	0	0.132	0.265	0
29	SLU	0	-629.679	-0.011	0.024	-7.816	24.093	-0.116
29	SLU	4.67	-597.806	-0.011	-0.025	-7.816	-12.407	-0.116
30	SLU	0	-626.035	-0.006	0.015	-4.637	14.316	-0.069
30	SLU	4.67	-594.162	-0.006	-0.015	-4.637	-7.339	-0.069
36	SLU	0	-635.991	35.453	-44.887	0.182	-0.454	-0.322
36	SLU	3.64	-611.174	0	19.57	0.182	0.208	-0.322
36	SLU	4.67	-604.118	-10.08	14.359	0.182	0.396	-0.322
37	SLU	0	-629.823	21.272	-26.932	0.162	-0.412	-0.193
37	SLU	3.64	-605.006	0	11.742	0.162	0.176	-0.193
37	SLU	4.67	-597.95	-6.048	8.616	0.162	0.343	-0.193

CC	TCC	X <m>	N <kN>	Ty <kN>	Mz <kNm>	Tz <kN>	My <kNm>	Mx <kNm>
26	SLE R	0	-446.786	0	0	0.098	-0.285	0
26	SLE R	0.28	-445.316	0	0	0.098	-0.257	0
31	SLE R	0	-452.858	-0.007	0.018	-5.201	17.494	-0.077
31	SLE R	0.28	-451.388	-0.007	0.016	-5.201	16.038	-0.077
32	SLE R	0	-450.429	-0.004	0.011	-3.081	10.383	-0.046
32	SLE R	0.28	-448.959	-0.004	0.01	-3.081	9.52	-0.046
38	SLE R	0	-457.066	23.635	-36.542	0.131	-0.364	-0.215
38	SLE R	0.28	-455.596	23.635	-29.925	0.131	-0.327	-0.215
39	SLE R	0	-452.954	14.181	-21.925	0.118	-0.332	-0.129
39	SLE R	0.28	-451.484	14.181	-17.955	0.118	-0.299	-0.129

Relazione di calcolo strutture di elevazione

COMMESSA	LOTTO	CODIFICA	DOCUMENTO	REV	FOGLIO
NN1X	00 D 78	CL	FA 01 00 002	B	95 di 108

26	SLE R	0	-445.316	0	0	0.098	-0.257	0
26	SLE R	4.67	-420.798	0	0	0.098	0.198	0
31	SLE R	0	-451.388	-0.007	0.016	-5.201	16.038	-0.077
31	SLE R	4.67	-426.871	-0.007	-0.017	-5.201	-8.25	-0.077
32	SLE R	0	-448.959	-0.004	0.01	-3.081	9.52	-0.046
32	SLE R	4.67	-424.442	-0.004	-0.01	-3.081	-4.87	-0.046
38	SLE R	0	-455.596	23.635	-29.925	0.131	-0.327	-0.215
38	SLE R	3.64	-436.506	0	13.046	0.131	0.15	-0.215
38	SLE R	4.67	-431.079	-6.72	9.573	0.131	0.286	-0.215
39	SLE R	0	-451.484	14.181	-17.955	0.118	-0.299	-0.129
39	SLE R	3.64	-432.394	0	7.828	0.118	0.129	-0.129
39	SLE R	4.67	-426.967	-4.032	5.744	0.118	0.251	-0.129

CC	TCC	X <m>	N <kN>	Ty <kN>	Mz <kNm>	Tz <kN>	My <kNm>	Mx <kNm>
27	SLE F	0	-385.239	0	0	0.098	-0.278	0
27	SLE F	0.28	-383.769	0	0	0.098	-0.25	0
33	SLE F	0	-386.453	-0.001	0.004	-0.962	3.278	-0.015
33	SLE F	0.28	-384.983	-0.001	0.003	-0.962	3.009	-0.015
34	SLE F	0	-385.239	0	0	0.098	-0.278	0
34	SLE F	0.28	-383.769	0	0	0.098	-0.25	0
40	SLE F	0	-387.295	4.727	-7.309	0.104	-0.293	-0.043
40	SLE F	0.28	-385.825	4.727	-5.985	0.104	-0.264	-0.043
41	SLE F	0	-385.239	0	0	0.098	-0.278	0
41	SLE F	0.28	-383.769	0	0	0.098	-0.25	0
27	SLE F	0	-383.769	0	0	0.098	-0.25	0
27	SLE F	4.67	-359.251	0	0	0.098	0.206	0
33	SLE F	0	-384.983	-0.001	0.003	-0.962	3.009	-0.015
33	SLE F	4.67	-360.466	-0.001	-0.003	-0.962	-1.483	-0.015
34	SLE F	0	-383.769	0	0	0.098	-0.25	0
34	SLE F	4.67	-359.251	0	0	0.098	0.206	0
40	SLE F	0	-385.825	4.727	-5.985	0.104	-0.264	-0.043
40	SLE F	3.64	-366.735	0	2.609	0.104	0.116	-0.043
40	SLE F	4.67	-361.308	-1.344	1.915	0.104	0.224	-0.043
41	SLE F	0	-383.769	0	0	0.098	-0.25	0
41	SLE F	4.67	-359.251	0	0	0.098	0.206	0

CC	TCC	X <m>	N <kN>	Ty <kN>	Mz <kNm>	Tz <kN>	My <kNm>	Mx <kNm>
28	SLE Q	0	-377.853	0	0	0.098	-0.277	0
28	SLE Q	0.28	-376.383	0	0	0.098	-0.249	0

Relazione di calcolo strutture di elevazione

COMMESSA	LOTTO	CODIFICA	DOCUMENTO	REV	FOGLIO
NN1X	00 D 78	CL	FA 01 00 002	B	96 di 108

35	SLE Q	0	-377.853	0	0	0.098	-0.277	0
35	SLE Q	0.28	-376.383	0	0	0.098	-0.249	0
42	SLE Q	0	-377.853	0	0	0.098	-0.277	0
42	SLE Q	0.28	-376.383	0	0	0.098	-0.249	0
28	SLE Q	0	-376.383	0	0	0.098	-0.249	0
28	SLE Q	4.67	-351.866	0	0	0.098	0.207	0
35	SLE Q	0	-376.383	0	0	0.098	-0.249	0
35	SLE Q	4.67	-351.866	0	0	0.098	0.207	0
42	SLE Q	0	-376.383	0	0	0.098	-0.249	0
42	SLE Q	4.67	-351.866	0	0	0.098	0.207	0

In funzione delle sollecitazioni si è dimensionata opportunamente l'armatura longitudinale del pilastro:

- Armatura lati corti 2 + 2 Φ 20
- Armatura lato lungo 4 + 4 Φ 20

Le verifiche di resistenza a flessione allo SLU ed agli SLE (NTC2018 – 4.1.2.1.2.4) per le sezioni di incastro e di campata sono state condotte con il supporto del MODEST considerando le sollecitazioni riportate nel prospetto precedente.

Essendo i pilastri orientati in maniera diversa sono state eseguite le verifiche coerentemente con l'orientamento degli assi locali definiti nel modello di calcolo.

Pilastrata n. 10

Nodi: 10 -10 110

Simbologia

Xg = Coordinata progressiva (dal primo nodo) in cui viene effettuato il progetto/verifica
 CC = Combinazione delle condizioni di carico elementari
 e = eccentricità aggiuntiva in caso di compressione o pressoflessione
 α = amplificazione per gerarchia delle resistenze
 TG = taglio da gerarchia delle resistenze
 TCC = Tipo di combinazione di carico
 SLU = Stato limite ultimo
 SLU S = Stato limite ultimo (azione sismica)
 SLE R = Stato limite d'esercizio, combinazione rara
 SLE F = Stato limite d'esercizio, combinazione frequente
 SLE Q = Stato limite d'esercizio, combinazione quasi permanente
 SLD = Stato limite di danno
 SLV = Stato limite di salvaguardia della vita
 SLC = Stato limite di prevenzione del collasso
 SLO = Stato limite di operatività
 SLU I = Stato limite di resistenza al fuoco
 SND = Stato limite di salvaguardia della vita (non dissipativo)
 El = Elemento (asta) in cui viene effettuato il progetto/verifica (progressivo sul numero di aste)
 Sez. = Numero della sezione

Relazione di calcolo strutture di elevazione

COMMESSA	LOTTO	CODIFICA	DOCUMENTO	REV	FOGLIO
NN1X	00 D 78	CL	FA 01 00 002	B	97 di 108

X = Coordinata progressiva rispetto al nodo iniziale
 N = Sforzo normale
 M = Momento flettente
 MRd = Momento resistente allo stato limite ultimo
 $\mu\Phi$ = Valore di progetto della duttilità di curvatura
 My = Momento flettente intorno all'asse Y
 My ver. = Momento flettente di verifica intorno all'asse Y
 Mz = Momento flettente intorno all'asse Z
 Mz ver. = Momento flettente di verifica intorno all'asse Z
 Nu = Sforzo normale ultimo
 MRdy,s = Momento resistente allo stato limite ultimo (ridotto per stabilità) intorno all'asse Y
 M'ydy,s = Momento resistente massimo in campo sostanzialmente elastico (ridotto per stabilità) intorno all'asse Y
 MRdy = Momento resistente allo stato limite ultimo intorno all'asse Y
 MRdz,s = Momento resistente allo stato limite ultimo (ridotto per stabilità) intorno all'asse Z
 M'ydz,s = Momento resistente massimo in campo sostanzialmente elastico (ridotto per stabilità) intorno all'asse Z
 MRdz = Momento resistente allo stato limite ultimo intorno all'asse Z
 α = Angolo asse neutro a rottura
 ϵ_y = Deformazione nell'acciaio (*1000)
 Sic. = Sicurezza a rottura
 l_0 = Lunghezza libera di inflessione
 λ = Snellezza massima
 λ^* = Snellezza limite
 AfT = Area di ferro tesa
 AfC = Area di ferro compressa
 σ_c = Tensione nel calcestruzzo
 σ_f = Tensione nel ferro
 X0 = Coordinata progressiva (dal nodo iniziale) dell'inizio del tratto
 X1 = Coordinata progressiva (dal nodo iniziale) della fine del tratto
 Staff. = Staffatura adottata
 Br_y = Numero bracci in dir. Y locale
 Br_z = Numero bracci in dir. Z locale
 bw_y = Larghezza membratura resistente al taglio in dir. Y
 Vsdu_y = Taglio agente in dir. Y
 ctg θ_{y} = Cotangente dell'angolo di inclinazione dei puntoni di calcestruzzo in dir. Y
 VRsd_y = Taglio ultimo lato armatura in dir. Y
 VRcd_y = Taglio ultimo lato calcestruzzo in dir. Y
 bw_z = Larghezza membratura resistente al taglio in dir. Z
 Vsdu_z = Taglio agente in dir. Z
 ctg θ_{z} = Cotangente dell'angolo di inclinazione dei puntoni di calcestruzzo in dir. Z
 VRsd_z = Taglio ultimo lato armatura in dir. Z
 VRcd_z = Taglio ultimo lato calcestruzzo in dir. Z
 Sic.T = Sicurezza a rottura per taglio
 Nodo = Numero del nodo
 Conf. = Nodo confinato
 S = Sì
 N = No
 F. = Identificativo faccia del nodo
 Y+ = Faccia sul lato positivo Y locale pilastro
 Z+ = Faccia sul lato positivo Z locale pilastro
 Y- = Faccia sul lato negativo Y locale pilastro
 Z- = Faccia sul lato negativo Z locale pilastro
 Mod. = Modalità di verifica faccia
 I = Interna
 E = Esterna
 Br. = Numero bracci
 As1 = Area di ferro superiore delle travi incidenti sulla faccia
 As2 = Area di ferro inferiore delle travi incidenti sulla faccia

Relazione di calcolo strutture di elevazione

COMMESSA	LOTTO	CODIFICA	DOCUMENTO	REV	FOGLIO
NN1X	00 D 78	CL	FA 01 00 002	B	98 di 108

Bj = Larghezza effettiva utile del nodo
 Hjc = Distanza tra armature pilastro
 Hjw = Distanza tra armature trave
 Ash = Area totale della sezione della staffa
 Tipo = Tipologia
 2C = Doppia C lato labbri
 2Cdx = Doppia C lato costola
 2I = Doppia I
 2L = Doppia L lato labbri
 2Ldx = Doppia L lato costole
 C = Sezione a C
 Cdx = C destra
 Cir. = Circolare
 Cir.c = Circolare cava
 I = Sezione a I
 L = Sezione a L
 Ldx = L destra
 Om. = Omega
 Pg = Pi greco
 Pr = Poligono regolare
 Prc = Poligono regolare cavo
 Pc = Per coordinate
 Ia = Inerzie assegnate
 R = Rettangolare
 Rc = Rettangolare cava
 T = Sezione a T
 U = Sezione a U
 Ur = U rovescia
 V = Sezione a V
 Vr = V rovescia
 Z = Sezione a Z
 Zdx = Z destra
 Ts = T stondata
 Ls = L stondata
 Cs = C stondata
 Is = I stondata
 Dis. = Disegnata

B = Base
 H = Altezza
 Cf = Copriferro
 Cls = Tipo di calcestruzzo
 Fck = Resistenza caratteristica cilindrica a compressione del calcestruzzo
 Fctk = Resistenza caratteristica a trazione del calcestruzzo
 Fcd = Resistenza di calcolo a compressione del calcestruzzo
 Fctd = Resistenza di calcolo a trazione del calcestruzzo
 Tp = Tipo di acciaio
 Fyk = Tensione caratteristica di snervamento dell'acciaio
 Fyd = Resistenza di calcolo dell'acciaio

Caratteristiche delle sezioni e dei materiali utilizzati

Sez.	Tipo	B <cm>	H <cm>	Cf <cm>	Cls	Fck <daN/cm ² >	Fctk <daN/cm ² >	Fcd <daN/cm ² >	Fctd <daN/cm ² >	Tp	Fyk <daN/cm ² >	Fyd <daN/cm ² >
7	R	30.00	70.00	4.50	C30/37	307.10	20.59	174.02	13.73	B450C	4500.00	3913.04
7	R	30.00	70.00	6.30	C30/37	307.10	20.59	174.02	13.73	B450C	4500.00	3913.04

Dati per verifiche di stabilità

Relazione di calcolo strutture di elevazione

COMMESSA	LOTTO	CODIFICA	DOCUMENTO	REV	FOGLIO
NN1X	00 D 78	CL	FA 01 00 002	B	99 di 108

Xg <m>	El	l ₀ <m>	λ	λ*
0.00	1	5.35	61.78	60.63
4.85	2	5.35	61.78	60.63

Xg <m>	El	l ₀ <m>	λ	λ*
0.00	1	5.35	61.78	60.63

Xg <m>	El	l ₀ <m>	λ	λ*
0.28	1	5.35	61.78	59.88

Xg <m>	El	l ₀ <m>	λ	λ*
0.28	2	5.35	61.78	59.88

Stato limite ultimo - Verifiche a flessione/pressoflessione - Controlli di stabilità

Xg <m>	CC	TCC	El	Sez.	X <cm>	N <daN>	My <daNm>	My ver. <daNm>	Mz <daNm>	Mz ver. <daNm>	Nu <daN>	MRdy,s <daNm>	MRdz,s <daNm>	α <grad>	ε _y	Sic.
0.00	13	SLV	1	7	0.00	-37766.40	-20307.00		1928.91		-37766.40	-32768.20	3024.05	151.88	6.04	1.613
0.00	13	SLV	1	7	0.00	-37766.40	-20307.00		1928.91		-37766.40	-32768.20	3024.05	151.88	6.04	1.613
0.28	13	SLV	1	7	28.00	-37657.20	-18623.30		1720.78		-37657.20	-32772.60	3024.45	151.88	6.05	1.760
0.28	13	SLV	2	7	0.00	-37657.20	-18623.30		1720.78		-37657.20	-32772.60	3024.45	151.88	6.05	1.760
4.85	7	SLV	2	7	457.00	-35244.70	2670.76		5553.73		-35244.70	4386.77	11823.90	85.78	5.96	2.046

Stato limite d'esercizio - Verifiche tensionali

Xg <m>	CC	TCC	El	Sez.	X <cm>	N <daN>	Mz <daNm>	My <daNm>	AfT <cmq>	AfC <cmq>	σ _c <daN/cmq>	σ _f <daN/cmq>
0.00	38	SLE R	1	7	0.00	-45706.60	-3654.25	-36.35	12.57	12.57	51.16	545.78
0.00	28	SLE Q	1	7	0.00	-37785.30	0.00	-27.68	0.00	25.13	15.35	229.97
0.00	38	SLE R	1	7	0.00	-45706.60	-3654.25	-36.35	12.57	12.57	51.16	545.78
0.00	28	SLE Q	1	7	0.00	-37785.30	0.00	-27.68	0.00	25.13	15.35	229.97
0.28	38	SLE R	1	7	28.00	-45559.60	-2992.46	-32.68	0.00	25.13	43.55	489.66
0.28	28	SLE Q	1	7	28.00	-37638.30	0.00	-24.95	0.00	25.13	15.28	228.97
0.28	38	SLE R	2	7	0.00	-45559.60	-2992.46	-32.68	0.00	25.13	43.55	489.66
0.28	28	SLE Q	2	7	0.00	-37638.30	0.00	-24.95	0.00	25.13	15.28	228.97
4.85	38	SLE R	2	7	457.00	-43160.40	1021.24	27.26	0.00	25.13	25.78	333.57
4.85	28	SLE Q	2	7	457.00	-35239.10	-0.00	19.75	0.00	25.13	14.29	214.22

Staffe - Verifiche armatura

X0 <m>	X1 <m>	Staff.	Br _y	Br _z	CC	TCC	b _{w,y} <m>	Vsdu _y <daN>	ctgθ _y	VRsd _y <daN>	VRcd _y <daN>	b _{w,z} <m>	Vsdu _z <daN>	ctgθ _z	VRsd _z <daN>	VRcd _z <daN>	Sic. T
0.00	0.81	ø8/10	2	2	29	SLU	0.70	1.07	2.50	20888.60	52319.70	0.30	781.60	2.50	56293.00	60427.40	72.02
0.00	0.81	ø8/10	2	2	36	SLU	0.70	3545.28	2.50	20888.60	52396.80	0.30	18.19	2.50	56293.00	60516.40	5.89
0.00	0.81	ø8/10	2	2	1 (TG)	SLV	0.70	1991.37	2.50	20888.60	48913.90	0.30	14861.70	2.50	56293.00	56493.80	3.79
0.00	0.81	ø8/10	2	2	7 (TG)	SLV	0.70	6147.97	2.50	20888.60	48912.30	0.30	4311.07	2.50	56293.00	56491.90	3.40
0.81	4.04	ø8/18	2	2	29	SLU	0.70	1.07	2.50	11604.80	52252.40	0.30	781.60	2.50	31273.90	60349.60	40.01
0.81	4.04	ø8/18	2	2	36	SLU	0.70	3030.16	2.50	11604.80	52329.40	0.30	18.19	2.50	31273.90	60438.60	3.83
0.81	4.04	ø8/18	2	2	1 (TG)	SLV	0.70	1991.37	2.50	11604.80	48913.90	0.30	14861.70	2.50	31273.90	56493.80	2.10
0.81	4.04	ø8/18	2	2	7 (TG)	SLV	0.70	6147.97	2.50	11604.80	48912.30	0.30	4311.07	2.50	31273.90	56491.90	1.89
4.04	4.85	ø8/10	2	2	29	SLU	0.70	1.07	2.50	20888.60	51983.00	0.30	781.60	2.50	56293.00	60038.50	72.02
4.04	4.85	ø8/10	2	2	36	SLU	0.70	910.47	2.50	20888.60	52060.10	0.30	18.19	2.50	56293.00	60127.50	22.94
4.04	4.85	ø8/10	2	2	1 (TG)	SLV	0.70	1991.37	2.50	20888.60	48913.90	0.30	14861.70	2.50	56293.00	56493.80	3.79
4.04	4.85	ø8/10	2	2	7 (TG)	SLV	0.70	6147.97	2.50	20888.60	48912.30	0.30	4311.07	2.50	56293.00	56491.90	3.40

 <p>ITALFERR GRUPPO FERROVIE DELLO STATO ITALIANE</p>	<p>LINEA SALERNO - PONTECAGNANO AEROPORTO COMPLETAMENTO METROPOLITANA DI SALERNO TRATTA ARECHI - PONTECAGNANO AEROPORTO PROGETTO DEFINITIVO Fabbricati – SSE Km 5+750 – FA01 – Fabbricato SSE</p>												
<p>Relazione di calcolo strutture di elevazione</p>	<table border="1"> <tr> <td>COMMESSA</td> <td>LOTTO</td> <td>CODIFICA</td> <td>DOCUMENTO</td> <td>REV</td> <td>FOGLIO</td> </tr> <tr> <td>NN1X</td> <td>00 D 78</td> <td>CL</td> <td>FA 01 00 002</td> <td>B</td> <td>100 di 108</td> </tr> </table>	COMMESSA	LOTTO	CODIFICA	DOCUMENTO	REV	FOGLIO	NN1X	00 D 78	CL	FA 01 00 002	B	100 di 108
COMMESSA	LOTTO	CODIFICA	DOCUMENTO	REV	FOGLIO								
NN1X	00 D 78	CL	FA 01 00 002	B	100 di 108								

8.6.2 Verifica limitazioni armatura

Resta da verificare che l'armatura determinata in funzione delle sollecitazioni agenti rispetti le limitazioni riportate nel punto 7.4.6.2.2 delle NTC2018:

- Per tutta la lunghezza del pilastro l'interasse tra le barre non deve essere superiore a 25 cm;
- Nella sezione corrente del pilastro, la percentuale geometrica ρ di armatura longitudinale, con ρ rapporto tra l'area dell'armatura longitudinale e l'area della sezione del pilastro, deve essere compresa entro i seguenti limiti:

$$1\% < \rho < 4\%$$

- Nelle zone critiche devono essere rispettate le condizioni seguenti: le barre disposte sugli angoli della sezione devono essere contenute dalle staffe; almeno una barra ogni due, di quelle disposte sui lati, deve essere trattenuta da staffe interne o legature; le barre non fissate si devono trovare a meno di 20 cm da una barra fissata per CDB.
- Il diametro delle staffe di contenimento e legature deve essere non inferiore a 6 mm ed il loro passo deve essere non superiore alla più piccola delle quantità seguenti:
 - 1/2 del lato minore della sezione trasversale per CDB;
 - 175 mm (per CD"B");
 - 8 volte il diametro minimo delle barre longitudinali che collegano (per CD"B")
- li devono disporre staffe in un quantitativo minimo non inferiore a:

$$\frac{A_{st}}{s} = 0.08 \frac{f_{cd} \cdot b_{st}}{f_{yd}}$$

Nel caso specifico risulta:

- Le staffe orizzontali presenti lungo l'altezza del nodo devono verificare la seguente condizione

Nella quale n_{st} e A_{st} sono rispettivamente il numero di bracci e l'area della sezione trasversale della barra della singola staffa orizzontale, i è l'interasse, e b_j è la larghezza utile del nodo determinata come segue:

- se la trave ha una larghezza b_w superiore a quella del pilastro b_c , allora b_j è il valore minimo fra b_w e $b_c + h_c/2$, essendo h_c la dimensione della sezione della colonna parallela alla trave;

Relazione di calcolo strutture di elevazione

COMMESSA	LOTTO	CODIFICA	DOCUMENTO	REV	FOGLIO
NN1X	00 D 78	CL	FA 01 00 002	B	101 di 108

- se la trave ha una larghezza b_w inferiore a quella del pilastro b_c , allora b_j è il valore minimo fra b_c e $b_w + h_c/2$.

Devono inoltre essere rispettati i limiti riportati al punto 4.1.6.1.2 delle NTC2018:

- Nel caso di elementi sottoposti a prevalente sforzo normale, le barre parallele all'asse devono avere diametro maggiore od uguale a 12 mm. Inoltre la loro area non deve essere inferiore a :

$$A_{s,\min} = (0.10 \cdot \frac{N_{Ed}}{f_{yd}})$$

e comunque non minore di 0.003 A_c ;

dove:

N_{Ed} rappresenta lo sforzo di compressione assiale di calcolo;

A_c è l'area di calcestruzzo;

f_{yd} è il valore della resistenza di calcolo dell'armatura.

Nel caso in esame risulta:

Dati Geometrici

Pilastro:	Base	b=	30.0cm
	Altezza sez.	h=	90.0cm
	Copriferro	c=	5.0cm
	Altezza pil.	hp=	435.0cm
	Altezza libera	hl=	435.0cm

OK

Lim. Geom. 7.4.6.1.2	
$b \geq$	25cm

Relazione di calcolo strutture di elevazione

COMMESSA	LOTTO	CODIFICA	DOCUMENTO	REV	FOGLIO
NN1X	00 D 78	CL	FA 01 00 002	B	102 di 108

Dati di armatura

Tipo CLS	C30/37	(min C20/25)	D.M.(7.4.2.1)
Tipo Acciaio	B450C	(B450C)	D.M.(7.4.2.2)

$$R_{ck} = 37 \text{ N/mm}^2$$

fck=	30.71	fcd=	17.40	D.M.(4.1.2.1.1.1)	fctm=	2.94	D.M.(11.2.10.2)
fyk=	450	fyd=	391.30	D.M.(4.1.2.1.1.3)			

Diametro armatura long.	20	≥ 12	
Diametro staffe	8	≥ 6	OK ≥(1/4) long

Armatura longitudinale

n°ferri "b"	n°ferri "h"
4	8
<i>tot sui due lati</i>	<i>tot sui due lati</i>

$$n^{\circ}\text{ferri}_{\text{tot}} = 8$$

$$As+A's = 25.12\text{cm}^2$$

Limitazioni Armatura longitudinale 7.4.6.2.2

	Arm. min.	Arm. max.	limitazioni	
1.20%	21.0cm ²	84.00cm ²	1% ≤ 4%	OK

Limitazioni Armatura longitudinale 4.1.6.1.2

	Arm. min.	Arm. max.	
	6.3	84	OK

Inter. Ferri "b"	20.0cm	OK	≤ 25	OK	≤ 12*Φ _{long} 24
Inter. Ferri "h"	20.0cm	OK	≤ 25	OK	≤ 12*Φ _{long} 24

Si riscontra, pertanto, che l'armatura dei pilastri rispetta i limiti prescritti dalle NTC2018.

8.7 VERIFICA DEGLI ELEMENTI STRUTTURALI IN TERMINI DI CONTENIMENTO DEL DANNO AGLI ELEMENTI NON STRUTTURALI (SLO)

Per le costruzioni ricadenti in classe d'uso I e II si deve verificare che l'azione sismica di progetto non produca agli elementi costruttivi senza funzione strutturale danni tali da rendere la costruzione temporaneamente inagibile.

Nel caso delle costruzioni civili e industriali, qualora la temporanea inagibilità sia dovuta a spostamenti eccessivi d'interpiano, questa condizione si può ritenere soddisfatta quando gli spostamenti d'interpiano ottenuti dall'analisi in presenza di dell'azione sismica di progetto relativa allo SLD siano inferiori a:

$$d_r \leq 0,01h$$

per tamponamenti progettati in modo da non subire danni a seguito di spostamenti d'interpiano, per effetto della loro deformabilità intrinseca ovvero dei collegamenti alla struttura.

Considerando h altezza d'interpiano che vale 4,00 m si ottiene che deve essere:

$$d_r < 0,04 \text{ m.}$$

Per le costruzioni ricadenti in classe d'uso III e IV si deve verificare che l'azione sismica di progetto non produca danni agli elementi costruttivi senza funzione strutturale tali da rendere temporaneamente non operativa la costruzione.

Nel caso delle costruzioni civili e industriali questa condizione si può ritenere soddisfatta quando gli spostamenti interpiano ottenuti dall'analisi in presenza dell'azione sismica di progetto relativa allo SLO siano inferiori ai 2/3 dei limiti in precedenza indicati.

$$U1 = d_r = 0,0041 \text{ m} < 2 \cdot 0,01 \cdot h / 3 = 0,04 \cdot 2 / 3 = 0,0266 \text{ m.}$$

Si riporta di seguito la tabella degli spostamenti calcolati in testa ai pilastri nella combinazione più gravosa SLO.

N1	N2	h <m>	δ <cm>	δ/h	CC
1	-1	0.28	0.00	0.17	9
3	-3	0.28	0.01	0.23	12
5	-5	0.28	0.00	0.17	24
9	-9	0.28	0.01	0.18	9
11	-11	0.28	0.01	0.18	21
13	-13	0.28	0.00	0.16	21
15	-15	0.28	0.01	0.23	21
17	-17	0.28	0.00	0.17	9

N1	N2	h <m>	δ <cm>	δ/h	CC
-1	101	5.07	0.58	1.15	24
-3	103	5.07	0.54	1.06	24
-5	105	5.07	0.60	1.18	9
-9	109	5.07	0.55	1.09	21
-11	111	5.07	0.56	1.10	9
-13	113	5.07	0.59	1.16	9
-15	115	5.07	0.54	1.06	9
-17	117	5.07	0.60	1.18	24

N1	N2	h <m>	δ <cm>	δ/h	CC
2	-2	0.28	0.01	0.23	12
4	-4	0.28	0.01	0.24	21
8	-8	0.28	0.00	0.17	9
10	-10	0.28	0.00	0.17	21
12	-12	0.28	0.00	0.18	9
14	-14	0.28	0.01	0.23	21
16	-16	0.28	0.01	0.24	12

N1	N2	h <m>	δ <cm>	δ/h	CC
-2	102	5.07	0.56	1.11	24
-4	104	5.07	0.57	1.12	9
-8	108	5.07	0.58	1.14	21
-10	110	5.07	0.53	1.04	21
-12	112	5.07	0.59	1.16	9
-14	114	5.07	0.56	1.11	9
-16	116	5.07	0.57	1.12	24

Come si vede in tabella lo spostamento massimo 0.0060 m è inferiore di quello ammissibile.

9 REAZIONI VINCOLARI

Di seguito si riportano le reazioni vincolari alla base dei pilastri scaturite dalle analisi della struttura.

REAZIONI VINCOLARI APPLICATE IN CORRISPONDENZA DEI NODI DELLA SOVRASTRUTTURA CC1 - SLV (q = 2.5)

Nodo	CC	TCC	Fx <kN>	Fy <kN>	Fz <kN>	Mx <kNm>	My <kNm>	Mz <kNm>
1	1	SLV	17,727	48,434	136,985	4,292	48,160	-0,697
1	1	SLV	-17,038	9,142	80,461	-129,769	-49,528	-0,742
8	1	SLV	19,053	37,401	205,993	48,610	51,732	-0,697
8	1	SLV	-15,648	-16,428	170,305	-110,645	-45,763	-0,742
9	1	SLV	59,370	8,828	357,523	14,955	201,537	-0,697
9	1	SLV	-58,856	-5,756	356,566	-22,950	-200,861	-0,742
2	1	SLV	55,093	24,373	172,346	-18,605	187,412	-0,697
2	1	SLV	-63,378	13,266	163,854	-50,376	-215,839	-0,742
3	1	SLV	55,764	25,004	177,928	-18,111	188,576	-0,697
3	1	SLV	-64,568	13,704	170,231	-50,289	-217,901	-0,742
10	1	SLV	59,935	7,433	378,042	18,955	202,516	-0,697
10	1	SLV	-60,131	-7,305	377,664	-19,289	-203,070	-0,742
4	1	SLV	54,356	23,321	183,541	-13,964	186,135	-0,697
4	1	SLV	-61,248	12,072	167,244	-46,120	-212,148	-0,742
11	1	SLV	58,215	5,970	381,522	22,839	199,535	-0,697
11	1	SLV	-57,120	-8,788	372,787	-15,507	-197,851	-0,742
5	1	SLV	12,988	35,452	136,761	54,876	39,798	-0,697
5	1	SLV	-19,911	-4,667	87,280	-82,051	-54,596	-0,742
12	1	SLV	14,050	16,801	220,459	112,944	42,905	-0,697
12	1	SLV	-18,763	-38,169	192,170	-49,724	-51,260	-0,742
17	1	SLV	15,373	-10,995	143,084	135,380	46,550	-0,697
17	1	SLV	-17,526	-51,113	93,603	-1,546	-47,844	-0,742
16	1	SLV	62,603	-14,207	184,397	52,247	214,281	-0,697
16	1	SLV	-53,001	-25,456	168,100	20,091	-184,001	-0,742
15	1	SLV	64,345	-13,605	177,889	50,008	217,300	-0,697
15	1	SLV	-55,987	-24,905	170,193	17,830	-189,177	-0,742
14	1	SLV	63,538	-10,940	170,813	43,697	215,902	-0,697
14	1	SLV	-54,932	-22,047	162,321	11,927	-187,347	-0,742
13	1	SLV	20,231	6,236	131,339	77,432	55,121	-0,697
13	1	SLV	-14,535	-33,057	74,815	-56,628	-42,567	-0,742

REAZIONI VINCOLARI APPLICATE IN CORRISPONDENZA DEI NODI DELLA SOVRASTRUTTURA CC37 - SLU

Relazione di calcolo strutture di elevazione

COMMESSA	LOTTO	CODIFICA	DOCUMENTO	REV	FOGLIO
NN1X	00 D 78	CL	FA 01 00 002	B	105 di 108

Nodo	CC	TCC	Fx <kN>	Fy <kN>	Fz <kN>	Mx <kNm>	My <kNm>	Mz <kNm>
1	37	SLU	3.758	71.030	201.326	-159.082	6.842	0.155
8	37	SLU	3.693	33.941	327.811	-95.718	6.474	0.155
9	37	SLU	0.383	19.555	608.803	-28.477	0.281	0.155
2	37	SLU	1.162	53.631	297.221	-88.598	3.894	0.155
3	37	SLU	0.861	57.240	309.310	-95.211	3.380	0.155
10	37	SLU	-0.210	19.875	644.312	-29.287	-0.731	0.155
4	37	SLU	2.629	56.257	312.905	-93.721	6.401	0.155
11	37	SLU	1.346	20.124	643.800	-29.973	1.927	0.155
5	37	SLU	-4.764	83.686	204.640	-183.746	-8.193	0.155
12	37	SLU	-5.140	47.929	329.289	-122.657	-9.110	0.155
17	37	SLU	-5.227	-1.666	186.606	-37.928	-9.517	0.155
16	37	SLU	0.507	-16.664	311.844	34.934	-1.788	0.155
15	37	SLU	-1.330	-17.855	308.645	37.281	-4.927	0.155
14	37	SLU	-0.965	-14.923	296.481	32.353	-4.304	0.155
13	37	SLU	3.300	-15.179	184.853	-11.800	5.527	0.155

10 VERIFICHE AL FUOCO

Le verifiche di resistenza al fuoco sono state condotte secondo le prescrizioni dettate dal DM 16-02-2007 "Classificazione di resistenza al fuoco di prodotti ed elementi costruttivi di opere da costruzione" (GU n. 74 del 29-3-2007- Suppl. Ordinario n. 87);

Nello specifico si è proceduto per la classificazione della resistenza al fuoco delle varie parti della struttura tramite il metodo tabellare semplificato, tale metodo consente di omettere la verifica analitica di resistenza al fuoco della sezione adottando un opportuno copriferro baricentrico delle barre longitudinali in base alla funzione degli elementi portanti, della loro esposizione al calore e della Classe di capacità di prestazione R che si vuole garantire.

Tutte le zone: **R 120**

Si effettuerà la definizione del copriferro minimo da adottare in base alla classe di resistenza al fuoco **R** minima che dobbiamo garantire.

10.1 RESISTENZA AL FUOCO: TRAVI

Riportiamo di seguito il prospetto D.6.1 relativo alle Travi in calcestruzzo armato ordinario e precompresso:

Classe	Combinazioni possibili di b e a				b _w
30	b = 80 / a = 25	120 / 20	160 / 15	200 / 15	80
60	b = 120 / a = 40	160 / 35	200 / 30	300 / 25	100
90	b = 150 / a = 55	200 / 45	300 / 40	400 / 35	100
120	b = 200 / a = 65	240 / 60	300 / 55	500 / 50	120
180	b = 240 / a = 80	300 / 70	400 / 65	600 / 60	140
240	b = 280 / a = 90	350 / 80	500 / 75	700 / 70	160

I valori di a devono essere non inferiori ai minimi di regolamento per le opere di c.a. e c.a.p. In caso di armatura pre-tesa aumentare i valori di a di 15 mm. In presenza di intonaco i valori di b e a ne possono tenere conto nella maniera indicata nella tabella D.5.1. Per ricoprimenti di calcestruzzo superiori a 50 mm prevedere una armatura diffusa aggiuntiva che assicuri la stabilità del ricoprimento.

Classe di resistenza al fuoco R 120

Dal prospetto sopra si evince che per garantire la Classe R 120 è richiesta una larghezza minima delle travi pari a 300 mm con copriferro baricentrico pari a 55mm.

Relazione di calcolo strutture di elevazione

COMMESSA	LOTTO	CODIFICA	DOCUMENTO	REV	FOGLIO
NN1X	00 D 78	CL	FA 01 00 002	B	107 di 108

10.2 RESISTENZA AL FUOCO: PILASTRI

Riportiamo di seguito il prospetto D.6.2 relativo ai Pilastri in calcestruzzo armato ordinario e precompresso:

Classe	Esposto su più lati		Esposto su un lato
30	B = 200 / a = 30	300 / 25-	160 / 25
60	B = 250 / a = 45	350 / 40	160 / 25
90	B = 350 / a = 50	450 / 40	160 / 25
120	B = 350 / a = 60	450 / 50	180 / 35
180	B = 450 / a = 70	-	230 / 55
240	-	-	300 / 70

I valori di a devono essere non inferiori ai minimi di regolamento per le opere di c.a. e c.a.p. In caso di armatura pre-tesa aumentare i valori di a di 15 mm. In presenza di intonaco i valori di a ne possono tenere conto nella maniera indicata nella tabella D.5.1. Per ricoprimenti di calcestruzzo superiori a 50 mm prevedere una armatura diffusa aggiuntiva che assicuri la stabilità del ricoprimento.

Si ricade nel caso di pilastri esposti su un lato.

Classe di resistenza al fuoco R 120

Dal prospetto sopra si evince che per garantire la Classe R 120 avendo pilastri esposti su un lato, è richiesta una larghezza minima dei pilastri pari a 180 mm e un copriferro baricentrico pari a 35 mm.

10.3 RESISTENZA AL FUOCO: SOLAI

Riportiamo di seguito il prospetto D.5.1 relativo alle solette e solai in calcestruzzo armato:

Classe	30	60	90	120	180	240
Solette piene con armatura monodirezionale	H = 80 / a = 10	120 / 20	120 / 30	160 / 40	200 / 55	240 / 65
Solai misti di lamiera di acciaio con riempimento di calcestruzzo (1)	H = 80 / a = 10	120 / 20	120 / 30	160 / 40	200 / 55	240 / 65
Solai a travetti con alleggerimento (2)	H = 160 / a = 15	200 / 30	240 / 35	240 / 45	300 / 60	300 / 75
Solai a lastra con alleggerimento (3)	H = 160 / a = 15	200 / 30	240 / 35	240 / 45	300 / 60	300 / 75

I valori di a devono essere non inferiori ai minimi di regolamento per le opere di c.a. e c.a.p. In caso di armatura pre-tesa aumentare i valori di a di 15 mm. In presenza di intonaco i valori di H e a ne devono tenere conto nella seguente maniera: 10 mm di intonaco normale (definizione in D.4.1) equivale ad 10 mm di calcestruzzo; 10 mm di intonaco protettivo antincendio (definizione in D.4.1) equivale a 20 mm di calcestruzzo. Per ricoprimenti di calcestruzzo superiori a 50 mm prevedere una armatura diffusa aggiuntiva che assicuri la stabilità del ricoprimento.

(1) In caso di lamiera grecata H rappresenta lo spessore medio della soletta. Il valore di a non comprende lo spessore della lamiera. La lamiera ha unicamente funzione di cassero. In caso contrario la lamiera va protetta secondo quanto indicato in D.7.1

(2) Deve essere sempre presente uno strato di intonaco normale di spessore non inferiore a 20 mm ovvero uno strato di intonaco isolante di spessore non inferiore a 10 mm.

(3) In caso di alleggerimento in polistirene o materiali affini prevedere opportuni sfoghi delle sovrappressioni.

Relazione di calcolo strutture di elevazione

COMMESSA	LOTTO	CODIFICA	DOCUMENTO	REV	FOGLIO
NN1X	00 D 78	CL	FA 01 00 002	B	108 di 108

Classe di resistenza al fuoco R 120

Dal prospetto sopra si evince che per garantire la Classe R 120 per solai a travetti con alleggerimento, si deve avere uno spessore minimo pari a 240 mm ed un copri ferro baricentrico delle barre pari a 45 mm.

Si adotta solaio a predalle 4+16+4.

Copri ferro baricentrico delle barre dei travetti ($\varnothing 16$) = 40mm (predalle) + 8mm = 45mm.

11 CONCLUSIONI

Con la presente relazione si è proceduto al progetto e alla verifica delle strutture in elevazione allo stato limite ultimo e allo stato limite di esercizio del “Fabbricato SSE Km 5+750”.

Si riportano di seguito le incidenze di armatura dei principali elementi strutturali:

Fondazione Fabbricato	90 kg/m ³
Pilastrini Fabbricato	190 kg/m ³
Travi Fabbricato	160 kg/m ³

**SSE KM 5+750 - FABBRICATO SSE - ALLEGATO TABULATI DI CALCOLO
STRUTTURE IN ELEVAZIONE**

Introduzione.....	2
Sistemi di riferimento	2
Rotazioni e momenti	2
Normativa di riferimento	2
Unità di misura	3
Geometria.....	3
Elenco vincoli nodi	3
Elenco nodi	3
Elenco materiali	3
Elenco sezioni aste	4
Elenco vincoli aste	4
Elenco aste	5
Elenco tipi solai	5
Elenco solai	6
Carichi.....	6
Condizioni di carico elementari	6
Elenco carichi aste Condizione di carico n. 1: Peso proprio Elenco peso proprio aste	6
Elenco carichi aste Condizione di carico n. 2: Peso proprio solai Carichi distribuiti	6
Elenco carichi aste Condizione di carico n. 3: Permanente portato solai Carichi distribuiti	7
Elenco carichi aste Condizione di carico n. 4: Accidentale solai Carichi distribuiti.....	7
Elenco carichi aste Condizione di carico n. 5: Accidentale neve Carichi distribuiti	7
Elenco carichi aste Condizione di carico n. 6: Variazione termica Carichi distribuiti	7
Elenco carichi aste Condizione di carico n. 7: Tamponature Carichi distribuiti	8
Elenco carichi aste Condizione di carico n. 8: Vento X Carichi distribuiti	8
Elenco carichi aste Condizione di carico n. 9: Vento Y Carichi distribuiti	8
Risultati del calcolo.....	8
Parametri di calcolo	8
Figura numero 1: Spettro SLO	10
Figura numero 2: Spettro SLD	11
Figura numero 3: Spettro SLV	11
Figura numero 4: Spettro SND	12
Spostamenti relativi massimi allo stato limite di operatività	16
Reazioni vincolari	16
Sollecitazioni aste	17
Criteri di progetto utilizzati.....	30
Pilastrati in c.a.	30
Travi in c.a.	34
Verifiche e armature travi.....	39
Travata n. 101	40
Travata n. 102	40
Travata n. 103	41
Travata n. 104	42
Travata n. 105	42
Travata n. 106	43
Verifiche e armature pilastrati.....	44
Pilastrata n. 1	45
Pilastrata n. 2	46
Pilastrata n. 3	47
Pilastrata n. 4	48
Pilastrata n. 13	49
Pilastrata n. 14	50
Pilastrata n. 15	50
Pilastrata n. 16	51

Introduzione

Sistemi di riferimento

Le coordinate, i carichi concentrati, i cedimenti, le reazioni vincolari e gli spostamenti dei NODI sono riferiti ad una terna destra cartesiana globale con l'asse Z verticale rivolto verso l'alto. I carichi in coordinate locali e le sollecitazioni delle ASTE sono riferite ad una terna destra cartesiana locale così definita:

- origine nel nodo iniziale dell'asta;
- asse X coincidente con l'asse dell'asta e con verso dal nodo iniziale al nodo finale;
- immaginando la trave a sezione rettangolare l'asse Y è parallelo alla base e l'asse Z è parallelo all'altezza.

La rotazione dell'asta comporta quindi una rotazione di tutta la terna locale.

Si può immaginare la terna locale di un'asta comunque disposta nello spazio come derivante da quella globale dopo una serie di trasformazioni:

- una rotazione intorno all'asse Z che porti l'asse X a coincidere con la proiezione dell'asse dell'asta sul piano orizzontale;
- una traslazione lungo il nuovo asse X così definito in modo da portare l'origine a coincidere con la proiezione del nodo iniziale dell'asta sul piano orizzontale;
- una traslazione lungo l'asse Z che porti l'origine a coincidere con il nodo iniziale dell'asta;
- una rotazione intorno all'asse Y così definito che porti l'asse X a coincidere con l'asse dell'asta;
- una rotazione intorno all'asse X così definito pari alla rotazione dell'asta.

In pratica le travi prive di rotazione avranno sempre l'asse Z rivolto verso l'alto e l'asse Y nel piano del solaio, mentre i pilastri privi di rotazione avranno l'asse Y parallelo all'asse Y globale e l'asse Z parallelo ma controverso all'asse X globale. Da notare quindi che per i pilastri la "base" è il lato parallelo a Y.

Le sollecitazioni ed i carichi in coordinate locali negli ELEMENTI BIDIMENSIONALI e nei MURI sono riferiti ad una terna destra cartesiana locale così definita:

- origine nel primo nodo dell'elemento;
- asse X coincidente con la congiungente il primo ed il secondo nodo dell'elemento;
- asse Y definito come prodotto vettoriale fra il versore dell'asse X e il versore della congiungente il primo e il quarto nodo. Asse Z a formare con gli altri due una terna destrorsa.

Praticamente un elemento verticale con l'asse X locale coincidente con l'asse X globale ha anche gli altri assi locali coincidenti con quelli globali.

Rotazioni e momenti

Seguendo il principio adottato per tutti i carichi che sono positivi se CONTROVERSI agli assi, anche i momenti concentrati e le rotazioni impresse in coordinate globali risultano positivi se CONTROVERSI al segno positivo delle rotazioni. Il segno positivo dei momenti e delle rotazioni è quello orario per l'osservatore posto nell'origine: X ruota su Y, Y ruota su Z, Z ruota su X. In pratica è sufficiente adottare la regola della mano destra: col pollice rivolto nella direzione dell'asse, la rotazione che porta a chiudere il palmo della mano corrisponde al segno positivo.

Normativa di riferimento

La normativa di riferimento è la seguente:

- Legge n. 64 del 2/2/1974 - Provvedimenti per le costruzioni con particolari prescrizioni per le zone sismiche.
- D.M. del 24/1/1986 - Norme tecniche relative alle costruzioni sismiche.
- Legge n. 1086 del 5/11/1971 - Norme per la disciplina delle opere di conglomerato cementizio armato, normale e precompresso ed a struttura metallica.
- D.M. del 14/2/1992 - Norme tecniche per l'esecuzione delle opere in c.a. normale e precompresso e per le strutture metalliche.
- D.M. del 9/1/1996 - Norme tecniche per l'esecuzione delle opere in c.a. normale e precompresso e per le strutture metalliche.
- D.M. del 16/1/1996 - Norme tecniche per le costruzioni in zone sismiche.
- Circolare n. 21745 del 30/7/1981 - Legge n. 219 del 14/5/1981 - Art. 10 - Istruzioni relative al rafforzamento degli edifici in muratura danneggiati dal sisma.
- Regione Autonoma Friuli Venezia Giulia - Legge Regionale n. 30 del 20/6/1977 - Documentazione tecnica per la progettazione e direzione delle opere di riparazione degli edifici - Documento Tecnico n. 2 - Raccomandazioni per la riparazione strutturale degli edifici in muratura.
- D.M. del 20/11/1987 - Norme Tecniche per la progettazione, esecuzione e collaudo degli edifici in muratura e per il loro consolidamento.
- Norme Tecniche C.N.R. n. 10011-85 del 18/4/1985 - Costruzioni di acciaio - Istruzioni per il calcolo, l'esecuzione, il collaudo e la manutenzione.
- Norme Tecniche C.N.R. n. 10025-84 del 14/12/1984 - Istruzioni per il progetto, l'esecuzione ed il controllo

Relazione di calcolo

delle strutture prefabbricate in conglomerato cementizio e per le strutture costruite con sistemi industrializzati di acciaio - Istruzioni per il calcolo, l'esecuzione, il collaudo e la manutenzione.

- Circolare n. 65 del 10/4/1997 - Istruzioni per l'applicazione delle "Norme tecniche per le costruzioni in zone sismiche" di cui al D.M. del 16/1/1996.

- Eurocodice 5 - Progettazione delle strutture di legno.

- DIN 1052 - Metodi di verifica per il legno.

- D.M. del 17/1/2018 - Norme tecniche per le costruzioni.

- Documento Tecnico CNR-DT 200 R1/2012 - Istruzioni per la Progettazione, l'Esecuzione ed il Controllo di Interventi di Consolidamento Statico mediante l'utilizzo di Compositi Fibrorinforzati.

- Eurocodice 3 - Progettazione delle strutture in acciaio.

Unità di misura

Le unità di misura adottate sono le seguenti:

- lunghezze : m
- forze : daN
- masse : kg
- temperature : gradi centigradi
- angoli : gradi sessadecimali o radianti

Geometria

Elenco vincoli nodi

Simbologia

- Vn = Numero del vincolo nodo
- Comm. = Commento
- Sx = Spostamento in dir. X (L=libero, B=bloccato, E=elastico)
- Sy = Spostamento in dir. Y (L=libero, B=bloccato, E=elastico)
- Sz = Spostamento in dir. Z (L=libero, B=bloccato, E=elastico)
- Rx = Rotazione intorno all'asse X (L=libera, B=bloccata, E=elastica)
- Ry = Rotazione intorno all'asse Y (L=libera, B=bloccata, E=elastica)
- Rz = Rotazione intorno all'asse Z (L=libera, B=bloccata, E=elastica)
- RL = Rotazione libera
- Ly = Lunghezza (dir. Y locale)
- Lz = Larghezza (dir. Z locale)
- Kt = Coeff. di sottofondo su suolo elastico alla Winkler

Vn	Comm.	Sx	Sy	Sz	Rx	Ry	Rz	RL	Ly	Lz	Kt
		<m>	<m>	<m>	<m>	<m>	<m>		<m>	<m>	<daN/cm</th>
1	Libero	L	L	L	L	L	L				
2	Incastro	B	B	B	B	B	B				

Elenco nodi

Simbologia

- Nodo = Numero del nodo
- X = Coordinata X del nodo
- Y = Coordinata Y del nodo
- Z = Coordinata Z del nodo
- Imp. = Numero dell'impalcato
- Vn = Numero del vincolo nodo

Nodo	X	Y	Z	Imp.	Vn	Nodo	X	Y	Z	Imp.	Vn	Nodo	X	Y	Z	Imp.	Vn	Nodo	X	Y	Z	Imp.	Vn
	<m>	<m>	<m>				<m>	<m>	<m>				<m>	<m>	<m>				<m>	<m>	<m>		
-18	13.25	4.10	0.28	0	1	-17	8.85	4.10	0.28	0	1	-16	4.45	4.10	0.28	0	1	-15	0.00	4.10	0.28	0	1
-6	13.25	0.00	0.28	0	1	-5	8.85	0.00	0.28	0	1	-4	4.45	0.00	0.28	0	1	-3	0.00	0.00	0.28	0	1
1	0.00	0.00	0.00	0	2	2	4.45	0.00	0.00	0	2	3	8.85	0.00	0.00	0	2	4	13.25	0.00	0.00	0	2
13	0.00	4.10	0.00	0	2	14	4.45	4.10	0.00	0	2	15	8.85	4.10	0.00	0	2	16	13.25	4.10	0.00	0	2
101	0.00	0.00	3.80	1	1	102	4.45	0.00	3.80	1	1	103	8.85	0.00	3.80	1	1	104	13.25	0.00	3.80	1	1
113	0.00	4.10	3.80	1	1	114	4.45	4.10	3.80	1	1	115	8.85	4.10	3.80	1	1	116	13.25	4.10	3.80	1	1

Elenco materiali

Simbologia

- Mat. = Numero del materiale
- Comm. = Commento
- P = Peso specifico
- E = Modulo elastico
- G = Modulo elastico tangenziale
- v = Coeff. di Poisson
- α = Coeff. di dilatazione termica

Mat.	Comm.	P	E	G	v	α
		<daN/m</th>	<daN/cm</th>	<daN/cm</th>		

Relazione di calcolo

6	Calcestruzzo classe C28/35	2500	325881.00	148128.00	0.1	1.000000E-05
7	Calcestruzzo classe C30/37	2500	330194.00	150088.00	0.1	1.000000E-05
22	no peso	0.000000E+00	21000000.00	8000000.00	0.3	1.000000E-05

Elenco sezioni aste

Simbologia

Sez. = Numero della sezione
 Comm. = Commento
 Tipo = Tipologia
 2C = Doppia C lato labbri
 2Cdx = Doppia C lato costola
 2I = Doppia I
 2L = Doppia L lato labbri
 2Ldx = Doppia L lato costole
 C = Sezione a C
 Cdx = C destra
 Cir. = Circolare
 Cir.c = Circolare cava
 I = Sezione a I
 L = Sezione a L
 Ldx = L destra
 Om. = Omega
 Pg = Pi greco
 Pr = Poligono regolare
 Prc = Poligono regolare cavo
 Pc = Per coordinate
 Ia = Inerzie assegnate
 R = Rettangolare
 Rc = Rettangolare cava
 T = Sezione a T
 U = Sezione a U
 Ur = U rovescia
 V = Sezione a V
 Vr = V rovescia
 Z = Sezione a Z
 Zdx = Z destra
 Ts = T stondata
 Ls = L stondata
 Cs = C stondata
 Is = I stondata
 Dis. = Disegnata
 Mem. = Membratura
 G = Generica
 T = Trave
 P = Pilastro
 Ver. = Verifica prevista
 N = Nessuna
 C = Cemento armato
 A = Acciaio
 L = Legno
 B = Base
 H = Altezza
 Ma = Numero del materiale
 C = Numero del criterio di progetto
 Crit. C.I. = Criterio di progetto collegamento iniziale
 Crit. C.F. = Criterio di progetto collegamento finale

Sez.	Comm.	Tipo	Mem.	Ver.	B <cm>	H <cm>	Ma	C	Crit. C.I.	Crit. C.F.
1	Travi 30x50 cm	R	T	C	30.00	50.00	7	1		
2	Pilastri 30x60 cm	R	P	C	30.00	60.00	7	1		
3	Travi 30x40 cm	R	T	C	30.00	40.00	7	2		

Elenco vincoli aste

Simbologia

Va = Numero del vincolo asta
 Comm. = Commento
 Tipo = Tipologia
 SVI = Definizione di vincolamenti interni
 ELA = Vincolo su suolo elastico alla Winkler
 BIE-RTC = Biella resistente a trazione e a compressione
 BIE-RC = Biella resistente solo a compressione
 BIE-RT = Biella resistente solo a trazione
 Ni = Sforzo normale nodo iniziale (0=sbloccato, 1=bloccato)
 Tyi = Taglio in dir. Y locale nodo iniziale (0=sbloccato, 1=bloccato)
 Tzi = Taglio in dir. Z locale nodo iniziale (0=sbloccato, 1=bloccato)
 Mxi = Momento intorno all'asse X locale nodo iniziale (0=sbloccato, 1=bloccato)
 Myi = Momento intorno all'asse Y locale nodo iniziale (0=sbloccato, 1=bloccato)
 Mzi = Momento intorno all'asse Z locale nodo iniziale (0=sbloccato, 1=bloccato)

Relazione di calcolo

Nf = Sforzo normale nodo finale (0=sbloccato, 1=bloccato)
 Tyf = Taglio in dir. Y locale nodo finale (0=sbloccato, 1=bloccato)
 Tzf = Taglio in dir. Z locale nodo finale (0=sbloccato, 1=bloccato)
 Mxf = Momento intorno all'asse X locale nodo finale (0=sbloccato, 1=bloccato)
 Myf = Momento intorno all'asse Y locale nodo finale (0=sbloccato, 1=bloccato)
 Mzf = Momento intorno all'asse Z locale nodo finale (0=sbloccato, 1=bloccato)
 Kt = Coeff. di sottofondo su suolo elastico alla Winkler

Va	Comm.	Tipo	Ni	Tyi	Tzi	Mxi	Myi	Mzi	Nf	Tyf	Tzf	Mxf	Myf	Mzf	Kt
															<daN/cm>
1	Inc+Inc	SVI	1	1	1	1	1	1	1	1	1	1	1	1	1

Elenco aste

Simbologia

Asta = Numero dell'asta
 N1 = Nodo iniziale
 N2 = Nodo finale
 Sez. = Numero della sezione
 Va = Numero del vincolo asta
 Par. = Numero dei parametri aggiuntivi
 Rot. = Rotazione
 FF = Filo fisso
 Dy1 = Scost. filo fisso Y1
 Dy2 = Scost. filo fisso Y2
 Dz1 = Scost. filo fisso Z1
 Dz2 = Scost. filo fisso Z2
 Kt = Coeff. di sottofondo su suolo elastico alla Winkler

Asta	N1	N2	Sez.	Va	Par.	Rot.	FF	Dy1	Dy2	Dz1	Dz2	Kt
						<grad>		<cm>	<cm>	<cm>	<cm>	<daN/cm>
1	1	-3	2	1		90.00	55	0.00	0.00	-15.00	-15.00	
1	-3	101	2	1		90.00	55	0.00	0.00	-15.00	-15.00	
2	2	-4	2	1		0.00	55	0.00	0.00	0.00	0.00	
2	-4	102	2	1		0.00	55	0.00	0.00	0.00	0.00	
3	3	-5	2	1		0.00	55	0.00	0.00	0.00	0.00	
3	-5	103	2	1		0.00	55	0.00	0.00	0.00	0.00	
4	4	-6	2	1		90.00	55	0.00	0.00	-15.00	-15.00	
4	-6	104	2	1		90.00	55	0.00	0.00	-15.00	-15.00	
13	13	-15	2	1		90.00	55	0.00	0.00	15.00	15.00	
13	-15	113	2	1		90.00	55	0.00	0.00	15.00	15.00	
14	14	-16	2	1		0.00	55	0.00	0.00	0.00	0.00	
14	-16	114	2	1		0.00	55	0.00	0.00	0.00	0.00	
15	15	-17	2	1		0.00	55	0.00	0.00	0.00	0.00	
15	-17	115	2	1		0.00	55	0.00	0.00	0.00	0.00	
16	16	-18	2	1		90.00	55	0.00	0.00	15.00	15.00	
16	-18	116	2	1		90.00	55	0.00	0.00	15.00	15.00	
101	101	102	3	1		0.00	22	0.00	0.00	0.00	0.00	
101	102	103	3	1		0.00	22	0.00	0.00	0.00	0.00	
101	103	104	3	1		0.00	22	0.00	0.00	0.00	0.00	
102	113	114	3	1		0.00	22	0.00	0.00	0.00	0.00	
102	114	115	3	1		0.00	22	0.00	0.00	0.00	0.00	
102	115	116	3	1		0.00	22	0.00	0.00	0.00	0.00	
103	101	113	1	1		0.00	22	0.00	0.00	0.00	0.00	
104	102	114	1	1		0.00	22	0.00	0.00	0.00	0.00	
105	103	115	1	1		0.00	22	0.00	0.00	0.00	0.00	
106	104	116	1	1		0.00	22	0.00	0.00	0.00	0.00	

Elenco tipi solai

Simbologia

Ts = Numero del tipo solaio
 Comm. = Commento
 Rc = Ripartizione carichi
 UN = Unidirezionale
 PP = A piastra perimetrale
 PB = A piastra bisettrice
 Qps = Carico permanente strutturale
 Qpn = Carico permanente non strutturale
 QA = Primo carico accidentale
 QA2 = Secondo carico accidentale
 QA3 = Terzo carico accidentale
 Rip. ter. = Ripartizione su aste terminali
 Rip. int. = Ripartizione su aste interne
 Lfl = Larghezza fascia laterale
 Zcv = Quota di riferimento del piano di campagna
 s = Coeff. di riduzione
 Hs = Altezza solaio
 Sc = Spessore cappa
 Crit. = Numero del criterio di progetto

Relazione di calcolo

Ts	Comm.	Rc	Qps <daN/mq>	Qpn <daN/mq>	QA <daN/mq>	QA2 <daN/mq>	QA3 <daN/mq>	Rip. ter.	Rip. int.	Lfl <m>	Zcv <m>	s	Hs <cm>	Sc <cm>	Crit.
1	Solai copertura	UN	330.00	260.00	100.00	50.00	0.00	50.00	50.00	0.00	0.00	0.33	24.00	4.00	1

Elenco solai

Simbologia

Sol. = Numero del solaio
 Ts = Numero del tipo solaio
 Ord. = Orditura
 Nodi = Nodi del solaio

Sol.	Ts	Ord. <grad>	Nodi				Sol.	Ts	Ord. <grad>	Nodi				Sol.	Ts	Ord. <grad>	Nodi			
100	1	0.00	101	102	114	113	101	1	0.00	102	103	115	114	102	1	0.00	103	104	116	115

Carichi

Condizioni di carico elementari

Simbologia

CCE = Numero della condizione di carico elementare
 Comm. = Commento
 Tipo CCE = Tipo di CCE per calcolo agli stati limite
 Sic. = Contributo alla sicurezza
 F = a favore
 S = a sfavore
 A = ambigua
 Var. = Tipo di variabilità
 B = di base
 I = indipendente
 A = ambigua
 Dir. = Direzione del vento
 Tipo = Tipologia di pressione vento
 M = Massimizzata
 E = Esterna
 I = Interna
 Mx = Moltiplicatore della massa in dir. X
 My = Moltiplicatore della massa in dir. Y
 Mz = Moltiplicatore della massa in dir. Z
 Jpx = Moltiplicatore del momento d'inerzia intorno all'asse X
 Jpy = Moltiplicatore del momento d'inerzia intorno all'asse Y
 Jpz = Moltiplicatore del momento d'inerzia intorno all'asse Z

CCE	Comm.	Tipo CCE	Sic.	Var.	Dir. <grad>	Tipo	Mx	My	Mz	Jpx	Jpy	Jpz
1	Peso proprio	1 D.M. 18 Permanenti strutturali	S	--	--	--	1.00	1.00	0.00	0.00	0.00	1.00
2	Peso proprio solai	1 D.M. 18 Permanenti strutturali	S	--	--	--	1.00	1.00	0.00	0.00	0.00	1.00
3	Permanente portato solai	2 D.M. 18 Permanenti non strutturali	S	--	--	--	1.00	1.00	0.00	0.00	0.00	1.00
4	Accidentale solai	19 D.M. 18 Variabili Categoria H - Coperture accessibili per sola manutenzione	S	B	--	--	1.00	1.00	0.00	0.00	0.00	1.00
5	Accidentale neve	13 D.M. 18 Variabili Neve (a quota > 1000 m s.l.m.)	S	B	--	--	1.00	1.00	0.00	0.00	0.00	1.00
6	Variazione termica	10 D.M. 18 Variabili Variazioni termiche	S	B	--	--	1.00	1.00	0.00	0.00	0.00	1.00
7	Tamponature	2 D.M. 18 Permanenti non strutturali	S	--	--	--	1.00	1.00	0.00	0.00	0.00	1.00
8	Vento X	11 D.M. 18 Variabili Vento	S	A	0.00	M	0.00	0.00	0.00	0.00	0.00	0.00
9	Vento Y	11 D.M. 18 Variabili Vento	S	A	90.00	M	0.00	0.00	0.00	0.00	0.00	0.00

Elenco carichi aste

Condizione di carico n. 1: Peso proprio

Elenco peso proprio aste

Simbologia

Sez. = Numero della sezione
 Comm. = Commento
 A = Area
 Mat. = Materiale
 P = Peso specifico
 PL = Peso specifico a metro lineare

Sez.	Comm.	A <cmq>	Mat.	P <daN/mc>	PL <daN/m>
1	Travi 30x50 cm	1500.000000	Calcestruzzo classe C30/37	2500.00	375.00
2	Pilastrini 30x60 cm	1800.000000	Calcestruzzo classe C30/37	2500.00	450.00
3	Travi 30x40 cm	1200.000000	Calcestruzzo classe C30/37	2500.00	300.00

Elenco carichi aste

Condizione di carico n. 2: Peso proprio solai

Carichi distribuiti

Simbologia

Relazione di calcolo

Asta = Numero dell'asta
 N1 = Nodo iniziale
 N2 = Nodo finale
 E = Elemento provenienza del carico
 S = Solaio
 T = Tamponatura
 NE = Numero elemento di provenienza del carico
 T = Tipo di carico
 QA = Primo carico accidentale
 QA2 = Secondo carico accidentale
 QA3 = Terzo carico accidentale
 QPS = Carico permanente strutturale
 QPN = Carico permanente non strutturale
 VE = Vento
 M = Manuale
 DC = Direzione del carico
 XG,YG,ZG = secondo gli assi globali
 XL,YL,ZL = secondo gli assi locali
 Xi = Distanza iniziale
 Qi = Carico iniziale
 Xf = Distanza finale
 Qf = Carico finale

Asta	N1	N2	E	NE	T	DC	Xi	Qi	Xf	Qf	Asta	N1	N2	E	NE	T	DC	Xi	Qi	Xf	Qf
							<m>	<daN/m>	<m>	<daN/m>								<m>	<daN/m>	<m>	<daN/m>
103	101	113	S	100	QPS	ZG	0.00	734.25	4.10	734.25	104	102	114	S	100	QPS	ZG	0.00	734.25	4.10	734.25
104	102	114	S	101	QPS	ZG	0.00	726.00	4.10	726.00	105	103	115	S	101	QPS	ZG	0.00	726.00	4.10	726.00
105	103	115	S	102	QPS	ZG	0.00	726.00	4.10	726.00	106	104	116	S	102	QPS	ZG	0.00	726.00	4.10	726.00

Elenco carichi aste

Condizione di carico n. 3: Permanente portato solai

Carichi distribuiti

Asta	N1	N2	E	NE	T	DC	Xi	Qi	Xf	Qf	Asta	N1	N2	E	NE	T	DC	Xi	Qi	Xf	Qf
							<m>	<daN/m>	<m>	<daN/m>								<m>	<daN/m>	<m>	<daN/m>
103	101	113	S	100	QPN	ZG	0.00	578.50	4.10	578.50	104	102	114	S	100	QPN	ZG	0.00	578.50	4.10	578.50
104	102	114	S	101	QPN	ZG	0.00	572.00	4.10	572.00	105	103	115	S	101	QPN	ZG	0.00	572.00	4.10	572.00
105	103	115	S	102	QPN	ZG	0.00	572.00	4.10	572.00	106	104	116	S	102	QPN	ZG	0.00	572.00	4.10	572.00

Elenco carichi aste

Condizione di carico n. 4: Accidentale solai

Carichi distribuiti

Asta	N1	N2	E	NE	T	DC	Xi	Qi	Xf	Qf	Asta	N1	N2	E	NE	T	DC	Xi	Qi	Xf	Qf
							<m>	<daN/m>	<m>	<daN/m>								<m>	<daN/m>	<m>	<daN/m>
103	101	113	S	100	QA	ZG	0.00	222.50	4.10	222.50	104	102	114	S	100	QA	ZG	0.00	222.50	4.10	222.50
104	102	114	S	101	QA	ZG	0.00	220.00	4.10	220.00	105	103	115	S	101	QA	ZG	0.00	220.00	4.10	220.00
105	103	115	S	102	QA	ZG	0.00	220.00	4.10	220.00	106	104	116	S	102	QA	ZG	0.00	220.00	4.10	220.00

Elenco carichi aste

Condizione di carico n. 5: Accidentale neve

Carichi distribuiti

Asta	N1	N2	E	NE	T	DC	Xi	Qi	Xf	Qf	Asta	N1	N2	E	NE	T	DC	Xi	Qi	Xf	Qf
							<m>	<daN/m>	<m>	<daN/m>								<m>	<daN/m>	<m>	<daN/m>
103	101	113	S	100	QA2	ZG	0.00	111.25	4.10	111.25	104	102	114	S	100	QA2	ZG	0.00	111.25	4.10	111.25
104	102	114	S	101	QA2	ZG	0.00	110.00	4.10	110.00	105	103	115	S	101	QA2	ZG	0.00	110.00	4.10	110.00
105	103	115	S	102	QA2	ZG	0.00	110.00	4.10	110.00	106	104	116	S	102	QA2	ZG	0.00	110.00	4.10	110.00

Elenco carichi aste

Condizione di carico n. 6: Variazione termica

Carichi distribuiti

Simbologia

Asta = Numero dell'asta
 N1 = Nodo iniziale
 N2 = Nodo finale
 DT = Incremento di temperatura
 Gy = Gradiente termico in dir. Y
 Gz = Gradiente termico in dir. Z

Asta	N1	N2	DT	Gy	Gz	Asta	N1	N2	DT	Gy	Gz	Asta	N1	N2	DT	Gy	Gz
			<°C>	<°C/m>	<°C/m>				<°C>	<°C/m>	<°C/m>				<°C>	<°C/m>	<°C/m>
1	1	-3	15.00			1	-3	101	15.00			2	2	-4	15.00		
2	-4	102	15.00			3	3	-5	15.00			3	-5	103	15.00		
4	4	-6	15.00			4	-6	104	15.00			13	13	-15	15.00		
13	-15	113	15.00			14	14	-16	15.00			14	-16	114	15.00		
15	15	-17	15.00			15	-17	115	15.00			16	16	-18	15.00		

Relazione di calcolo

16	-18	116	15.00			101	101	102	15.00			101	102	103	15.00		
101	103	104	15.00			102	113	114	15.00			102	114	115	15.00		
102	115	116	15.00			103	101	113	15.00			104	102	114	15.00		
105	103	115	15.00			106	104	116	15.00								

Elenco carichi aste

Condizione di carico n. 7: Tamponature

Carichi distribuiti

Asta	N1	N2	E	N	T	D	C	Xi	Qi	Xf	Qf	Asta	N1	N2	E	N	T	D	C	Xi	Qi	Xf	Qf
								<m>	<daN/m>	<m>	<daN/m>									<m>	<daN/m>	<m>	<daN/m>
101	101	102	S	--	M	Z	G	0.00	100.00	4.45	100.00	101	102	103	S	--	M	Z	G	0.00	100.00	4.40	100.00
101	103	104	S	--	M	Z	G	0.00	100.00	4.40	100.00	102	113	114	S	--	M	Z	G	0.00	100.00	4.45	100.00
102	114	115	S	--	M	Z	G	0.00	100.00	4.40	100.00	102	115	116	S	--	M	Z	G	0.00	100.00	4.40	100.00
103	101	113	S	--	M	Z	G	0.00	100.00	4.10	100.00	106	104	116	S	--	M	Z	G	0.00	100.00	4.10	100.00

Elenco carichi aste

Condizione di carico n. 8: Vento X

Carichi distribuiti

Asta	N1	N2	E	N	T	D	C	Xi	Qi	Xf	Qf	Asta	N1	N2	E	N	T	D	C	Xi	Qi	Xf	Qf
								<m>	<daN/m>	<m>	<daN/m>									<m>	<daN/m>	<m>	<daN/m>
1	-3	101	S	--	M	X	G	0.00	290.00	3.52	290.00	13	-15	113	S	--	M	X	G	0.00	290.00	3.52	290.00
103	101	113	S	--	M	Z	G	0.00	120.00	4.10	120.00	104	102	114	S	--	M	Z	G	0.00	80.00	4.10	80.00
105	103	115	S	--	M	Z	G	0.00	80.00	4.10	80.00	106	104	116	S	--	M	Z	G	0.00	80.00	4.10	80.00

Elenco carichi aste

Condizione di carico n. 9: Vento Y

Carichi distribuiti

Asta	N1	N2	E	N	T	D	C	Xi	Qi	Xf	Qf	Asta	N1	N2	E	N	T	D	C	Xi	Qi	Xf	Qf
								<m>	<daN/m>	<m>	<daN/m>									<m>	<daN/m>	<m>	<daN/m>
1	-3	101	S	--	M	Y	G	0.00	250.00	3.52	250.00	2	-4	102	S	--	M	Y	G	0.00	500.00	3.52	500.00
3	-5	103	S	--	M	Y	G	0.00	500.00	3.52	500.00	4	-6	104	S	--	M	Y	G	0.00	500.00	3.52	500.00
13	-15	113	S	--	M	Y	G	0.00	250.00	3.52	250.00	14	-16	114	S	--	M	Y	G	0.00	500.00	3.52	500.00
15	-17	115	S	--	M	Y	G	0.00	500.00	3.52	500.00	16	-18	116	S	--	M	Y	G	0.00	500.00	3.52	500.00
101	101	102	S	--	M	Z	G	0.00	160.00	4.45	160.00	101	102	103	S	--	M	Z	G	0.00	160.00	4.40	160.00
101	103	104	S	--	M	Z	G	0.00	160.00	4.40	160.00	102	113	114	S	--	M	Z	G	0.00	160.00	4.45	160.00
102	114	115	S	--	M	Z	G	0.00	160.00	4.40	160.00	102	115	116	S	--	M	Z	G	0.00	160.00	4.40	160.00
103	101	113	S	--	M	Z	G	0.00	160.00	4.10	160.00												

Risultati del calcolo

Parametri di calcolo

La modellazione della struttura e la rielaborazione dei risultati del calcolo sono stati effettuati con: ModeSt ver. 8.18, prodotto da Tecnisoft s.a.s. - Prato

La struttura è stata calcolata utilizzando come solutore agli elementi finiti: Xfinest ver. 2013, prodotto da Ce.A.S. S.r.l. - Milano

- Tipo di normativa: stati limite D.M. 18
- Tipo di calcolo: analisi sismica dinamica
- Vincoli esterni: Considera sempre vincoli assegnati in modellazione
- Schematizzazione piani rigidi: metodo Master-Slave
- Modalità di recupero masse secondarie: trasferire le masse
- All'impalcato più vicino in assoluto: No
- Anche sui nodi degli impalcati non rigidi: No
- Modificare coordinate baricentro impalcati rigidi: XY

Generazione combinazioni

- Lineari: Sì
- Valuta spostamenti e non sollecitazioni: No
- Buckling: No

Opzioni di calcolo

- Sono state considerate infinitamente rigide le zone di connessione fra travi, pilastri ed elementi bidimensionali con una riduzione del 20%
- Calcolo con offset rigidi dai nodi: No
- Uniformare i carichi variabili: No
- Massimizzare i carichi variabili: No
- Minimo carico da considerare: 0.00 <daN/m>
- Recupero carichi zone rigide: taglio e momento flettente
- Modalità di combinazione momento torcente: disaccoppiare le azioni

Opzioni del solutore

- Tipo di elemento bidimensionale: QF46

Relazione di calcolo

- Calcolo sforzo nei nodi: No
- Trascura deformabilità a taglio delle aste: No
- Analisi dinamica con metodo di Lanczos: Si
- Check sequenza di Sturm: Si
- Soluzione matrice con metodo ver. 5.1: No
- Analisi non lineare con Newton modificato: No
- Usa formulazione secante per buckling: No
- Trascura buckling torsionale: No

Dati struttura

- Sito di costruzione: Salerno LON. 14.89008 LAT. 40.63495
Contenuto tra ID reticolo: 34098 34099 33876 33877

Simbologia

TCC = Tipo di combinazione di carico

SLU = Stato limite ultimo

SLU S = Stato limite ultimo (azione sismica)

SLE R = Stato limite d'esercizio, combinazione rara

SLE F = Stato limite d'esercizio, combinazione frequente

SLE Q = Stato limite d'esercizio, combinazione quasi permanente

SLD = Stato limite di danno

SLV = Stato limite di salvaguardia della vita

SLC = Stato limite di prevenzione del collasso

SLO = Stato limite di operatività

SLU I = Stato limite di resistenza al fuoco

SND = Stato limite di salvaguardia della vita (non dissipativo)

T_R = Periodo di ritorno <anni>

A_g = Accelerazione orizzontale massima al sito

F_o = Valore massimo del fattore di amplificazione dello spettro in accelerazione orizzontale

T_{c^*} = Periodo di inizio del tratto a velocità costante dello spettro in accelerazione orizzontale <sec>

S_s = Coefficiente di amplificazione stratigrafica

C_c = Coefficiente funzione della categoria del suolo

TCC	T_R	A_g <g>	F_o	T_{c^*}	S_s	C_c
SLO	68	0.0527	2.45	0.34	1.50	1.49
SLD	113	0.0638	2.52	0.37	1.50	1.46
SLV	1068	0.1324	2.70	0.48	1.49	1.34

- Edificio esistente: No
- Tipo di opera: Opera ordinaria
- Vita nominale V_N : 75.00
- Classe d'uso: Classe III
- SL Esercizio: SLOPvr 81.00, SLDPvr 63.00
- SL Ultimi: SLVPvr 10.00, SLCPvr No
- Struttura dissipativa: Si
- Classe di duttilità: Classe B
- Quota di riferimento: 0.00 <m>
- Altezza della struttura: 4.35 <m>
- Numero piani edificio: 1
- Coefficiente θ : 0.00
- Edificio regolare in altezza: Si
- Edificio regolare in pianta: Si
- Forze orizzontali convenzionali per stati limite non sismici: No
- Genera stati limite per verifiche di resistenza al fuoco: No

Dati di piano

Simbologia

Imp. = Numero dell'impalcato

L_x = Dimensione del piano in dir. X

L_y = Dimensione del piano in dir. Y

E_x = Eccentricità in dir. X

E_y = Eccentricità in dir. Y

E_a = Eccentricità complessiva

Imp.	L_x <m>	L_y <m>	E_x <m>	E_y <m>	E_a <m>
1	13.64	5.70	0.68	0.28	0.74

Dati di calcolo

- Categoria del suolo di fondazione: C
- Tipologia strutturale: c.a. a pendolo inverso intelaiata monopiano

Periodo T_1	0.13724
Coeff. λ SLO	1.00
Coeff. λ SLD	1.00

Relazione di calcolo

Coeff. λ SLV	1.00
Rapporto di sovrarresistenza (α_0/α_1)	--
Valore di riferimento del fattore di struttura (q_0)	2.50
Fattore riduttivo (K_w)	1.00
Fattore riduttivo regolarità in altezza (KR)	1.00
Fattore di comportamento dissipativo (q)	2.50
Fattore di comportamento non dissipativo (qND)	1.50
Fattore di comportamento per SLD (qD)	1.50

- Categoria topografica: T1 - Superficie pianeggiante, pendii e rilievi isolati con inclinazione media $i \leq 15^\circ$
- Coeff. amplificazione topografica S_T : 1.00
- Fattore di comportamento per sisma verticale (qv): 1.50
- Modalità di calcolo modi di vibrare: Autovalori
- Numero modi: 3
- Modi da considerare: Tali da movimentare una percentuale di massa pari a 85.00%
- Trascura modi con massa movimentata minore di: 5.00%
- Smorzamento spettro: 5.00%

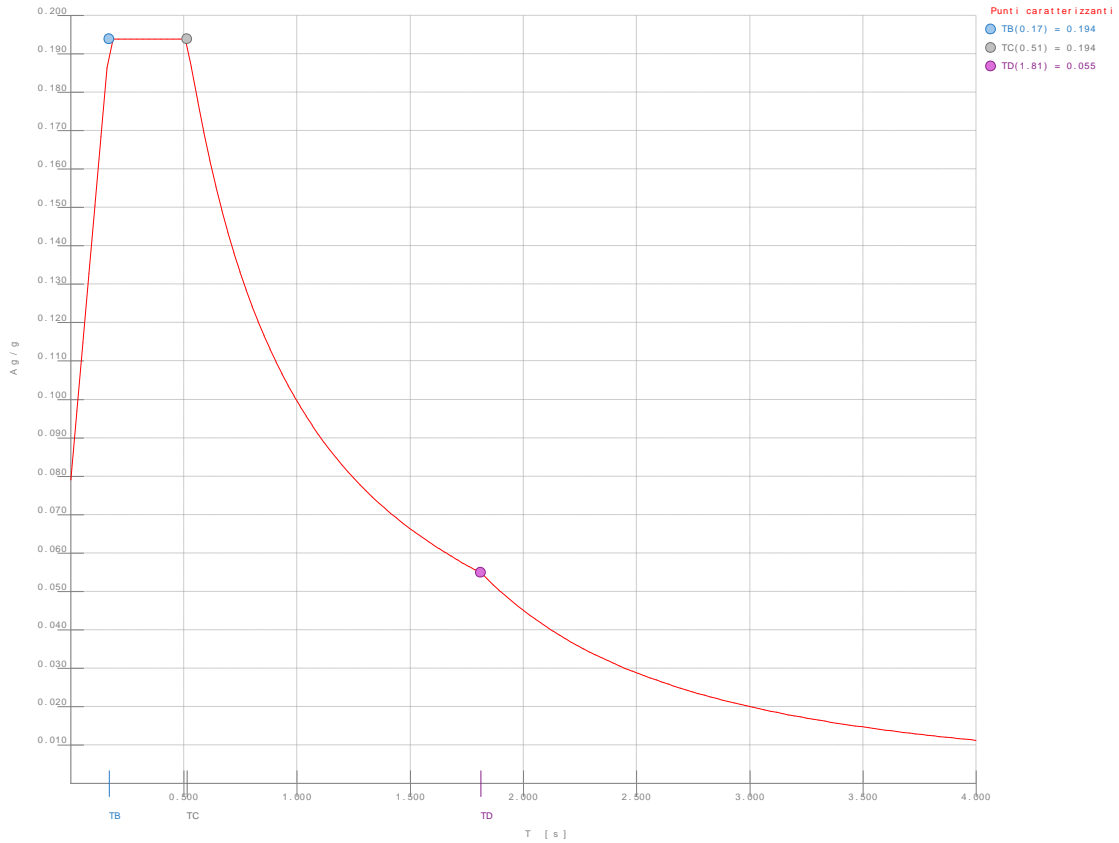


Figura numero 1: Spettro SLO

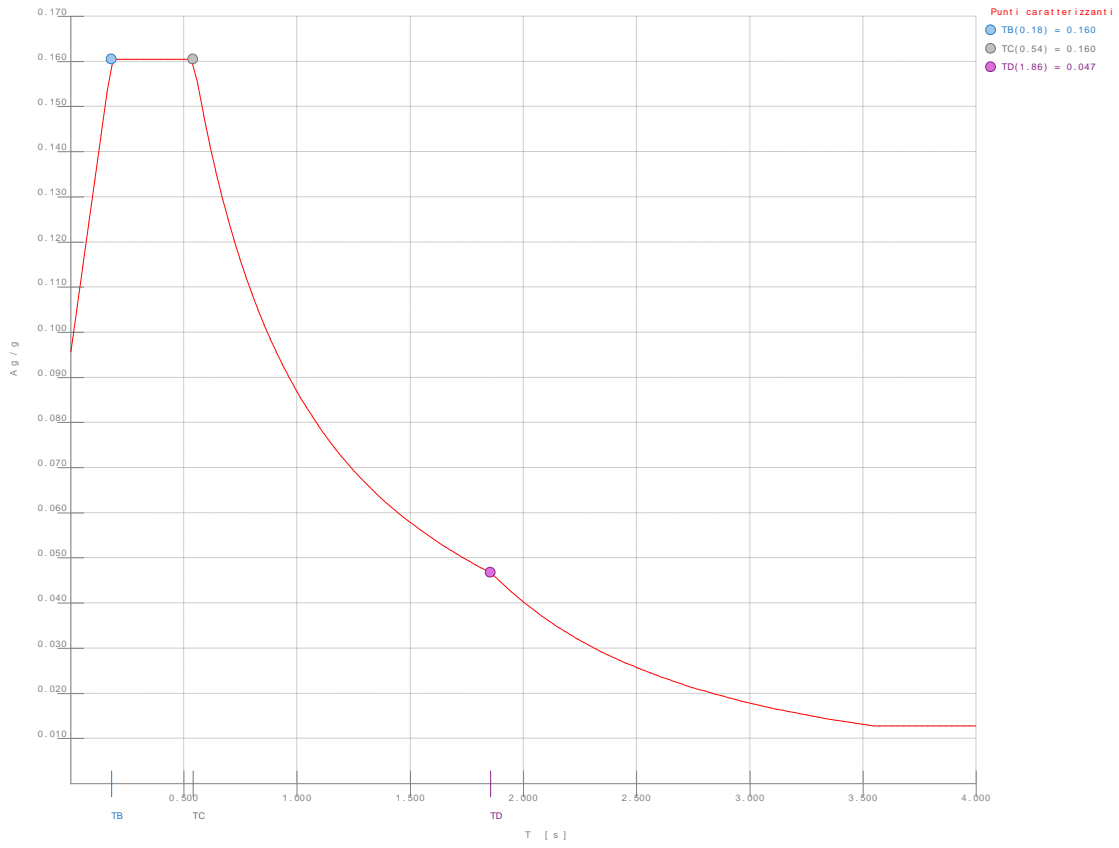


Figura numero 2: Spettro SLD

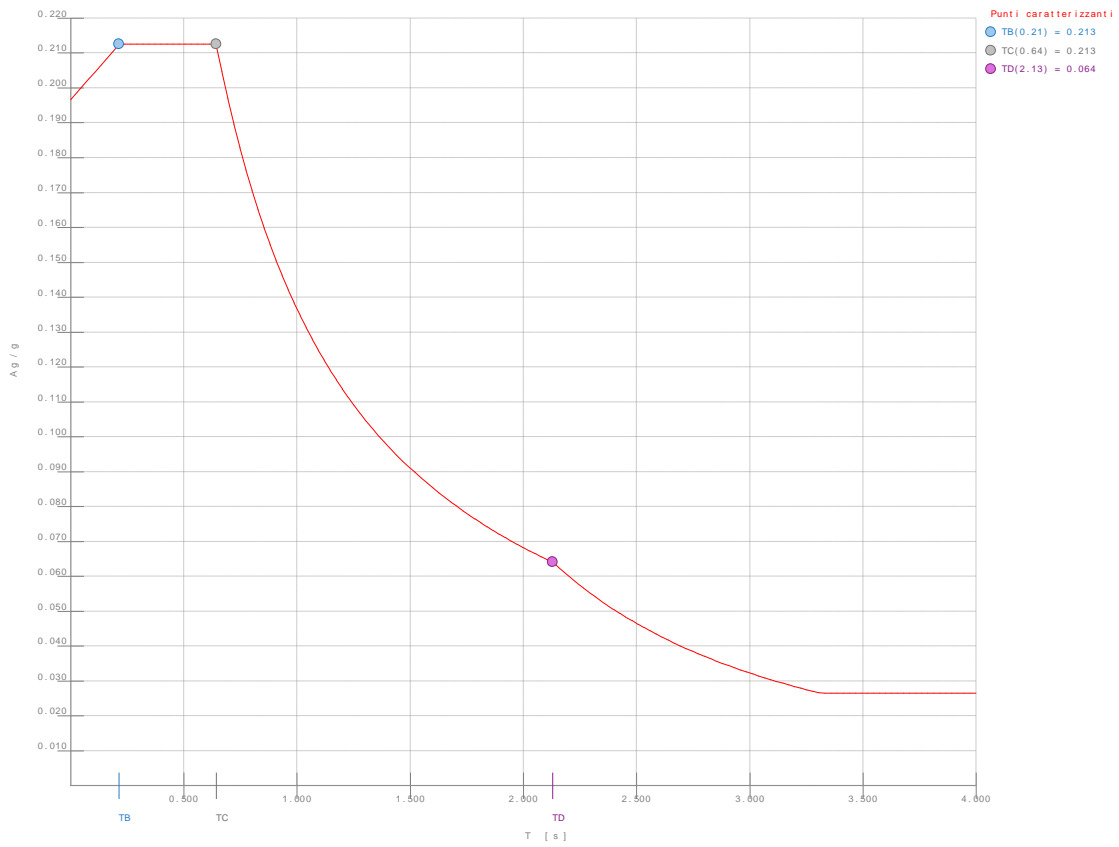


Figura numero 3: Spettro SLV

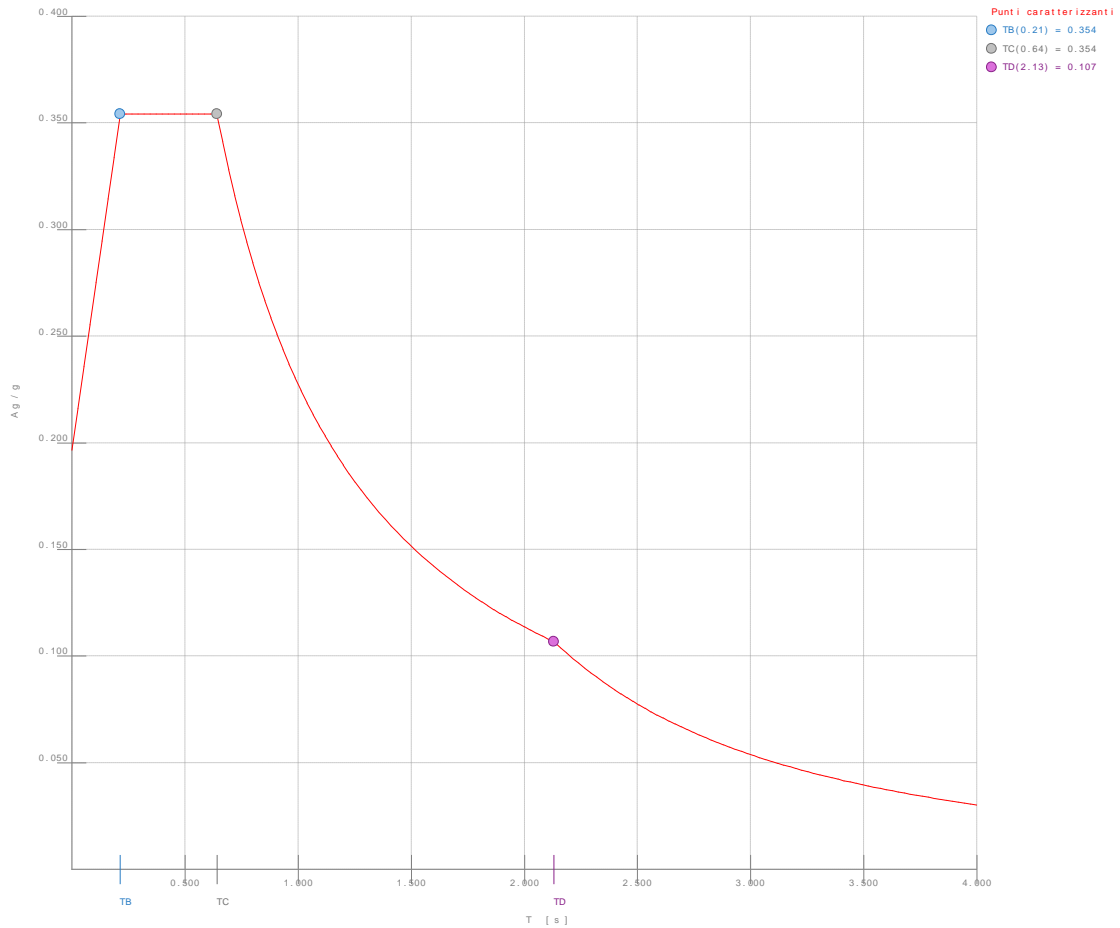


Figura numero 4: Spettro SND

- Angolo di ingresso del sisma: 0.00 <grad>

Condizioni di carico elementari

Simbologia

- CCE = Numero della condizione di carico elementare
- Comm. = Commento
- Tipo CCE = Tipo di CCE per calcolo agli stati limite
- Sic. = Contributo alla sicurezza
 - F = a favore
 - S = a sfavore
 - A = ambigua
- Var. = Tipo di variabilità
 - B = di base
 - I = indipendente
 - A = ambigua
- Dir. = Direzione del vento
- Tipo = Tipologia di pressione vento
 - M = Massimizzata
 - E = Esterna
 - I = Interna
- Mx = Moltiplicatore della massa in dir. X
- My = Moltiplicatore della massa in dir. Y
- Mz = Moltiplicatore della massa in dir. Z
- Jpx = Moltiplicatore del momento d'inerzia intorno all'asse X
- Jpy = Moltiplicatore del momento d'inerzia intorno all'asse Y
- Jpz = Moltiplicatore del momento d'inerzia intorno all'asse Z

CCE	Comm.	Tipo CCE	Sic.	Var.	Dir. <grad>	Tipo	Mx	My	Mz	Jpx	Jpy	Jpz
1	Peso proprio		1S	--	--	--	1.00	1.00	0.00	0.00	0.00	1.00
2	Peso proprio solai		1S	--	--	--	1.00	1.00	0.00	0.00	0.00	1.00
3	Permanente portato solai		2S	--	--	--	1.00	1.00	0.00	0.00	0.00	1.00
4	Accidentale solai		19S	B	--	--	1.00	1.00	0.00	0.00	0.00	1.00
5	Accidentale neve		13S	B	--	--	1.00	1.00	0.00	0.00	0.00	1.00
6	Variazione termica		10S	B	--	--	1.00	1.00	0.00	0.00	0.00	1.00
7	Tamponature		2S	--	--	--	1.00	1.00	0.00	0.00	0.00	1.00
8	Vento X		11S	A	0.00	M	0.00	0.00	0.00	0.00	0.00	0.00
9	Vento Y		11S	A	90.00	M	0.00	0.00	0.00	0.00	0.00	0.00

Elenco tipi CCE definiti

Simbologia

Tipo CCE = Tipo condizione di carico elementare
 Comm. = Commento
 Tipo = Tipologia
 G = Permanente
 Qv = Variabile vento
 Q = Variabile
 I = Da ignorare
 A = Azione eccezionale
 P = Precompressione
 Durata = Durata del carico
 N = Non definita
 P = Permanente
 L = Lunga
 M = Media
 B = Breve
 I = Istantanea
 γ min. = Coeff. γ min.
 γ max = Coeff. γ max
 Ψ_0 = Coeff. Ψ_0
 Ψ_1 = Coeff. Ψ_1
 Ψ_2 = Coeff. Ψ_2
 $\Psi_{0,s}$ = Coeff. Ψ_0 sismico (D.M. 96)

Tipo CCE	Comm.	Tipo	Durata	γ min.	γ max	Ψ_0	Ψ_1	Ψ_2	$\Psi_{0,s}$
1	D.M. 18 Permanenti strutturali	G	P	1.00	1.30				
2	D.M. 18 Permanenti non strutturali	G	L	0.80	1.50				
19	D.M. 18 Variabili Categoria H - Coperture accessibili per sola manutenzione	Q	M	0.00	1.50	0.00	0.00	0.00	1.00
13	D.M. 18 Variabili Neve (a quota > 1000 m s.l.m.)	Q	M	0.00	1.50	0.70	0.50	0.20	0.00
10	D.M. 18 Variabili Variazioni termiche	Q	M	0.00	1.50	0.60	0.50	0.00	0.00
11	D.M. 18 Variabili Vento	Qv	B	0.00	1.50	0.60	0.20	0.00	0.00

Ambienti di carico

Simbologia

N = Numero
 Comm. = Commento
 1 = Peso proprio
 2 = Peso proprio solai
 3 = Permanente portato solai
 4 = Accidentale solai
 5 = Accidentale neve
 6 = Variazione termica
 7 = Tamponature
 8 = Vento X
 9 = Vento Y
 F = azioni orizzontali convenzionali
 SLU = Stato limite ultimo
 SLR = Stato limite per combinazioni rare
 SLF = Stato limite per combinazioni frequenti
 SLQ/D = Stato limite per combinazioni quasi permanenti o di danno
 S = Si
 N = No

N	Comm.	1	2	3	4	5	6	7	8	9	S	SLU	SLR	SLF	SLQ
1	Calcolo sismico	S	S	S	S	S	S	N	N	S	S	N	N	N	N
2	Calcolo statico	S	S	S	S	S	S	N	N	N	S	S	S	S	S
3	Vento da 0°	S	S	S	S	S	S	N	N	S	S	S	S	S	S
4	Vento da 90°	S	S	S	S	S	N	S	N	S	S	S	S	S	S

Elenco combinazioni di carico simboliche

Simbologia

CC = Numero della combinazione delle condizioni di carico elementari
 Comm. = Commento
 TCC = Tipo di combinazione di carico
 SLU = Stato limite ultimo
 SLU S = Stato limite ultimo (azione sismica)
 SLE R = Stato limite d'esercizio, combinazione rara
 SLE F = Stato limite d'esercizio, combinazione frequente
 SLE Q = Stato limite d'esercizio, combinazione quasi permanente
 SLD = Stato limite di danno
 SLV = Stato limite di salvaguardia della vita
 SLC = Stato limite di prevenzione del collasso
 SLO = Stato limite di operatività
 SLU I = Stato limite di resistenza al fuoco
 SND = Stato limite di salvaguardia della vita (non dissipativo)

CC	Comm.	TCC	1	2	3	4	5	6	7	8	9	S

Relazione di calcolo

1	Amb. 1 (Sisma)	SLU S	1	1	1	Ψ_2	Ψ_2	Ψ_2	1	-----	-----	1
2	Amb. 2 (SLU)	SLU	γ_{max}	γ_{max}	γ_{max}	γ_{max}	γ_{max}	γ_{max}	γ_{max}	-----	-----	-----
3	Amb. 2 (SLE R)	SLE R	1	1	1	1	1	1	1	-----	-----	-----
4	Amb. 2 (SLE F)	SLE F	1	1	1	Ψ_1	Ψ_1	Ψ_1	1	-----	-----	-----
5	Amb. 2 (SLE Q)	SLE Q	1	1	1	Ψ_2	Ψ_2	Ψ_2	1	-----	-----	-----
6	Amb. 3 (SLU)	SLU	γ_{max}	γ_{max}	γ_{max}	γ_{max}	γ_{max}	γ_{max}	γ_{max}	γ_{max}	-----	-----
7	Amb. 3 (SLU)	SLU	γ_{max}	γ_{max}	γ_{max}	γ_{max}	γ_{max}	γ_{max}	γ_{max}	$\Psi_0 \cdot \gamma_{max}$	-----	-----
8	Amb. 3 (SLE R)	SLE R	1	1	1	1	1	1	1	1	-----	-----
9	Amb. 3 (SLE R)	SLE R	1	1	1	1	1	1	1	Ψ_0	-----	-----
10	Amb. 3 (SLE F)	SLE F	1	1	1	Ψ_1	Ψ_1	Ψ_1	1	Ψ_1	-----	-----
11	Amb. 3 (SLE F)	SLE F	1	1	1	Ψ_1	Ψ_1	Ψ_1	1	Ψ_2	-----	-----
12	Amb. 3 (SLE Q)	SLE Q	1	1	1	Ψ_2	Ψ_2	Ψ_2	1	Ψ_2	-----	-----
13	Amb. 4 (SLU)	SLU	γ_{max}	γ_{max}	γ_{max}	γ_{max}	γ_{max}	γ_{max}	γ_{max}	-----	γ_{max}	-----
14	Amb. 4 (SLU)	SLU	γ_{max}	γ_{max}	γ_{max}	γ_{max}	γ_{max}	γ_{max}	γ_{max}	-----	$\Psi_0 \cdot \gamma_{max}$	-----
15	Amb. 4 (SLE R)	SLE R	1	1	1	1	1	1	1	-----	1	-----
16	Amb. 4 (SLE R)	SLE R	1	1	1	1	1	1	1	-----	Ψ_0	-----
17	Amb. 4 (SLE F)	SLE F	1	1	1	Ψ_1	Ψ_1	Ψ_1	1	-----	Ψ_1	-----
18	Amb. 4 (SLE F)	SLE F	1	1	1	Ψ_1	Ψ_1	Ψ_1	1	-----	Ψ_2	-----
19	Amb. 4 (SLE Q)	SLE Q	1	1	1	Ψ_2	Ψ_2	Ψ_2	1	-----	Ψ_2	-----

Genera le combinazioni con un solo carico di tipo variabile come di base: No

Considera sollecitazioni dinamiche con segno dei modi principali: No

Combinazioni delle CCE

Simbologia

CC = Numero della combinazione delle condizioni di carico elementari

Comm. = Commento

TCC = Tipo di combinazione di carico

SLU = Stato limite ultimo

SLU S = Stato limite ultimo (azione sismica)

SLE R = Stato limite d'esercizio, combinazione rara

SLE F = Stato limite d'esercizio, combinazione frequente

SLE Q = Stato limite d'esercizio, combinazione quasi permanente

SLD = Stato limite di danno

SLV = Stato limite di salvaguardia della vita

SLC = Stato limite di prevenzione del collasso

SLO = Stato limite di operatività

SLU I = Stato limite di resistenza al fuoco

SND = Stato limite di salvaguardia della vita (non dissipativo)

An. = Tipo di analisi

L = Lineare

NL = Non lineare

Bk = Buckling

S = Si

N = No

CC	Comm.	TCC	An.	Bk	1	2	3	4	5	6	7	8	9	Mt	±S X	±S Y
1	Amb. 1 (SLU S) S Mt+X+0.3Y	SLV+SND	L	N	1.00	1.00	1.00	0.00	0.20	0.00	1.00	0.00	0.00	1.00	1.00	0.30
2	Amb. 1 (SLE) S Mt+X+0.3Y	SLD	L	N	1.00	1.00	1.00	0.00	0.20	0.00	1.00	0.00	0.00	1.00	1.00	0.30
3	Amb. 1 (SLE) S Mt+X+0.3Y	SLO	L	N	1.00	1.00	1.00	0.00	0.20	0.00	1.00	0.00	0.00	1.00	1.00	0.30
4	Amb. 1 (SLU S) S Mt+X-0.3Y	SLV+SND	L	N	1.00	1.00	1.00	0.00	0.20	0.00	1.00	0.00	0.00	1.00	1.00	-0.30
5	Amb. 1 (SLE) S Mt+X-0.3Y	SLD	L	N	1.00	1.00	1.00	0.00	0.20	0.00	1.00	0.00	0.00	1.00	1.00	-0.30
6	Amb. 1 (SLE) S Mt+X-0.3Y	SLO	L	N	1.00	1.00	1.00	0.00	0.20	0.00	1.00	0.00	0.00	1.00	1.00	-0.30
7	Amb. 1 (SLU S) S Mt+0.3X+Y	SLV+SND	L	N	1.00	1.00	1.00	0.00	0.20	0.00	1.00	0.00	0.00	1.00	0.30	1.00
8	Amb. 1 (SLE) S Mt+0.3X+Y	SLD	L	N	1.00	1.00	1.00	0.00	0.20	0.00	1.00	0.00	0.00	1.00	0.30	1.00
9	Amb. 1 (SLE) S Mt+0.3X+Y	SLO	L	N	1.00	1.00	1.00	0.00	0.20	0.00	1.00	0.00	0.00	1.00	0.30	1.00
10	Amb. 1 (SLU S) S Mt-0.3X+Y	SLV+SND	L	N	1.00	1.00	1.00	0.00	0.20	0.00	1.00	0.00	0.00	1.00	-0.30	1.00
11	Amb. 1 (SLE) S Mt-0.3X+Y	SLD	L	N	1.00	1.00	1.00	0.00	0.20	0.00	1.00	0.00	0.00	1.00	-0.30	1.00
12	Amb. 1 (SLE) S Mt-0.3X+Y	SLO	L	N	1.00	1.00	1.00	0.00	0.20	0.00	1.00	0.00	0.00	1.00	-0.30	1.00
13	Amb. 1 (SLU S) S -Mt+X+0.3Y	SLV+SND	L	N	1.00	1.00	1.00	0.00	0.20	0.00	1.00	0.00	0.00	-1.00	1.00	0.30
14	Amb. 1 (SLE) S -Mt+X+0.3Y	SLD	L	N	1.00	1.00	1.00	0.00	0.20	0.00	1.00	0.00	0.00	-1.00	1.00	0.30
15	Amb. 1 (SLE) S -Mt+X+0.3Y	SLO	L	N	1.00	1.00	1.00	0.00	0.20	0.00	1.00	0.00	0.00	-1.00	1.00	0.30
16	Amb. 1 (SLU S) S -Mt+X-0.3Y	SLV+SND	L	N	1.00	1.00	1.00	0.00	0.20	0.00	1.00	0.00	0.00	-1.00	1.00	-0.30
17	Amb. 1 (SLE) S -Mt+X-0.3Y	SLD	L	N	1.00	1.00	1.00	0.00	0.20	0.00	1.00	0.00	0.00	-1.00	1.00	-0.30
18	Amb. 1 (SLE) S -Mt+X-0.3Y	SLO	L	N	1.00	1.00	1.00	0.00	0.20	0.00	1.00	0.00	0.00	-1.00	1.00	-0.30
19	Amb. 1 (SLU S) S -Mt+0.3X+Y	SLV+SND	L	N	1.00	1.00	1.00	0.00	0.20	0.00	1.00	0.00	0.00	-1.00	0.30	1.00
20	Amb. 1 (SLE) S -Mt+0.3X+Y	SLD	L	N	1.00	1.00	1.00	0.00	0.20	0.00	1.00	0.00	0.00	-1.00	0.30	1.00
21	Amb. 1 (SLE) S -Mt+0.3X+Y	SLO	L	N	1.00	1.00	1.00	0.00	0.20	0.00	1.00	0.00	0.00	-1.00	0.30	1.00
22	Amb. 1 (SLU S) S -Mt-0.3X+Y	SLV+SND	L	N	1.00	1.00	1.00	0.00	0.20	0.00	1.00	0.00	0.00	-1.00	-0.30	1.00
23	Amb. 1 (SLE) S -Mt-0.3X+Y	SLD	L	N	1.00	1.00	1.00	0.00	0.20	0.00	1.00	0.00	0.00	-1.00	-0.30	1.00
24	Amb. 1 (SLE) S -Mt-0.3X+Y	SLO	L	N	1.00	1.00	1.00	0.00	0.20	0.00	1.00	0.00	0.00	-1.00	-0.30	1.00
25	Amb. 2 (SLU)	SLU	L	N	1.30	1.30	1.50	1.50	1.50	1.50	1.50	0.00	0.00	0.00	0.00	0.00
26	Amb. 2 (SLE R)	SLE R	L	N	1.00	1.00	1.00	1.00	1.00	1.00	1.00	0.00	0.00	0.00	0.00	0.00
27	Amb. 2 (SLE F)	SLE F	L	N	1.00	1.00	1.00	0.00	0.50	0.50	1.00	0.00	0.00	0.00	0.00	0.00
28	Amb. 2 (SLE Q)	SLE Q	L	N	1.00	1.00	1.00	0.00	0.20	0.00	1.00	0.00	0.00	0.00	0.00	0.00
29	Amb. 3 (SLU)	SLU	L	N	1.30	1.30	1.50	1.50	1.50	1.50	1.50	0.00	0.00	0.00	0.00	0.00

Relazione di calcolo

30	Amb. 3 (SLU)	SLU	L	N	1.30	1.30	1.50	1.50	1.50	1.50	1.50	0.90	0.00	0.00	0.00	0.00
31	Amb. 3 (SLE R)	SLE R	L	N	1.00	1.00	1.00	1.00	1.00	1.00	1.00	1.00	0.00	0.00	0.00	0.00
32	Amb. 3 (SLE R)	SLE R	L	N	1.00	1.00	1.00	1.00	1.00	1.00	1.00	0.60	0.00	0.00	0.00	0.00
33	Amb. 3 (SLE F)	SLE F	L	N	1.00	1.00	1.00	0.00	0.50	0.50	1.00	0.20	0.00	0.00	0.00	0.00
34	Amb. 3 (SLE F)	SLE F	L	N	1.00	1.00	1.00	0.00	0.50	0.50	1.00	0.00	0.00	0.00	0.00	0.00
35	Amb. 3 (SLE Q)	SLE Q	L	N	1.00	1.00	1.00	0.00	0.20	0.00	1.00	0.00	0.00	0.00	0.00	0.00
36	Amb. 4 (SLU)	SLU	L	N	1.30	1.30	1.50	1.50	1.50	1.50	1.50	0.00	1.50	0.00	0.00	0.00
37	Amb. 4 (SLU)	SLU	L	N	1.30	1.30	1.50	1.50	1.50	1.50	1.50	0.00	0.90	0.00	0.00	0.00
38	Amb. 4 (SLE R)	SLE R	L	N	1.00	1.00	1.00	1.00	1.00	1.00	1.00	0.00	1.00	0.00	0.00	0.00
39	Amb. 4 (SLE R)	SLE R	L	N	1.00	1.00	1.00	1.00	1.00	1.00	1.00	0.00	0.60	0.00	0.00	0.00
40	Amb. 4 (SLE F)	SLE F	L	N	1.00	1.00	1.00	0.00	0.50	0.50	1.00	0.00	0.20	0.00	0.00	0.00
41	Amb. 4 (SLE F)	SLE F	L	N	1.00	1.00	1.00	0.00	0.50	0.50	1.00	0.00	0.00	0.00	0.00	0.00
42	Amb. 4 (SLE Q)	SLE Q	L	N	1.00	1.00	1.00	0.00	0.20	0.00	1.00	0.00	0.00	0.00	0.00	0.00

Elenco baricentri e masse impalcati

Simbologia

Imp. = Numero dell'impalcato
 X = Coordinata X
 Y = Coordinata Y
 Z = Coordinata Z
 Mo = Massa orizzontale
 Jpz = Massa rotazionale intorno all'asse Z

Imp.	X <m>	Y <m>	Z <m>	Mo <kg>	Jpz <kg*mq>
1	6.63	2.05	3.80	64567.80	1319240.00

Totali masse impalcati

Mo <kg>	Jpz <kg*mq>
64567.80	1319240.00

Elenco forze sismiche di impalcato allo SLO

Simbologia

Imp. = Numero dell'impalcato
 cx = Coeff. c in dir. X
 cy = Coeff. c in dir. Y
 Mz = Momento intorno all'asse Z

Imp.	cx	cy	Mz <daNm>
1	1.00	1.00	8014.39

Totali forze sismiche

Mz <daNm>
8014.39

Elenco forze sismiche di impalcato allo SLD

Imp.	cx	cy	Mz <daNm>
1	1.00	1.00	6788.08

Totali forze sismiche

Mz <daNm>
6788.08

Elenco forze sismiche di impalcato allo SLV

Imp.	cx	cy	Mz <daNm>
1	1.00	1.00	9684.09

Totali forze sismiche

Mz <daNm>
9684.09

Elenco forze sismiche di impalcato allo SND

Imp.	cx	cy	Mz <daNm>
1	1.00	1.00	13939.00

Totali forze sismiche

Mz

Relazione di calcolo

<daNm>
13939.00

Elenco modi di vibrare, masse partecipanti e coefficienti di partecipazione

Simbologia

Modo = Numero del modo di vibrare
 C = * indica che il modo è stato considerato
 T = Periodo
 Diff. = Minima differenza percentuale dagli altri periodi
 Φ_x = Coefficiente di partecipazione in dir. X
 Φ_y = Coefficiente di partecipazione in dir. Y
 Φ_z = Coefficiente di partecipazione in dir. Z
 %Mx = Percentuale massa partecipante in dir. X
 %My = Percentuale massa partecipante in dir. Y
 %Mz = Percentuale massa partecipante in dir. Z
 %Jpz = Percentuale momento d'inerzia polare partecipante intorno all'asse Z

Modo	C	T	Diff.	Φ_x	Φ_y	Φ_z	%Mx	%My	%Mz	%Jpz
1	*	0.14	5.77	80.35	0.00	0.00	100.00	0.00	0.00	0.00
2	*	0.13	5.77	0.00	-80.35	0.00	0.00	100.00	0.00	0.00
3	*	0.09	38.06	0.00	-0.05	0.00	0.00	0.00	0.00	100.00
Tot.cons.							100.00	100.00	0.00	100.00

Elenco coefficienti di risposta

Simbologia

Modo = Numero del modo di vibrare
 Sx = Coefficiente di risposta (moltiplicato per 100) in dir. X
 Sy = Coefficiente di risposta (moltiplicato per 100) in dir. Y

Stato limite di operatività

Modo	Sx	Sy
1	17.12	17.12
2	16.62	16.62
3	14.22	14.22

Stato limite di danno

Modo	Sx	Sy
1	14.50	14.50
2	14.23	14.23
3	12.94	12.94

Stato limite di salvaguardia della vita

Modo	Sx	Sy
1	20.68	20.68
2	20.63	20.63
3	20.36	20.36

Domanda in duttilità di curvatura

Direzione X $\mu_{Edx}=18.04$

Direzione Y $\mu_{Edy}=19.01$

Spostamenti relativi massimi allo stato limite di operatività

Simbologia

N1 = Nod1
 N2 = Nod2
 h = Altezza teorica
 δ = Spostamento relativo
 δ/h = Rapporto (moltiplicato per 1000) tra lo spostamento relativo e l'altezza
 CC = Numero della combinazione delle condizioni di carico elementari

I valori degli spostamenti relativi per CC di tipo sismico sono amplificati come da normativa

N1	N2	h	δ	δ/h	CC	N1	N2	h	δ	δ/h	CC	N1	N2	h	δ	δ/h	CC
		<m>	<cm>					<m>	<cm>					<m>	<cm>		
1	-3	0.28	0.00	0.06	9	-3	101	3.52	0.09	0.25	6	2	-4	0.28	0.00	0.08	12
3	-5	0.28	0.00	0.08	21	-5	103	3.52	0.09	0.24	3	4	-6	0.28	0.00	0.06	24
13	-15	0.28	0.00	0.06	24	-15	113	3.52	0.09	0.25	15	14	-16	0.28	0.00	0.08	21
15	-17	0.28	0.00	0.08	12	-17	115	3.52	0.09	0.24	18	16	-18	0.28	0.00	0.06	9

Min = 0.06

Max = 0.25

Reazioni vincolari

Relazione di calcolo

Simbologia

Nodo = Numero del nodo
 CC = Numero della combinazione delle condizioni di carico elementari
 TCC = Tipo di combinazione di carico
 SLU = Stato limite ultimo
 SLU S = Stato limite ultimo (azione sismica)
 SLE R = Stato limite d'esercizio, combinazione rara
 SLE F = Stato limite d'esercizio, combinazione frequente
 SLE Q = Stato limite d'esercizio, combinazione quasi permanente
 SLD = Stato limite di danno
 SLV = Stato limite di salvaguardia della vita
 SLC = Stato limite di prevenzione del collasso
 SLO = Stato limite di operatività
 SLU I = Stato limite di resistenza al fuoco
 SND = Stato limite di salvaguardia della vita (non dissipativo)
 Fx = Reazione vincolare (forza) in dir. X
 Fy = Reazione vincolare (forza) in dir. Y
 Fz = Reazione vincolare (forza) in dir. Z
 Mx = Reazione vincolare (momento) intorno all'asse X
 My = Reazione vincolare (momento) intorno all'asse Y
 Mz = Reazione vincolare (momento) intorno all'asse Z

Nodo	CC	TCC	Fx <daN>	CC	TCC	Fy <daN>	CC	TCC	Fz <daN>	CC	TCC	Mx <daNm>	CC	TCC	My <daNm>	CC	TCC	Mz <daNm>	
1	Max	13	SND	1384.64	7	SND	4874.50	36	SND	11410.80	19	SND	6986.91	13	SND	2614.35	19	SND	38.01
1	Min	1	SND	-1079.67	19	SND	-2933.11	19	SND	2711.73	7	SND	-9339.20	7	SND	-2235.88	1	SND	-38.01
2	Max	13	SND	3594.63	36	SND	3362.59	36	SND	16508.00	19	SND	1157.76	13	SND	7942.33	19	SND	38.01
2	Min	1	SND	-3707.36	19	SND	-294.56	19	SND	8528.85	36	SND	-3914.33	7	SND	-8078.27	1	SND	-38.01
3	Max	13	SND	3710.89	36	SND	3415.90	36	SND	16473.50	7	SND	1163.52	13	SND	8082.69	19	SND	38.01
3	Min	1	SND	-3606.78	7	SND	-299.14	7	SND	8490.74	36	SND	-4021.10	7	SND	-7955.90	1	SND	-38.01
4	Max	13	SND	1089.48	36	SND	4979.39	36	SND	11115.30	7	SND	6980.41	13	SND	2248.08	19	SND	38.01
4	Min	1	SND	-1385.83	7	SND	-2933.06	7	SND	2671.41	19	SND	-9315.48	7	SND	-2615.53	1	SND	-38.01
13	Max	1	SND	1384.64	7	SND	2933.11	29	SND	9701.55	19	SND	9339.20	1	SND	2614.35	19	SND	38.01
13	Min	13	SND	-1079.67	19	SND	-4874.50	7	SND	2711.73	7	SND	-6986.91	13	SND	-2235.88	1	SND	-38.01
14	Max	1	SND	3594.63	7	SND	294.56	36	SND	16216.40	19	SND	3456.05	1	SND	7942.33	19	SND	38.01
14	Min	13	SND	-3707.36	19	SND	-2147.29	7	SND	8528.85	7	SND	-1157.76	13	SND	-8078.27	1	SND	-38.01
15	Max	1	SND	3710.89	36	SND	310.01	36	SND	16092.40	7	SND	3450.51	1	SND	8082.69	19	SND	38.01
15	Min	13	SND	-3606.78	7	SND	-2142.77	19	SND	8490.74	19	SND	-1163.52	13	SND	-7955.90	1	SND	-38.01
16	Max	1	SND	1089.48	19	SND	2933.06	7	SND	9650.01	7	SND	9315.48	1	SND	2248.08	19	SND	38.01
16	Min	13	SND	-1385.83	7	SND	-4860.24	19	SND	2671.41	19	SND	-6980.41	13	SND	-2615.53	1	SND	-38.01

Sollecitazioni aste

Simbologia

Asta = Numero dell'asta
 N1 = Nodo1
 N2 = Nodo2
 X = Coordinata progressiva rispetto al nodo iniziale
 N = Sforzo normale
 CC = Numero della combinazione delle condizioni di carico elementari
 Ty = Taglio in dir. Y
 Mz = Momento flettente intorno all'asse Z
 Tz = Taglio in dir. Z
 My = Momento flettente intorno all'asse Y
 Mx = Momento torcente intorno all'asse X

Tipo di combinazione di carico: SLV

Asta	N1	N2	X <cm>	N <daN>	CC	Ty <daN>	CC	Mz <daNm>	CC	Tz <daN>	CC	My <daNm>	CC	Mx <daNm>	CC	
1	1	-3	Max	0.00	-3745.10	19	703.57	1	1874.10	13	1780.25	19	6928.53	7	26.42	7
1	1	-3	Max	28.00	-3619.10	19	703.56	1	1591.71	13	1780.25	19	5886.47	7	26.42	7
1	1	-3	Min.	0.00	-8657.81	7	-1008.54	13	-1495.62	1	-3721.64	7	-4576.24	19	-26.42	19
1	1	-3	Min.	28.00	-8531.81	7	-1008.54	13	-1298.63	1	-3721.64	7	-4077.77	19	-26.42	19
1	-3	101	Max	0.00	-3619.10	19	703.57	1	1591.71	13	1780.25	19	5886.47	7	26.42	7
1	-3	101	Max	312.00	-2215.10	19	703.57	1	896.50	1	1780.25	19	1476.60	19	26.42	7
1	-3	101	Min.	0.00	-8531.81	7	-1008.54	13	-1298.63	1	-3721.64	7	-4077.77	19	-26.42	19
1	-3	101	Min.	312.00	-7127.81	7	-1008.54	13	-1554.93	13	-3721.64	7	-5725.05	7	-26.42	19
2	2	-4	Max	0.00	-8904.65	19	1787.74	7	478.41	19	2592.90	1	5497.20	13	26.42	7
2	2	-4	Max	28.00	-8778.65	19	1787.74	7	496.60	19	2592.90	1	4802.75	13	26.42	7
2	2	-4	Min.	0.00	-10698.50	7	64.99	19	-2776.69	7	-2480.17	13	-5633.14	1	-26.42	19
2	2	-4	Min.	28.00	-10572.50	7	64.99	19	-2276.13	7	-2480.17	13	-4907.13	1	-26.42	19
2	-4	102	Max	0.00	-8778.65	19	1787.74	7	496.60	19	2592.90	1	4802.75	13	26.42	7
2	-4	102	Max	312.00	-7374.65	19	1787.75	7	3301.64	7	2592.91	1	3182.74	1	26.42	7
2	-4	102	Min.	0.00	-10572.50	7	64.99	19	-2276.13	7	-2480.17	13	-4907.13	1	-26.42	19
2	-4	102	Min.	312.00	-9168.50	7	64.99	19	699.37	19	-2480.18	13	-2935.40	13	-26.42	19
3	3	-5	Max	0.00	-8865.11	7	1783.20	19	484.11	7	2489.93	1	5634.81	13	26.42	7
3	3	-5	Max	28.00	-8739.11	7	1783.21	19	501.03	7	2489.94	1	4908.48	13	26.42	7
3	3	-5	Min.	0.00	-10652.40	19	60.43	7	-2771.10	19	-2594.04	13	-5508.02	1	-26.42	19

Relazione di calcolo

3	3	-5	Min.	28.00	-10526.40	19	60.42	7	-2271.81	19	-2594.04	13	-4810.84	1	-26.42	19
3	-5	103	Max	0.00	-8739.11	7	1783.20	19	501.03	7	2489.93	1	4908.48	13	26.42	7
3	-5	103	Max	312.00	-7335.11	7	1783.20	19	3291.78	19	2489.93	1	2957.77	1	26.42	7
3	-5	103	Min.	0.00	-10526.40	19	60.43	7	-2271.81	19	-2594.04	13	-4810.84	1	-26.42	19
3	-5	103	Min.	312.00	-9122.40	19	60.43	7	689.56	7	-2594.04	13	-3184.94	13	-26.42	19
4	4	-6	Max	0.00	-3704.71	7	1008.04	1	1505.78	13	1782.32	7	6909.28	19	26.42	7
4	4	-6	Max	28.00	-3578.71	7	1008.05	1	1306.51	13	1782.32	7	5870.62	19	26.42	7
4	4	-6	Min.	0.00	-8616.72	19	-711.70	13	-1873.23	1	-3709.50	19	-4574.21	7	-26.42	19
4	4	-6	Min.	28.00	-8490.72	19	-711.70	13	-1590.98	1	-3709.50	19	-4075.16	7	-26.42	19
4	-6	104	Max	0.00	-3578.71	7	1008.04	1	1306.51	13	1782.32	7	5870.62	19	26.42	7
4	-6	104	Max	312.00	-2174.71	7	1008.04	1	1554.12	1	1782.32	7	1485.66	7	26.42	7
4	-6	104	Min.	0.00	-8490.72	19	-711.70	13	-1590.98	1	-3709.50	19	-4075.16	7	-26.42	19
4	-6	104	Min.	312.00	-7086.72	19	-711.70	13	-913.99	13	-3709.50	19	-5703.02	19	-26.42	19
13	13	-15	Max	0.00	-3745.10	7	703.57	13	1874.10	1	3721.64	19	4576.24	7	26.42	7
13	13	-15	Max	28.00	-3619.10	7	703.56	13	1591.71	1	3721.64	19	4077.77	7	26.42	7
13	13	-15	Min.	0.00	-8657.81	19	-1008.54	1	-1495.62	13	-1780.25	7	-6928.53	19	-26.42	19
13	13	-15	Min.	28.00	-8531.81	19	-1008.54	1	-1298.63	13	-1780.25	7	-5886.47	19	-26.42	19
13	-15	113	Max	0.00	-3619.10	7	703.57	13	1591.71	1	3721.64	19	4077.77	7	26.42	7
13	-15	113	Max	312.00	-2215.10	7	703.57	13	896.50	13	3721.64	19	5725.05	19	26.42	7
13	-15	113	Min.	0.00	-8531.81	19	-1008.54	1	-1298.63	13	-1780.25	7	-5886.47	19	-26.42	19
13	-15	113	Min.	312.00	-7127.81	19	-1008.54	1	-1554.93	1	-1780.25	7	-1476.60	7	-26.42	19
14	14	-16	Max	0.00	-8904.65	7	-64.99	7	2776.69	19	2592.90	13	5497.20	1	26.42	7
14	14	-16	Max	28.00	-8778.65	7	-64.99	7	2276.13	19	2592.90	13	4802.75	1	26.42	7
14	14	-16	Min.	0.00	-10698.50	19	-1787.74	19	-478.41	7	-2480.17	1	-5633.14	13	-26.42	19
14	14	-16	Min.	28.00	-10572.50	19	-1787.74	19	-496.60	7	-2480.17	1	-4907.13	13	-26.42	19
14	-16	114	Max	0.00	-8778.65	7	-64.99	7	2276.13	19	2592.90	13	4802.75	1	26.42	7
14	-16	114	Max	312.00	-7374.65	7	-64.99	7	-699.37	7	2592.91	13	3182.74	13	26.42	7
14	-16	114	Min.	0.00	-10572.50	19	-1787.74	19	-496.60	7	-2480.17	1	-4907.13	13	-26.42	19
14	-16	114	Min.	312.00	-9168.50	19	-1787.75	19	-3301.64	19	-2480.18	1	-2935.40	1	-26.42	19
15	15	-17	Max	0.00	-8865.11	19	-60.43	19	2771.10	7	2489.93	13	5634.81	1	26.42	7
15	15	-17	Max	28.00	-8739.11	19	-60.42	19	2271.81	7	2489.94	13	4908.48	1	26.42	7
15	15	-17	Min.	0.00	-10652.40	7	-1783.20	7	-484.11	19	-2594.04	1	-5508.02	13	-26.42	19
15	15	-17	Min.	28.00	-10526.40	7	-1783.21	7	-501.03	19	-2594.04	1	-4810.84	13	-26.42	19
15	-17	115	Max	0.00	-8739.11	19	-60.43	19	2271.81	7	2489.93	13	4908.48	1	26.42	7
15	-17	115	Max	312.00	-7335.11	19	-60.43	19	-689.56	19	2489.93	13	2957.77	13	26.42	7
15	-17	115	Min.	0.00	-10526.40	7	-1783.20	7	-501.03	19	-2594.04	1	-4810.84	13	-26.42	19
15	-17	115	Min.	312.00	-9122.40	7	-1783.20	7	-3291.78	7	-2594.04	1	-3184.94	1	-26.42	19
16	16	-18	Max	0.00	-3704.71	19	1008.04	13	1505.78	1	3709.50	7	4574.21	19	26.42	7
16	16	-18	Max	28.00	-3578.71	19	1008.05	13	1306.51	1	3709.50	7	4075.16	19	26.42	7
16	16	-18	Min.	0.00	-8616.72	7	-711.70	1	-1873.23	13	-1782.32	19	-6909.28	7	-26.42	19
16	16	-18	Min.	28.00	-8490.72	7	-711.70	1	-1590.98	13	-1782.32	19	-5870.62	7	-26.42	19
16	-18	116	Max	0.00	-3578.71	19	1008.04	13	1306.51	1	3709.50	7	4075.16	19	26.42	7
16	-18	116	Max	312.00	-2174.71	19	1008.04	13	1554.12	13	3709.50	7	5703.02	7	26.42	7
16	-18	116	Min.	0.00	-8490.72	7	-711.70	1	-1590.98	13	-1782.32	19	-5870.62	7	-26.42	19
16	-18	116	Min.	312.00	-7086.72	7	-711.70	1	-913.99	1	-1782.32	19	-1485.66	19	-26.42	19
101	101	102	Max	15.00	0.00	1	0.00	1	0.00	1	1483.85	13	1166.33	1	-120.68	19
101	101	102	Max	16.25									1076.92	13		
101	101	102	Max	415.00	0.00	1	0.00	1	0.00	1	-116.14	13	1013.96	13	-120.68	19
101	101	102	Min.	15.00	0.00	1	0.00	1	0.00	1	-41.94	1	-1721.46	13	-243.29	7
101	101	102	Min.	16.25									-1702.94	13		
101	101	102	Min.	415.00	0.00	1	0.00	1	0.00	1	-1641.94	1	-2201.43	1	-243.29	7
101	102	103	Max	30.00	0.00	1	0.00	1	0.00	7	1770.65	13	1436.13	1	7.39	19
101	102	103	Max	301.75									375.32	19		
101	102	103	Max	410.00	0.00	1	0.00	1	0.00	7	250.65	13	1438.71	13	7.39	19
101	102	103	Min.	30.00	0.00	1	0.00	1	0.00	7	-248.58	1	-2401.98	13	-4.81	7
101	102	103	Min.	138.39									-106.49	7		
101	102	103	Min.	410.00	0.00	1	0.00	1	0.00	7	-1768.58	1	-2396.71	1	-4.81	7
101	103	104	Max	30.00	0.00	1	0.00	7	0.00	7	1646.64	13	1039.43	1	245.28	19
101	103	104	Max	310.78									466.26	19		
101	103	104	Max	425.00	0.00	1	0.00	7	0.00	7	66.64	13	1183.53	13	245.28	19
101	103	104	Min.	30.00	0.00	1	0.00	7	0.00	7	91.43	1	-2200.20	13	121.72	7
101	103	104	Min.	310.78									133.50	19		
101	103	104	Min.	425.00	0.00	1	0.00	7	0.00	7	-1488.57	1	-1719.91	1	121.72	7
102	113	114	Max	15.00	0.00	1	0.00	1	0.00	1	1483.85	1	1166.33	13	243.29	19
102	113	114	Max	16.25									1076.92	1		
102	113	114	Max	415.00	0.00	1	0.00	1	0.00	1	-116.14	1	1013.96	1	243.29	19
102	113	114	Min.	15.00	0.00	1	0.00	1	0.00	1	-41.94	13	-1721.46	1	120.68	7
102	113	114	Min.	16.25									-1702.94	1		
102	113	114	Min.	415.00	0.00	1	0.00	1	0.00	1	-1641.94	13	-2201.43	13	120.68	7
102	114	115	Max	30.00	0.00	1	0.00	1	0.00	7	1770.65	1	1436.13	13	4.81	19
102	114	115	Max	301.75									375.32	7		
102	114	115	Max	410.00	0.00	1	0.00	1	0.00	7	250.65	1	1438.71	1	4.81	19
102	114	115	Min.	30.00	0.00	1	0.00	1	0.00	7	-248.58	13	-2401.98	1	-7.39	7
102	114	115	Min.	138.39									-106.49	19		
102	114	115	Min.	410.00	0.00	1	0.00	1	0.00	7	-1768.58	13	-2396.71	13	-7.39	7
102	115	116	Max	30.00	0.00	1	0.00	7	0.00	7	1646.64	1	1039.43	13	-121.72	19
102	115	116	Max	310.78									466.26	7		
102	115	116	Max	425.00	0.00	1	0.00	7	0.00	7	66.64	1	1183.53	1	-121.72	19
102	115	116	Min.	30.00	0.00	1	0.00	7	0.00	7	91.43	13	-2200.20	1	-245.28	7

Relazione di calcolo

15	15	-17	Max	0.00	-8490.74	19	299.14	19	3450.51	7	3606.78	13	8082.69	1	38.01	7
15	15	-17	Max	28.00	-8364.74	19	299.14	19	2850.54	7	3606.79	13	7043.65	1	38.01	7
15	15	-17	Min.	0.00	-11026.80	7	-2142.77	7	-1163.52	19	-3710.89	1	-7955.90	13	-38.01	19
15	15	-17	Min.	28.00	-10900.80	7	-2142.77	7	-1079.76	19	-3710.90	1	-6946.00	13	-38.01	19
15	-17	115	Max	0.00	-8364.74	19	299.14	19	2850.54	7	3606.78	13	7043.65	1	38.01	7
15	-17	115	Max	312.00	-6960.74	19	299.14	19	-146.45	19	3606.78	13	4307.18	13	38.01	7
15	-17	115	Min.	0.00	-10900.80	7	-2142.77	7	-1079.76	19	-3710.89	1	-6946.00	13	-38.01	19
15	-17	115	Min.	312.00	-9496.77	7	-2142.76	7	-3834.89	7	-3710.89	1	-4534.35	1	-38.01	19
16	16	-18	Max	0.00	-2671.41	19	1385.83	13	2248.08	1	4860.24	7	6980.41	19	38.01	7
16	16	-18	Max	28.00	-2545.41	19	1385.84	13	1943.03	1	4860.24	7	6159.15	19	38.01	7
16	16	-18	Min.	0.00	-9650.01	7	-1089.48	1	-2615.53	13	-2933.06	19	-9315.48	7	-38.01	19
16	16	-18	Min.	28.00	-9524.01	7	-1089.49	1	-2227.50	13	-2933.06	19	-7954.61	7	-38.01	19
16	-18	116	Max	0.00	-2545.41	19	1385.83	13	1943.03	1	4860.24	7	6159.15	19	38.01	7
16	-18	116	Max	312.00	-1141.41	19	1385.83	13	2096.29	13	4860.24	7	7209.34	7	38.01	7
16	-18	116	Min.	0.00	-9524.01	7	-1089.48	1	-2227.50	13	-2933.06	19	-7954.61	7	-38.01	19
16	-18	116	Min.	312.00	-8120.01	7	-1089.48	1	-1456.16	1	-2933.06	19	-2991.99	19	-38.01	19
101	101	102	Max	15.00	0.00	1	0.00	1	0.00	1	1819.02	13	1800.68	1	-94.88	19
101	101	102	Max	105.19									564.54	7		
101	101	102	Max	415.00	0.00	1	0.00	1	0.00	1	219.02	13	1720.27	13	-94.88	19
101	101	102	Min.	15.00	0.00	1	0.00	1	0.00	1	-377.11	1	-2355.81	13	-269.09	7
101	101	102	Min.	105.19									-78.42	7		
101	101	102	Min.	415.00	0.00	1	0.00	1	0.00	1	-1977.11	1	-2907.75	1	-269.09	7
101	102	103	Max	30.00	0.00	1	0.00	1	0.00	7	2214.24	13	2279.30	1	10.07	19
101	102	103	Max	336.91									518.27	19		
101	102	103	Max	410.00	0.00	1	0.00	1	0.00	7	694.24	13	2281.29	13	10.07	19
101	102	103	Min.	30.00	0.00	1	0.00	1	0.00	7	-692.17	1	-3245.15	13	-7.49	7
101	102	103	Min.	103.14									-472.58	7		
101	102	103	Min.	410.00	0.00	1	0.00	1	0.00	7	-2212.17	1	-3239.29	1	-7.49	7
101	103	104	Max	30.00	0.00	1	0.00	7	0.00	7	1988.27	13	1751.07	1	271.29	19
101	103	104	Max	338.67									562.29	19		
101	103	104	Max	425.00	0.00	1	0.00	7	0.00	7	408.27	13	1821.32	13	271.29	19
101	103	104	Min.	30.00	0.00	1	0.00	7	0.00	7	-250.19	1	-2911.84	13	95.72	7
101	103	104	Min.	338.67									-100.72	19		
101	103	104	Min.	425.00	0.00	1	0.00	7	0.00	7	-1830.19	1	-2357.70	1	95.72	7
102	113	114	Max	15.00	0.00	1	0.00	1	0.00	1	1819.02	1	1800.68	13	269.09	19
102	113	114	Max	105.20									564.54	19		
102	113	114	Max	415.00	0.00	1	0.00	1	0.00	1	219.02	1	1720.27	1	269.09	19
102	113	114	Min.	15.00	0.00	1	0.00	1	0.00	1	-377.11	13	-2355.81	1	94.88	7
102	113	114	Min.	105.20									-78.37	19		
102	113	114	Min.	415.00	0.00	1	0.00	1	0.00	1	-1977.11	13	-2907.75	13	94.88	7
102	114	115	Max	30.00	0.00	1	0.00	1	0.00	7	2214.23	1	2279.30	13	7.49	19
102	114	115	Max	336.92									518.27	7		
102	114	115	Max	410.00	0.00	1	0.00	1	0.00	7	694.24	1	2281.29	1	7.49	19
102	114	115	Min.	30.00	0.00	1	0.00	1	0.00	7	-692.17	13	-3245.15	1	-10.07	7
102	114	115	Min.	103.14									-472.58	19		
102	114	115	Min.	410.00	0.00	1	0.00	1	0.00	7	-2212.17	13	-3239.29	13	-10.07	7
102	115	116	Max	30.00	0.00	1	0.00	7	0.00	7	1988.27	1	1751.07	13	-95.72	19
102	115	116	Max	338.67									562.29	7		
102	115	116	Max	425.00	0.00	1	0.00	7	0.00	7	408.27	1	1821.32	1	-95.72	19
102	115	116	Min.	30.00	0.00	1	0.00	7	0.00	7	-250.19	13	-2911.84	1	-271.29	7
102	115	116	Min.	338.67									-100.72	7		
102	115	116	Min.	425.00	0.00	1	0.00	7	0.00	7	-1830.19	13	-2357.70	13	-271.29	7
103	101	113	Max	45.00	0.00	1	0.00	1	0.00	1	6107.85	7	4294.91	19	17.99	19
103	101	113	Max	272.30									1882.61	1		
103	101	113	Max	365.00	0.00	1	0.00	1	0.00	1	315.85	7	4294.91	7	17.99	19
103	101	113	Min.	45.00	0.00	1	0.00	1	0.00	1	-315.85	19	-5983.01	7	-17.99	7
103	101	113	Min.	135.62									696.51	13		
103	101	113	Min.	365.00	0.00	1	0.00	1	0.00	1	-6107.85	19	-5983.02	19	-17.99	7
104	102	114	Max	15.00	0.00	13	0.00	1	0.00	1	6933.07	7	577.84	19	23.34	19
104	102	114	Max	166.19									4040.70	19		
104	102	114	Max	395.00	0.00	13	0.00	1	0.00	1	-4580.93	7	577.85	7	23.34	19
104	102	114	Min.	15.00	0.00	1	0.00	1	0.00	1	4580.93	19	-3891.22	7	-23.34	7
104	102	114	Min.	166.19									3166.10	19		
104	102	114	Min.	395.00	0.00	1	0.00	1	0.00	1	-6933.07	19	-3891.22	19	-23.34	7
105	103	115	Max	15.00	0.00	13	0.00	1	0.00	1	6904.93	19	586.81	7	23.62	19
105	103	115	Max	165.98									4023.18	7		
105	103	115	Max	395.00	0.00	13	0.00	1	0.00	1	-4552.06	19	586.81	19	23.62	19
105	103	115	Min.	15.00	0.00	1	0.00	1	0.00	1	4552.07	7	-3883.64	19	-23.62	7
105	103	115	Min.	165.98									3144.31	7		
105	103	115	Min.	395.00	0.00	1	0.00	1	0.00	1	-6904.93	7	-3883.64	7	-23.62	7
106	104	116	Max	45.00	0.00	1	0.00	1	0.00	1	6077.63	19	4292.54	7	18.12	19
106	104	116	Max	272.73									1872.81	13		
106	104	116	Max	365.00	0.00	1	0.00	1	0.00	1	333.63	19	4292.54	19	18.12	19
106	104	116	Min.	45.00	0.00	1	0.00	1	0.00	1	-333.63	7	-5965.47	19	-18.12	7
106	104	116	Min.	135.09									679.88	1		
106	104	116	Min.	365.00	0.00	1	0.00	1	0.00	1	-6077.63	7	-5965.47	7	-18.12	7

Tipo di combinazione di carico: SLD

Relazione di calcolo

Asta	N1	N2		X <cm>	N <daN>	CC	Ty <daN>	CC	Mz <daNm>	CC	Tz <daN>	CC	My <daNm>	CC	Mx <daNm>	CC
1	1	-3	Max	0.00	-4502.07	20	447.56	2	1370.23	14	930.33	20	5151.28	8	18.51	8
1	1	-3	Max	28.00	-4376.07	20	447.56	2	1159.53	14	930.32	20	4347.20	8	18.51	8
1	1	-3	Min.	0.00	-7900.84	8	-752.53	14	-991.76	2	-2871.72	8	-2798.99	20	-18.51	20
1	1	-3	Min.	28.00	-7774.84	8	-752.53	14	-866.44	2	-2871.72	8	-2538.50	20	-18.51	20
1	-3	101	Max	0.00	-4376.07	20	447.56	2	1159.53	14	930.33	20	4347.20	8	18.51	8
1	-3	101	Max	312.00	-2972.07	20	447.56	2	529.94	2	930.33	20	364.12	20	18.51	8
1	-3	101	Min.	0.00	-7774.84	8	-752.53	14	-866.44	2	-2871.72	8	-2538.50	20	-18.51	20
1	-3	101	Min.	312.00	-6370.84	8	-752.53	14	-1188.36	14	-2871.72	8	-4612.56	8	-18.51	20
2	2	-4	Max	0.00	-9181.80	20	1520.91	8	-25.76	20	1834.34	2	3832.93	14	18.51	8
2	2	-4	Max	28.00	-9055.80	20	1520.91	8	67.15	20	1834.34	2	3350.88	14	18.51	8
2	2	-4	Min.	0.00	-10421.40	8	331.82	20	-2272.53	8	-1721.61	14	-3968.87	2	-18.51	20
2	2	-4	Min.	28.00	-10295.40	8	331.82	20	-1846.67	8	-1721.61	14	-3455.25	2	-18.51	20
2	-4	102	Max	0.00	-9055.80	20	1520.91	8	67.15	20	1834.34	2	3350.88	14	18.51	8
2	-4	102	Max	312.00	-7651.80	20	1520.91	8	2898.58	8	1834.34	2	2267.91	2	18.51	8
2	-4	102	Min.	0.00	-10295.40	8	331.82	20	-1846.67	8	-1721.61	14	-3455.25	2	-18.51	20
2	-4	102	Min.	312.00	-8891.35	8	331.82	20	1102.42	20	-1721.61	14	-2020.56	14	-18.51	20
3	3	-5	Max	0.00	-9141.27	8	1516.37	20	-20.06	8	1729.75	2	3968.67	14	18.51	8
3	3	-5	Max	28.00	-9015.27	8	1516.38	20	71.57	8	1729.75	2	3455.20	14	18.51	8
3	3	-5	Min.	0.00	-10376.20	20	327.25	8	-2266.93	20	-1833.85	14	-3841.88	2	-18.51	20
3	3	-5	Min.	28.00	-10250.20	20	327.25	8	-1842.35	20	-1833.86	14	-3357.56	2	-18.51	20
3	-5	103	Max	0.00	-9015.27	8	1516.37	20	71.57	8	1729.75	2	3455.20	14	18.51	8
3	-5	103	Max	312.00	-7611.27	8	1516.37	20	2888.74	20	1729.75	2	2039.26	2	18.51	8
3	-5	103	Min.	0.00	-10250.20	20	327.25	8	-1842.35	20	-1833.85	14	-3357.56	2	-18.51	20
3	-5	103	Min.	312.00	-8846.23	20	327.25	8	1092.60	8	-1833.85	14	-2266.43	14	-18.51	20
4	4	-6	Max	0.00	-4461.53	8	750.89	2	1000.53	14	933.95	8	5135.31	20	18.51	8
4	4	-6	Max	28.00	-4335.53	8	750.90	2	873.25	14	933.95	8	4334.19	20	18.51	8
4	4	-6	Min.	0.00	-7859.89	20	-454.55	14	-1367.98	2	-2861.13	20	-2800.24	8	-18.51	20
4	4	-6	Min.	28.00	-7733.89	20	-454.55	14	-1157.73	2	-2861.13	20	-2538.73	8	-18.51	20
4	-6	104	Max	0.00	-4335.53	8	750.89	2	873.25	14	933.95	8	4334.20	20	18.51	8
4	-6	104	Max	312.00	-2931.53	8	750.89	2	1185.06	2	933.95	8	375.18	8	18.51	8
4	-6	104	Min.	0.00	-7733.89	20	-454.55	14	-1157.73	2	-2861.13	20	-2538.73	8	-18.51	20
4	-6	104	Min.	312.00	-6329.89	20	-454.55	14	-544.93	14	-2861.13	20	-4592.53	20	-18.51	20
13	13	-15	Max	0.00	-4502.07	8	447.56	14	1370.23	2	2871.72	20	2798.99	8	18.51	8
13	13	-15	Max	28.00	-4376.07	8	447.56	14	1159.53	2	2871.72	20	2538.50	8	18.51	8
13	13	-15	Min.	0.00	-7900.84	20	-752.53	2	-991.76	14	-930.33	8	-5151.28	20	-18.51	20
13	13	-15	Min.	28.00	-7774.84	20	-752.53	2	-866.44	14	-930.32	8	-4347.20	20	-18.51	20
13	-15	113	Max	0.00	-4376.07	8	447.56	14	1159.53	2	2871.72	20	2538.50	8	18.51	8
13	-15	113	Max	312.00	-2972.07	8	447.56	14	529.94	14	2871.72	20	4612.56	20	18.51	8
13	-15	113	Min.	0.00	-7774.84	20	-752.53	2	-866.44	14	-930.33	8	-4347.20	20	-18.51	20
13	-15	113	Min.	312.00	-6370.84	20	-752.53	2	-1188.36	2	-930.33	8	-364.12	8	-18.51	20
14	14	-16	Max	0.00	-9181.80	8	-331.82	8	2272.53	20	1834.34	14	3832.93	2	18.51	8
14	14	-16	Max	28.00	-9055.80	8	-331.82	8	1846.67	20	1834.34	14	3350.88	2	18.51	8
14	14	-16	Min.	0.00	-10421.40	20	-1520.91	20	25.76	8	-1721.61	2	-3968.87	14	-18.51	20
14	14	-16	Min.	28.00	-10295.40	20	-1520.91	20	-67.15	8	-1721.61	2	-3455.25	14	-18.51	20
14	-16	114	Max	0.00	-9055.80	8	-331.82	8	1846.67	20	1834.34	14	3350.88	2	18.51	8
14	-16	114	Max	312.00	-7651.80	8	-331.82	8	-1102.42	8	1834.34	14	2267.91	14	18.51	8
14	-16	114	Min.	0.00	-10295.40	20	-1520.91	20	-67.15	8	-1721.61	2	-3455.25	14	-18.51	20
14	-16	114	Min.	312.00	-8891.35	20	-1520.91	20	-2898.58	20	-1721.61	2	-2020.56	2	-18.51	20
15	15	-17	Max	0.00	-9141.27	20	-327.25	20	2266.93	8	1729.75	14	3968.68	2	18.51	8
15	15	-17	Max	28.00	-9015.27	20	-327.25	20	1842.35	8	1729.75	14	3455.20	2	18.51	8
15	15	-17	Min.	0.00	-10376.20	8	-1516.37	8	20.06	20	-1833.85	2	-3841.88	14	-18.51	20
15	15	-17	Min.	28.00	-10250.20	8	-1516.38	8	-71.57	20	-1833.86	2	-3357.56	14	-18.51	20
15	-17	115	Max	0.00	-9015.27	20	-327.25	20	1842.35	8	1729.75	14	3455.20	2	18.51	8
15	-17	115	Max	312.00	-7611.27	20	-327.25	20	-1092.60	20	1729.75	14	2039.26	14	18.51	8
15	-17	115	Min.	0.00	-10250.20	8	-1516.37	8	-71.57	20	-1833.85	2	-3357.56	14	-18.51	20
15	-17	115	Min.	312.00	-8846.23	8	-1516.37	8	-2888.74	8	-1833.85	2	-2266.43	2	-18.51	20
16	16	-18	Max	0.00	-4461.53	20	750.89	14	1000.53	2	2861.13	8	2800.24	20	18.51	8
16	16	-18	Max	28.00	-4335.53	20	750.90	14	873.25	2	2861.13	8	2538.73	20	18.51	8
16	16	-18	Min.	0.00	-7859.89	8	-454.55	2	-1367.98	14	-933.95	20	-5135.31	8	-18.51	20
16	16	-18	Min.	28.00	-7733.89	8	-454.55	2	-1157.73	14	-933.95	20	-4334.19	8	-18.51	20
16	-18	116	Max	0.00	-4335.53	20	750.89	14	873.25	2	2861.13	8	2538.73	20	18.51	8
16	-18	116	Max	312.00	-2931.53	20	750.89	14	1185.06	14	2861.13	8	4592.53	8	18.51	8
16	-18	116	Min.	0.00	-7733.89	8	-454.55	2	-1157.73	14	-933.95	20	-4334.20	8	-18.51	20
16	-18	116	Min.	312.00	-6329.89	8	-454.55	2	-544.93	2	-933.95	20	-375.18	20	-18.51	20
101	101	102	Max	15.00	0.00	2	0.00	2	0.00	2	1255.70	14	734.51	2	-139.57	20
101	101	102	Max	61.55									777.86	2		
101	101	102	Max	415.00	0.00	2	0.00	2	0.00	2	-344.30	14	533.15	14	-139.57	20
101	101	102	Min.	15.00	0.00	2	0.00	2	0.00	2	186.22	2	-1289.64	14	-224.41	8
101	101	102	Min.	61.55									-701.43	2		
101	101	102	Min.	415.00	0.00	2	0.00	2	0.00	2	-1413.78	2	-1720.62	2	-224.41	8
101	102	103	Max	30.00	0.00	2	0.00	2	0.00	8	1468.72	14	862.24	2	5.57	20
101	102	103	Max	397.18									868.51	14		
101	102	103	Max	410.00	0.00	2	0.00	2	0.00	8	-51.28	14	865.22	14	5.57	20
101	102	103	Min.	30.00	0.00	2	0.00	2	0.00	8	53.34	2	-1828.08	14	-2.99	8
101	102	103	Min.	42.58									-1565.12	5		
101	102	103	Min.	410.00	0.00	2	0.00	2	0.00	8	-1466.66	2	-1823.22	2	-2.99	8
101	103	104	Max	30.00	0.00	2	0.00	8	0.00	8	1414.09	14	555.00	2	226.25	20

Relazione di calcolo

101	103	104	Max	381.05								783.66	14			
101	103	104	Max	425.00	0.00	2	0.00	8	0.00	8	-165.91	14	749.37	14	226.25	20
101	103	104	Min.	30.00	0.00	2	0.00	8	0.00	8	323.99	2	-1715.77	14	140.76	8
101	103	104	Min.	381.05									-724.42	14		
101	103	104	Min.	425.00	0.00	2	0.00	8	0.00	8	-1256.01	2	-1285.75	2	140.76	8
102	113	114	Max	15.00	0.00	2	0.00	2	0.00	2	1255.70	2	734.51	14	224.41	20
102	113	114	Max	61.55									777.86	14		
102	113	114	Max	415.00	0.00	2	0.00	2	0.00	2	-344.30	2	533.15	2	224.41	20
102	113	114	Min.	15.00	0.00	2	0.00	2	0.00	2	186.22	14	-1289.64	2	139.57	8
102	113	114	Min.	61.55									-701.44	14		
102	113	114	Min.	415.00	0.00	2	0.00	2	0.00	2	-1413.78	14	-1720.62	14	139.57	8
102	114	115	Max	30.00	0.00	2	0.00	2	0.00	8	1468.72	2	862.24	14	2.99	20
102	114	115	Max	397.18									868.51	2		
102	114	115	Max	410.00	0.00	2	0.00	2	0.00	8	-51.28	2	865.22	2	2.99	20
102	114	115	Min.	30.00	0.00	2	0.00	2	0.00	8	53.34	14	-1828.08	2	-5.57	8
102	114	115	Min.	42.58									-1565.12	17		
102	114	115	Min.	410.00	0.00	2	0.00	2	0.00	8	-1466.66	14	-1823.22	14	-5.57	8
102	115	116	Max	30.00	0.00	2	0.00	8	0.00	8	1414.09	2	555.00	14	-140.76	20
102	115	116	Max	381.05									783.66	2		
102	115	116	Max	425.00	0.00	2	0.00	8	0.00	8	-165.91	2	749.37	2	-140.76	20
102	115	116	Min.	30.00	0.00	2	0.00	8	0.00	8	323.99	14	-1715.77	2	-226.25	8
102	115	116	Min.	381.05									-724.42	2		
102	115	116	Min.	425.00	0.00	2	0.00	8	0.00	8	-1256.01	14	-1285.75	14	-226.25	8
103	101	113	Max	45.00	0.00	2	0.00	2	0.00	2	4460.06	8	1658.45	20	8.76	20
103	101	113	Max	291.41									2148.52	8		
103	101	113	Max	365.00	0.00	2	0.00	2	0.00	2	-1331.94	8	1658.45	8	8.76	20
103	101	113	Min.	45.00	0.00	2	0.00	2	0.00	2	1331.94	20	-3346.55	8	-8.76	8
103	101	113	Min.	118.34									-255.49	20		
103	101	113	Min.	365.00	0.00	2	0.00	2	0.00	2	-4460.06	20	-3346.56	20	-8.76	8
104	102	114	Max	15.00	0.00	14	0.00	2	0.00	2	6329.70	8	-568.55	20	11.36	20
104	102	114	Max	186.10									3866.58	20		
104	102	114	Max	395.00	0.00	14	0.00	2	0.00	2	-5184.29	8	-568.55	8	11.36	20
104	102	114	Min.	15.00	0.00	2	0.00	2	0.00	2	5184.30	20	-2744.83	8	-11.36	8
104	102	114	Min.	186.10									3659.19	20		
104	102	114	Min.	395.00	0.00	2	0.00	2	0.00	2	-6329.70	20	-2744.82	20	-11.36	8
105	103	115	Max	15.00	0.00	14	0.00	2	0.00	2	6301.38	20	-559.94	8	11.50	20
105	103	115	Max	186.00									3848.08	8		
105	103	115	Max	395.00	0.00	14	0.00	2	0.00	2	-5155.62	20	-559.94	20	11.50	20
105	103	115	Min.	15.00	0.00	2	0.00	2	0.00	2	5155.62	8	-2736.89	20	-11.50	8
105	103	115	Min.	186.00									3639.67	8		
105	103	115	Min.	395.00	0.00	2	0.00	2	0.00	2	-6301.38	8	-2736.89	8	-11.50	8
106	104	116	Max	45.00	0.00	2	0.00	2	0.00	2	4433.03	20	1661.19	8	8.83	20
106	104	116	Max	291.97									2139.92	20		
106	104	116	Max	365.00	0.00	2	0.00	2	0.00	2	-1310.97	20	1661.19	20	8.83	20
106	104	116	Min.	45.00	0.00	2	0.00	2	0.00	2	1310.97	8	-3334.12	20	-8.83	8
106	104	116	Min.	117.63									-279.04	8		
106	104	116	Min.	365.00	0.00	2	0.00	2	0.00	2	-4433.03	8	-3334.12	8	-8.83	8

Tipo di combinazione di carico: SLO

Asta	N1	N2		X <cm>	N <daN>	CC	Ty <daN>	CC	Mz <daNm>	CC	Tz <daN>	CC	My <daNm>	CC	Mx <daNm>	CC
1	1	-3	Max	0.00	-4213.02	21	555.95	3	1583.58	15	1251.92	21	5823.73	9	21.85	9
1	1	-3	Max	28.00	-4087.02	21	555.95	3	1342.52	15	1251.91	21	4929.60	9	21.85	9
1	1	-3	Min.	0.00	-8189.90	9	-860.92	15	-1205.10	3	-3193.31	9	-3471.44	21	-21.85	21
1	1	-3	Min.	28.00	-8063.90	9	-860.92	15	-1049.44	3	-3193.31	9	-3120.90	21	-21.85	21
1	-3	101	Max	0.00	-4087.02	21	555.95	3	1342.52	15	1251.92	21	4929.60	9	21.85	9
1	-3	101	Max	312.00	-2683.02	21	555.95	3	685.13	3	1251.92	21	785.07	21	21.85	9
1	-3	101	Min.	0.00	-8063.90	9	-860.92	15	-1049.44	3	-3193.31	9	-3120.90	21	-21.85	21
1	-3	101	Min.	312.00	-6659.90	9	-860.92	15	-1343.56	15	-3193.31	9	-5033.52	9	-21.85	21
2	2	-4	Max	0.00	-9076.98	21	1620.92	9	163.20	21	2155.54	3	4537.64	15	21.85	9
2	2	-4	Max	28.00	-8950.98	21	1620.92	9	228.11	21	2155.53	3	3965.65	15	21.85	9
2	2	-4	Min.	0.00	-10526.20	9	231.81	21	-2461.49	9	-2042.81	15	-4673.58	3	-21.85	21
2	2	-4	Min.	28.00	-10400.20	9	231.81	21	-2007.63	9	-2042.80	15	-4070.03	3	-21.85	21
2	-4	102	Max	0.00	-8950.98	21	1620.92	9	228.11	21	2155.54	3	3965.65	15	21.85	9
2	-4	102	Max	312.00	-7546.98	21	1620.92	9	3049.64	9	2155.54	3	2655.26	3	21.85	9
2	-4	102	Min.	0.00	-10400.20	9	231.81	21	-2007.63	9	-2042.81	15	-4070.03	3	-21.85	21
2	-4	102	Min.	312.00	-8996.17	9	231.81	21	951.36	21	-2042.81	15	-2407.91	15	-21.85	21
3	3	-5	Max	0.00	-9036.87	9	1616.39	21	168.92	9	2051.63	3	4674.18	15	21.85	9
3	3	-5	Max	28.00	-8910.87	9	1616.39	21	232.55	9	2051.64	3	4070.58	15	21.85	9
3	3	-5	Min.	0.00	-10480.60	21	227.24	9	-2455.91	21	-2155.74	15	-4547.39	3	-21.85	21
3	3	-5	Min.	28.00	-10354.60	21	227.24	9	-2003.32	21	-2155.74	15	-3972.93	3	-21.85	21
3	-5	103	Max	0.00	-8910.87	9	1616.39	21	232.55	9	2051.63	3	4070.58	15	21.85	9
3	-5	103	Max	312.00	-7506.87	9	1616.39	21	3039.81	21	2051.63	3	2428.17	3	21.85	9
3	-5	103	Min.	0.00	-10354.60	21	227.24	9	-2003.32	21	-2155.74	15	-3972.93	3	-21.85	21
3	-5	103	Min.	312.00	-8950.64	21	227.24	9	941.53	9	-2155.74	15	-2655.34	15	-21.85	21
4	4	-6	Max	0.00	-4172.49	9	859.77	3	1214.47	15	1254.94	9	5806.51	21	21.85	9
4	4	-6	Max	28.00	-4046.49	9	859.78	3	1056.71	15	1254.94	9	4915.52	21	21.85	9
4	4	-6	Min.	0.00	-8148.94	21	-563.43	15	-1581.92	3	-3182.13	21	-3471.44	9	-21.85	21

Relazione di calcolo

4	4	-6	Min.	28.00	-8022.94	21	-563.43	15	-1341.18	3	-3182.13	21	-3120.06	9	-21.85	21
4	-6	104	Max	0.00	-4046.49	9	859.77	3	1056.71	15	1254.94	9	4915.52	21	21.85	9
4	-6	104	Max	312.00	-2642.49	9	859.77	3	1341.31	3	1254.94	9	795.37	9	21.85	9
4	-6	104	Min.	0.00	-8022.94	21	-563.43	15	-1341.18	3	-3182.13	21	-3120.06	9	-21.85	21
4	-6	104	Min.	312.00	-6618.94	21	-563.43	15	-701.19	15	-3182.13	21	-5012.72	21	-21.85	21
13	13	-15	Max	0.00	-4213.02	9	555.95	15	1583.58	3	3193.31	21	3471.44	9	21.85	9
13	13	-15	Max	28.00	-4087.02	9	555.95	15	1342.52	3	3193.31	21	3120.90	9	21.85	9
13	13	-15	Min.	0.00	-8189.90	21	-860.92	3	-1205.10	15	-1251.92	9	-5823.73	21	-21.85	21
13	13	-15	Min.	28.00	-8063.90	21	-860.92	3	-1049.44	15	-1251.91	9	-4929.60	21	-21.85	21
13	-15	113	Max	0.00	-4087.02	9	555.95	15	1342.52	3	3193.31	21	3120.90	9	21.85	9
13	-15	113	Max	312.00	-2683.02	9	555.95	15	685.13	15	3193.31	21	5033.52	21	21.85	9
13	-15	113	Min.	0.00	-8063.90	21	-860.92	3	-1049.44	15	-1251.92	9	-4929.60	21	-21.85	21
13	-15	113	Min.	312.00	-6659.90	21	-860.92	3	-1343.56	3	-1251.92	9	-785.07	9	-21.85	21
14	14	-16	Max	0.00	-9076.98	9	-231.81	9	2461.49	21	2155.54	15	4537.64	3	21.85	9
14	14	-16	Max	28.00	-8950.98	9	-231.81	9	2007.63	21	2155.53	15	3965.65	3	21.85	9
14	14	-16	Min.	0.00	-10526.20	21	-1620.92	21	-163.20	9	-2042.81	3	-4673.58	15	-21.85	21
14	14	-16	Min.	28.00	-10400.20	21	-1620.92	21	-228.11	9	-2042.80	3	-4070.03	15	-21.85	21
14	-16	114	Max	0.00	-8950.98	9	-231.81	9	2007.63	21	2155.54	15	3965.65	3	21.85	9
14	-16	114	Max	312.00	-7546.98	9	-231.81	9	-951.36	9	2155.54	15	2655.26	15	21.85	9
14	-16	114	Min.	0.00	-10400.20	21	-1620.92	21	-228.11	9	-2042.81	3	-4070.03	15	-21.85	21
14	-16	114	Min.	312.00	-8996.17	21	-1620.92	21	-3049.64	21	-2042.81	3	-2407.91	3	-21.85	21
15	15	-17	Max	0.00	-9036.87	21	-227.24	21	2455.91	9	2051.63	15	4674.18	3	21.85	9
15	15	-17	Max	28.00	-8910.87	21	-227.24	21	2003.32	9	2051.64	15	4070.58	3	21.85	9
15	15	-17	Min.	0.00	-10480.60	9	-1616.39	9	-168.92	21	-2155.74	3	-4547.39	15	-21.85	21
15	15	-17	Min.	28.00	-10354.60	9	-1616.39	9	-232.55	21	-2155.74	3	-3972.93	15	-21.85	21
15	-17	115	Max	0.00	-8910.87	21	-227.24	21	2003.32	9	2051.63	15	4070.58	3	21.85	9
15	-17	115	Max	312.00	-7506.87	21	-227.24	21	-941.53	21	2051.63	15	2428.17	15	21.85	9
15	-17	115	Min.	0.00	-10354.60	9	-1616.39	9	-232.55	21	-2155.74	3	-3972.93	15	-21.85	21
15	-17	115	Min.	312.00	-8950.64	9	-1616.39	9	-3039.81	9	-2155.74	3	-2655.34	3	-21.85	21
16	16	-18	Max	0.00	-4172.49	21	859.77	15	1214.47	3	3182.13	9	3471.44	21	21.85	9
16	16	-18	Max	28.00	-4046.49	21	859.77	15	1056.71	3	3182.13	9	3120.06	21	21.85	9
16	16	-18	Min.	0.00	-8148.94	9	-563.43	3	-1581.92	15	-1254.94	21	-5806.51	9	-21.85	21
16	16	-18	Min.	28.00	-8022.94	9	-563.43	3	-1341.18	15	-1254.94	21	-4915.52	9	-21.85	21
16	-18	116	Max	0.00	-4046.49	21	859.77	15	1056.71	3	3182.13	9	3120.06	21	21.85	9
16	-18	116	Max	312.00	-2642.49	21	859.77	15	1341.31	15	3182.13	9	5012.72	9	21.85	9
16	-18	116	Min.	0.00	-8022.94	9	-563.43	3	-1341.18	15	-1254.94	21	-4915.52	9	-21.85	21
16	-18	116	Min.	312.00	-6618.94	9	-563.43	3	-701.19	3	-1254.94	21	-795.37	21	-21.85	21
101	101	102	Max	15.00	0.00	3	0.00	3	0.00	3	1352.29	15	917.33	3	-132.35	21
101	101	102	Max	35.41									927.29	3		
101	101	102	Max	415.00	0.00	3	0.00	3	0.00	3	-247.71	15	736.71	15	-132.35	21
101	101	102	Min.	15.00	0.00	3	0.00	3	0.00	3	89.62	3	-1472.46	15	-231.62	9
101	101	102	Min.	35.41									-1138.95	3		
101	101	102	Min.	415.00	0.00	3	0.00	3	0.00	3	-1510.38	3	-1924.18	3	-231.62	9
101	102	103	Max	30.00	0.00	3	0.00	3	0.00	9	1596.57	15	1105.25	3	6.34	21
101	102	103	Max	285.61									333.10	21		
101	102	103	Max	410.00	0.00	3	0.00	3	0.00	9	76.57	15	1108.06	15	6.34	21
101	102	103	Min.	30.00	0.00	3	0.00	3	0.00	9	-74.50	3	-2071.09	15	-3.76	9
101	102	103	Min.	152.92									5.01	9		
101	102	103	Min.	410.00	0.00	3	0.00	3	0.00	9	-1594.50	3	-2066.06	3	-3.76	9
101	103	104	Max	30.00	0.00	3	0.00	9	0.00	9	1512.54	15	760.09	3	233.53	21
101	103	104	Max	407.71									938.87	15		
101	103	104	Max	425.00	0.00	3	0.00	9	0.00	9	-67.46	15	933.18	15	233.53	21
101	103	104	Min.	30.00	0.00	3	0.00	9	0.00	9	225.53	3	-1920.86	15	133.48	9
101	103	104	Min.	407.71									-1173.93	15		
101	103	104	Min.	425.00	0.00	3	0.00	9	0.00	9	-1354.47	3	-1469.56	3	133.48	9
102	113	114	Max	15.00	0.00	3	0.00	3	0.00	3	1352.29	3	917.33	15	231.62	21
102	113	114	Max	35.41									927.29	15		
102	113	114	Max	415.00	0.00	3	0.00	3	0.00	3	-247.71	3	736.71	3	231.62	21
102	113	114	Min.	15.00	0.00	3	0.00	3	0.00	3	89.62	15	-1472.46	3	132.35	9
102	113	114	Min.	35.41									-1138.95	15		
102	113	114	Min.	415.00	0.00	3	0.00	3	0.00	3	-1510.38	15	-1924.18	15	132.35	9
102	114	115	Max	30.00	0.00	3	0.00	3	0.00	9	1596.57	3	1105.25	15	3.76	21
102	114	115	Max	285.61									333.10	9		
102	114	115	Max	410.00	0.00	3	0.00	3	0.00	9	76.57	3	1108.06	3	3.76	21
102	114	115	Min.	30.00	0.00	3	0.00	3	0.00	9	-74.50	15	-2071.09	3	-6.34	9
102	114	115	Min.	152.92									5.01	21		
102	114	115	Min.	410.00	0.00	3	0.00	3	0.00	9	-1594.50	15	-2066.06	15	-6.34	9
102	115	116	Max	30.00	0.00	3	0.00	9	0.00	9	1512.54	3	760.09	15	-133.48	21
102	115	116	Max	407.71									938.86	3		
102	115	116	Max	425.00	0.00	3	0.00	9	0.00	9	-67.46	3	933.18	3	-133.48	21
102	115	116	Min.	30.00	0.00	3	0.00	9	0.00	9	225.53	15	-1920.86	3	-233.53	9
102	115	116	Min.	407.71									-1173.85	3		
102	115	116	Min.	425.00	0.00	3	0.00	9	0.00	9	-1354.47	15	-1469.56	15	-233.53	9
103	101	113	Max	45.00	0.00	3	0.00	3	0.00	3	4724.63	9	2081.76	21	10.33	21
103	101	113	Max	103.97									2396.48	21		
103	101	113	Max	365.00	0.00	3	0.00	3	0.00	3	-1067.37	9	2081.76	9	10.33	21
103	101	113	Min.	45.00	0.00	3	0.00	3	0.00	3	1067.36	21	-3769.87	9	-10.33	9
103	101	113	Min.	103.97									-876.04	21		
103	101	113	Min.	365.00	0.00	3	0.00	3	0.00	3	-4724.64	21	-3769.87	21	-10.33	9

Relazione di calcolo

104	102	114	Max	15.00	0.00	15	0.00	3	0.00	3	6426.05	9	-385.49	21	13.41	21
104	102	114	Max	182.92									3886.33	21		
104	102	114	Max	395.00	0.00	15	0.00	3	0.00	3	-5087.95	9	-385.49	9	13.41	21
104	102	114	Min.	15.00	0.00	3	0.00	3	0.00	3	5087.95	21	-2927.89	9	-13.41	9
104	102	114	Min.	182.92									3603.41	21		
104	102	114	Min.	395.00	0.00	3	0.00	3	0.00	3	-6426.05	21	-2927.89	21	-13.41	9
105	103	115	Max	15.00	0.00	15	0.00	3	0.00	3	6397.77	21	-376.81	9	13.57	21
105	103	115	Max	182.80									3867.94	9		
105	103	115	Max	395.00	0.00	15	0.00	3	0.00	3	-5059.23	21	-376.81	21	13.57	21
105	103	115	Min.	15.00	0.00	3	0.00	3	0.00	3	5059.23	9	-2920.02	21	-13.57	9
105	103	115	Min.	182.80									3583.64	9		
105	103	115	Min.	395.00	0.00	3	0.00	3	0.00	3	-6397.76	9	-2920.02	9	-13.57	9
106	104	116	Max	45.00	0.00	3	0.00	3	0.00	3	4697.09	21	2083.68	9	10.40	21
106	104	116	Max	103.32									2388.98	9		
106	104	116	Max	365.00	0.00	3	0.00	3	0.00	3	-1046.91	21	2083.68	21	10.40	21
106	104	116	Min.	45.00	0.00	3	0.00	3	0.00	3	1046.91	9	-3756.61	21	-10.40	9
106	104	116	Min.	103.32									-898.13	9		
106	104	116	Min.	365.00	0.00	3	0.00	3	0.00	3	-4697.09	9	-3756.61	9	-10.40	9

Tipo di combinazione di carico: SLU

Asta	N1	N2		X <cm>	N <daN>	CC	Ty <daN>	CC	Mz <daNm>	CC	Tz <daN>	CC	My <daNm>	CC	Mx <daNm>	CC
1	1	-3	Max	0.00	-9349.20	25	-208.16	25	1066.93	29	-1591.42	25	5735.72	36	0.00	29
1	1	-3	Max	28.00	-9185.40	25	-208.16	25	760.09	29	-1591.42	25	4647.47	36	0.00	29
1	1	-3	Min.	0.00	-11410.80	36	-1095.86	29	258.35	25	-3886.63	36	1928.24	25	-23.70	36
1	1	-3	Min.	28.00	-11247.00	36	-1095.86	29	200.06	25	-3886.64	36	1482.65	25	-23.70	36
1	-3	101	Max	0.00	-9185.40	25	-208.16	25	760.09	29	-1591.42	25	4647.47	36	0.00	29
1	-3	101	Max	312.00	-7360.20	25	261.34	29	-449.41	25	-1591.42	25	-3482.58	25	0.00	29
1	-3	101	Min.	0.00	-11247.00	36	-1095.86	29	200.06	25	-3886.63	36	1482.65	25	-23.70	36
1	-3	101	Min.	312.00	-9421.81	36	-321.48	36	-674.95	36	-2716.63	36	-5653.63	36	-23.70	36
2	2	-4	Max	0.00	-15227.80	25	3362.59	36	-1936.11	25	73.35	25	497.80	29	0.00	29
2	2	-4	Max	28.00	-15064.00	25	3362.59	36	-1499.09	25	73.35	25	449.82	29	0.00	29
2	2	-4	Min.	0.00	-16508.00	36	1560.76	25	-3914.33	36	-171.37	29	-88.37	25	-23.70	36
2	2	-4	Min.	28.00	-16344.20	36	1560.77	25	-2972.80	36	-171.37	29	-67.83	25	-23.70	36
2	-4	102	Max	0.00	-15064.00	25	3362.59	36	-1499.09	25	73.35	25	449.82	29	0.00	29
2	-4	102	Max	312.00	-13238.80	25	1598.22	29	3868.07	36	73.35	25	161.01	25	0.00	29
2	-4	102	Min.	0.00	-16344.20	36	1560.76	25	-2972.80	36	-171.37	29	-67.83	25	-23.70	36
2	-4	102	Min.	312.00	-14519.00	36	1022.59	36	3370.49	25	-171.37	29	-84.86	29	-23.70	36
3	3	-5	Max	0.00	-15157.90	25	3415.90	36	-1926.30	25	-67.52	25	734.82	29	0.00	29
3	3	-5	Max	28.00	-14994.10	25	3415.91	36	-1491.50	25	-67.52	25	632.07	29	0.00	29
3	3	-5	Min.	0.00	-16473.50	36	1552.86	25	-4021.10	36	-366.99	29	82.31	25	-23.70	36
3	3	-5	Min.	28.00	-16309.70	36	1552.86	25	-3064.65	36	-366.99	29	63.41	25	-23.70	36
3	-5	103	Max	0.00	-14994.10	25	3415.90	36	-1491.50	25	-67.52	25	632.07	29	0.00	29
3	-5	103	Max	312.00	-13168.90	25	1589.92	29	3942.58	36	-67.52	25	-147.26	25	0.00	29
3	-5	103	Min.	0.00	-16309.70	36	1552.86	25	-3064.65	36	-366.99	29	63.41	25	-23.70	36
3	-5	103	Min.	312.00	-14484.50	36	1075.91	36	3353.42	25	-366.99	29	-512.93	29	-23.70	36
4	4	-6	Max	0.00	-9282.25	25	257.43	36	-55.25	29	-1579.03	25	7250.50	36	0.00	29
4	4	-6	Max	28.00	-9118.45	25	257.43	36	-26.40	29	-1579.03	25	5856.27	36	0.00	29
4	4	-6	Min.	0.00	-11115.30	36	103.02	29	-300.05	36	-4979.39	36	1913.24	25	-23.70	36
4	4	-6	Min.	28.00	-10951.50	36	103.02	29	-227.97	36	-4979.40	36	1471.11	25	-23.70	36
4	-6	104	Max	0.00	-9118.45	25	257.43	36	-26.40	29	-1579.03	25	5856.27	36	0.00	29
4	-6	104	Max	312.00	-7293.25	25	257.43	36	575.21	36	-1579.03	25	-3455.48	25	0.00	29
4	-6	104	Min.	0.00	-10951.50	36	103.02	29	-227.97	36	-4979.39	36	1471.11	25	-23.70	36
4	-6	104	Min.	312.00	-9126.31	36	103.02	29	295.00	29	-2639.39	36	-6029.04	36	-23.70	36
13	13	-15	Max	0.00	-9197.21	36	-208.16	25	1066.93	29	1683.44	29	1591.59	36	0.00	29
13	13	-15	Max	28.00	-9033.41	36	-208.16	25	760.09	29	1683.44	29	1461.00	36	0.00	29
13	13	-15	Min.	0.00	-9701.55	29	-1095.86	29	258.35	25	-466.39	36	-2039.74	29	-23.70	36
13	13	-15	Min.	28.00	-9537.75	29	-1095.86	29	200.06	25	-466.39	36	-1568.38	29	-23.70	36
13	-15	113	Max	0.00	-9033.41	36	-208.16	25	760.09	29	1683.44	29	1461.00	36	0.00	29
13	-15	113	Max	312.00	-7208.21	36	261.34	29	-449.41	25	1683.44	29	3683.95	29	0.00	29
13	-15	113	Min.	0.00	-9537.75	29	-1095.86	29	200.06	25	-466.39	36	-1568.38	29	-23.70	36
13	-15	113	Min.	312.00	-7712.56	29	-269.41	36	-600.38	36	703.61	36	1831.05	36	-23.70	36
14	14	-16	Max	0.00	-15227.80	25	237.77	36	1982.57	29	188.96	36	497.80	29	0.00	29
14	14	-16	Max	28.00	-15064.00	25	237.76	36	1535.07	29	188.96	36	449.82	29	0.00	29
14	14	-16	Min.	0.00	-16216.40	36	-1598.22	29	-38.03	36	-171.37	29	-303.27	36	-23.70	36
14	14	-16	Min.	28.00	-16052.60	36	-1598.22	29	28.54	36	-171.37	29	-250.36	36	-23.70	36
14	-16	114	Max	0.00	-15064.00	25	237.77	36	1535.07	29	188.96	36	449.82	29	0.00	29
14	-16	114	Max	31.70					66.23	36			-190.46	36		
14	-16	114	Max	312.00	-13238.80	25	-1560.76	25	-2880.02	36	188.96	36	339.18	36	0.00	29
14	-16	114	Min.	0.00	-16052.60	36	-1598.22	29	28.54	36	-171.37	29	-250.36	36	-23.70	36
14	-16	114	Min.	31.70					66.23	36			-190.46	36		
14	-16	114	Min.	312.00	-14227.40	36	-2102.23	36	-3451.39	29	-171.37	29	-84.86	29	-23.70	36
15	15	-17	Max	0.00	-15157.90	25	310.01	36	1972.27	29	-20.43	36	734.82	29	0.00	29
15	15	-17	Max	28.00	-14994.10	25	310.01	36	1527.09	29	-20.43	36	632.07	29	0.00	29
15	15	-17	Min.	0.00	-16092.40	36	-1589.92	29	-168.28	36	-366.99	29	-49.56	36	-23.70	36
15	15	-17	Min.	28.00	-15928.60	36	-1589.91	29	-81.48	36	-366.99	29	-55.28	36	-23.70	36
15	-17	115	Max	0.00	-14994.10	25	310.01	36	1527.09	29	-20.43	36	632.07	29	0.00	29
15	-17	115	Max	41.33					-17.41	36			-63.73	36		

Relazione di calcolo

15	-17	115	Max	312.00	-13168.90	25	-1552.86	25	-2764.66	36	-20.43	36	-119.03	36	0.00	29
15	-17	115	Min.	0.00	-15928.60	36	-1589.92	29	-81.48	36	-366.99	29	-55.28	36	-23.70	36
15	-17	115	Min.	41.33					-17.41	36			-63.73	36		
15	-17	115	Min.	312.00	-14103.40	36	-2029.99	36	-3433.45	29	-366.99	29	-512.93	29	-23.70	36
16	16	-18	Max	0.00	-8364.69	36	317.76	36	-55.25	29	1641.40	29	3424.01	36	0.00	29
16	16	-18	Max	28.00	-8200.89	36	317.76	36	-26.40	29	1641.40	29	2914.04	36	0.00	29
16	16	-18	Min.	0.00	-9438.50	29	103.02	29	-412.76	36	-1821.31	36	-1988.80	29	-23.70	36
16	16	-18	Min.	28.00	-9274.70	29	103.02	29	-323.79	36	-1821.31	36	-1529.21	29	-23.70	36
16	-18	116	Max	0.00	-8200.89	36	317.76	36	-26.40	29	1641.40	29	2914.04	36	0.00	29
16	-18	116	Max	312.00	-6375.69	36	317.76	36	667.64	36	1641.40	29	3591.95	29	0.00	29
16	-18	116	Min.	0.00	-9274.70	29	103.02	29	-323.79	36	-1821.31	36	-1529.21	29	-23.70	36
16	-18	116	Min.	312.00	-7449.50	29	103.02	29	295.00	29	518.69	36	881.95	36	-23.70	36
101	101	102	Max	15.00	-89152.40	25	0.00	25	0.00	25	1421.20	36	-252.38	29	-309.78	25
101	101	102	Max	196.82									724.66	36		
101	101	102	Max	415.00	-89152.40	25	0.00	25	0.00	25	-1183.62	25	-733.44	29	-309.78	25
101	101	102	Min.	15.00	-89152.40	25	0.00	25	0.00	25	959.74	29	-570.08	36	-353.59	36
101	101	102	Min.	195.51									502.56	25		
101	101	102	Min.	415.00	-89152.40	25	0.00	25	0.00	25	-1698.80	36	-1125.28	36	-353.59	36
101	102	103	Max	30.00	-89152.40	25	0.00	25	0.00	25	1514.14	36	-651.14	25	7.95	36
101	102	103	Max	224.12									469.33	36		
101	102	103	Max	410.00	-89152.40	25	0.00	25	0.00	25	-897.37	29	-411.75	29	7.95	36
101	102	103	Min.	30.00	-89152.40	25	0.00	25	0.00	25	1027.37	25	-1000.29	36	2.24	25
101	102	103	Min.	220.25									326.17	25		
101	102	103	Min.	410.00	-89152.40	25	0.00	25	0.00	25	-1449.86	36	-878.16	36	2.24	25
101	103	104	Max	30.00	-89152.40	25	0.00	25	0.00	25	1721.98	36	-776.57	25	378.05	36
101	103	104	Max	250.77									710.87	36		
101	103	104	Max	425.00	-89152.40	25	0.00	25	0.00	25	-873.19	29	-199.16	29	378.05	36
101	103	104	Min.	30.00	-89152.40	25	0.00	25	0.00	25	1170.06	25	-1189.92	36	312.34	25
101	103	104	Min.	246.68									491.07	25		
101	103	104	Min.	425.00	-89152.40	25	0.00	25	0.00	25	-1359.02	36	-473.06	36	312.34	25
102	113	114	Max	15.00	-89152.40	25	0.00	25	0.00	25	1385.17	36	-252.38	29	313.35	29
102	113	114	Max	191.88									726.82	36		
102	113	114	Max	415.00	-89152.40	25	0.00	25	0.00	25	-1183.62	25	-733.44	29	313.35	29
102	113	114	Min.	15.00	-89152.40	25	0.00	25	0.00	25	959.74	29	-503.10	36	249.81	36
102	113	114	Min.	195.51									502.56	25		
102	113	114	Min.	415.00	-89152.40	25	0.00	25	0.00	25	-1734.83	36	-1202.40	36	249.81	36
102	114	115	Max	30.00	-89152.40	25	0.00	25	0.00	25	1455.04	36	-651.14	25	2.58	36
102	114	115	Max	214.09									470.54	36		
102	114	115	Max	410.00	-89152.40	25	0.00	25	0.00	25	-897.37	29	-411.75	29	2.58	36
102	114	115	Min.	30.00	-89152.40	25	0.00	25	0.00	25	1027.37	25	-900.53	29	-2.36	29
102	114	115	Min.	220.25									326.17	25		
102	114	115	Min.	410.00	-89152.40	25	0.00	25	0.00	25	-1508.96	36	-988.81	36	-2.36	29
102	115	116	Max	30.00	-89152.40	25	0.00	25	0.00	25	1670.65	36	-776.57	25	-246.68	36
102	115	116	Max	244.19									708.15	36		
102	115	116	Max	425.00	-89152.40	25	0.00	25	0.00	25	-873.19	29	-199.16	29	-246.68	36
102	115	116	Min.	30.00	-89152.40	25	0.00	25	0.00	25	1170.06	25	-1080.99	36	-318.00	29
102	115	116	Min.	246.68									491.07	25		
102	115	116	Min.	425.00	-89152.40	25	0.00	25	0.00	25	-1410.36	36	-566.92	36	-318.00	29
103	101	113	Max	45.00	-111440.00	25	0.00	25	0.00	25	6209.42	36	-1378.14	25	11.51	36
103	101	113	Max	237.00									2784.70	36		
103	101	113	Max	365.00	-111440.00	25	0.00	25	0.00	25	-4031.86	36	245.69	36	11.51	36
103	101	113	Min.	45.00	-111440.00	25	0.00	29	0.00	29	4736.64	25	-3238.42	36	0.00	29
103	101	113	Min.	204.68									2411.15	25		
103	101	113	Min.	365.00	-111440.00	25	0.00	29	0.00	29	-5024.64	29	-1464.93	29	0.00	29
104	102	114	Max	15.00	-111440.00	25	0.00	25	0.00	25	9931.68	29	-2793.81	25	14.80	36
104	102	114	Max	205.00									6577.28	29		
104	102	114	Max	395.00	-111440.00	25	0.00	25	0.00	25	-9569.41	36	-2535.27	36	14.80	36
104	102	114	Min.	15.00	-111440.00	25	0.00	29	0.00	29	9703.68	25	-3045.50	36	0.00	29
104	102	114	Min.	205.00									6424.68	25		
104	102	114	Min.	395.00	-111440.00	25	0.00	29	0.00	29	-9931.68	29	-2857.81	29	0.00	29
105	103	115	Max	15.00	-111440.00	25	0.00	25	0.00	25	9882.09	29	-2779.39	25	13.48	36
105	103	115	Max	205.00									6543.75	29		
105	103	115	Max	395.00	-111440.00	25	0.00	25	0.00	25	-9459.67	36	-2409.81	36	13.48	36
105	103	115	Min.	15.00	-111440.00	25	0.00	29	0.00	29	9654.09	25	-3148.60	36	0.00	29
105	103	115	Min.	205.00									6392.00	25		
105	103	115	Min.	395.00	-111440.00	25	0.00	29	0.00	29	-9882.09	29	-2844.23	29	0.00	29
106	104	116	Max	45.00	-111440.00	25	0.00	25	0.00	25	6095.86	36	-1364.96	25	7.50	36
106	104	116	Max	252.20									2725.35	36		
106	104	116	Max	365.00	-111440.00	25	0.00	25	0.00	25	-3293.90	36	876.61	36	7.50	36
106	104	116	Min.	45.00	-111440.00	25	0.00	29	0.00	29	4694.88	25	-3606.51	36	0.00	29
106	104	116	Min.	204.68									2390.93	25		
106	104	116	Min.	365.00	-111440.00	25	0.00	29	0.00	29	-4886.88	29	-1422.17	29	0.00	29

Tipo di combinazione di carico: SLE R

Asta	N1	N2		X <cm>	N <daN>	CC	Ty <daN>	CC	Mz <daNm>	CC	Tz <daN>	CC	My <daNm>	CC	Mx <daNm>	CC
1	1	-3	Max	0.00	-6841.94	26	-153.91	26	730.06	31	-1140.19	26	3919.83	38	0.00	31
1	1	-3	Max	28.00	-6715.94	26	-153.91	26	521.27	31	-1140.19	26	3172.14	38	0.00	31

Relazione di calcolo

1	1	-3	Min.	0.00	-8216.34	38	-745.70	31	191.01	26	-2670.34	38	1381.52	26	-15.80	38
1	1	-3	Min.	28.00	-8090.34	38	-745.70	31	147.92	26	-2670.34	38	1062.26	26	-15.80	38
1	-3	101	Max	0.00	-6715.94	26	-153.91	26	521.27	31	-1140.19	26	3172.14	38	0.00	31
1	-3	101	Max	312.00	-5311.94	26	159.10	31	-332.27	26	-1140.19	26	-2495.14	26	0.00	31
1	-3	101	Min.	0.00	-8090.34	38	-745.70	31	147.92	26	-2670.34	38	1062.26	26	-15.80	38
1	-3	101	Min.	312.00	-6686.34	38	-229.45	38	-482.64	38	-1890.34	38	-3942.51	38	-15.80	38
2	2	-4	Max	0.00	-11069.60	26	2316.55	38	-1383.56	26	54.67	26	324.90	31	0.00	31
2	2	-4	Max	28.00	-10943.60	26	2316.55	38	-1071.26	26	54.67	26	294.53	31	0.00	31
2	2	-4	Min.	0.00	-11923.10	38	1115.34	26	-2702.37	38	-108.47	31	-65.88	26	-15.80	38
2	2	-4	Min.	28.00	-11797.10	38	1115.34	26	-2053.74	38	-108.47	31	-50.57	26	-15.80	38
2	-4	102	Max	0.00	-10943.60	26	2316.55	38	-1071.26	26	54.67	26	294.53	31	0.00	31
2	-4	102	Max	312.00	-9539.63	26	1140.31	31	2740.31	38	54.67	26	120.00	26	0.00	31
2	-4	102	Min.	0.00	-11797.10	38	1115.34	26	-2053.74	38	-108.47	31	-50.57	26	-15.80	38
2	-4	102	Min.	312.00	-10393.10	38	756.55	38	2408.59	26	-108.47	31	-43.91	31	-15.80	38
3	3	-5	Max	0.00	-11019.60	26	2351.76	38	-1376.60	26	-50.36	26	496.39	31	0.00	31
3	3	-5	Max	28.00	-10893.60	26	2351.76	38	-1065.88	26	-50.36	26	426.38	31	0.00	31
3	3	-5	Min.	0.00	-11896.70	38	1109.73	26	-2773.14	38	-250.00	31	61.38	26	-15.80	38
3	3	-5	Min.	28.00	-11770.70	38	1109.73	26	-2114.65	38	-250.00	31	47.28	26	-15.80	38
3	-5	103	Max	0.00	-10893.60	26	2351.76	38	-1065.88	26	-50.36	26	426.38	31	0.00	31
3	-5	103	Max	312.00	-9489.63	26	1134.43	31	2789.25	38	-50.36	26	-109.84	26	0.00	31
3	-5	103	Min.	0.00	-11770.70	38	1109.73	26	-2114.65	38	-250.00	31	47.28	26	-15.80	38
3	-5	103	Min.	312.00	-10366.70	38	791.76	38	2396.48	26	-250.00	31	-353.62	31	-15.80	38
4	4	-6	Max	0.00	-6794.05	26	186.32	38	-55.06	31	-1131.42	26	4929.06	38	0.00	31
4	4	-6	Max	28.00	-6668.05	26	186.32	38	-31.72	31	-1131.42	26	3977.53	38	0.00	31
4	4	-6	Min.	0.00	-8016.08	38	83.38	31	-218.26	38	-3398.33	38	1370.88	26	-15.80	38
4	4	-6	Min.	28.00	-7890.08	38	83.38	31	-166.09	38	-3398.33	38	1054.09	26	-15.80	38
4	-6	104	Max	0.00	-6668.05	26	186.32	38	-31.72	31	-1131.42	26	3977.53	38	0.00	31
4	-6	104	Max	312.00	-5264.05	26	186.32	38	415.23	38	-1131.42	26	-2475.94	26	0.00	31
4	-6	104	Min.	0.00	-7890.08	38	83.38	31	-166.09	38	-3398.33	38	1054.09	26	-15.80	38
4	-6	104	Min.	312.00	-6486.08	38	83.38	31	228.42	31	-1838.33	38	-4191.65	38	-15.80	38
13	13	-15	Max	0.00	-6740.61	38	-153.91	26	730.06	31	1201.54	31	965.04	38	0.00	31
13	13	-15	Max	28.00	-6614.61	38	-153.91	26	521.27	31	1201.54	31	900.17	38	0.00	31
13	13	-15	Min.	0.00	-7076.84	31	-745.70	31	191.01	26	-231.68	38	-1455.84	31	-15.80	38
13	13	-15	Min.	28.00	-6950.84	31	-745.70	31	147.92	26	-231.68	38	-1119.41	31	-15.80	38
13	-15	113	Max	0.00	-6614.61	38	-153.91	26	521.27	31	1201.54	31	900.17	38	0.00	31
13	-15	113	Max	312.00	-5210.61	38	159.10	31	-332.27	26	1201.54	31	2629.39	31	0.00	31
13	-15	113	Min.	0.00	-6950.84	31	-745.70	31	147.92	26	-231.68	38	-1119.41	31	-15.80	38
13	-15	113	Min.	312.00	-5546.84	31	-194.74	38	-432.92	38	548.32	38	1394.12	38	-15.80	38
14	14	-16	Max	0.00	-11069.60	26	83.69	38	1414.54	31	131.75	38	324.90	31	0.00	31
14	14	-16	Max	28.00	-10943.60	26	83.68	38	1095.25	31	131.75	38	294.53	31	0.00	31
14	14	-16	Min.	0.00	-11728.70	38	-1140.31	31	67.47	38	-108.47	31	-209.15	38	-15.80	38
14	14	-16	Min.	28.00	-11602.70	38	-1140.31	31	90.90	38	-108.47	31	-172.26	38	-15.80	38
14	-16	114	Max	0.00	-10943.60	26	83.69	38	1095.25	31	131.75	38	294.53	31	0.00	31
14	-16	114	Max	16.11					97.89	38			-151.03	38		
14	-16	114	Max	312.00	-9539.63	26	-1115.34	26	-2081.60	38	131.75	38	238.79	38	0.00	31
14	-16	114	Min.	0.00	-11602.70	38	-1140.31	31	90.90	38	-108.47	31	-172.26	38	-15.80	38
14	-16	114	Min.	16.11					97.89	38			-151.03	38		
14	-16	114	Min.	312.00	-10198.70	38	-1476.31	38	-2462.51	31	-108.47	31	-43.91	31	-15.80	38
15	15	-17	Max	0.00	-11019.60	26	132.18	38	1407.25	31	-18.97	38	496.39	31	0.00	31
15	15	-17	Max	28.00	-10893.60	26	132.18	38	1089.61	31	-18.97	38	426.38	31	0.00	31
15	15	-17	Min.	0.00	-11642.60	38	-1134.43	31	-19.78	38	-250.00	31	-26.54	38	-15.80	38
15	15	-17	Min.	28.00	-11516.60	38	-1134.43	31	17.23	38	-250.00	31	-31.85	38	-15.80	38
15	-17	115	Max	0.00	-10893.60	26	132.18	38	1089.61	31	-18.97	38	426.38	31	0.00	31
15	-17	115	Max	25.81					34.69	38			-36.74	38		
15	-17	115	Max	312.00	-9489.63	26	-1109.73	26	-2003.97	38	-18.97	38	-91.02	38	0.00	31
15	-17	115	Min.	0.00	-11516.60	38	-1134.43	31	17.23	38	-250.00	31	-31.85	38	-15.80	38
15	-17	115	Min.	25.81					34.69	38			-36.74	38		
15	-17	115	Min.	312.00	-10112.60	38	-1427.82	38	-2449.83	31	-250.00	31	-353.62	31	-15.80	38
16	16	-18	Max	0.00	-6182.34	38	226.54	38	-55.06	31	1173.00	31	2187.28	38	0.00	31
16	16	-18	Max	28.00	-6056.34	38	226.54	38	-31.72	31	1172.99	31	1869.35	38	0.00	31
16	16	-18	Min.	0.00	-6898.21	31	83.38	31	-293.40	38	-1135.48	38	-1421.26	31	-15.80	38
16	16	-18	Min.	28.00	-6772.21	31	83.38	31	-229.97	38	-1135.48	38	-1092.82	31	-15.80	38
16	-18	116	Max	0.00	-6056.34	38	226.54	38	-31.72	31	1173.00	31	1869.35	38	0.00	31
16	-18	116	Max	312.00	-4652.34	38	226.54	38	476.85	38	1173.00	31	2566.92	31	0.00	31
16	-18	116	Min.	0.00	-6772.21	31	83.38	31	-229.97	38	-1135.48	38	-1092.82	31	-15.80	38
16	-18	116	Min.	312.00	-5368.21	31	83.38	31	228.42	31	424.52	38	760.26	38	-15.80	38
101	101	102	Max	15.00	-59434.90	26	0.00	26	0.00	26	1019.41	38	-195.74	31	-221.16	26
101	101	102	Max	196.66									520.31	38		
101	101	102	Max	415.00	-59434.90	26	0.00	26	0.00	26	-877.14	26	-548.68	31	-221.16	26
101	101	102	Min.	15.00	-59434.90	26	0.00	26	0.00	26	711.76	31	-407.54	38	-250.36	38
101	101	102	Min.	195.41									372.25	26		
101	101	102	Min.	415.00	-59434.90	26	0.00	26	0.00	26	-1220.59	38	-809.91	38	-250.36	38
101	102	103	Max	30.00	-59434.90	26	0.00	26	0.00	26	1085.53	38	-482.43	26	5.39	38
101	102	103	Max	223.84									336.93	38		
101	102	103	Max	410.00	-59434.90	26	0.00	26	0.00	26	-674.14	31	-322.43	31	5.39	38
101	102	103	Min.	30.00	-59434.90	26	0.00	26	0.00	26	761.02	26	-715.20	38	1.59	26
101	102	103	Min.	220.25									241.51	26		
101	102	103	Min.	410.00	-59434.90	26	0.00	26	0.00	26	-1042.47	38	-633.38	38	1.59	26
101	103	104	Max	30.00	-59434.90	26	0.00	26	0.00	26	1235.05	38	-576.10	26	266.80	38

Relazione di calcolo

4	4	-6	Min.	28.00	-6346.98	40	135.08	33	-146.88	40	-1434.95	40	914.48	27	-3.16	40
4	-6	104	Max	0.00	-6102.57	27	155.67	40	-120.01	33	-981.57	27	1499.17	40	0.00	33
4	-6	104	Max	312.00	-4698.57	27	155.67	40	338.81	40	-981.57	27	-2148.03	27	0.00	33
4	-6	104	Min.	0.00	-6346.98	40	135.08	33	-146.88	40	-1434.95	40	914.48	27	-3.16	40
4	-6	104	Min.	312.00	-4942.98	40	135.08	33	301.45	33	-1122.96	40	-2491.17	40	-3.16	40
13	13	-15	Max	0.00	-6249.81	40	-152.64	27	297.24	33	1001.13	33	-728.84	40	0.00	33
13	13	-15	Max	28.00	-6123.81	40	-152.64	27	221.36	33	1001.13	33	-528.78	40	0.00	33
13	13	-15	Min.	0.00	-6317.06	33	-271.00	33	189.43	27	714.48	40	-1213.01	33	-3.16	40
13	13	-15	Min.	28.00	-6191.06	33	-271.00	33	146.69	27	714.48	40	-932.70	33	-3.16	40
13	-15	113	Max	0.00	-6123.81	40	-152.64	27	221.36	33	1001.13	33	-528.78	40	0.00	33
13	-15	113	Max	312.00	-4719.81	40	-90.04	33	-329.54	27	1001.13	33	2190.81	33	0.00	33
13	-15	113	Min.	0.00	-6191.06	33	-271.00	33	146.69	27	714.48	40	-932.70	33	-3.16	40
13	-15	113	Min.	312.00	-4787.06	33	-160.80	40	-349.67	40	870.48	40	1943.76	40	-3.16	40
14	14	-16	Max	0.00	-9937.44	27	-706.81	40	1180.46	33	71.60	40	10.41	33	0.00	33
14	14	-16	Max	28.00	-9811.44	27	-706.81	40	914.00	33	71.60	40	17.01	33	0.00	33
14	14	-16	Min.	0.00	-10069.30	40	-951.61	33	911.04	40	23.55	33	-96.40	40	-3.16	40
14	14	-16	Min.	28.00	-9943.25	40	-951.61	33	713.13	40	23.55	33	-76.35	40	-3.16	40
14	-16	114	Max	0.00	-9811.44	27	-706.81	40	914.00	33	71.60	40	17.01	33	0.00	33
14	-16	114	Max	312.00	-8407.44	27	-946.61	27	-1978.83	40	71.60	40	147.04	40	0.00	33
14	-16	114	Min.	0.00	-9943.25	40	-951.61	33	713.13	40	23.55	33	-76.35	40	-3.16	40
14	-16	114	Min.	312.00	-8539.25	40	-1018.81	40	-2055.01	33	23.55	33	90.50	33	-3.16	40
15	15	-17	Max	0.00	-9893.85	27	-693.57	40	1174.60	33	-45.59	40	150.18	33	0.00	33
15	15	-17	Max	28.00	-9767.85	27	-693.57	40	909.47	33	-45.59	40	124.48	33	0.00	33
15	15	-17	Min.	0.00	-10018.40	40	-946.89	33	889.20	40	-91.80	33	45.60	40	-3.16	40
15	15	-17	Min.	28.00	-9892.45	40	-946.89	33	695.00	40	-91.80	33	32.83	40	-3.16	40
15	-17	115	Max	0.00	-9767.85	27	-693.57	40	909.47	33	-45.59	40	124.48	33	0.00	33
15	-17	115	Max	312.00	-8363.85	27	-941.95	27	-1955.65	40	-45.59	40	-109.42	40	0.00	33
15	-17	115	Min.	0.00	-9892.45	40	-946.89	33	695.00	40	-91.80	33	32.83	40	-3.16	40
15	-17	115	Min.	312.00	-8488.45	40	-1005.57	40	-2044.82	33	-91.80	33	-161.94	33	-3.16	40
16	16	-18	Max	0.00	-6106.23	40	163.72	40	-157.83	33	989.89	33	-477.69	40	0.00	33
16	16	-18	Max	28.00	-5980.23	40	163.72	40	-120.01	33	989.89	33	-329.80	40	0.00	33
16	16	-18	Min.	0.00	-6249.40	33	135.08	33	-205.50	40	528.19	40	-1199.40	33	-3.16	40
16	16	-18	Min.	28.00	-6123.40	33	135.08	33	-159.66	40	528.19	40	-922.23	33	-3.16	40
16	-18	116	Max	0.00	-5980.23	40	163.72	40	-120.01	33	989.89	33	-329.80	40	0.00	33
16	-18	116	Max	312.00	-4576.23	40	163.72	40	351.13	40	989.89	33	2166.22	33	0.00	33
16	-18	116	Min.	0.00	-6123.40	33	135.08	33	-159.66	40	528.19	40	-922.23	33	-3.16	40
16	-18	116	Min.	312.00	-4719.40	33	135.08	33	301.45	33	840.19	40	1804.89	40	-3.16	40
101	101	102	Max	15.00	-29717.50	27	0.00	27	0.00	27	780.47	40	-260.89	33	-186.19	27
101	101	102	Max	195.37									401.77	40		
101	101	102	Max	415.00	-29717.50	27	0.00	27	0.00	27	-878.84	27	-585.12	33	-186.19	27
101	101	102	Min.	15.00	-29717.50	27	0.00	27	0.00	27	718.94	33	-303.25	40	-192.03	40
101	101	102	Min.	195.01									372.17	27		
101	101	102	Min.	415.00	-29717.50	27	0.00	27	0.00	27	-947.53	40	-637.37	40	-192.03	40
101	102	103	Max	30.00	-29717.50	27	0.00	27	0.00	27	825.93	40	-482.87	27	2.08	40
101	102	103	Max	221.19									260.12	40		
101	102	103	Max	410.00	-29717.50	27	0.00	27	0.00	27	-742.00	33	-447.73	33	2.08	40
101	102	103	Min.	30.00	-29717.50	27	0.00	27	0.00	27	761.03	27	-529.42	40	1.32	27
101	102	103	Min.	224.50									240.48	33		
101	102	103	Min.	410.00	-29717.50	27	0.00	27	0.00	27	-815.67	40	-509.92	40	1.32	27
101	103	104	Max	30.00	-29717.50	27	0.00	27	0.00	27	942.42	40	-579.93	27	196.50	40
101	103	104	Max	248.15									392.92	40		
101	103	104	Max	425.00	-29717.50	27	0.00	27	0.00	27	-699.20	33	-246.10	33	196.50	40
101	103	104	Min.	30.00	-29717.50	27	0.00	27	0.00	27	868.83	27	-635.04	40	187.74	27
101	103	104	Min.	247.21									363.66	27		
101	103	104	Min.	425.00	-29717.50	27	0.00	27	0.00	27	-763.98	40	-282.62	40	187.74	27
102	113	114	Max	15.00	-29717.50	27	0.00	27	0.00	27	775.67	40	-260.89	33	186.66	33
102	113	114	Max	193.87									402.04	40		
102	113	114	Max	415.00	-29717.50	27	0.00	27	0.00	27	-878.84	27	-585.12	33	186.66	33
102	113	114	Min.	15.00	-29717.50	27	0.00	27	0.00	27	718.94	33	-294.32	40	178.19	40
102	113	114	Min.	195.01									372.17	27		
102	113	114	Min.	415.00	-29717.50	27	0.00	27	0.00	27	-952.33	40	-647.65	40	178.19	40
102	114	115	Max	30.00	-29717.50	27	0.00	27	0.00	27	818.05	40	-482.87	27	-0.68	40
102	114	115	Max	219.03									260.31	40		
102	114	115	Max	410.00	-29717.50	27	0.00	27	0.00	27	-742.00	33	-447.73	33	-0.68	40
102	114	115	Min.	30.00	-29717.50	27	0.00	27	0.00	27	761.03	27	-516.12	33	-1.34	33
102	114	115	Min.	224.50									240.48	33		
102	114	115	Min.	410.00	-29717.50	27	0.00	27	0.00	27	-823.55	40	-524.67	40	-1.34	33
102	115	116	Max	30.00	-29717.50	27	0.00	27	0.00	27	935.57	40	-579.93	27	-178.98	40
102	115	116	Max	246.57									392.56	40		
102	115	116	Max	425.00	-29717.50	27	0.00	27	0.00	27	-699.20	33	-246.10	33	-178.98	40
102	115	116	Min.	30.00	-29717.50	27	0.00	27	0.00	27	868.83	27	-620.52	40	-188.49	33
102	115	116	Min.	247.21									363.66	27		
102	115	116	Min.	425.00	-29717.50	27	0.00	27	0.00	27	-770.83	40	-295.14	40	-188.49	33
103	101	113	Max	45.00	-37146.80	27	0.00	27	0.00	27	3145.77	40	-859.45	27	1.53	40
103	101	113	Max	212.74									1530.88	40		
103	101	113	Max	365.00	-37146.80	27	0.00	27	0.00	27	-2855.43	40	-642.94	40	1.53	40
103	101	113	Min.	45.00	-37146.80	27	0.00	33	0.00	33	2949.40	27	-1107.49	40	0.00	33
103	101	113	Min.	204.68									1500.06	27		
103	101	113	Min.	365.00	-37146.80	27	0.00	33	0.00	33	-2987.80	33	-871.02	33	0.00	33

Relazione di calcolo

104	102	114	Max	15.00	-37146.80	27	0.00	27	0.00	27	5913.51	33	-1693.08	27	1.97	40
104	102	114	Max	205.00									3916.23	33		
104	102	114	Max	395.00	-37146.80	27	0.00	27	0.00	27	-5865.21	40	-1658.60	40	1.97	40
104	102	114	Min.	15.00	-37146.80	27	0.00	33	0.00	33	5883.11	27	-1726.63	40	0.00	33
104	102	114	Min.	205.00									3895.88	27		
104	102	114	Min.	395.00	-37146.80	27	0.00	33	0.00	33	-5913.51	33	-1701.61	33	0.00	33
105	103	115	Max	15.00	-37146.80	27	0.00	27	0.00	27	5884.30	33	-1684.60	27	1.80	40
105	103	115	Max	205.00									3896.84	33		
105	103	115	Max	395.00	-37146.80	27	0.00	27	0.00	27	-5827.98	40	-1635.32	40	1.80	40
105	103	115	Min.	15.00	-37146.80	27	0.00	33	0.00	33	5853.90	27	-1733.82	40	0.00	33
105	103	115	Min.	205.00									3876.61	27		
105	103	115	Min.	395.00	-37146.80	27	0.00	33	0.00	33	-5884.30	33	-1693.24	33	0.00	33
106	104	116	Max	45.00	-37146.80	27	0.00	27	0.00	27	3111.60	40	-851.67	27	1.00	40
106	104	116	Max	204.68									1501.01	33		
106	104	116	Max	365.00	-37146.80	27	0.00	27	0.00	27	-2738.00	40	-552.80	40	1.00	40
106	104	116	Min.	45.00	-37146.80	27	0.00	33	0.00	33	2924.80	27	-1150.55	40	0.00	33
106	104	116	Min.	204.68									1488.16	27		
106	104	116	Min.	365.00	-37146.80	27	0.00	33	0.00	33	-2950.40	33	-859.30	33	0.00	33

Tipo di combinazione di carico: SLE Q

Asta	N1	N2		X <cm>	N <daN>	CC	Ty <daN>	CC	Mz <daNm>	CC	Tz <daN>	CC	My <daNm>	CC	Mx <daNm>	CC
1	1	-3	Max	0.00	-6201.46	28	-152.49	28	189.24	28	-970.70	28	1176.14	28	0.00	28
1	1	-3	Max	28.00	-6075.46	28	-152.49	28	146.54	28	-970.70	28	904.35	28	0.00	28
1	1	-3	Min.	0.00	-6201.46	28	-152.49	28	189.24	28	-970.70	28	1176.14	28	0.00	28
1	1	-3	Min.	28.00	-6075.46	28	-152.49	28	146.54	28	-970.70	28	904.35	28	0.00	28
1	-3	101	Max	0.00	-6075.46	28	-152.49	28	146.54	28	-970.70	28	904.35	28	0.00	28
1	-3	101	Max	312.00	-4671.46	28	-152.49	28	-329.21	28	-970.70	28	-2124.22	28	0.00	28
1	-3	101	Min.	0.00	-6075.46	28	-152.49	28	146.54	28	-970.70	28	904.35	28	0.00	28
1	-3	101	Min.	312.00	-4671.46	28	-152.49	28	-329.21	28	-970.70	28	-2124.22	28	0.00	28
2	2	-4	Max	0.00	-9801.58	28	926.37	28	-1149.14	28	56.37	28	-67.97	28	0.00	28
2	2	-4	Max	28.00	-9675.58	28	926.37	28	-889.76	28	56.37	28	-52.19	28	0.00	28
2	2	-4	Min.	0.00	-9801.58	28	926.37	28	-1149.14	28	56.37	28	-67.97	28	0.00	28
2	2	-4	Min.	28.00	-9675.58	28	926.37	28	-889.76	28	56.37	28	-52.19	28	0.00	28
2	-4	102	Max	0.00	-9675.58	28	926.37	28	-889.76	28	56.37	28	-52.19	28	0.00	28
2	-4	102	Max	312.00	-8271.58	28	926.37	28	2000.50	28	56.37	28	123.67	28	0.00	28
2	-4	102	Min.	0.00	-9675.58	28	926.37	28	-889.76	28	56.37	28	-52.19	28	0.00	28
2	-4	102	Min.	312.00	-8271.58	28	926.37	28	2000.50	28	56.37	28	123.67	28	0.00	28
3	3	-5	Max	0.00	-9758.75	28	921.81	28	-1143.50	28	-52.05	28	63.40	28	0.00	28
3	3	-5	Max	28.00	-9632.75	28	921.81	28	-885.39	28	-52.05	28	48.82	28	0.00	28
3	3	-5	Min.	0.00	-9758.75	28	921.81	28	-1143.50	28	-52.05	28	63.40	28	0.00	28
3	3	-5	Min.	28.00	-9632.75	28	921.81	28	-885.39	28	-52.05	28	48.82	28	0.00	28
3	-5	103	Max	0.00	-9632.75	28	921.81	28	-885.39	28	-52.05	28	48.82	28	0.00	28
3	-5	103	Max	312.00	-8228.75	28	921.81	28	1990.67	28	-52.05	28	-113.58	28	0.00	28
3	-5	103	Min.	0.00	-9632.75	28	921.81	28	-885.39	28	-52.05	28	48.82	28	0.00	28
3	-5	103	Min.	312.00	-8228.75	28	921.81	28	1990.67	28	-52.05	28	-113.58	28	0.00	28
4	4	-6	Max	0.00	-6160.71	28	148.17	28	-183.72	28	-963.59	28	1167.54	28	0.00	28
4	4	-6	Max	28.00	-6034.71	28	148.17	28	-142.24	28	-963.59	28	897.73	28	0.00	28
4	4	-6	Min.	0.00	-6160.71	28	148.17	28	-183.72	28	-963.59	28	1167.54	28	0.00	28
4	4	-6	Min.	28.00	-6034.71	28	148.17	28	-142.24	28	-963.59	28	897.73	28	0.00	28
4	-6	104	Max	0.00	-6034.71	28	148.17	28	-142.24	28	-963.59	28	897.73	28	0.00	28
4	-6	104	Max	312.00	-4630.71	28	148.17	28	320.06	28	-963.59	28	-2108.68	28	0.00	28
4	-6	104	Min.	0.00	-6034.71	28	148.17	28	-142.24	28	-963.59	28	897.73	28	0.00	28
4	-6	104	Min.	312.00	-4630.71	28	148.17	28	320.06	28	-963.59	28	-2108.68	28	0.00	28
13	13	-15	Max	0.00	-6201.46	28	-152.49	28	189.24	28	970.70	28	-1176.14	28	0.00	28
13	13	-15	Max	28.00	-6075.46	28	-152.49	28	146.54	28	970.70	28	-904.35	28	0.00	28
13	13	-15	Min.	0.00	-6201.46	28	-152.49	28	189.24	28	970.70	28	-1176.14	28	0.00	28
13	13	-15	Min.	28.00	-6075.46	28	-152.49	28	146.54	28	970.70	28	-904.35	28	0.00	28
13	-15	113	Max	0.00	-6075.46	28	-152.49	28	146.54	28	970.70	28	-904.35	28	0.00	28
13	-15	113	Max	312.00	-4671.46	28	-152.49	28	-329.21	28	970.70	28	2124.22	28	0.00	28
13	-15	113	Min.	0.00	-6075.46	28	-152.49	28	146.54	28	970.70	28	-904.35	28	0.00	28
13	-15	113	Min.	312.00	-4671.46	28	-152.49	28	-329.21	28	970.70	28	2124.22	28	0.00	28
14	14	-16	Max	0.00	-9801.58	28	-926.37	28	1149.14	28	56.37	28	-67.97	28	0.00	28
14	14	-16	Max	28.00	-9675.58	28	-926.37	28	889.76	28	56.37	28	-52.19	28	0.00	28
14	14	-16	Min.	0.00	-9801.58	28	-926.37	28	1149.14	28	56.37	28	-67.97	28	0.00	28
14	14	-16	Min.	28.00	-9675.58	28	-926.37	28	889.76	28	56.37	28	-52.19	28	0.00	28
14	-16	114	Max	0.00	-9675.58	28	-926.37	28	889.76	28	56.37	28	-52.19	28	0.00	28
14	-16	114	Max	312.00	-8271.58	28	-926.37	28	-2000.50	28	56.37	28	123.67	28	0.00	28
14	-16	114	Min.	0.00	-9675.58	28	-926.37	28	889.76	28	56.37	28	-52.19	28	0.00	28
14	-16	114	Min.	312.00	-8271.58	28	-926.37	28	-2000.50	28	56.37	28	123.67	28	0.00	28
15	15	-17	Max	0.00	-9758.75	28	-921.81	28	1143.50	28	-52.05	28	63.40	28	0.00	28
15	15	-17	Max	28.00	-9632.75	28	-921.81	28	885.39	28	-52.05	28	48.82	28	0.00	28
15	15	-17	Min.	0.00	-9758.75	28	-921.81	28	1143.50	28	-52.05	28	63.40	28	0.00	28
15	15	-17	Min.	28.00	-9632.75	28	-921.81	28	885.39	28	-52.05	28	48.82	28	0.00	28
15	-17	115	Max	0.00	-9632.75	28	-921.81	28	885.39	28	-52.05	28	48.82	28	0.00	28
15	-17	115	Max	312.00	-8228.75	28	-921.81	28	-1990.67	28	-52.05	28	-113.58	28	0.00	28
15	-17	115	Min.	0.00	-9632.75	28	-921.81	28	885.39	28	-52.05	28	48.82	28	0.00	28
15	-17	115	Min.	312.00	-8228.75	28	-921.81	28	-1990.67	28	-52.05	28	-113.58	28	0.00	28

Relazione di calcolo

16	16	-18	Max	0.00	-6160.71	28	148.17	28	-183.72	28	963.59	28	-1167.54	28	0.00	28
16	16	-18	Max	28.00	-6034.71	28	148.17	28	-142.24	28	963.59	28	-897.73	28	0.00	28
16	16	-18	Min.	0.00	-6160.71	28	148.17	28	-183.72	28	963.59	28	-1167.54	28	0.00	28
16	16	-18	Min.	28.00	-6034.71	28	148.17	28	-142.24	28	963.59	28	-897.73	28	0.00	28
16	-18	116	Max	0.00	-6034.71	28	148.17	28	-142.24	28	963.59	28	-897.73	28	0.00	28
16	-18	116	Max	312.00	-4630.71	28	148.17	28	320.06	28	963.59	28	2108.68	28	0.00	28
16	-18	116	Min.	0.00	-6034.71	28	148.17	28	-142.24	28	963.59	28	-897.73	28	0.00	28
16	-18	116	Min.	312.00	-4630.71	28	148.17	28	320.06	28	963.59	28	2108.68	28	0.00	28
101	101	102	Max	15.00	0.00	28	0.00	28	0.00	28	720.96	28	-277.56	28	-181.99	28
101	101	102	Max	194.97									372.16	28		
101	101	102	Max	415.00	0.00	28	0.00	28	0.00	28	-879.04	28	-593.74	28	-181.99	28
101	101	102	Min.	15.00	0.00	28	0.00	28	0.00	28	720.96	28	-277.56	28	-181.99	28
101	101	102	Min.	194.97									372.16	28		
101	101	102	Min.	415.00	0.00	28	0.00	28	0.00	28	-879.04	28	-593.74	28	-181.99	28
101	102	103	Max	30.00	0.00	28	0.00	28	0.00	28	761.03	28	-482.92	28	1.29	28
101	102	103	Max	220.26									241.04	28		
101	102	103	Max	410.00	0.00	28	0.00	28	0.00	28	-758.97	28	-479.00	28	1.29	28
101	102	103	Min.	30.00	0.00	28	0.00	28	0.00	28	761.03	28	-482.92	28	1.29	28
101	102	103	Min.	220.26									241.04	28		
101	102	103	Min.	410.00	0.00	28	0.00	28	0.00	28	-758.97	28	-479.00	28	1.29	28
101	103	104	Max	30.00	0.00	28	0.00	28	0.00	28	869.04	28	-580.38	28	183.50	28
101	103	104	Max	247.26									363.65	28		
101	103	104	Max	425.00	0.00	28	0.00	28	0.00	28	-710.96	28	-268.19	28	183.50	28
101	103	104	Min.	30.00	0.00	28	0.00	28	0.00	28	869.04	28	-580.38	28	183.50	28
101	103	104	Min.	247.26									363.65	28		
101	103	104	Min.	425.00	0.00	28	0.00	28	0.00	28	-710.96	28	-268.19	28	183.50	28
102	113	114	Max	15.00	0.00	28	0.00	28	0.00	28	720.96	28	-277.56	28	181.99	28
102	113	114	Max	194.97									372.16	28		
102	113	114	Max	415.00	0.00	28	0.00	28	0.00	28	-879.04	28	-593.74	28	181.99	28
102	113	114	Min.	15.00	0.00	28	0.00	28	0.00	28	720.96	28	-277.56	28	181.99	28
102	113	114	Min.	194.97									372.16	28		
102	113	114	Min.	415.00	0.00	28	0.00	28	0.00	28	-879.04	28	-593.74	28	181.99	28
102	114	115	Max	30.00	0.00	28	0.00	28	0.00	28	761.03	28	-482.92	28	-1.29	28
102	114	115	Max	220.26									241.04	28		
102	114	115	Max	410.00	0.00	28	0.00	28	0.00	28	-758.97	28	-479.00	28	-1.29	28
102	114	115	Min.	30.00	0.00	28	0.00	28	0.00	28	761.03	28	-482.92	28	-1.29	28
102	114	115	Min.	220.26									241.04	28		
102	114	115	Min.	410.00	0.00	28	0.00	28	0.00	28	-758.97	28	-479.00	28	-1.29	28
102	115	116	Max	30.00	0.00	28	0.00	28	0.00	28	869.04	28	-580.38	28	-183.50	28
102	115	116	Max	247.26									363.65	28		
102	115	116	Max	425.00	0.00	28	0.00	28	0.00	28	-710.96	28	-268.19	28	-183.50	28
102	115	116	Min.	30.00	0.00	28	0.00	28	0.00	28	869.04	28	-580.38	28	-183.50	28
102	115	116	Min.	247.26									363.65	28		
102	115	116	Min.	425.00	0.00	28	0.00	28	0.00	28	-710.96	28	-268.19	28	-183.50	28
103	101	113	Max	45.00	0.00	28	0.00	28	0.00	28	2896.00	28	-844.05	28	0.00	28
103	101	113	Max	204.68									1472.74	28		
103	101	113	Max	365.00	0.00	28	0.00	28	0.00	28	-2896.00	28	-844.05	28	0.00	28
103	101	113	Min.	45.00	0.00	28	0.00	28	0.00	28	2896.00	28	-844.05	28	0.00	28
103	101	113	Min.	204.68									1472.74	28		
103	101	113	Min.	365.00	0.00	28	0.00	28	0.00	28	-2896.00	28	-844.05	28	0.00	28
104	102	114	Max	15.00	0.00	28	0.00	28	0.00	28	5757.00	28	-1656.69	28	0.00	28
104	102	114	Max	205.00									3812.46	28		
104	102	114	Max	395.00	0.00	28	0.00	28	0.00	28	-5757.00	28	-1656.69	28	0.00	28
104	102	114	Min.	15.00	0.00	28	0.00	28	0.00	28	5757.00	28	-1656.69	28	0.00	28
104	102	114	Min.	205.00									3812.46	28		
104	102	114	Min.	395.00	0.00	28	0.00	28	0.00	28	-5757.00	28	-1656.69	28	0.00	28
105	103	115	Max	15.00	0.00	28	0.00	28	0.00	28	5728.50	28	-1648.42	28	0.00	28
105	103	115	Max	205.00									3793.66	28		
105	103	115	Max	395.00	0.00	28	0.00	28	0.00	28	-5728.50	28	-1648.42	28	0.00	28
105	103	115	Min.	15.00	0.00	28	0.00	28	0.00	28	5728.50	28	-1648.42	28	0.00	28
105	103	115	Min.	205.00									3793.66	28		
105	103	115	Min.	395.00	0.00	28	0.00	28	0.00	28	-5728.50	28	-1648.42	28	0.00	28
106	104	116	Max	45.00	0.00	28	0.00	28	0.00	28	2872.00	28	-836.47	28	0.00	28
106	104	116	Max	204.41									1461.10	28		
106	104	116	Max	365.00	0.00	28	0.00	28	0.00	28	-2872.00	28	-836.47	28	0.00	28
106	104	116	Min.	45.00	0.00	28	0.00	28	0.00	28	2872.00	28	-836.47	28	0.00	28
106	104	116	Min.	204.41									1461.10	28		
106	104	116	Min.	365.00	0.00	28	0.00	28	0.00	28	-2872.00	28	-836.47	28	0.00	28

Criteri di progetto utilizzati

Pilastrini in c.a.

Generali	
Parametri di progetto	
Pilastrino prefabbricato	No
Progettazione dell'armatura con sollecitazioni più gravose	Si
Disaccoppia sovraresistenza	No
Limita fattore di sovraresistenza al massimo valore di struttura	No

Relazione di calcolo

Tipo verifica di stabilità	
-Per $N \cdot \Omega$ -M e per N -c*M (standard)	Si
-Per $N \cdot \Omega$ -c*M (doppia)	No
-Per $N \cdot \Omega$ (sforzo normale e momento nullo)	No
-Per c*M (momento e sforzo normale nullo)	No
Max angolo di piegatura ferri <grad>	20.00
Progettazione armatura di ripresa	Si
Minimizzazione armatura di ripresa	No
Minimizzazione area di ferro totale nella sezione	No
Non progettare riprese ma estendi solo i ferri	Si
Verifiche in relazione	Minimizzate
Ancoraggi	
Lunghezza ancoraggi	
-Lunghezza minima come multiplo del diametro	40.00
Ancoraggi tutti uguali	Si
Piegatura ancoraggi per discontinuità	Si
Piegatura ancoraggi ferri di ripresa	Si
Armatura a taglio	
Staffatura a spirale pilastri circolari	Si
Cambiare le staffe nei nodi appartenenti all'impalcato 0 se sul nodo incidono elementi	Si
Considera solo la zona critica alla base della pilastrata (strutture pendolari)	No
Progetta a taglio con traliccio ad inclinazione variabile	Si
-Classe A	
-In zona critica limita ctg θ a	1.00
-In zona non critica limita ctg θ a	2.50
-Classe B	
-In zona critica limita ctg θ a	2.50
-In zona non critica limita ctg θ a	2.50
Verifiche a taglio per elementi esistenti come per elementi nuovi	Si
Estendi nel nodo staffe sottostanti anche se non richiesto dalla normativa	No
Parametri di disegno	
Scala disegno sezioni pilastri	25.00
Scala disegno viste pilastri	50.00
Creazione tabelle pilastri	Si
-Tipo di tabella	Armature disposte dal basso verso l'alto
-Max lunghezza tavole <cm>	70.00
-Max altezza tavole <cm>	50.00
Creazione viste pilastri	
-Disegno ferri dentro pilastro in vista	Si
-Disegno staffe dentro pilastro in vista	Si
-Modalità di individuazione ferri	
-Modalità di indicazione ferri	Mediante una tabella
-Minimizzazione riferimenti	Si
-Modalità di individuazione ferri	Per posizione
-Modalità di indicazione ferri	Mediante una tabella
-Minimizzazione riferimenti	Si

Specifici	1
Materiali	
-Considera come elemento esistente	No
-Calcestruzzo	
-Livello di conoscenza	LC2
-Fattore di confidenza	1.20
-Tipo di calcestruzzo	C28/35
-Rck calcestruzzo	350.00
-Modulo elastico <daN/cm ² >	325881.00
-Resistenza caratteristica cilindrica (Fck)	290.50
-Resistenza caratteristica a trazione (Fctk)	19.84
-Resistenza media (Fcm) <daN/cm ² >	370.50
-Resistenza media a trazione (Fctm) <daN/cm ² >	28.35
- σ amm. calcestruzzo <daN/cm ² >	110.00
- τ_{c0} <daN/cm ² >	6.70
- τ_{c1} <daN/cm ² >	19.70
-Riduci Fcd per tutte le verifiche secondo il D.M. 18	Si
- γ_c per stati limite ultimi	
-Automatico	x
-Pari a	
-Acciaio	
-Livello di conoscenza	LC2
-Fattore di confidenza	1.20

Relazione di calcolo

-Tipo di acciaio	B450C
-Modulo elastico <daN/cm ² >	2060000.00
-Tensione caratteristica di snervamento (Fyk) <daN/cm ² >	4500.00
-Tensione media di snervamento (Fym) <daN/cm ² >	4500.00
-Sigma amm. acciaio <daN/cm ² >	2600.00
-Sigma amm. reti e tralicci <daN/cm ² >	2600.00
-Allungamento per verifiche di duttilità (Agt) <%>	4.00
-γs per stati limite ultimi	
-Automatico	x
-Pari a	
-Coeff. di omogeneizzazione	15.00
Parametri per analisi pushover	
Numero fibre	200.00
Fattore di confinamento nucleo interno	1.00
Fattore di incrudimento acciaio <%>	0.10
Parametri per verifiche di duttilità	
Considera formulazione per pareti	No
Considera rotazione massima di esercizio per determinare SLO e SLD	No
Modalità di calcolo luce di taglio Lv	
-Lv=L/2	x
-Lv=M/V	
-Lv=Punto di nullo del momento flettente	
Capacità di rotazione alla corda al collasso	
-Formula C8A.6.1 con fattore di riduzione pari a	
-Formula C8A.6.5	x
Sforzo normale di verifica per analisi pushover	
-Gravitazionale	
-Dal calcolo	x
Parametri di calcolo	
Strategia di progetto	RETTANG
Copriferro reale al bordo staffa <cm>	4.50
Diametro staffa teorica <mm>	9.00
Continuità dei ferri nei nodi appartenenti all'impalcato 0	Si
Coeff. β in direzione Z locale	1.00
Coeff. β in direzione Y locale	1.00
Armatura secondo Circ. 65 del 10/04/97	No
-Raffittimento staffe in testa e al piede del pilastro	No
-Passo <cm>	
Parametri di progetto secondo il D.M. 18	
Elemento dissipativo	Si
Trascura gerarchia	No
Limita verifica a pressoflessione ad elemento non dissipativo	Si
Limita verifica a taglio ad elemento non dissipativo	Si
Elemento secondario	No
Incremento percentuale per piano debole	No
Non effettuare verifiche dei nodi fra trave e pilastro	No
Verifiche a pressoflessione deviata	Si
Per calcoli secondo il D.M. 18 usa espressione 4.1.19	No
Verifiche a taglio	
Verifiche a taglio per sezioni circolari	
-Usa formulazione sezioni generiche	
-Considera rettangolo inscritto con B/H pari a	1.00
Verifiche a taglio per sezioni generiche	
-Considera Vrdu minimo	
-Considera Vrdu calcolato in corrispondenza di bw minimo	
-Considera Vrdu in corrispondenza di bw medio	x
-Considera Vrdu in corrispondenza di bw massimo	
-Considera sempre Af Staffe non proiettata in direzione del taglio	Si
Armatura a pressoflessione	
Elenco diametri ferri longitudinali 1 <mm>	16
Elenco diametri ferri longitudinali 2 <mm>	20
Elenco diametri ferri longitudinali 3 <mm>	
Elenco diametri ferri longitudinali 4 <mm>	
Elenco diametri ferri longitudinali 5 <mm>	
Elenco diametri ferri longitudinali 6 <mm>	
Elenco diametri ferri longitudinali 7 <mm>	
Max distanza fra i ferri su un lato <cm>	25.00
Min. interferro ammissibile <cm>	7.00
Distanza fra i ferri di spigolo <cm>	3.00
Min. numero ferri per pilastri circolari	8.00
Reggistaffe aggiuntivi sezioni non rettangolari	Si
Fattore di riduzione τc0 per ancoraggio ferri	1.00
Armatura a taglio	

Relazione di calcolo

Elenco diametri staffe 1 <mm>	8
Elenco diametri staffe 2 <mm>	
Elenco diametri staffe 3 <mm>	
Elenco diametri staffe 4 <mm>	
Elenco diametri staffe 5 <mm>	
Elenco diametri staffe 6 <mm>	
Elenco diametri staffe 7 <mm>	
Mantieni diametro costante nell'interpiano	Si
Passi staffe	10.00
-Minimo <cm>	Si
-Massimo <cm>	25.00
-Incremento <cm>	5.00
Tipo di minimizzazione staffatura	
-Minimizza il numero delle staffe	
-Minimizza il peso delle staffe	x
Max distanza fra ferri non collegati <cm>	20.00
Max numero ferri non collegati	2.00
Max distanza fra ferri nei nodi non collegati <cm>	7.00
Max numero ferri nei nodi non collegati	1.00
Collegamenti ferri	
Con spilli	
Con staffe rettangolari	
Con staffe poligonali	x
Ferri orizzontali pareti realizzati con staffe	No
Quote di alleggerimento armature pilastri prefabbricati	
Quota di alleggerimento n. 1 <m>	0.00
Quota di alleggerimento n. 2 <m>	0.00
Quota di alleggerimento n. 3 <m>	0.00
Quota di alleggerimento n. 4 <m>	0.00
Quota di alleggerimento n. 5 <m>	0.00
Quota di alleggerimento n. 6 <m>	0.00
Quota di alleggerimento n. 7 <m>	0.00
Dati per progettazione interattiva sezioni	
Distanza fra ferri su più strati <cm>	1.00
Integrare lo scorrimento lungo il tratto	Si
-Lunghezza del tratto <m>	1.00
Dati per progettazione agli stati limite	
Gruppo di esigenza	
-Ambiente poco aggressivo	x
-Ambiente moderatamente aggressivo	
-Ambiente molto aggressivo	
Usa dominio N-M per flessioni rette	No
-Ricerca della sicurezza con sforzo normale costante	
-Ricerca della sicurezza con eccentricità costante	
Controllo rapporto X/D	No
Barre da considerare tese per verifiche a taglio	
-Solo le barre con deformazione percentuale rispetto alla barra più tesa non inferiore al <%>	30.00
-Tutte le barre in trazione	
Dati per verifiche di resistenza al fuoco	
-Tempo di verifica (REI) <minuti>	120.00
Dimensione MESH <cm>	2.00
-Passo di calcolo <secondi>	10.00
-Temperatura ambiente <C°>	20.00
-Coeff. di convezione a temperatura ambiente <W/mq K>	9.00
Calcestruzzo	
-Tipo di aggregati	SILICEI
Massa volumica a secco <daN/mc>	2300.00
-Umidità iniziale <%>	3.00
-Fattore di interpolazione conducibilità	0.50
Dati per verifiche FRP	
Rinforzo longitudinale	
Tipo di fibra/resina	
-Vetro/Epossidica	
-Arammidica/Epossidica	
-Carbonio/Epossidica	x
Resistenza caratteristica (f_{fk}) <daN/cm ² >	49000.00
Modulo elastico (E_c) <daN/cm ² >	2500000.00
Deformazione caratteristica a rottura per trazione (ϵ_{fk}) <%>	2.00
Spessore equivalente (t_f) <mm>	0.17
Sistemi di rinforzo	
-Preformati	
-Impregnati in situ	x
Rinforzo trasversale	

Relazione di calcolo

Tipo di fibra/resina	
-Vetro/Epossidica	
-Arammidica/Epossidica	
-Carbonio/Epossidica	x
Resistenza caratteristica (f_{fk}) <daN/cm ² >	49000.00
Modulo elastico (E_c) <daN/cm ² >	2500000.00
Deformazione caratteristica a rottura per trazione (ϵ_{fk}) <%>	2.00
Spessore equivalente (t_f) <mm>	0.17
Sistemi di rinforzo	
-Preformati	
-Impregnati in situ	x
Trascura resistenza a taglio dei rinforzi	No
Modalità di carico	
-Lungo termine	x
-Ciclico	
Coeff. parziale di sicurezza per SLU di distacco (γ_{fd})	1.50
Fattore di conversione ambientale (η_a)	0.95
Raggio di arrotondamento spigoli (r_c) <cm>	2.00
Coeff. condizione di carico (K_q)	1.25
Dati per verifiche incamicature in acciaio non CAM	
Resistenza di progetto strisce di collegamento (F_{yd}) <daN/cm ² >	2350.00

Travi in c.a.

Generali	
Parametri di progetto	
Passo di progettazione <m>	0.30
Tipo di sollecitazioni zone rigide	Costanti
Min. angolo per spinte a vuoto <grad>	10.00
Invertire i ferri anche in presenza di pilastro sottostante	Si
Max differenza larghezza travi continue <cm>	5.00
Progetta a taglio con traliccio ad inclinazione variabile	Si
-Classe A	
-In zona critica limita ctg θ a	1.00
-In zona non critica limita ctg θ a	2.50
-Classe B	
-In zona critica limita ctg θ a	2.50
-In zona non critica limita ctg θ a	2.50
Verifiche a taglio per elementi esistenti come per elementi nuovi	Si
Lunghezze e arrotondamenti	
Max lunghezza barre <m>	12.00
Arrotondamento lunghezza ferri <cm>	50.00
Lunghezza ferri nei muri d'estremità <m>	1.20
Min. interfero ammissibile <cm>	2.00
Elenco diametri minimizzazione interferri <mm>	14 16 18 20 24
Riduzione ancoraggi	
-Nella zona compressa per flessione	No
-Nei punti inferiori della travata	Si
Considerare nel calcolo degli ancoraggi i risvolti specificati nei criteri generali di disegno	No
Risvoltare i ferri per garantire l'ancoraggio agli estremi della trave	No
Reggistaffe	
Interruzione reggistaffe in campata	No
Modalità di sovrapposizione reggistaffe	Per garantire la copertura del momento negativo
Modalità di unificazione reggistaffe	Solo se la geometria della travata e la lunghezza totale delle barre lo consentono
Minimi di regolamento	
Min. percentuale di regolamento	
-Per le travi di fondazione	No
-Per le travi di elevazione	Si
Min. di armatura a taglio	
-Per le travi di fondazione	No
-Per le travi di elevazione	No
Tipo di armatura per taglio (T.A.)	Mista
Controllo passo e 12Fi	Si
Min. di regolamento a torsione nell'ala	No
Min. di regolamento nell'ala	No
Stampe	
Verifiche a flessione in relazione	Minimizzate
Verifiche a taglio in relazione	Max scorrimento per taglio e torsione

Relazione di calcolo

Parametri di disegno	
Scala disegno travi	50.00
Scala disegno sezioni	25.00
Campitura sezioni	Fitta
Disegno sezione travi in falso	Si
Disegna sezioni	Si
Campitura travi in falso	Fitta
Campitura muri	Rada
Tipo di quotatura luci nette trave	Con riferimento ai pilastri superiori
Lunghezza monconi di pilastro	Minimizzata
Linee di riferimento quote	Si
Quotatura zone di staffatura	No
Quotatura zone di staffatura	No
Indicazione numero bracci staffe	Solo se il numero è maggiore di due
Disegno ferri longitudinali	
Disegno ferri dentro la trave	Si
Disegno esploso ferri di parete	No
Distanza fra ferri esplosi <cm>	0.10
Disegno reggistaffe aggiuntivi per travi a T e L	Reggistaffe aggiuntivi tipo 3
Disegno staffe	
Posizione staffe esterne	In automatico
Disegno staffe dentro la sezione	Si

Specifici	1	2
Materiali		
-Considera come elemento esistente	No	No
-Calcestruzzo		
-Livello di conoscenza	LC2	LC2
-Fattore di confidenza	1.20	1.20
-Tipo di calcestruzzo	C30/37	C30/37
-Rck calcestruzzo	370.00	370.00
-Modulo elastico <daN/cm ² >	330194.00	330194.00
-Resistenza caratteristica cilindrica (Fck)	307.10	307.10
-Resistenza caratteristica a trazione (Fctk)	20.59	20.59
-Resistenza media (Fcm) <daN/cm ² >	387.10	387.10
-Resistenza media a trazione (Fctm) <daN/cm ² >	29.42	29.42
-σ amm. calcestruzzo <daN/cm ² >	115.00	115.00
-tc0 <daN/cm ² >	6.90	6.90
-tc1 <daN/cm ² >	20.30	20.30
-Riduci Fcd per tutte le verifiche secondo il D.M. 18	Si	Si
-γc per stati limite ultimi		
-Automatico	x	x
-Pari a		
-Acciaio		
-Livello di conoscenza	LC2	LC2
-Fattore di confidenza	1.20	1.20
-Tipo di acciaio	B450C	B450C
-Modulo elastico <daN/cm ² >	2060000.00	2060000.00
-Tensione caratteristica di snervamento (Fyk) <daN/cm ² >	4500.00	4500.00
-Tensione media di snervamento (Fym) <daN/cm ² >	4500.00	4500.00
-Sigma amm. acciaio <daN/cm ² >	2600.00	2600.00
-Sigma amm. reti e tralicci <daN/cm ² >	2600.00	2600.00
-Allungamento per verifiche di duttilità (Agt) <%>	4.00	4.00
-γs per stati limite ultimi		
-Automatico	x	x
-Pari a		
-Coeff. di omogeneizzazione	15.00	15.00
Parametri per analisi pushover		
Numero fibre	200.00	200.00
Fattore di confinamento nucleo interno	1.00	1.00
Fattore di incrudimento acciaio <%>	0.10	0.10
Parametri per verifiche di duttilità		
Considera rotazione massima di esercizio per determinare SLO e SLD	No	No
Modalità di calcolo luce di taglio Lv		
-Lv=L/2	x	x
-Lv=M/V		
-Lv=Punto di nullo del momento flettente		
Capacità di rotazione alla corda al collasso		
-Formula C8A.6.1 con fattore di riduzione pari a		
-Formula C8A.6.5	x	x
Sforzo normale di verifica per analisi pushover		
-Gravitazionale		

Relazione di calcolo

-Dal calcolo	x	x
Parametri di calcolo		
Progetto a pressoflessione	Si	Si
-Per tutte le travi		
-Solo per travi inclinate	x	x
-Min. angolo per pressoflessione <grad>	10.00	10.00
-Compressione massima senza progetto a pressoflessione <%>	10.00	10.00
Progetto a torsione	No	No
-Trazione senza progetto a torsione<%>		
Armatura secondo Circ. 65 del 10/04/97	No	No
Parametri di progetto secondo il D.M. 18		
Elemento dissipativo	Si	Si
Trascura gerarchia	No	No
Limita verifica a taglio ad elemento non dissipativo	Si	Si
Elemento secondario	No	No
Sollecitazioni dissipative amplificate per elementi di fondazione	No	No
Escludi dal calcolo sovraresistenza per pilastri incidenti	No	No
Sollecitazioni complanari ad eventuali elementi bidimensionali	No	No
Copriferro teorico superiore <cm>	4.50	4.50
Copriferro teorico inferiore <cm>	4.50	4.50
Min. momento fittizio agli appoggi	No	No
-Denominatore		
Min. momento fittizio in campata	No	No
-Denominatore		
Incremento percentuale momento in campata <%>	10.00	10.00
Usa taglio max per traslazione momento (S.L.)	Si	Si
Limitare momento traslato al valore max di appoggio (S.L.)	No	No
Limitare momento traslato al valore max di campata (S.L.)	No	No
Taglio da momento resistente in fondazione (S.L.)	No	No
Tipo di progetto in doppia armatura (T.A.)		
-Tensioni pari ai valori amm.		
-Tensioni pari ai valori amm. con AfComp/AfTesa minore o pari a	1.00	1.00
-Con AfComp/AfTesa pari a		
Parametri di progettazione armatura		
Max differenza fra diametri per unificazioni	2.00	2.00
Max distanza fra barre per unificazioni <m>	1.00	1.00
Denominatore per individuazione zona di campata	32.00	32.00
Fattore di copertura appoggi (0÷1)	0.00	0.00
Fattore di riduzione per ancoraggio ferri	1.00	1.00
Minimizzazione momenti resistenti di appoggio (stati limite D.M. 18)	Si	Si
-Tolleranza di copertura da sovrapposizione <%>	10.00	0.00
Tipo di distribuzione armatura eccedente in fase di verifica		
-Ripartita proporzionalmente per flessione, torsione e taglio	x	x
-Tutta agente per flessione		
-Tutta agente per taglio		
Armatura a flessione		
Elenco diametri ferri longitudinali 1 <mm>	16	16
Elenco diametri ferri longitudinali 2 <mm>	20	20
Elenco diametri ferri longitudinali 3 <mm>		
Elenco diametri ferri longitudinali 4 <mm>		
Elenco diametri ferri longitudinali 5 <mm>		
Elenco diametri ferri longitudinali 6 <mm>		
Elenco diametri ferri longitudinali 7 <mm>		
Max differenza fra diametri nella trave	8.00	8.00
Max differenza fra diametri ferri accoppiati	4.00	4.00
Reggistaffe superiori		
-Numero		
-Automatico		x
-Pari a	2.00	
-Max mutua distanza <cm>		
-Diametro		
-Automatico	x	x
-Pari a <mm>		
-Minimo <mm>		
Reggistaffe inferiori		
-Numero		
-Automatico		x
-Pari a	2.00	
-Max mutua distanza <cm>		
-Diametro		
-Automatico	x	x
-Pari a <mm>		
-Minimo <mm>		
Armatura a taglio		
Scorrimento (T.A.)		

Relazione di calcolo

-Percentuale assorbita dalle staffe <%>	100.00	100.00
-Percentuale assorbita dai ferri piegati <%>	0.00	0.00
-Percentuale assorbita dai ferri di parete <%>	0	0
-Considerare il valore relativo alle staffe come minimo percentuale da adottare	No	No
Variabilità staffe		
-Staffe uguali a passo costante		
-Staffe diverse in tre parti della trave in funzione delle zone critiche	x	x
-Staffe diverse in tre parti della trave in funzione di un multiplo dell'altezza pari a		
Variabilità staffe ala		
-Passi uguali a passi anima	x	x
-Passi multipli di passi anima		
-Passi indipendenti da passi anima		
Min. lunghezza tratto centrale come multiplo dell'altezza della trave	1.10	1.10
Elenco diametri staffe 1 <mm>	8	6
Elenco diametri staffe 2 <mm>		8
Elenco diametri staffe 3 <mm>		
Elenco diametri staffe 4 <mm>		
Elenco diametri staffe 5 <mm>		
Elenco diametri staffe 6 <mm>		
Elenco diametri staffe 7 <mm>		
Elenco numero bracci staffe 1	2	2
Elenco numero bracci staffe 2		4
Elenco numero bracci staffe 3		
Elenco numero bracci staffe 4		
Elenco numero bracci staffe 5		
Passi staffe		
-Minimo <cm>	5.00	4.00
-Massimo <cm>	25.00	32.00
-Incremento <cm>	5.00	4.00
Elementi costanti		
-Diametro	Si	Si
-Passo	No	No
-Bracci	Si	Si
Tipo di minimizzazione staffatura		
-Minimizza il numero delle staffe	x	x
-Minimizza il peso delle staffe		
Raffittimento staffe all'estremità della trave	No	No
-Passo non superiore a		
Lunghezza max del tratto di calcolo scorrimento		
-Pari al tratto in cui $\tau > \tau_{c0}$	x	x
-Pari a <cm>		
-Come multiplo dell'altezza pari a		
Armatura a taglio e torsione		
Elenco diametri ferri piegati 1 <mm>	12	12
Elenco diametri ferri piegati 2 <mm>	14	14
Elenco diametri ferri piegati 3 <mm>	16	16
Elenco diametri ferri piegati 4 <mm>	18	18
Elenco diametri ferri piegati 5 <mm>	20	20
Elenco diametri ferri piegati 6 <mm>		
Elenco diametri ferri piegati 7 <mm>		
Angolo di piegatura <grad>	45.00	45.00
Posizione primo punto di piegatura		
-Pari al multiplo dell'altezza		
-Distanza <cm>	5.00	5.00
Interasse punti di piegatura		
-Pari al multiplo dell'altezza		
-Distanza <cm>	25.00	25.00
Tipo di ferri piegati		
-Solo sagomati		
-Solo cavallotti		
-Sia sagomati che cavallotti	x	x
Ferri di parete	Si	Si
-Max distanza fra le barre <cm>	30.00	30.00
Elenco diametri ferri di parete 1 <mm>	12	12
Elenco diametri ferri di parete 2 <mm>	14	14
Elenco diametri ferri di parete 3 <mm>	16	16
Elenco diametri ferri di parete 4 <mm>	18	18
Elenco diametri ferri di parete 5 <mm>	20	20
Elenco diametri ferri di parete 6 <mm>		
Elenco diametri ferri di parete 7 <mm>		
Elenco diametri staffe orizzontali 1 <mm>	6	6
Elenco diametri staffe orizzontali 2 <mm>	8	8
Elenco diametri staffe orizzontali 3 <mm>		
Elenco diametri staffe orizzontali 4 <mm>		
Elenco diametri staffe orizzontali 5 <mm>		
Elenco diametri staffe orizzontali 6 <mm>		
Elenco diametri staffe orizzontali 7 <mm>		

Relazione di calcolo

Parametri di disegno		
Risvolto ferri superiori	Si	Si
-Pari a <cm>	25.00	25.00
-Pari all'altezza della trave		
-Pari alla minima altezza delle travi incidenti		
Risvolto ferri inferiori	Si	Si
-Pari a <cm>	25.00	25.00
-Pari all'altezza della trave		
-Pari alla minima altezza delle travi incidenti		
Risvolto ferri laterali	Si	Si
-Pari a <cm>	25.00	25.00
-Pari alla larghezza della trave		
Magrone	Si	Si
-Allargamento laterale <cm>	0.00	0.00
-Altezza <cm>	20.00	20.00
Dati per progettazione interattiva sezioni		
Copriferro reale al bordo staffa <cm>	2.50	2.50
Diametro staffa teorica <mm>	8.00	8.00
Distanza fra ferri su più strati <cm>	1.00	1.00
Integrare lo scorrimento lungo il tratto	Si	Si
-Lunghezza del tratto <m>	1.00	1.00
Dati per progettazione agli stati limite		
Gruppo di esigenza		
-Ambiente poco aggressivo	x	x
-Ambiente moderatamente aggressivo		
-Ambiente molto aggressivo		
Usa dominio N-M per flessioni rette	Si	Si
-Ricerca della sicurezza con sforzo normale costante		
-Ricerca della sicurezza con eccentricità costante	x	x
Controllo rapporto X/D	Si	Si
Barre da considerare tese per verifiche a taglio		
-Solo le barre con deformazione percentuale rispetto alla barra più tesa non inferiore al <%>	30.00	30.00
-Tutte le barre in trazione		
Dati per verifiche di resistenza al fuoco		
-Tempo di verifica (REI) <minuti>	120.00	120.00
Dimensione MESH <cm>	2.00	2.00
-Passo di calcolo <secondi>	10.00	10.00
-Temperatura ambiente <C°>	20.00	20.00
-Coeff. di convezione a temperatura ambiente <W/mq K>	9.00	9.00
Calcestruzzo		
-Tipo di aggregati	SILICEI	SILICEI
Massa volumica a secco <daN/mc>	2300.00	2300.00
-Umidità iniziale <%>	3.00	3.00
-Fattore di interpolazione conducibilità	0.50	0.50
Dati per verifiche FRP		
Rinforzo longitudinale		
Tipo di fibra/resina		
-Vetro/Epossidica		
-Arammidica/Epossidica		
-Carbonio/Epossidica	x	x
Resistenza caratteristica (f_{fk}) <daN/cm ² >	49000.00	49000.00
Modulo elastico (E_c) <daN/cm ² >	2500000.00	2500000.00
Deformazione caratteristica a rottura per trazione (ϵ_{fk}) <%>	2.00	2.00
Spessore equivalente (t_f) <mm>	0.17	0.17
Sistemi di rinforzo		
-Preformati		
-Impregnati in situ	x	x
Rinforzo trasversale		
Tipo di fibra/resina		
-Vetro/Epossidica		
-Arammidica/Epossidica		
-Carbonio/Epossidica	x	x
Resistenza caratteristica (f_{fk}) <daN/cm ² >	49000.00	49000.00
Modulo elastico (E_c) <daN/cm ² >	2500000.00	2500000.00
Deformazione caratteristica a rottura per trazione (ϵ_{fk}) <%>	2.00	2.00
Spessore equivalente (t_f) <mm>	0.17	0.17
Sistemi di rinforzo		
-Preformati		
-Impregnati in situ	x	x
Modalità di carico		
-Lungo termine	x	x
-Ciclico		
Coeff. parziale SLU di distacco (γ_{fa})	1.50	1.50

Relazione di calcolo

Fattore di conversione ambientale (η_a)	0.95	0.95
Raggio di arrotondamento spigoli (r_c) <cm>	2.00	2.00
Coeff. condizione di carico (K_q)	1.25	1.25

Verifiche e armature travi

Simbologia

Caso	= Caso di verifica
Xg	= Coordinata progressiva (dal primo nodo) in cui viene effettuato il progetto/verifica
CC	= Combinazione delle condizioni di carico elementari
c	= momento fittizio in campata
a	= momento fittizio agli appoggi
TG	= taglio da gerarchia delle resistenze
TGND	= taglio non dissipativo limitante la gerarchia
T	= momento traslato per taglio
e	= eccentricità aggiuntiva in caso di compressione o pressoflessione
TCC	= Tipo di combinazione di carico
SLU	= Stato limite ultimo
SLU S	= Stato limite ultimo (azione sismica)
SLE R	= Stato limite d'esercizio, combinazione rara
SLE F	= Stato limite d'esercizio, combinazione frequente
SLE Q	= Stato limite d'esercizio, combinazione quasi permanente
SLD	= Stato limite di danno
SLV	= Stato limite di salvaguardia della vita
SLC	= Stato limite di prevenzione del collasso
SLO	= Stato limite di operatività
SLU I	= Stato limite di resistenza al fuoco
SND	= Stato limite di salvaguardia della vita (non dissipativo)
El	= Elemento (asta) in cui viene effettuato il progetto/verifica (progressivo sul numero di aste)
Sez.	= Numero della sezione
Crit.	= Numero del criterio di progetto
X	= Coordinata progressiva rispetto al nodo iniziale
AfE S	= Area di ferro effettiva totale presente nel punto di verifica, superiore
AfE I	= Area di ferro effettiva totale presente nel punto di verifica, inferiore
AfEP S	= Area di ferro effettiva parziale presente nella CC considerata, per la sollecitazione indicata, superiore
AfEP I	= Area di ferro effettiva parziale presente nella CC considerata, per la sollecitazione indicata, inferiore
My	= Momento flettente intorno all'asse Y
MRdy	= Momento resistente allo stato limite ultimo intorno all'asse Y
Sic.	= Sicurezza a rottura
σ_f sup	= Tensione nel ferro - superiore
σ_f inf	= Tensione nel ferro - inferiore
σ_c	= Tensione nel calcestruzzo
X0	= Coordinata progressiva (dal nodo iniziale) dell'inizio del tratto
X1	= Coordinata progressiva (dal nodo iniziale) della fine del tratto
Lung.	= Lunghezza del tratto di progettazione
Staff.	= Staffatura adottata
AfE St.	= Area di ferro effettiva della staffatura (d'anima per travi a T o L)
bw	= Larghezza membratura resistente al taglio
Vsdu	= Taglio agente nella direzione del momento ultimo
ctg θ	= Cotangente dell'angolo di inclinazione dei puntoni di calcestruzzo
VRsd	= Taglio ultimo lato armatura
VRcd	= Taglio ultimo lato calcestruzzo
Vrdu	= Taglio ultimo assorbibile dal solo calcestruzzo
Sic.T	= Sicurezza a rottura per taglio
c	= Ricoprimento dell'armatura
s	= Distanza minima tra le barre
K3	= Coefficiente di forma del diagramma delle tensioni prima della fessurazione
s_{rm}	= Distanza media tra le fessure
Φ	= Diametro della barra
A_s	= Area complessiva dei ferri nell'area di calcestruzzo efficace
$A_{c\ eff}$	= Area di calcestruzzo efficace
σ_s	= Tensione nell'acciaio nella sezione fessurata
σ_{sr}	= Tensione nell'acciaio corrispondente al raggiungimento della resistenza a trazione nel calcestruzzo
ϵ_{sm}	= Deformazione unitaria media dell'armatura (*1000)
Wk	= Apertura delle fessure
Tipo	= Tipologia
	2C = Doppia C lato labbri
	2Cdx = Doppia C lato costola
	2I = Doppia I
	2L = Doppia L lato labbri
	2Ldx = Doppia L lato costole
	C = Sezione a C
	Cdx = C destra
	Cir. = Circolare
	Cir.c = Circolare cava
	I = Sezione a I
	L = Sezione a L
	Ldx = L destra
	Om. = Omega
	Pg = Pi greco
	Pr = Poligono regolare
	Prc = Poligono regolare cavo
	Pc = Per coordinate
	Ia = Inerzie assegnate
	R = Rettangolare
	Rc = Rettangolare cava
	T = Sezione a T
	U = Sezione a U
	Ur = U rovescia
	V = Sezione a V
	Vr = V rovescia
	Z = Sezione a Z
	Zdx = Z destra
	Ts = T stondata
	Ls = L stondata
	Cs = C stondata
	Is = I stondata
	Dis. = Disegnata
B	= Base
H	= Altezza
Cf sup	= Copriferro superiore
Cf inf	= Copriferro inferiore
Cls	= Tipo di calcestruzzo
Fck	= Resistenza caratteristica cilindrica a compressione del calcestruzzo

Relazione di calcolo

Fctk = Resistenza caratteristica a trazione del calcestruzzo
 Fcd = Resistenza di calcolo a compressione del calcestruzzo
 Fctd = Resistenza di calcolo a trazione del calcestruzzo
 Tp = Tipo di acciaio
 Fyk = Tensione caratteristica di snervamento dell'acciaio
 Fyd = Resistenza di calcolo dell'acciaio

Travata n. 101

Nodi: 101 102 103 104

Caratteristiche delle sezioni e dei materiali utilizzati

Sez.	Tipo	B	H	Cf sup	Cf inf	Cls	Fck	Fctk	Fcd	Fctd	Tp	Fyk	Fyd
		<cm>	<cm>	<cm>	<cm>		<daN/cmq>	<daN/cmq>	<daN/cmq>	<daN/cmq>		<daN/cmq>	<daN/cmq>
3R		30.00	40.00	4.50	4.50	C30/37	307.10	20.59	174.02	13.73	B450C	4500.00	3913.04

Stato limite ultimo - Verifiche a flessione/pressoflessione

Xg	CC	TCC	El	X	AfE S	AfE I	AfEP S	AfEP I	My	MRdy	Sic.
<m>				<cm>	<cmq>	<cmq>	<cmq>	<cmq>	<daNm>	<daNm>	
0.15	13	SLV	1	15.00	6.03	6.03	6.03	6.03	-1721.46	-7825.13	4.546
4.15	1	SLV	1	415.00	6.03	6.03	6.03	6.03	-2201.43	-7825.13	3.555
4.75	13	SLV	2	30.00	6.03	6.03	6.03	6.03	-2401.98	-7825.13	3.258
8.23	1	SLV	2	378.33	6.03	6.03	6.03	6.03	-2396.71	-7825.13	3.265
8.55	1	SLV	2	410.00	6.03	6.03	6.03	6.03	-2396.71	-7825.13	3.265
9.15	13	SLV	3	30.00	6.03	6.03	6.03	6.03	-2200.20	-7825.13	3.557
12.80	1	SLV	3	394.62	6.03	6.03	6.03	6.03	-1719.91	-7825.13	4.550
13.10	1	SLV	3	425.00	6.03	6.03	6.03	6.03	-1719.91	-7825.13	4.550

Stato limite d'esercizio - Verifiche tensionali

Xg	CC	TCC	El	X	AfE S	AfE I	My	σf sup	σf inf	σc
<m>				<cm>	<cmq>	<cmq>	<daNm>	<daN/cmq>	<daN/cmq>	<daN/cmq>
0.15	38	SLE R	1	15.00	6.03	6.03	-407.54	213.00	-52.51	6.07
0.15	28	SLE Q	1	15.00	6.03	6.03	-277.56	145.07	-35.77	4.13
4.15	38	SLE R	1	415.00	6.03	6.03	-809.91	423.30	-104.36	12.06
4.15	28	SLE Q	1	415.00	6.03	6.03	-593.74	310.31	-76.51	8.84
4.75	38	SLE R	2	30.00	6.03	6.03	-715.20	373.80	-92.16	10.65
4.75	28	SLE Q	2	30.00	6.03	6.03	-482.92	252.40	-62.23	7.19
8.23	38	SLE R	2	378.33	6.03	6.03	-633.38	331.03	-81.61	9.43
8.23	28	SLE Q	2	378.33	6.03	6.03	-479.00	250.35	-61.72	7.13
8.55	38	SLE R	2	410.00	6.03	6.03	-633.38	331.03	-81.61	9.43
8.55	28	SLE Q	2	410.00	6.03	6.03	-479.00	250.35	-61.72	7.13
9.15	38	SLE R	3	30.00	6.03	6.03	-851.67	445.12	-109.74	12.69
9.15	28	SLE Q	3	30.00	6.03	6.03	-580.38	303.34	-74.79	8.64
12.80	38	SLE R	3	394.62	6.03	6.03	-341.92	178.70	-44.06	5.09
12.80	28	SLE Q	3	394.62	6.03	6.03	-268.19	140.17	-34.56	3.99
13.10	38	SLE R	3	425.00	6.03	6.03	-341.92	178.70	-44.06	5.09
13.10	28	SLE Q	3	425.00	6.03	6.03	-268.19	140.17	-34.56	3.99

Stato limite d'esercizio - Verifiche a fessurazione

Caso	Xg	CC	TCC	El	Sez.	Crit.	X	My	c	s	K3	sr	Φ	As	Ac eff	σs	σsr	εsm	Wk
	<m>						<cm>	<daNm>	<mm>	<mm>		<mm>		<cmq>	<cmq>	<daN/cmq>	<daN/cmq>		<mm>
31	0.15	28	SLE Q	1	3	2	15.00	-277.56	37.00	105.00	0.15	168.62	16.00	6.03	456.12	145.07	1877.20	0.03	0.01
37	0.15	40	SLE F	1	3	2	15.00	-303.25	37.00	105.00	0.15	168.62	16.00	6.03	456.12	158.49	1877.20	0.03	0.01
69	4.15	28	SLE Q	1	3	2	415.00	-593.74	37.00	105.00	0.15	168.62	16.00	6.03	456.12	310.31	1877.20	0.06	0.02
75	4.15	40	SLE F	1	3	2	415.00	-637.37	37.00	105.00	0.15	168.62	16.00	6.03	456.12	333.12	1877.20	0.06	0.02
103	4.75	28	SLE Q	2	3	2	30.00	-482.92	37.00	105.00	0.15	168.62	16.00	6.03	456.12	252.40	1877.20	0.05	0.01
109	4.75	40	SLE F	2	3	2	30.00	-529.42	37.00	105.00	0.15	168.62	16.00	6.03	456.12	276.70	1877.20	0.05	0.02
141	8.23	28	SLE Q	2	3	2	378.33	-479.00	37.00	105.00	0.15	168.62	16.00	6.03	456.12	250.35	1877.20	0.05	0.01
147	8.23	40	SLE F	2	3	2	378.33	-509.92	37.00	105.00	0.15	168.62	16.00	6.03	456.12	266.51	1877.20	0.05	0.01
175	8.55	28	SLE Q	2	3	2	410.00	-479.00	37.00	105.00	0.15	168.62	16.00	6.03	456.12	250.35	1877.20	0.05	0.01
181	8.55	40	SLE F	2	3	2	410.00	-509.92	37.00	105.00	0.15	168.62	16.00	6.03	456.12	266.51	1877.20	0.05	0.01
213	9.15	28	SLE Q	3	3	2	30.00	-580.38	37.00	105.00	0.15	168.62	16.00	6.03	456.12	303.34	1877.20	0.06	0.02
219	9.15	40	SLE F	3	3	2	30.00	-635.04	37.00	105.00	0.15	168.62	16.00	6.03	456.12	331.90	1877.20	0.06	0.02
257	12.80	28	SLE Q	3	3	2	394.62	-268.19	37.00	105.00	0.15	168.62	16.00	6.03	456.12	140.17	1877.20	0.03	0.01
269	12.80	40	SLE F	3	3	2	394.62	-282.62	37.00	105.00	0.15	168.62	16.00	6.03	456.12	147.71	1877.20	0.03	0.01
305	13.10	28	SLE Q	3	3	2	425.00	-268.19	37.00	105.00	0.15	168.62	16.00	6.03	456.12	140.17	1877.20	0.03	0.01
312	13.10	40	SLE F	3	3	2	425.00	-282.62	37.00	105.00	0.15	168.62	16.00	6.03	456.12	147.71	1877.20	0.03	0.01

Staffe - Verifiche armatura

CC	X0	X1	Lung.	Staff.	AfE St.	bw	Vsdu	ctgθ	VRsd	VRcd	Vrdu	Sic.T
	<m>	<m>	<m>		<cmq/m>	<m>	<daN>		<daN>	<daN>	<daN>	
TGND	0.15	0.55	0.40	ø8/ 8 2 br.	12.57	0.30	1819.02	2.08	32610.70	32610.70	32610.70	17.93
TGND	0.55	3.75	3.20	ø8/20 2 br.	5.03	0.30	1817.11	2.50	15710.70	28758.90	15710.70	8.65
TGND	3.75	4.15	0.40	ø8/ 8 2 br.	12.57	0.30	1977.11	2.08	32610.70	32610.70	32610.70	16.49
TGND	4.75	5.15	0.40	ø8/ 8 2 br.	12.57	0.30	2214.24	2.08	32610.70	32610.70	32610.70	14.73
TGND	5.15	8.15	3.00	ø8/20 2 br.	5.03	0.30	2054.23	2.50	15710.70	28758.90	15710.70	7.65
TGND	8.15	8.55	0.40	ø8/ 8 2 br.	12.57	0.30	2212.17	2.08	32610.70	32610.70	32610.70	14.74
TGND	9.15	9.55	0.40	ø8/ 8 2 br.	12.57	0.30	1988.27	2.08	32610.70	32610.70	32610.70	16.40
TGND	9.55	12.70	3.15	ø8/20 2 br.	5.03	0.30	1828.27	2.50	15710.70	28758.90	15710.70	8.59
TGND	12.70	13.10	0.40	ø8/ 8 2 br.	12.57	0.30	1830.19	2.08	32610.70	32610.70	32610.70	17.82

Travata n. 102

Relazione di calcolo

Nodi: 113 114 115 116

Caratteristiche delle sezioni e dei materiali utilizzati

Sez.	Tipo	B <cm>	H <cm>	Cf sup <cm>	Cf inf <cm>	Cls	Fck <daN/cm²>	Fctk <daN/cm²>	Fcd <daN/cm²>	Fctd <daN/cm²>	Tp	Fyk <daN/cm²>	Fyd <daN/cm²>
3R		30.00	40.00	4.50	4.50	C30/37	307.10	20.59	174.02	13.73	B450C	4500.00	3913.04

Stato limite ultimo - Verifiche a flessione/pressoflessione

Xg <m>	CC	TCC	El	X <cm>	Afe S <cmq>	Afe I <cmq>	Afep S <cmq>	Afep I <cmq>	My <daNm>	MRdy <daNm>	Sic.
0.15	1	SLV	1	15.00	6.03	6.03	6.03	6.03	-1721.46	-7825.13	4.546
4.15	13	SLV	1	415.00	6.03	6.03	6.03	6.03	-2201.43	-7825.13	3.555
4.75	1	SLV	2	30.00	6.03	6.03	6.03	6.03	-2401.98	-7825.13	3.258
8.23	13	SLV	2	378.33	6.03	6.03	6.03	6.03	-2396.71	-7825.13	3.265
8.55	13	SLV	2	410.00	6.03	6.03	6.03	6.03	-2396.71	-7825.13	3.265
9.15	1	SLV	3	30.00	6.03	6.03	6.03	6.03	-2200.20	-7825.13	3.557
12.80	13	SLV	3	394.62	6.03	6.03	6.03	6.03	-1719.91	-7825.13	4.550
13.10	13	SLV	3	425.00	6.03	6.03	6.03	6.03	-1719.91	-7825.13	4.550

Stato limite d'esercizio - Verifiche tensionali

Xg <m>	CC	TCC	El	X <cm>	Afe S <cmq>	Afe I <cmq>	My <daNm>	σ _f sup <daN/cm²>	σ _f inf <daN/cm²>	σ _c <daN/cm²>
0.15	38	SLE R	1	15.00	6.03	6.03	-362.88	189.66	-46.76	5.41
0.15	28	SLE Q	1	15.00	6.03	6.03	-277.56	145.07	-35.77	4.13
4.15	38	SLE R	1	415.00	6.03	6.03	-861.33	450.17	-110.99	12.83
4.15	28	SLE Q	1	415.00	6.03	6.03	-593.74	310.31	-76.51	8.84
4.75	31	SLE R	2	30.00	6.03	6.03	-648.69	339.04	-83.59	9.66
4.75	28	SLE Q	2	30.00	6.03	6.03	-482.92	252.40	-62.23	7.19
8.23	38	SLE R	2	378.33	6.03	6.03	-707.14	369.58	-91.12	10.53
8.23	28	SLE Q	2	378.33	6.03	6.03	-479.00	250.35	-61.72	7.13
8.55	38	SLE R	2	410.00	6.03	6.03	-707.14	369.58	-91.12	10.53
8.55	28	SLE Q	2	410.00	6.03	6.03	-479.00	250.35	-61.72	7.13
9.15	38	SLE R	3	30.00	6.03	6.03	-779.05	407.17	-100.38	11.60
9.15	28	SLE Q	3	30.00	6.03	6.03	-580.38	303.34	-74.79	8.64
12.80	38	SLE R	3	394.62	6.03	6.03	-404.49	211.41	-52.12	6.02
12.80	28	SLE Q	3	394.62	6.03	6.03	-268.19	140.17	-34.56	3.99
13.10	38	SLE R	3	425.00	6.03	6.03	-404.49	211.41	-52.12	6.02
13.10	28	SLE Q	3	425.00	6.03	6.03	-268.19	140.17	-34.56	3.99

Stato limite d'esercizio - Verifiche a fessurazione

Caso	Xg <m>	CC	TCC	El	Sez.	Crit.	X <cm>	My <daNm>	c <mm>	s <mm>	K3	S _{sm} <mm>	Φ	A _e <cm²>	A _{c eff} <cm²>	σ _s <daN/cm²>	σ _{s,r} <daN/cm²>	ε _{sm}	Wk <mm>
31	0.15	28	SLE Q	1	3	2	15.00	-277.56	37.00	105.00	0.15	168.62	16.00	6.03	456.12	145.07	1877.20	0.03	0.01
37	0.15	40	SLE F	1	3	2	15.00	-294.32	37.00	105.00	0.15	168.62	16.00	6.03	456.12	153.82	1877.20	0.03	0.01
69	4.15	28	SLE Q	1	3	2	415.00	-593.74	37.00	105.00	0.15	168.62	16.00	6.03	456.12	310.31	1877.20	0.06	0.02
75	4.15	40	SLE F	1	3	2	415.00	-647.65	37.00	105.00	0.15	168.62	16.00	6.03	456.12	338.49	1877.20	0.07	0.02
103	4.75	28	SLE Q	2	3	2	30.00	-482.92	37.00	105.00	0.15	168.62	16.00	6.03	456.12	252.40	1877.20	0.05	0.01
107	4.75	33	SLE F	2	3	2	30.00	-516.12	37.00	105.00	0.15	168.62	16.00	6.03	456.12	269.75	1877.20	0.05	0.02
141	8.23	28	SLE Q	2	3	2	378.33	-479.00	37.00	105.00	0.15	168.62	16.00	6.03	456.12	250.35	1877.20	0.05	0.01
147	8.23	40	SLE F	2	3	2	378.33	-524.67	37.00	105.00	0.15	168.62	16.00	6.03	456.12	274.22	1877.20	0.05	0.02
175	8.55	28	SLE Q	2	3	2	410.00	-479.00	37.00	105.00	0.15	168.62	16.00	6.03	456.12	250.35	1877.20	0.05	0.01
181	8.55	40	SLE F	2	3	2	410.00	-524.67	37.00	105.00	0.15	168.62	16.00	6.03	456.12	274.22	1877.20	0.05	0.02
213	9.15	28	SLE Q	3	3	2	30.00	-580.38	37.00	105.00	0.15	168.62	16.00	6.03	456.12	303.34	1877.20	0.06	0.02
219	9.15	40	SLE F	3	3	2	30.00	-620.52	37.00	105.00	0.15	168.62	16.00	6.03	456.12	324.31	1877.20	0.06	0.02
257	12.80	28	SLE Q	3	3	2	394.62	-268.19	37.00	105.00	0.15	168.62	16.00	6.03	456.12	140.17	1877.20	0.03	0.01
269	12.80	40	SLE F	3	3	2	394.62	-295.14	37.00	105.00	0.15	168.62	16.00	6.03	456.12	154.25	1877.20	0.03	0.01
303	13.10	28	SLE Q	3	3	2	425.00	-268.19	37.00	105.00	0.15	168.62	16.00	6.03	456.12	140.17	1877.20	0.03	0.01
310	13.10	40	SLE F	3	3	2	425.00	-295.14	37.00	105.00	0.15	168.62	16.00	6.03	456.12	154.25	1877.20	0.03	0.01

Staffe - Verifiche armatura

CC	X0 <m>	X1 <m>	Lung. <m>	Staff.	Afe St. <cmq/m>	bw <cm>	Vsdu <daN>	ctgθ	VRsd <daN>	VRcd <daN>	Vrdu <daN>	Sic.T
TGND	0.15	0.55	0.40	ø8/ 8 2 br.	12.57	0.30	1819.02	2.08	32610.70	32610.70	32610.70	17.93
TGND	0.55	3.75	3.20	ø8/20 2 br.	5.03	0.30	1817.11	2.50	15710.70	28758.90	15710.70	8.65
TGND	3.75	4.15	0.40	ø8/ 8 2 br.	12.57	0.30	1977.11	2.08	32610.70	32610.70	32610.70	16.49
TGND	4.75	5.15	0.40	ø8/ 8 2 br.	12.57	0.30	2214.23	2.08	32610.70	32610.70	32610.70	14.73
TGND	5.15	8.15	3.00	ø8/20 2 br.	5.03	0.30	2054.23	2.50	15710.70	28758.90	15710.70	7.65
TGND	8.15	8.55	0.40	ø8/ 8 2 br.	12.57	0.30	2212.17	2.08	32610.70	32610.70	32610.70	14.74
TGND	9.15	9.55	0.40	ø8/ 8 2 br.	12.57	0.30	1988.27	2.08	32610.70	32610.70	32610.70	16.40
TGND	9.55	12.70	3.15	ø8/20 2 br.	5.03	0.30	1828.27	2.50	15710.70	28758.90	15710.70	8.59
TGND	12.70	13.10	0.40	ø8/ 8 2 br.	12.57	0.30	1830.19	2.08	32610.70	32610.70	32610.70	17.82

Travata n. 103

Nodi: 101 113

Caratteristiche delle sezioni e dei materiali utilizzati

Sez.	Tipo	B <cm>	H <cm>	Cf sup <cm>	Cf inf <cm>	Cls	Fck <daN/cm²>	Fctk <daN/cm²>	Fcd <daN/cm²>	Fctd <daN/cm²>	Tp	Fyk <daN/cm²>	Fyd <daN/cm²>
1R		30.00	50.00	4.50	4.50	C30/37	307.10	20.59	174.02	13.73	B450C	4500.00	3913.04

Relazione di calcolo

Stato limite ultimo - Verifiche a flessione/pressoflessione

Xg <m>	CC	TCC	El	X <cm>	Afe S <cmq>	Afe I <cmq>	AfEP S <cmq>	AfEP I <cmq>	My <daNm>	MRdy <daNm>	Sic.
0.457	SLV	1	1	45.00	6.28	6.28	6.28	6.28	-4465.44	-10589.80	2.371
2.9119	SLV	1	1	291.41	6.28	6.28	6.28	6.28	-3355.14	-10589.80	3.156
3.6519	SLV	1	1	365.00	6.28	6.28	6.28	6.28	-4465.44	-10589.80	2.371

Stato limite d'esercizio - Verifiche tensionali

Xg <m>	CC	TCC	El	X <cm>	Afe S <cmq>	Afe I <cmq>	My <daNm>	σ_r sup <daN/cmq>	σ_r inf <daN/cmq>	σ_c <daN/cmq>
0.4538	SLE R	1	1	45.00	6.28	6.28	-2227.96	859.68	-209.12	21.76
0.4528	SLE Q	1	1	45.00	6.28	6.28	-844.05	325.69	-79.23	8.24
2.9138	SLE R	1	1	291.41	6.28	6.28	2164.65	-203.18	835.26	21.14
2.9128	SLE Q	1	1	291.41	6.28	6.28	1496.50	-140.47	577.44	14.62
3.6538	SLE R	1	1	365.00	6.28	6.28	1422.17	-133.49	548.76	13.89
3.6528	SLE Q	1	1	365.00	6.28	6.28	-844.05	325.69	-79.23	8.24

Stato limite d'esercizio - Verifiche a fessurazione

Caso	Xg <m>	CC	TCC	El	Sez.	Crit.	X <cm>	My <daNm>	c <mm>	s <mm>	K3	s_{rm} <mm>	Φ	A_s <cmq>	A_c eff <cmq>	σ_s <daN/cmq>	σ_{sr} <daN/cmq>	ϵ_{sm}	Wk <mm>
39	0.4528	SLE Q	1	1	1	1	45.00	-844.05	35.00	210.00	0.16	216.04	20.00	6.28	518.04	325.69	2134.44	0.06	0.02
51	0.4540	SLE F	1	1	1	1	45.00	-1107.49	35.00	210.00	0.16	216.04	20.00	6.28	518.04	427.34	2134.44	0.08	0.03
95	2.9128	SLE Q	1	1	1	1	291.41	1496.50	35.00	210.00	0.16	216.04	20.00	6.28	518.04	577.44	2134.44	0.11	0.04
107	2.9140	SLE F	1	1	1	1	291.41	1606.06	35.00	210.00	0.16	216.04	20.00	6.28	518.04	619.72	2134.44	0.12	0.04
148	3.6528	SLE Q	1	1	1	1	365.00	-844.05	35.00	210.00	0.16	216.04	20.00	6.28	518.04	325.69	2134.44	0.06	0.02
156	3.6533	SLE F	1	1	1	1	365.00	-871.02	35.00	210.00	0.16	216.04	20.00	6.28	518.04	336.09	2134.44	0.07	0.02

Staffe - Verifiche armatura

CC	X0 <m>	X1 <m>	Lung. <m>	Staff.	Afe St. <cmq/m>	bw <m>	Vsdu <daN>	ctg θ	VRsd <daN>	VRcd <daN>	Vrdu <daN>	Sic.T
36 SLU	0.45	0.95	0.50	$\emptyset 8/10$ 2 br.	10.05	0.30	6209.42	2.37	38242.00	38242.00	38242.00	6.16
TGND	0.95	3.15	2.20	$\emptyset 8/20$ 2 br.	5.03	0.30	5202.84	2.50	20136.20	36859.90	20136.20	3.87
TGND	3.15	3.65	0.50	$\emptyset 8/10$ 2 br.	10.05	0.30	6107.85	2.37	38242.00	38242.00	38242.00	6.26

Travata n. 104

Nodi: 102 114

Caratteristiche delle sezioni e dei materiali utilizzati

Sez.	Tipo	B <cm>	H <cm>	Cf sup <cm>	Cf inf <cm>	Cls	Fck <daN/cmq>	Fctk <daN/cmq>	Fcd <daN/cmq>	Fctd <daN/cmq>	Tp	Fyk <daN/cmq>	Fyd <daN/cmq>
1R		30.00	50.00	4.50	4.50	C30/37	307.10	20.59	174.02	13.73	B450C	4500.00	3913.04

Stato limite ultimo - Verifiche a flessione/pressoflessione

Xg <m>	CC	TCC	El	X <cm>	Afe S <cmq>	Afe I <cmq>	AfEP S <cmq>	AfEP I <cmq>	My <daNm>	MRdy <daNm>	Sic.
0.157	SLV	1	1	15.00	6.28	6.28	6.28	6.28	-3233.13	-10589.80	3.275
1.6629	SLU	1	1	166.19	6.28	6.28	6.28	6.28	7235.00	10589.80	1.464
3.9519	SLV	1	1	395.00	6.28	6.28	6.28	6.28	-3233.13	-10589.80	3.275

Stato limite d'esercizio - Verifiche tensionali

Xg <m>	CC	TCC	El	X <cm>	Afe S <cmq>	Afe I <cmq>	My <daNm>	σ_r sup <daN/cmq>	σ_r inf <daN/cmq>	σ_c <daN/cmq>
0.1538	SLE R	1	1	15.00	6.28	6.28	-2164.09	835.04	-203.13	21.14
0.1528	SLE Q	1	1	15.00	6.28	6.28	-1656.69	639.25	-155.50	16.18
1.6631	SLE R	1	1	166.19	6.28	6.28	5162.05	-484.52	1991.83	50.42
1.6628	SLE Q	1	1	166.19	6.28	6.28	4193.71	-393.63	1618.19	40.96
3.9531	SLE R	1	1	395.00	6.28	6.28	-2038.97	786.76	-191.38	19.92
3.9528	SLE Q	1	1	395.00	6.28	6.28	-1656.69	639.25	-155.50	16.18

Stato limite d'esercizio - Verifiche a fessurazione

Caso	Xg <m>	CC	TCC	El	Sez.	Crit.	X <cm>	My <daNm>	c <mm>	s <mm>	K3	s_{rm} <mm>	Φ	A_s <cmq>	A_c eff <cmq>	σ_s <daN/cmq>	σ_{sr} <daN/cmq>	ϵ_{sm}	Wk <mm>
50	0.1528	SLE Q	1	1	1	1	15.00	-1656.69	35.00	210.00	0.16	216.04	20.00	6.28	518.04	639.25	2134.44	0.12	0.05
62	0.1540	SLE F	1	1	1	1	15.00	-1726.63	35.00	210.00	0.16	216.04	20.00	6.28	518.04	666.24	2134.44	0.13	0.05
91	1.6628	SLE Q	1	1	1	1	166.19	4193.71	35.00	210.00	0.16	216.04	20.00	6.28	518.04	1618.19	2134.44	0.31	0.12
95	1.6633	SLE F	1	1	1	1	166.19	4307.85	35.00	210.00	0.16	216.04	20.00	6.28	518.04	1662.23	2134.44	0.32	0.12
147	3.9528	SLE Q	1	1	1	1	395.00	-1656.69	35.00	210.00	0.16	216.04	20.00	6.28	518.04	639.25	2134.44	0.12	0.05
155	3.9533	SLE F	1	1	1	1	395.00	-1701.61	35.00	210.00	0.16	216.04	20.00	6.28	518.04	656.58	2134.44	0.13	0.05

Staffe - Verifiche armatura

CC	X0 <m>	X1 <m>	Lung. <m>	Staff.	Afe St. <cmq/m>	bw <m>	Vsdu <daN>	ctg θ	VRsd <daN>	VRcd <daN>	Vrdu <daN>	Sic.T
29 SLU	0.15	0.65	0.50	$\emptyset 8/10$ 2 br.	10.05	0.30	9931.68	2.37	38242.00	38242.00	38242.00	3.85
29 SLU	0.65	3.45	2.80	$\emptyset 8/20$ 2 br.	5.03	0.30	7318.05	2.50	20136.20	36859.90	20136.20	2.75
29 SLU	3.45	3.95	0.50	$\emptyset 8/10$ 2 br.	10.05	0.30	9931.68	2.37	38242.00	38242.00	38242.00	3.85

Travata n. 105

Relazione di calcolo

Nodi: 103 115

Caratteristiche delle sezioni e dei materiali utilizzati

Sez.	Tipo	B <cm>	H <cm>	Cf sup <cm>	Cf inf <cm>	Cls	Fck <daN/cmq>	Fctk <daN/cmq>	Fcd <daN/cmq>	Fctd <daN/cmq>	Tp	Fyk <daN/cmq>	Fyd <daN/cmq>
1R		30.00	50.00	4.50	4.50	C30/37	307.10	20.59	174.02	13.73	B450C	4500.00	3913.04

Stato limite ultimo - Verifiche a flessione/pressoflessione

Xg <m>	CC	TCC	El	X <cm>	AfE S <cmq>	AfE I <cmq>	AfEP S <cmq>	AfEP I <cmq>	My <daNm>	MRdy <daNm>	Sic.
0.15	19	SLV	1	15.00	6.28	6.28	6.28	6.28	-3225.33	-10589.80	3.283
1.66	29	SLU	1	165.98	6.28	6.28	6.28	6.28	7198.13	10589.80	1.471
3.95	7	SLV	1	395.00	6.28	6.28	6.28	6.28	-3225.33	-10589.80	3.283

Stato limite d'esercizio - Verifiche tensionali

Xg <m>	CC	TCC	El	X <cm>	AfE S <cmq>	AfE I <cmq>	My <daNm>	σ_f sup <daN/cmq>	σ_f inf <daN/cmq>	σ_c <daN/cmq>
0.15	38	SLE R	1	15.00	6.28	6.28	-2232.23	861.33	-209.52	21.80
0.15	28	SLE Q	1	15.00	6.28	6.28	-1648.42	636.06	-154.72	16.10
1.66	31	SLE R	1	165.98	6.28	6.28	5135.94	-482.07	1981.76	50.17
1.66	28	SLE Q	1	165.98	6.28	6.28	4173.02	-391.69	1610.21	40.76
3.95	31	SLE R	1	395.00	6.28	6.28	-2029.31	783.03	-190.48	19.82
3.95	28	SLE Q	1	395.00	6.28	6.28	-1648.42	636.06	-154.72	16.10

Stato limite d'esercizio - Verifiche a fessurazione

Caso	Xg <m>	CC	TCC	El	Sez.	Crit.	X <cm>	My <daNm>	c <mm>	s <mm>	K3	s_{zm} <mm>	Φ	A_s <cmq>	$A_{c\ eff}$ <cmq>	σ_s <daN/cmq>	σ_{sr} <daN/cmq>	ϵ_{sm}	Wk <mm>
50	0.15	28	SLE Q	1	1	1	15.00	-1648.42	35.00	210.00	0.16	216.04	20.00	6.28	518.04	636.06	2134.44	0.12	0.05
62	0.15	40	SLE F	1	1	1	15.00	-1733.82	35.00	210.00	0.16	216.04	20.00	6.28	518.04	669.01	2134.44	0.13	0.05
91	1.66	28	SLE Q	1	1	1	165.98	4173.02	35.00	210.00	0.16	216.04	20.00	6.28	518.04	1610.21	2134.44	0.31	0.11
95	1.66	33	SLE F	1	1	1	165.98	4286.53	35.00	210.00	0.16	216.04	20.00	6.28	518.04	1654.01	2134.44	0.32	0.12
147	3.95	28	SLE Q	1	1	1	395.00	-1648.42	35.00	210.00	0.16	216.04	20.00	6.28	518.04	636.06	2134.44	0.12	0.05
155	3.95	33	SLE F	1	1	1	395.00	-1693.24	35.00	210.00	0.16	216.04	20.00	6.28	518.04	653.36	2134.44	0.13	0.05

Staffe - Verifiche armatura

CC	X0 <m>	X1 <m>	Lung. <m>	Staff.	AfE St. <cmq/m>	bw <m>	Vsdu <daN>	ctg θ	VRsd <daN>	VRcd <daN>	Vrdu <daN>	Sic.T
29	SLU	0.15	0.65	0.50	\emptyset 8/10 2 br.	10.05	0.30	9882.09	2.37	38242.00	38242.00	3.87
36	SLU	0.65	3.45	2.80	\emptyset 8/20 2 br.	5.03	0.30	7307.93	2.50	20136.20	36859.90	2.76
29	SLU	3.45	3.95	0.50	\emptyset 8/10 2 br.	10.05	0.30	9882.09	2.37	38242.00	38242.00	3.87

Travata n. 106

Nodi: 104 116

Caratteristiche delle sezioni e dei materiali utilizzati

Sez.	Tipo	B <cm>	H <cm>	Cf sup <cm>	Cf inf <cm>	Cls	Fck <daN/cmq>	Fctk <daN/cmq>	Fcd <daN/cmq>	Fctd <daN/cmq>	Tp	Fyk <daN/cmq>	Fyd <daN/cmq>
1R		30.00	50.00	4.50	4.50	C30/37	307.10	20.59	174.02	13.73	B450C	4500.00	3913.04

Stato limite ultimo - Verifiche a flessione/pressoflessione

Xg <m>	CC	TCC	El	X <cm>	AfE S <cmq>	AfE I <cmq>	AfEP S <cmq>	AfEP I <cmq>	My <daNm>	MRdy <daNm>	Sic.
0.45	19	SLV	1	45.00	6.28	6.28	6.28	6.28	-4450.84	-10589.80	2.379
2.92	7	SLV	1	291.97	6.28	6.28	6.28	6.28	-3372.72	-10589.80	3.140
3.65	7	SLV	1	365.00	6.28	6.28	6.28	6.28	-4450.84	-10589.80	2.379

Stato limite d'esercizio - Verifiche tensionali

Xg <m>	CC	TCC	El	X <cm>	AfE S <cmq>	AfE I <cmq>	My <daNm>	σ_f sup <daN/cmq>	σ_f inf <daN/cmq>	σ_c <daN/cmq>
0.45	38	SLE R	1	45.00	6.28	6.28	-2472.80	954.16	-232.10	24.15
0.45	28	SLE Q	1	45.00	6.28	6.28	-836.47	322.76	-78.51	8.17
2.92	38	SLE R	1	291.97	6.28	6.28	2112.80	-198.31	815.25	20.64
2.92	28	SLE Q	1	291.97	6.28	6.28	1480.87	-139.00	571.41	14.46
3.65	38	SLE R	1	365.00	6.28	6.28	1633.19	-153.30	630.18	15.95
3.65	28	SLE Q	1	365.00	6.28	6.28	-836.47	322.76	-78.51	8.17

Stato limite d'esercizio - Verifiche a fessurazione

Caso	Xg <m>	CC	TCC	El	Sez.	Crit.	X <cm>	My <daNm>	c <mm>	s <mm>	K3	s_{zm} <mm>	Φ	A_s <cmq>	$A_{c\ eff}$ <cmq>	σ_s <daN/cmq>	σ_{sr} <daN/cmq>	ϵ_{sm}	Wk <mm>
38	0.45	28	SLE Q	1	1	1	45.00	-836.47	35.00	210.00	0.16	216.04	20.00	6.28	518.04	322.76	2134.44	0.06	0.02
50	0.45	40	SLE F	1	1	1	45.00	-1150.55	35.00	210.00	0.16	216.04	20.00	6.28	518.04	443.95	2134.44	0.09	0.03
94	2.92	28	SLE Q	1	1	1	291.97	1480.87	35.00	210.00	0.16	216.04	20.00	6.28	518.04	571.41	2134.44	0.11	0.04
105	2.92	40	SLE F	1	1	1	291.97	1581.80	35.00	210.00	0.16	216.04	20.00	6.28	518.04	610.36	2134.44	0.12	0.04
146	3.65	28	SLE Q	1	1	1	365.00	-836.47	35.00	210.00	0.16	216.04	20.00	6.28	518.04	322.76	2134.44	0.06	0.02
154	3.65	33	SLE F	1	1	1	365.00	-859.30	35.00	210.00	0.16	216.04	20.00	6.28	518.04	331.57	2134.44	0.06	0.02

Staffe - Verifiche armatura

CC	X0 <m>	X1 <m>	Lung. <m>	Staff.	AfE St. <cmq/m>	bw <m>	Vsdu <daN>	ctg θ	VRsd <daN>	VRcd <daN>	Vrdu <daN>	Sic.T
----	-----------	-----------	--------------	--------	--------------------	-----------	---------------	--------------	---------------	---------------	---------------	-------

Relazione di calcolo

36 SLU	0.45	0.95	0.50	ø8/10 2 br.	10.05	0.30	6095.86	2.37	38242.00	38242.00	38242.00	6.27
TGND	0.95	3.15	2.20	ø8/20 2 br.	5.03	0.30	5180.12	2.50	20136.20	36859.90	20136.20	3.89
TGND	3.15	3.65	0.50	ø8/10 2 br.	10.05	0.30	6077.63	2.37	38242.00	38242.00	38242.00	6.29

Verifiche e armature pilastri

Simbologia

- Xg = Coordinata progressiva (dal primo nodo) in cui viene effettuato il progetto/verifica
- CC = Combinazione delle condizioni di carico elementari
 - e = eccentricità aggiuntiva in caso di compressione o pressoflessione
 - α = amplificazione per gerarchia delle resistenze
- TG = taglio da gerarchia delle resistenze
- TCC = Tipo di combinazione di carico
 - SLU = Stato limite ultimo
 - SLU S = Stato limite ultimo (azione sismica)
 - SLE R = Stato limite d'esercizio, combinazione rara
 - SLE F = Stato limite d'esercizio, combinazione frequente
 - SLE Q = Stato limite d'esercizio, combinazione quasi permanente
 - SLD = Stato limite di danno
 - SLV = Stato limite di salvaguardia della vita
 - SLC = Stato limite di prevenzione del collasso
 - SLO = Stato limite di operatività
 - SLU I = Stato limite di resistenza al fuoco
 - SND = Stato limite di salvaguardia della vita (non dissipativo)
- El = Elemento (asta) in cui viene effettuato il progetto/verifica (progressivo sul numero di aste)
- Sez. = Numero della sezione
- X = Coordinata progressiva rispetto al nodo iniziale
- N = Sforzo normale
- Mz = Momento flettente intorno all'asse Z
- My = Momento flettente intorno all'asse Y
- My ver. = Momento flettente di verifica intorno all'asse Y
- c = Ricoprimento dell'armatura
- s = Distanza minima tra le barre
- K3 = Coefficiente di forma del diagramma delle tensioni prima della fessurazione
- s_{rm} = Distanza media tra le fessure
- Φ = Diametro della barra
- A_s = Area complessiva dei ferri nell'area di calcestruzzo efficace
- $A_{c\ eff}$ = Area di calcestruzzo efficace
- σ_s = Tensione nell'acciaio nella sezione fessurata
- σ_{sr} = Tensione nell'acciaio corrispondente al raggiungimento della resistenza a trazione nel calcestruzzo
- ϵ_{sm} = Deformazione unitaria media dell'armatura (*1000)
- Wk = Apertura delle fessure
- M = Momento flettente
- MRd = Momento resistente allo stato limite ultimo
- $\mu\Phi$ = Valore di progetto della duttilità di curvatura
- Mz ver. = Momento flettente di verifica intorno all'asse Z
- Nu = Sforzo normale ultimo
- MRdy = Momento resistente allo stato limite ultimo intorno all'asse Y
- MRdz = Momento resistente allo stato limite ultimo intorno all'asse Z
- α = Angolo asse neutro a rottura
- ϵ_y = Deformazione nell'acciaio (*1000)
- Sic. = Sicurezza a rottura
- AfT = Area di ferro tesa
- AfC = Area di ferro compressa
- σ_c = Tensione nel calcestruzzo
- σ_s = Tensione nel ferro
- X0 = Coordinata progressiva (dal nodo iniziale) dell'inizio del tratto
- X1 = Coordinata progressiva (dal nodo iniziale) della fine del tratto
- Staff. = Staffatura adottata
- Br_y = Numero bracci in dir. Y locale
- Br_z = Numero bracci in dir. Z locale
- bw_y = Larghezza membratura resistente al taglio in dir. Y
- Vsdu_y = Taglio agente in dir. Y
- ctg θ_{y} = Cotangente dell'angolo di inclinazione dei puntoni di calcestruzzo in dir. Y
- VRsd_y = Taglio ultimo lato armatura in dir. Y
- VRcd_y = Taglio ultimo lato calcestruzzo in dir. Y
- bw_z = Larghezza membratura resistente al taglio in dir. Z
- Vsdu_z = Taglio agente in dir. Z
- ctg θ_{z} = Cotangente dell'angolo di inclinazione dei puntoni di calcestruzzo in dir. Z
- VRsd_z = Taglio ultimo lato armatura in dir. Z
- VRcd_z = Taglio ultimo lato calcestruzzo in dir. Z
- Sic.T = Sicurezza a rottura per taglio
- Nodo = Numero del nodo
- Conf. = Nodo confinato
 - S = Si
 - N = No
- F. = Identificativo faccia del nodo
 - Y+ = Faccia sul lato positivo Y locale pilastro
 - Z+ = Faccia sul lato positivo Z locale pilastro
 - Y- = Faccia sul lato negativo Y locale pilastro
 - Z- = Faccia sul lato negativo Z locale pilastro
- Mod. = Modalità di verifica faccia
 - I = Interna
 - E = Esterna
- Br. = Numero bracci
- As1 = Area di ferro superiore delle travi incidenti sulla faccia
- As2 = Area di ferro inferiore delle travi incidenti sulla faccia
- Bj = Larghezza effettiva utile del nodo
- Hjc = Distanza tra armature pilastro

Relazione di calcolo

Hjw = Distanza tra armature trave
 Ash = Area totale della sezione della staffa
 Vc = Taglio nel pilastro al di sopra del nodo
 Vjbd = Taglio agente nel nucleo di calcestruzzo [7.4.6/7]
 vd_s = Sforzo normale normalizzato del pilastro superiore (%)
 vd_i = Sforzo normale normalizzato del pilastro inferiore (%)
 VjbR = Resistenza a compressione del nucleo di calcestruzzo [7.4.8]
 Afni = Azione di fessurazione sul nodo integro [7.4.10]
 Rfni = Resistenza a fessurazione nodo integro [7.4.10]
 Vjwd = Azione agente di trazione diagonale [7.4.11/12]
 VjwR = Resistenza a trazione diagonale [7.4.11/12]
 Tipo = Tipologia
 2C = Doppia C lato labbri
 2Cdx = Doppia C lato costola
 2I = Doppia I
 2L = Doppia L lato labbri
 2Ldx = Doppia L lato costole
 C = Sezione a C
 Cdx = C destra
 Cir. = Circolare
 Cir.c = Circolare cava
 I = Sezione a I
 L = Sezione a L
 Ldx = L destra
 Om. = Omega
 Pg = Pi greco
 Pr = Poligono regolare
 Prc = Poligono regolare cavo
 Pc = Per coordinate
 Ia = Inerzie assegnate
 R = Rettangolare
 Rc = Rettangolare cava
 T = Sezione a T
 U = Sezione a U
 Ur = U rovescia
 V = Sezione a V
 Vr = V rovescia
 Z = Sezione a Z
 Zdx = Z destra
 Ts = T stondata
 Ls = L stondata
 Cs = C stondata
 Is = I stondata
 Dis. = Disegnata
 B = Base
 H = Altezza
 Cf = Copriferro
 Cls = Tipo di calcestruzzo
 Fck = Resistenza caratteristica cilindrica a compressione del calcestruzzo
 Fctk = Resistenza caratteristica a trazione del calcestruzzo
 Fcd = Resistenza di calcolo a compressione del calcestruzzo
 Fctd = Resistenza di calcolo a trazione del calcestruzzo
 Tp = Tipo di acciaio
 Fyk = Tensione caratteristica di snervamento dell'acciaio
 Fyd = Resistenza di calcolo dell'acciaio

Pilastrata n. 1

Nodi: 1 -3 101

Caratteristiche delle sezioni e dei materiali utilizzati

Sez.	Tipo	B <cm>	H <cm>	Cf <cm>	Cls	Fck <daN/cmq>	Fctk <daN/cmq>	Fcd <daN/cmq>	Fctd <daN/cmq>	Tp	Fyk <daN/cmq>	Fyd <daN/cmq>
2R		30.00	60.00	4.50	C28/35	290.50	19.84	164.62	13.23	B450C	4500.00	3913.04
2R		30.00	60.00	6.30	C28/35	290.50	19.84	164.62	13.23	B450C	4500.00	3913.04

Stato limite ultimo - Verifiche a flessione/pressoflessione

Xg <m>	CC	TCC	El	Sez.	X <cm>	N <daN>	My <daNm>	My ver. <daNm>	Mz <daNm>	Mz ver. <daNm>	Nu <daN>	MRdy <daNm>	MRdz <daNm>	α <grad>	ε _y	Sic.
0.007	SLV	1	2	2	0.00	-4202.09	6928.53		620.21		-4202.09	20399.70	1846.78	16.88	9.36	2.945
0.007	SLV	1	2	2	0.00	-4202.09	6928.53		620.21		-4202.09	20399.70	1846.78	16.88	9.36	2.945
0.287	SLV	1	2	2	28.00	-4076.09	5886.47		516.30		-4076.09	20375.60	1845.48	16.88	9.37	3.462
0.287	SLV	2	2	2	0.00	-4076.09	5886.47		516.30		-4076.09	20375.60	1845.48	16.88	9.37	3.462
3.307	SLV	2	2	2	302.00	-2717.09	-5352.89		-604.33		-2717.09	-19703.30	-2510.04	202.50	8.69	3.687

Stato limite d'esercizio - Verifiche tensionali

Xg <m>	CC	TCC	El	Sez.	X <cm>	N <daN>	Mz <daNm>	My <daNm>	AfT <cmq>	AfC <cmq>	σ _c <daN/cmq>	σ _f <daN/cmq>
0.0038	SLE	R	1	2	0.00	-8216.34	297.50	3919.83	12.31	8.29	36.96	657.03
0.0028	SLE	Q	1	2	0.00	-6201.46	189.24	1176.14	8.29	12.31	11.83	138.15
0.0038	SLE	R	1	2	0.00	-8216.34	297.50	3919.83	12.31	8.29	36.96	657.03
0.0028	SLE	Q	1	2	0.00	-6201.46	189.24	1176.14	8.29	12.31	11.83	138.15
0.2838	SLE	R	1	2	28.00	-8090.34	233.25	3172.14	10.30	10.30	29.47	462.49
0.2828	SLE	Q	1	2	28.00	-6075.46	146.54	904.35	6.28	14.33	9.06	109.95
0.2838	SLE	R	2	2	0.00	-8090.34	233.25	3172.14	10.30	10.30	29.47	462.49
0.2828	SLE	Q	2	2	0.00	-6075.46	146.54	904.35	6.28	14.33	9.06	109.95
3.3038	SLE	R	2	2	302.00	-6731.34	-459.69	-3752.22	12.31	8.29	39.09	721.42
3.3028	SLE	Q	2	2	302.00	-4716.46	-313.96	-2027.15	12.31	8.29	22.07	351.13

Stato limite d'esercizio - Verifiche a fessurazione

Xg <m>	CC	TCC	El	Sez.	X <cm>	N <daN>	My <daNm>	Mz <daNm>	c <mm>	s <mm>	K3	s _{cm} <mm>	Φ	A _s <cmq>	A _{c eff} <cmq>	σ _s <daN/cmq>	σ _{sr} <daN/cmq>	ε _{sm}	Wk <mm>
0.00	28	SLE Q	1	2	0.00	-6201.46	1176.14	189.24	54.00	158.01	0.13	235.60	20.00	8.29	796.18	74.50	594.62	0.01	0.01
0.00	28	SLE Q	1	2	0.00	-6201.46	1176.14	189.24	54.00	158.01	0.13	235.60	20.00	8.29	796.18	74.50	594.62	0.01	0.01
0.28	28	SLE Q	1	2	28.00	-6075.46	904.35	146.54	54.00	280.00	0.13	279.62	20.00	3.14	363.23	30.68	391.25	0.01	0.00
0.28	28	SLE Q	2	2	0.00	-6075.46	904.35	146.54	54.00	280.00	0.13	279.62	20.00	3.14	363.23	30.67	391.25	0.01	0.00
3.30	28	SLE Q	2	2	302.00	-4716.46	-2027.15	-313.96	54.00	158.01	0.13	238.85	20.00	12.31	1222.27	351.13	1187.18	0.07	0.03

Staffe - Verifiche armatura

X0 <m>	X1 <m>	Staff.	Br _y	Br _z	CC	TCC	bw _y <cm>	Vsdu _y <daN>	ctgθ _y	VRsd _y <daN>	VRcd _y <daN>	bw _z <cm>	Vsdu _z <daN>	ctgθ _z	VRsd _z <daN>	VRcd _z <daN>	Sic.T
0.00	0.60	ø8/10	2	2	36	SLU	0.60	321.48	2.50	20888.60	37563.20	0.30	3886.63	2.35	44580.00	44580.00	11.47
0.00	0.60	ø8/10	2	2	29	SLU	0.60	1095.86	2.50	20888.60	37354.50	0.30	1683.44	2.34	44433.50	44433.50	19.06
0.00	0.60	ø8/10	2	2	19 (TG)	SLV	0.60	1272.62	2.50	20888.60	36990.10	0.30	13901.60	2.33	44176.50	44176.50	3.18
0.00	0.60	ø8/10	2	2	13 (TG)	SLV	0.60	5875.92	2.50	20888.60	36881.60	0.30	6245.45	2.32	44099.70	44099.70	3.55
0.60	2.70	ø8/15	2	2	36	SLU	0.60	321.48	2.50	13925.70	37520.30	0.30	3766.63	2.50	31627.90	42607.80	8.40
0.60	2.70	ø8/15	2	2	29	SLU	0.60	956.66	2.50	13925.70	37311.70	0.30	1683.44	2.50	31627.90	42370.90	14.56
0.60	2.70	ø8/15	2	2	19 (TG)	SLV	0.60	1272.62	2.50	13925.70	36990.10	0.30	13901.60	2.50	31627.90	42005.60	2.28
0.60	2.70	ø8/15	2	2	13 (TG)	SLV	0.60	5875.92	2.50	13925.70	36881.60	0.30	6245.45	2.50	31627.90	41882.50	2.37
2.70	3.30	ø8/10	2	2	36	SLU	0.60	321.48	2.50	20888.60	37370.40	0.30	2979.13	2.34	44444.70	44444.70	14.92
2.70	3.30	ø8/10	2	2	19 (TG)	SLV	0.60	1272.62	2.50	20888.60	36990.10	0.30	13901.60	2.33	44176.50	44176.50	3.18
2.70	3.30	ø8/10	2	2	13 (TG)	SLV	0.60	5875.92	2.50	20888.60	36881.60	0.30	6245.45	2.32	44099.70	44099.70	3.55

Caratteristiche nodi trave-pilastro

Nodo	Conf.	Staff.	F.	Mod.	Br.	As1 <cmq>	As2 <cmq>	Bj <cm>	Hjc <cm>	Hjw <cm>	Ash <cmq>
101N		ø12/10	Y-E		4	6.03	6.03	0.45	0.17	0.31	18.10
			Z-E		2	6.28	6.28	0.30	0.47	0.41	11.31

Verifiche nodi trave-pilastro

Nodo	F.	CC	TCC	Vc <daN>	Vjbd <daN>	vd _s	vd _i	Vjbr <daN>	Afni <daN/mq>	Rfni <daN/mq>	Vjwd <daN>	Vjwr <daN>
101Y-	1	SLV		0.00	25963.20	0.00	1.22	52166.30	780800.00	507590.00	25710.50	70808.80
	19	SLV		0.00	25963.20	0.00	0.76	52166.30	780800.00	507590.00	25804.80	70808.80
	Z-	1	SLV	0.00	27045.00	0.00	1.22	97628.40	150581.00	359801.00	---	---

Pilastrata n. 2

Nodi: 2 -4 102

Caratteristiche delle sezioni e dei materiali utilizzati

Sez.	Tipo	B <cm>	H <cm>	Cf <cm>	Cls	Fck <daN/cmq>	Fctk <daN/cmq>	Fcd <daN/cmq>	Fctd <daN/cmq>	Tp	Fyk <daN/cmq>	Fyd <daN/cmq>
2R		30.00	60.00	4.50	C28/35	290.50	19.84	164.62	13.23	B450C	4500.00	3913.04
2R		30.00	60.00	6.30	C28/35	290.50	19.84	164.62	13.23	B450C	4500.00	3913.04

Stato limite ultimo - Verifiche a flessione/pressoflessione

Xg <m>	CC	TCC	El	Sez.	X <cm>	N <daN>	My <daNm>	My ver. <daNm>	Mz <daNm>	Mz ver. <daNm>	Nu <daN>	MRdy <daNm>	MRdz <daNm>	α <grad>	ε _y	Sic.
0.00	36 (e)	SLU	1	2	0.00	-16508.00	35.75	330.16	-3914.33	-3914.33	-16508.00	919.68	-10259.00	270.62	8.46	2.622
0.00	36 (e)	SLU	1	2	0.00	-16508.00	35.75	330.16	-3914.33	-3914.33	-16508.00	919.68	-10259.00	270.62	8.46	2.622
0.28	36 (e)	SLU	1	2	28.00	-16344.20	45.31	326.88	-2972.80	-2972.80	-16344.20	1109.74	-10271.90	270.70	8.48	3.455
0.28	36 (e)	SLU	2	2	0.00	-16344.20	45.31	326.88	-2972.80	-2972.80	-16344.20	1109.74	-10271.90	270.70	8.48	3.455
3.30	36 (e)	SLU	2	2	302.00	-14577.50	148.50	291.55	3762.07	3762.07	-14577.50	604.77	10036.10	89.47	8.63	2.665

Stato limite d'esercizio - Verifiche tensionali

Xg <m>	CC	TCC	El	Sez.	X <cm>	N <daN>	Mz <daNm>	My <daNm>	AfT <cmq>	AfC <cmq>	σ _c <daN/cmq>	σ _f <daN/cmq>
0.00	38	SLE R	1	2	0.00	-11923.10	-2702.37	16.86	10.30	10.30	46.09	721.16
0.00	28	SLE Q	1	2	0.00	-9801.58	-1149.14	-67.97	10.30	10.30	19.30	178.25
0.00	38	SLE R	1	2	0.00	-11923.10	-2702.37	16.86	10.30	10.30	46.09	721.16
0.00	28	SLE Q	1	2	0.00	-9801.58	-1149.14	-67.97	10.30	10.30	19.30	178.25
0.28	38	SLE R	1	2	28.00	-11797.10	-2053.74	24.86	10.30	10.30	34.73	431.75
0.28	28	SLE Q	1	2	28.00	-9675.58	-889.76	-52.19	10.30	10.30	14.77	150.56
0.28	38	SLE R	2	2	0.00	-11797.10	-2053.74	24.86	10.30	10.30	34.73	431.75
0.28	28	SLE Q	2	2	0.00	-9675.58	-889.76	-52.19	10.30	10.30	14.77	150.56
3.30	38	SLE R	2	2	302.00	-10438.10	2662.15	111.09	10.30	10.30	46.46	772.67
3.30	28	SLE Q	2	2	302.00	-8316.58	1907.87	118.04	10.30	10.30	33.54	517.94

Stato limite d'esercizio - Verifiche a fessurazione

Xg <m>	CC	TCC	El	Sez.	X <cm>	N <daN>	My <daNm>	Mz <daNm>	c <mm>	s <mm>	K3	s _{cm} <mm>	Φ	A _s <cmq>	A _{c eff} <cmq>	σ _s <daN/cmq>	σ _{sr} <daN/cmq>	ε _{sm}	Wk <mm>
0.00	28	SLE Q	1	2	0.00	-9801.58	-67.97	-1149.14	54.00	158.01	0.13	244.50	20.00	10.30	1080.86	128.23	665.45	0.02	0.01
0.00	28	SLE Q	1	2	0.00	-9801.58	-67.97	-1149.14	54.00	158.01	0.13	244.50	20.00	10.30	1080.86	128.23	665.45	0.02	0.01
0.28	28	SLE Q	1	2	28.00	-9675.58	-52.19	-889.76	54.00	158.01	0.13	244.50	20.00	10.30	1080.86	45.07	375.38	0.01	0.00
0.28	28	SLE Q	2	2	0.00	-9675.58	-52.19	-889.76	54.00	158.01	0.13	244.50	20.00	10.30	1080.86	45.07	375.38	0.01	0.00
3.30	28	SLE Q	2	2	302.00	-8316.58	118.04	1907.87	54.00	158.01	0.13	244.51	20.00	10.30	1080.97	517.94	1200.29	0.10	0.04

Relazione di calcolo

Staffe - Verifiche armatura

X0 <m>	X1 <m>	Staff.	Br _y	Br _z	CC	TCC	bw _y <m>	Vsdu _y <daN>	ctgθ _y	VRsd _y <daN>	VRcd _y <daN>	bw _z <m>	Vsdu _z <daN>	ctgθ _z	VRsd _z <daN>	VRcd _z <daN>	Sic.T
0.00	0.60	ø8/10	2	2	29	SLU	0.60	1598.22	2.50	20888.60	38076.70	0.30	171.37	2.37	44938.50	44938.50	13.07
0.00	0.60	ø8/10	2	2	36	SLU	0.60	3362.59	2.50	20888.60	38185.40	0.30	34.17	2.37	45014.00	45014.00	6.21
0.00	0.60	ø8/10	2	2	13(TG)	SLV	0.60	4435.17	2.50	20888.60	37240.80	0.30	10954.80	2.34	44353.50	44353.50	4.05
0.00	0.60	ø8/10	2	2	10(TG)	SLV	0.60	6279.24	2.50	20888.60	37277.40	0.30	4343.28	2.34	44379.30	44379.30	3.33
0.60	2.70	ø8/15	2	2	29	SLU	0.60	1598.22	2.50	13925.70	38033.80	0.30	171.37	2.50	31627.90	43191.00	8.71
0.60	2.70	ø8/15	2	2	36	SLU	0.60	3122.59	2.50	13925.70	38142.50	0.30	34.17	2.50	31627.90	43314.40	4.46
0.60	2.70	ø8/15	2	2	13(TG)	SLV	0.60	4435.17	2.50	13925.70	37240.80	0.30	10954.80	2.50	31627.90	42290.40	2.89
0.60	2.70	ø8/15	2	2	10(TG)	SLV	0.60	6279.24	2.50	13925.70	37277.40	0.30	4343.28	2.50	31627.90	42332.00	2.22
2.70	3.30	ø8/10	2	2	29	SLU	0.60	1598.22	2.50	20888.60	37883.90	0.30	171.37	2.36	44804.30	44804.30	13.07
2.70	3.30	ø8/10	2	2	13(TG)	SLV	0.60	4435.17	2.50	20888.60	37240.80	0.30	10954.80	2.34	44353.50	44353.50	4.05
2.70	3.30	ø8/10	2	2	10(TG)	SLV	0.60	6279.24	2.50	20888.60	37277.40	0.30	4343.28	2.34	44379.30	44379.30	3.33

Caratteristiche nodi trave-pilastro

Nodo	Conf.	Staff.	F. Mod.	Br.	As1 <cmq>	As2 <cmq>	Bj <m>	Hjc <m>	Hjw <m>	Ash <cmq>
102N		ø12/ 7	Y+E	4	6.28	6.28	0.45	0.17	0.41	31.67
			Z+I	2	6.03	6.03	0.30	0.47	0.31	13.57
			Z-I	2	6.03	6.03	0.30	0.47	0.31	13.57

Verifiche nodi trave-pilastro

Nodo	F.	CC	TCC	Vc <daN>	Vjbd <daN>	vd _s	vd _i	Vjbr <daN>	Afni <daN/mq>	Rfni <daN/mq>	Vjwd <daN>	Vjwr <daN>
102Y+	1	SLV	0.00	27045.00	0.00	2.65	52166.30	858476.00	671628.00	26470.90	123915.00	
	19	SLV	0.00	27045.00	0.00	2.50	52166.30	858476.00	671628.00	26503.20	123915.00	
	Z+	1	SLV	0.00	51926.40	0.00	2.65	122036.00	910509.00	571038.00	51926.40	53106.60
	Z-	1	SLV	0.00	51926.40	0.00	2.65	122036.00	910509.00	571038.00	51926.40	53106.60

Pilastrata n. 3

Nodi: 3 -5 103

Caratteristiche delle sezioni e dei materiali utilizzati

Sez.	Tipo	B <cm>	H <cm>	Cf <cm>	Cls	Fck <daN/cmq>	Fctk <daN/cmq>	Fcd <daN/cmq>	Fctd <daN/cmq>	TP	Fyk <daN/cmq>	Fyd <daN/cmq>
2R		30.00	60.00	4.50	C28/35	290.50	19.84	164.62	13.23	B450C	4500.00	3913.04
2R		30.00	60.00	6.30	C28/35	290.50	19.84	164.62	13.23	B450C	4500.00	3913.04

Stato limite ultimo - Verifiche a flessione/pressoflessione

Xg <m>	CC	TCC	El	Sez.	X <cm>	N <daN>	My <daNm>	My ver. <daNm>	Mz <daNm>	Mz ver. <daNm>	Nu <daN>	MRdy <daNm>	MRdz <daNm>	α <grad>	ε _y	Sic.
0.00	36(e)	SLU	1	2	0.00	-16473.50	303.72	329.47	-4021.10	-4021.10	-16473.50	919.81	-10255.90	270.62	8.46	2.552
0.00	36(e)	SLU	1	2	0.00	-16473.50	303.72	329.47	-4021.10	-4021.10	-16473.50	919.81	-10255.90	270.62	8.46	2.552
0.28	36(e)	SLU	1	2	28.00	-16309.70	251.36	326.19	-3064.65	-3064.65	-16309.70	1109.88	-10268.80	270.70	8.48	3.351
0.28	36(e)	SLU	2	2	0.00	-16309.70	251.36	326.19	-3064.65	-3064.65	-16309.70	1109.88	-10268.80	270.70	8.48	3.351
3.30	36	SLU	2	2	302.00	-14543.00	-313.37		3831.24		-14543.00	-926.82	10080.20	90.62	8.67	2.633

Stato limite d'esercizio - Verifiche tensionali

Xg <m>	CC	TCC	El	Sez.	X <cm>	N <daN>	Mz <daNm>	My <daNm>	AfT <cmq>	AfC <cmq>	σ _c <daN/cmq>	σ _ε <daN/cmq>
0.00	38	SLE R	1	2	0.00	-11896.70	-2773.14	208.98	10.30	10.30	49.14	765.59
0.00	28	SLE Q	1	2	0.00	-9758.75	-1143.50	63.40	10.30	10.30	19.17	177.04
0.00	38	SLE R	1	2	0.00	-11896.70	-2773.14	208.98	10.30	10.30	49.14	765.59
0.00	28	SLE Q	1	2	0.00	-9758.75	-1143.50	63.40	10.30	10.30	19.17	177.04
0.28	38	SLE R	1	2	28.00	-11770.70	-2114.65	172.58	10.30	10.30	37.11	468.90
0.28	28	SLE Q	1	2	28.00	-9632.75	-885.39	48.82	10.30	10.30	14.67	149.62
0.28	38	SLE R	2	2	0.00	-11770.70	-2114.65	172.58	10.30	10.30	37.11	468.90
0.28	28	SLE Q	2	2	0.00	-9632.75	-885.39	48.82	10.30	10.30	14.67	149.62
3.30	38	SLE R	2	2	302.00	-10411.70	2707.57	-220.04	10.30	10.30	48.30	803.62
3.30	28	SLE Q	2	2	302.00	-8273.75	1898.49	-108.38	10.30	10.30	33.29	514.81

Stato limite d'esercizio - Verifiche a fessurazione

Xg <m>	CC	TCC	El	Sez.	X <cm>	N <daN>	My <daNm>	Mz <daNm>	c <mm>	s <mm>	K3	s _{cm} <mm>	Φ	A _s <cmq>	A _{s,eff} <cmq>	σ _s <daN/cmq>	σ _{sr} <daN/cmq>	ε _{sm}	Wk <mm>
0.00	28	SLE Q	1	2	0.00	-9758.75	63.40	-1143.50	54.00	158.01	0.13	244.50	20.00	10.30	1080.86	127.06	664.88	0.02	0.01
0.00	28	SLE Q	1	2	0.00	-9758.75	63.40	-1143.50	54.00	158.01	0.13	244.50	20.00	10.30	1080.86	127.06	664.88	0.02	0.01
0.28	28	SLE Q	1	2	28.00	-9632.75	48.82	-885.39	54.00	158.01	0.13	244.50	20.00	10.30	1080.86	44.51	374.04	0.01	0.00
0.28	28	SLE Q	2	2	0.00	-9632.75	48.82	-885.39	54.00	158.01	0.13	244.50	20.00	10.30	1080.86	44.51	374.04	0.01	0.00
3.30	28	SLE Q	2	2	302.00	-8273.75	-108.38	1898.49	54.00	158.01	0.13	244.51	20.00	10.30	1080.97	514.46	1201.47	0.10	0.04

Staffe - Verifiche armatura

X0 <m>	X1 <m>	Staff.	Br _y	Br _z	CC	TCC	bw _y <m>	Vsdu _y <daN>	ctgθ _y	VRsd _y <daN>	VRcd _y <daN>	bw _z <m>	Vsdu _z <daN>	ctgθ _z	VRsd _z <daN>	VRcd _z <daN>	Sic.T
0.00	0.60	ø8/10	2	2	29	SLU	0.60	1589.92	2.50	20888.60	38046.00	0.30	366.99	2.37	44917.20	44917.20	13.14
0.00	0.60	ø8/10	2	2	36	SLU	0.60	3415.90	2.50	20888.60	38181.20	0.30	187.00	2.37	45011.10	45011.10	6.12
0.00	0.60	ø8/10	2	2	13(TG)	SLV	0.60	4463.50	2.50	20888.60	37240.30	0.30	11019.20	2.34	44353.10	44353.10	4.03
0.00	0.60	ø8/10	2	2	19(TG)	SLV	0.60	6268.96	2.50	20888.60	37291.50	0.30	4511.52	2.34	44389.20	44389.20	3.33
0.60	2.70	ø8/15	2	2	29	SLU	0.60	1589.92	2.50	13925.70	38003.20	0.30	366.99	2.50	31627.90	43156.10	8.76

Relazione di calcolo

0.60	2.70	ø8/15	2	2	36	SLV	0.60	3175.90	2.50	13925.70	38138.30	0.30	187.00	2.50	31627.90	43309.60	4.38
0.60	2.70	ø8/15	2	2	13(TG)	SLV	0.60	4463.50	2.50	13925.70	37240.30	0.30	11019.20	2.50	31627.90	42289.80	2.87
0.60	2.70	ø8/15	2	2	19(TG)	SLV	0.60	6268.96	2.50	13925.70	37291.50	0.30	4511.52	2.50	31627.90	42347.90	2.22
2.70	3.30	ø8/10	2	2	29	SLV	0.60	1589.92	2.50	20888.60	37853.20	0.30	366.99	2.36	44782.90	44782.90	13.14
2.70	3.30	ø8/10	2	2	36	SLV	0.60	1600.91	2.50	20888.60	37988.40	0.30	187.00	2.36	44877.10	44877.10	13.05
2.70	3.30	ø8/10	2	2	13(TG)	SLV	0.60	4463.50	2.50	20888.60	37240.30	0.30	11019.20	2.34	44353.10	44353.10	4.03
2.70	3.30	ø8/10	2	2	19(TG)	SLV	0.60	6268.96	2.50	20888.60	37291.50	0.30	4511.52	2.34	44389.20	44389.20	3.33

Caratteristiche nodi trave-pilastro

Nodo	Conf.	Staff.	F.	Mod.	Br.	As1 <cmq>	As2 <cmq>	Bj <m>	Hjc <m>	Hjw <m>	Ash <cmq>
103	N	ø12/ 7	Y+E		4	6.28	6.28	0.45	0.17	0.41	31.67
			Z+I		2	6.03	6.03	0.30	0.47	0.31	13.57
			Z-I		2	6.03	6.03	0.30	0.47	0.31	13.57

Verifiche nodi trave-pilastro

Nodo	F.	CC	TCC	Vc <daN>	Vjbd <daN>	vd _s	vd _i	Vjbr <daN>	Afni <daN/mq>	Rfni <daN/mq>	Vjwd <daN>	Vjwr <daN>
103	Y+	1	SLV	0.00	27045.00	0.00	2.63	52166.20	858480.00	671629.00	26476.80	123915.00
		7	SLV	0.00	27045.00	0.00	2.49	52166.20	858480.00	671629.00	26506.10	123915.00
	Z+	1	SLV	0.00	51926.40	0.00	2.63	122036.00	910509.00	571038.00	51926.40	53106.60
	Z-	1	SLV	0.00	51926.40	0.00	2.63	122036.00	910509.00	571038.00	51926.40	53106.60

Pilastrata n. 4

Nodi: 4 -6 104

Caratteristiche delle sezioni e dei materiali utilizzati

Sez.	Tipo	B <cm>	H <cm>	Cf <cm>	Cls	Fck <daN/cmq>	Fctk <daN/cmq>	Fcd <daN/cmq>	Fctd <daN/cmq>	Tp	Fyk <daN/cmq>	Fyd <daN/cmq>
2R		30.00	60.00	4.50	C28/35	290.50	19.84	164.62	13.23	B450C	4500.00	3913.04
2R		30.00	60.00	6.30	C28/35	290.50	19.84	164.62	13.23	B450C	4500.00	3913.04

Stato limite ultimo - Verifiche a flessione/pressoflessione

Xg <m>	CC	TCC	El	Sez.	X <cm>	N <daN>	My <daNm>	My ver. <daNm>	Mz <daNm>	Mz ver. <daNm>	Nu <daN>	MRdy <daNm>	MRdz <daNm>	α <grad>	ε _y	Sic.
0.00	19	SLV	1	2	0.00	-4159.71	6909.28		-615.16		-4159.71	20391.60	-1846.33	343.13	9.36	2.952
0.00	19	SLV	1	2	0.00	-4159.71	6909.28		-615.16		-4159.71	20391.60	-1846.33	343.13	9.36	2.952
0.28	19	SLV	1	2	28.00	-4033.71	5870.62		-512.30		-4033.71	20367.50	-1845.04	343.13	9.37	3.470
0.28	19	SLV	2	2	0.00	-4033.71	5870.62		-512.30		-4033.71	20367.50	-1845.04	343.13	9.37	3.470
3.30	19	SLV	2	2	302.00	-2674.71	-5332.07		597.22		-2674.71	-19695.10	2509.65	157.50	8.70	3.700

Stato limite d'esercizio - Verifiche tensionali

Xg <m>	CC	TCC	El	Sez.	X <cm>	N <daN>	Mz <daNm>	My <daNm>	AfT <cmq>	AfC <cmq>	σ _c <daN/cmq>	σ _f <daN/cmq>
0.00	38	SLE R	1	2	0.00	-8016.08	-218.26	4929.06	12.31	8.29	43.68	909.17
0.00	28	SLE Q	1	2	0.00	-6160.71	-183.72	1167.54	8.29	12.31	11.68	136.63
0.00	38	SLE R	1	2	0.00	-8016.08	-218.26	4929.06	12.31	8.29	43.68	909.17
0.00	28	SLE Q	1	2	0.00	-6160.71	-183.72	1167.54	8.29	12.31	11.68	136.63
0.28	38	SLE R	1	2	28.00	-7890.08	-166.09	3977.53	12.31	8.29	34.90	662.14
0.28	28	SLE Q	1	2	28.00	-6034.71	-142.24	897.73	6.28	14.33	8.96	108.79
0.28	38	SLE R	2	2	0.00	-7890.08	-166.09	3977.53	12.31	8.29	34.90	662.14
0.28	28	SLE Q	2	2	0.00	-6034.71	-142.24	897.73	6.28	14.33	8.96	108.79
3.30	38	SLE R	2	2	302.00	-6531.08	396.60	-4005.32	12.31	8.29	39.97	782.66
3.30	28	SLE Q	2	2	302.00	-4675.71	305.25	-2012.32	12.31	8.29	21.79	347.41

Stato limite d'esercizio - Verifiche a fessurazione

Xg <m>	CC	TCC	El	Sez.	X <cm>	N <daN>	My <daNm>	Mz <daNm>	c <mm>	s <mm>	K3	s _{rm} <mm>	Φ	A _s <cmq>	A _{c eff} <cmq>	σ _s <daN/cmq>	σ _{sr} <daN/cmq>	ε _{sm}	Wk <mm>
0.00	28	SLE Q	1	2	0.00	-6160.71	1167.54	-183.72	54.00	158.01	0.13	235.60	20.00	8.29	796.21	73.11	593.66	0.01	0.01
0.00	28	SLE Q	1	2	0.00	-6160.71	1167.54	-183.72	54.00	158.01	0.13	235.60	20.00	8.29	796.21	73.11	593.66	0.01	0.01
0.28	28	SLE Q	1	2	28.00	-6034.71	897.73	-142.24	54.00	280.00	0.13	279.57	20.00	3.14	363.08	29.92	389.20	0.01	0.00
0.28	28	SLE Q	2	2	0.00	-6034.71	897.73	-142.24	54.00	280.00	0.13	279.57	20.00	3.14	363.08	29.92	389.20	0.01	0.00
3.30	28	SLE Q	2	2	302.00	-4675.71	-2012.32	305.25	54.00	158.01	0.13	238.86	20.00	12.31	1222.38	347.41	1190.17	0.07	0.03

Staffe - Verifiche armatura

X0 <m>	X1 <m>	Staff.	Br _y	Br _z	CC	TCC	bw _{y,z} <cm>	Vsdu _{y,z} <daN>	ctgθ _{y,z}	VRsd _{y,z} <daN>	VRcd _{y,z} <daN>	bw _{y,z} <cm>	Vsdu _{y,z} <daN>	ctgθ _{y,z}	VRsd _{y,z} <daN>	VRcd _{y,z} <daN>	Sic.T
0.00	0.60	ø8/10	2	2	36	SLV	0.60	257.43	2.50	20888.60	37527.10	0.30	4979.39	2.35	44554.70	44554.70	8.95
0.00	0.60	ø8/10	2	2	7(TG)	SLV	0.60	1272.56	2.50	20888.60	36985.30	0.30	13896.30	2.33	44173.10	44173.10	3.18
0.00	0.60	ø8/10	2	2	1(TG)	SLV	0.60	5892.10	2.50	20888.60	36878.40	0.30	6116.72	2.32	44097.50	44097.50	3.55
0.60	2.70	ø8/15	2	2	36	SLV	0.60	257.43	2.50	13925.70	37484.20	0.30	4739.39	2.50	31627.90	42566.90	6.67
0.60	2.70	ø8/15	2	2	7(TG)	SLV	0.60	1272.56	2.50	13925.70	36985.30	0.30	13896.30	2.50	31627.90	42000.20	2.28
0.60	2.70	ø8/15	2	2	1(TG)	SLV	0.60	5892.10	2.50	13925.70	36878.40	0.30	6116.72	2.50	31627.90	41878.90	2.36
2.70	3.30	ø8/10	2	2	36	SLV	0.60	257.43	2.50	20888.60	37334.30	0.30	3164.39	2.34	44419.30	44419.30	14.04
2.70	3.30	ø8/10	2	2	7(TG)	SLV	0.60	1272.56	2.50	20888.60	36985.30	0.30	13896.30	2.33	44173.10	44173.10	3.18
2.70	3.30	ø8/10	2	2	1(TG)	SLV	0.60	5892.10	2.50	20888.60	36878.40	0.30	6116.72	2.32	44097.50	44097.50	3.55

Caratteristiche nodi trave-pilastro

Relazione di calcolo

Nodo	Conf.	Staff.	F.	Mod.	Br.	As1 <cmq>	As2 <cmq>	Bj <m>	Hjc <m>	Hjw <m>	Ash <cmq>
104	N	ø12/ 7	Y+	E	4	6.03	6.03	0.45	0.17	0.31	27.14
			Z-	E	2	6.28	6.28	0.30	0.47	0.41	15.83

Verifiche nodi trave-pilastro

Nodo	F.	CC	TCC	Vc <daN>	Vjbd <daN>	vd _s	vd _i	Vjbr <daN>	Afni <daN/mq>	Rfni <daN/mq>	Vjwd <daN>	Vjwr <daN>
104	Y+	1	SLV	0.00	25963.20	0.00	1.04	52166.00	780810.00	761385.00	25746.20	106213.00
		7	SLV	0.00	25963.20	0.00	0.75	52166.00	780810.00	761385.00	25807.60	106213.00
	Z-	1	SLV	0.00	27045.00	0.00	1.04	97628.20	150582.00	503722.00	---	---

Pilastrata n. 13

Nodi: 13 -15 113

Caratteristiche delle sezioni e dei materiali utilizzati

Sez.	Tipo	B <cm>	H <cm>	Cf <cm>	Cls	Fck <daN/cmq>	Fctk <daN/cmq>	Fcd <daN/cmq>	Fctd <daN/cmq>	TP	Fyk <daN/cmq>	Fyd <daN/cmq>
2R		30.00	60.00	4.50	C28/35	290.50	19.84	164.62	13.23	B450C	4500.00	3913.04
2R		30.00	60.00	6.30	C28/35	290.50	19.84	164.62	13.23	B450C	4500.00	3913.04

Stato limite ultimo - Verifiche a flessione/pressoflessione

Xg <cm>	CC	TCC	El	Sez.	X <cm>	N <daN>	My <daNm>	My ver. <daNm>	Mz <daNm>	Mz ver. <daNm>	Nu <daN>	MRdy <daNm>	MRdz <daNm>	α <grad>	ε _y	Sic.
0.00	19	SLV	1	2	0.00	-4202.09	-6928.53		620.21		-4202.09	-20399.70	1846.78	163.13	9.36	2.945
0.00	19	SLV	1	2	0.00	-4202.09	-6928.53		620.21		-4202.09	-20399.70	1846.78	163.13	9.36	2.945
0.28	19	SLV	1	2	28.00	-4076.09	-5886.47		516.30		-4076.09	-20375.60	1845.48	163.13	9.37	3.462
0.28	19	SLV	2	2	0.00	-4076.09	-5886.47		516.30		-4076.09	-20375.60	1845.48	163.13	9.37	3.462
3.30	19	SLV	2	2	302.00	-2717.09	5352.89		-604.33		-2717.09	19703.30	-2510.04	337.50	8.69	3.687

Stato limite d'esercizio - Verifiche tensionali

Xg <cm>	CC	TCC	El	Sez.	X <cm>	N <daN>	Mz <daNm>	My <daNm>	AfT <cmq>	AfC <cmq>	σ _c <daN/cmq>	σ _f <daN/cmq>
0.00	31	SLE R	1	2	0.00	-7076.84	730.06	-1455.84	10.30	10.30	23.47	238.55
0.00	28	SLE Q	1	2	0.00	-6201.46	189.24	-1176.14	8.29	12.31	11.83	138.15
0.00	31	SLE R	1	2	0.00	-7076.84	730.06	-1455.84	10.30	10.30	23.47	238.55
0.00	28	SLE Q	1	2	0.00	-6201.46	189.24	-1176.14	8.29	12.31	11.83	138.15
0.28	31	SLE R	1	2	28.00	-6950.84	521.27	-1119.41	7.16	13.45	16.57	178.63
0.28	28	SLE Q	1	2	28.00	-6075.46	146.54	-904.35	6.28	14.33	9.06	109.95
0.28	31	SLE R	2	2	0.00	-6950.84	521.27	-1119.41	7.16	13.45	16.57	178.63
0.28	28	SLE Q	2	2	0.00	-6075.46	146.54	-904.35	6.28	14.33	9.06	109.95
3.30	31	SLE R	2	2	302.00	-5591.84	-408.30	2509.23	12.31	8.29	27.79	451.08
3.30	28	SLE Q	2	2	302.00	-4716.46	-313.96	2027.15	12.31	8.29	22.07	351.13

Stato limite d'esercizio - Verifiche a fessurazione

Xg <cm>	CC	TCC	El	Sez.	X <cm>	N <daN>	My <daNm>	Mz <daNm>	c <mm>	s <mm>	K3	s _{zm} <mm>	Φ	A _s <cmq>	A _{c eff} <cmq>	σ _s <daN/cmq>	σ _{sr} <daN/cmq>	ε _{sm}	Wk <mm>
0.00	28	SLE Q	1	2	0.00	-6201.46	-1176.14	189.24	54.00	158.01	0.13	235.60	20.00	8.29	796.21	74.50	594.62	0.01	0.01
0.00	28	SLE Q	1	2	0.00	-6201.46	-1176.14	189.24	54.00	158.01	0.13	235.60	20.00	8.29	796.21	74.50	594.62	0.01	0.01
0.28	28	SLE Q	1	2	28.00	-6075.46	-904.35	146.54	54.00	280.00	0.13	279.62	20.00	3.14	363.23	30.68	391.25	0.01	0.00
0.28	28	SLE Q	2	2	0.00	-6075.46	-904.35	146.54	54.00	280.00	0.13	279.62	20.00	3.14	363.23	30.68	391.25	0.01	0.00
3.30	28	SLE Q	2	2	302.00	-4716.46	2027.15	-313.96	54.00	158.01	0.13	238.85	20.00	12.31	1222.30	351.13	1187.18	0.07	0.03

Staffe - Verifiche armatura

X0 <cm>	X1 <cm>	Staff.	Br _y	Br _z	CC	TCC	bw _y <cm>	Vsdu _y <daN>	ctgθ _y	VRsd _y <daN>	VRcd _y <daN>	bw _z <cm>	Vsdu _z <daN>	ctgθ _z	VRsd _z <daN>	VRcd _z <daN>	Sic.T
0.00	0.60	ø8/10	2	2	29	SLU	0.60	1095.86	2.50	20888.60	37354.50	0.30	1683.44	2.34	44433.50	44433.50	19.06
0.00	0.60	ø8/10	2	2	7 (TG)	SLV	0.60	1272.62	2.50	20888.60	36990.10	0.30	13901.60	2.33	44176.50	44176.50	3.18
0.00	0.60	ø8/10	2	2	1 (TG)	SLV	0.60	5875.92	2.50	20888.60	36881.60	0.30	6245.45	2.32	44099.70	44099.70	3.55
0.60	2.70	ø8/15	2	2	29	SLU	0.60	956.66	2.50	13925.70	37311.70	0.30	1683.44	2.50	31627.90	42370.90	14.56
0.60	2.70	ø8/15	2	2	7 (TG)	SLV	0.60	1272.62	2.50	13925.70	36990.10	0.30	13901.60	2.50	31627.90	42005.60	2.28
0.60	2.70	ø8/15	2	2	1 (TG)	SLV	0.60	5875.92	2.50	13925.70	36881.60	0.30	6245.45	2.50	31627.90	41882.50	2.37
2.70	3.30	ø8/10	2	2	29	SLU	0.60	217.84	2.50	20888.60	37161.70	0.30	1683.44	2.33	44297.70	44297.70	26.31
2.70	3.30	ø8/10	2	2	36	SLU	0.60	269.41	2.50	20888.60	37100.10	0.30	666.11	2.33	44254.30	44254.30	66.44
2.70	3.30	ø8/10	2	2	7 (TG)	SLV	0.60	1272.62	2.50	20888.60	36990.10	0.30	13901.60	2.33	44176.50	44176.50	3.18
2.70	3.30	ø8/10	2	2	1 (TG)	SLV	0.60	5875.92	2.50	20888.60	36881.60	0.30	6245.45	2.32	44099.70	44099.70	3.55

Caratteristiche nodi trave-pilastro

Nodo	Conf.	Staff.	F.	Mod.	Br.	As1 <cmq>	As2 <cmq>	Bj <m>	Hjc <m>	Hjw <m>	Ash <cmq>
113	N	ø12/ 7	Z+	E	2	6.28	6.28	0.30	0.47	0.41	15.83
			Y-	E	4	6.03	6.03	0.45	0.17	0.31	27.14

Verifiche nodi trave-pilastro

Nodo	F.	CC	TCC	Vc <daN>	Vjbd <daN>	vd _s	vd _i	Vjbr <daN>	Afni <daN/mq>	Rfni <daN/mq>	Vjwd <daN>	Vjwr <daN>
113	Z+	1	SLV	0.00	27045.00	0.00	1.06	97628.40	150581.00	503721.00	---	---
	Y-	1	SLV	0.00	25963.20	0.00	1.06	52166.30	780800.00	761384.00	25742.50	106213.00

Relazione di calcolo

	7	SLV	0.00	25963.20	0.00	0.76	52166.30	780800.00	761384.00	25804.80	106213.00
--	---	-----	------	----------	------	------	----------	-----------	-----------	----------	-----------

Pilastrata n. 14

Nodi: 14 -16 114

Caratteristiche delle sezioni e dei materiali utilizzati

Sez.	Tipo	B <cm>	H <cm>	Cf <cm>	Cls	Fck <daN/cmq>	Fctk <daN/cmq>	Fcd <daN/cmq>	Fctd <daN/cmq>	TP	Fyk <daN/cmq>	Fyd <daN/cmq>
2R		30.00	60.00	4.50	C28/35	290.50	19.84	164.62	13.23	B450C	4500.00	3913.04
2R		30.00	60.00	6.30	C28/35	290.50	19.84	164.62	13.23	B450C	4500.00	3913.04

Stato limite ultimo - Verifiche a flessione/pressoflessione

Xg <cm>	CC	TCC	El	Sez.	X <cm>	N <daN>	My <daNm>	My ver. <daNm>	Mz <daNm>	Mz ver. <daNm>	Nu <daN>	MRdy <daNm>	MRdz <daNm>	α <grad>	ε _y	Sic.
0.00	13	SLV	1	2	0.00	-9348.25	-5633.14		1682.52		-9348.25	-18210.40	5650.75	129.38	5.62	3.243
0.00	13	SLV	1	2	0.00	-9348.25	-5633.14		1682.52		-9348.25	-18210.40	5650.75	129.38	5.62	3.243
0.28	13	SLV	1	2	28.00	-9222.25	-4907.13		1344.12		-9222.25	-19080.90	4998.19	135.00	5.90	3.877
0.28	13	SLV	2	2	0.00	-9222.25	-4907.13		1344.12		-9222.25	-19080.90	4998.19	135.00	5.90	3.877
3.30	22	SLV	2	2	302.00	-7614.93	-583.05		-3122.86		-7614.93	-1611.20	-9442.98	268.59	8.88	3.015

Stato limite d'esercizio - Verifiche tensionali

Xg <cm>	CC	TCC	El	Sez.	X <cm>	N <daN>	Mz <daNm>	My <daNm>	AfT <cmq>	AfC <cmq>	σ _c <daN/cmq>	σ _f <daN/cmq>
0.00	31	SLE R	1	2	0.00	-11329.60	1414.54	324.90	10.30	10.30	25.72	235.86
0.00	28	SLE Q	1	2	0.00	-9801.58	1149.14	-67.97	10.30	10.30	19.30	178.25
0.00	31	SLE R	1	2	0.00	-11329.60	1414.54	324.90	10.30	10.30	25.72	235.86
0.00	28	SLE Q	1	2	0.00	-9801.58	1149.14	-67.97	10.30	10.30	19.30	178.25
0.28	31	SLE R	1	2	28.00	-11203.60	1095.25	294.53	10.30	10.30	19.75	199.25
0.28	28	SLE Q	1	2	28.00	-9675.58	889.76	-52.19	10.30	10.30	14.77	150.56
0.28	31	SLE R	2	2	0.00	-11203.60	1095.25	294.53	10.30	10.30	19.75	199.25
0.28	28	SLE Q	2	2	0.00	-9675.58	889.76	-52.19	10.30	10.30	14.77	150.56
3.30	31	SLE R	2	2	302.00	-9844.57	-2348.48	-33.06	10.30	10.30	40.29	650.45
3.30	28	SLE Q	2	2	302.00	-8316.58	-1907.87	118.04	10.30	10.30	33.54	517.93

Stato limite d'esercizio - Verifiche a fessurazione

Xg <cm>	CC	TCC	El	Sez.	X <cm>	N <daN>	My <daNm>	Mz <daNm>	c <mm>	s <mm>	K3	S _{rm} <mm>	Φ	A _s <cmq>	A _{c eff} <cmq>	σ _s <daN/cmq>	σ _{sr} <daN/cmq>	ε _{sm}	Wk <mm>
0.00	28	SLE Q	1	2	0.00	-9801.58	-67.97	1149.14	54.00	158.01	0.13	244.51	20.00	10.30	1080.97	128.23	665.45	0.02	0.01
0.00	28	SLE Q	1	2	0.00	-9801.58	-67.97	1149.14	54.00	158.01	0.13	244.51	20.00	10.30	1080.97	128.23	665.45	0.02	0.01
0.28	28	SLE Q	1	2	28.00	-9675.58	-52.19	889.76	54.00	158.01	0.13	244.51	20.00	10.30	1080.97	45.07	375.38	0.01	0.00
0.28	28	SLE Q	2	2	0.00	-9675.58	-52.19	889.76	54.00	158.01	0.13	244.51	20.00	10.30	1080.97	45.07	375.38	0.01	0.00
3.30	28	SLE Q	2	2	302.00	-8316.58	118.04	-1907.87	54.00	158.01	0.13	244.50	20.00	10.30	1080.86	517.93	1200.28	0.10	0.04

Staffe - Verifiche armatura

X0 <cm>	X1 <cm>	Staff.	Br _y	Br _z	CC	TCC	bw _y <cm>	Vsdu _y <daN>	ctgθ _y	VRsd _y <daN>	VRcd _y <daN>	bw _z <cm>	Vsdu _z <daN>	ctgθ _z	VRsd _z <daN>	VRcd _z <daN>	Sic.T
0.00	0.60	ø8/10	2	2	36	SLV	0.60	237.77	2.50	20888.60	38149.80	0.30	188.96	2.37	44989.30	44989.30	87.85
0.00	0.60	ø8/10	2	2	29	SLV	0.60	1598.22	2.50	20888.60	38076.70	0.30	171.37	2.37	44938.50	44938.50	13.07
0.00	0.60	ø8/10	2	2	1 (TG)	SLV	0.60	4435.17	2.50	20888.60	37240.80	0.30	10954.80	2.34	44353.50	44353.50	4.05
0.00	0.60	ø8/10	2	2	22 (TG)	SLV	0.60	6279.25	2.50	20888.60	37277.40	0.30	4343.28	2.34	44379.30	44379.30	3.33
0.60	2.70	ø8/15	2	2	36	SLV	0.60	1577.23	2.50	13925.70	38106.90	0.30	188.96	2.50	31627.90	43274.00	8.83
0.60	2.70	ø8/15	2	2	29	SLV	0.60	1598.22	2.50	13925.70	38033.80	0.30	171.37	2.50	31627.90	43191.00	8.71
0.60	2.70	ø8/15	2	2	1 (TG)	SLV	0.60	4435.17	2.50	13925.70	37240.80	0.30	10954.80	2.50	31627.90	42290.40	2.89
0.60	2.70	ø8/15	2	2	22 (TG)	SLV	0.60	6279.25	2.50	13925.70	37277.40	0.30	4343.28	2.50	31627.90	42332.00	2.22
2.70	3.30	ø8/10	2	2	36	SLV	0.60	2027.23	2.50	20888.60	37957.00	0.30	188.96	2.36	44855.20	44855.20	10.30
2.70	3.30	ø8/10	2	2	1 (TG)	SLV	0.60	4435.17	2.50	20888.60	37240.80	0.30	10954.80	2.34	44353.50	44353.50	4.05
2.70	3.30	ø8/10	2	2	22 (TG)	SLV	0.60	6279.25	2.50	20888.60	37277.40	0.30	4343.28	2.34	44379.30	44379.30	3.33

Caratteristiche nodi trave-pilastro

Nodo	Conf.	Staff.	F.	Mod.	Br.	As1 <cmq>	As2 <cmq>	Bj <cm>	Hjc <cm>	Hjw <cm>	Ash <cmq>
114	N	ø12/ 7	Z+	I	2	6.03	6.03	0.30	0.47	0.31	13.57
			Y-	E	4	6.28	6.28	0.45	0.17	0.41	31.67
			Z-	I	2	6.03	6.03	0.30	0.47	0.31	13.57

Verifiche nodi trave-pilastro

Nodo	F.	CC	TCC	Vc <daN>	Vjbd <daN>	vd _s	vd _i	Vjbr <daN>	Afni <daN/mq>	Rfni <daN/mq>	Vjwd <daN>	VjwR <daN>
114	Z+	1	SLV	0.00	51926.40	0.00	2.64	122036.00	910507.00	571038.00	51926.40	53106.60
	Y-	1	SLV	0.00	27045.00	0.00	2.64	52166.30	858473.00	671627.00	26474.60	123915.00
		7	SLV	0.00	27045.00	0.00	2.50	52166.30	858473.00	671627.00	26503.20	123915.00
	Z-	1	SLV	0.00	51926.40	0.00	2.64	122036.00	910507.00	571038.00	51926.40	53106.60

Pilastrata n. 15

Nodi: 15 -17 115

Caratteristiche delle sezioni e dei materiali utilizzati

Sez.	Tipo	B	H	Cf	Cls	Fck	Fctk	Fcd	Fctd	TP	Fyk	Fyd
------	------	---	---	----	-----	-----	------	-----	------	----	-----	-----

Relazione di calcolo

		<cm>	<cm>	<cm>		<daN/cm>	<daN/cm>	<daN/cm>	<daN/cm>		<daN/cm>	<daN/cm>
2R		30.00	60.00	4.50	C28/35	290.50	19.84	164.62	13.23	B450C	4500.00	3913.04
2R		30.00	60.00	6.30	C28/35	290.50	19.84	164.62	13.23	B450C	4500.00	3913.04

Stato limite ultimo - Verifiche a flessione/pressoflessione

Xg	CC	TCC	El	Sez.	X	N	My	My ver.	Mz	Mz ver.	Nu	MRdy	MRdz	α	ε _y	Sic.
<cm>					<cm>	<daN>	<daNm>	<daNm>	<daNm>	<daNm>	<daN>	<daNm>	<daNm>	<grad>		
0.00	1	SLV	1	2	0.00	-9320.78	5634.81		1677.65		-9320.78	18206.60	5649.94	50.63	5.63	3.242
0.00	1	SLV	1	2	0.00	-9320.78	5634.81		1677.65		-9320.78	18206.60	5649.94	50.63	5.63	3.242
0.28	1	SLV	1	2	28.00	-9194.78	4908.48		1340.41		-9194.78	19077.10	4997.54	45.00	5.90	3.876
0.28	1	SLV	2	2	0.00	-9194.78	4908.48		1340.41		-9194.78	19077.10	4997.54	45.00	5.90	3.876
3.30	7	SLV	2	2	302.00	-7433.88	-1030.61		-3113.46		-7433.88	-3239.29	-9416.91	267.19	8.29	3.036

Stato limite d'esercizio - Verifiche tensionali

Xg	CC	TCC	El	Sez.	X	N	Mz	My	AfT	AfC	σ _c	σ _ε
<cm>					<cm>	<daN>	<daNm>	<daNm>	<cmq>	<cmq>	<daN/cm>	<daN/cm>
0.00	31	SLE R	1	2	0.00	-11158.60	1407.25	496.39	10.30	10.30	26.96	249.28
0.00	28	SLE Q	1	2	0.00	-9758.75	1143.50	63.40	10.30	10.30	19.17	177.04
0.00	31	SLE R	1	2	0.00	-11158.60	1407.25	496.39	10.30	10.30	26.96	249.28
0.00	28	SLE Q	1	2	0.00	-9758.75	1143.50	63.40	10.30	10.30	19.17	177.04
0.28	31	SLE R	1	2	28.00	-11032.60	1089.61	426.38	10.30	10.30	20.59	208.18
0.28	28	SLE Q	1	2	28.00	-9632.75	885.39	48.82	10.30	10.30	14.67	149.62
0.28	31	SLE R	2	2	0.00	-11032.60	1089.61	426.38	10.30	10.30	20.59	208.18
0.28	28	SLE Q	2	2	0.00	-9632.75	885.39	48.82	10.30	10.30	14.67	149.62
3.30	31	SLE R	2	2	302.00	-9673.63	-2336.38	-328.62	10.30	10.30	42.88	678.25
3.30	28	SLE Q	2	2	302.00	-8273.75	-1898.49	-108.38	10.30	10.30	33.29	514.81

Stato limite d'esercizio - Verifiche a fessurazione

Xg	CC	TCC	El	Sez.	X	N	My	Mz	c	s	K3	s _{cm}	Φ	A _s	A _{c eff}	σ _s	σ _{sz}	ε _{sm}	Wk
<cm>					<cm>	<daN>	<daNm>	<daNm>	<mm>	<mm>		<mm>		<cmq>	<cmq>	<daN/cm>	<daN/cm>		<mm>
0.00	28	SLE Q	1	2	0.00	-9758.75	63.40	1143.50	54.00	158.01	0.13	244.51	20.00	10.30	1080.97	127.06	664.88	0.02	0.01
0.00	28	SLE Q	1	2	0.00	-9758.75	63.40	1143.50	54.00	158.01	0.13	244.51	20.00	10.30	1080.97	127.06	664.88	0.02	0.01
0.28	28	SLE Q	1	2	28.00	-9632.75	48.82	885.39	54.00	158.01	0.13	244.51	20.00	10.30	1080.97	44.51	374.04	0.01	0.00
0.28	28	SLE Q	2	2	0.00	-9632.75	48.82	885.39	54.00	158.01	0.13	244.51	20.00	10.30	1080.97	44.51	374.04	0.01	0.00
3.30	28	SLE Q	2	2	302.00	-8273.75	-108.38	-1898.49	54.00	158.01	0.13	244.50	20.00	10.30	1080.86	514.46	1201.47	0.10	0.04

Staffe - Verifiche armatura

X0	X1	Staff.	Br _y	Br _z	CC	TCC	b _{w,y}	V _{sdu,y}	ctgθ _y	VR _{sd,y}	VR _{cd,y}	b _{w,z}	V _{sdu,z}	ctgθ _z	VR _{sd,z}	VR _{cd,z}	Sic.T
<cm>	<cm>						<cm>	<daN>		<daN>	<daN>	<cm>	<daN>		<daN>	<daN>	
0.00	0.60	ø8/10	2	2	29	SLV	0.60	1589.92	2.50	20888.60	38046.00	0.30	366.99	2.37	44917.20	44917.20	13.14
0.00	0.60	ø8/10	2	2	1 (TG)	SLV	0.60	4463.50	2.50	20888.60	37240.30	0.30	11019.20	2.34	44353.10	44353.10	4.03
0.00	0.60	ø8/10	2	2	7 (TG)	SLV	0.60	6268.96	2.50	20888.60	37291.50	0.30	4511.52	2.34	44389.20	44389.20	3.33
0.60	2.70	ø8/15	2	2	29	SLV	0.60	1589.92	2.50	13925.70	38003.20	0.30	366.99	2.50	31627.90	43156.10	8.76
0.60	2.70	ø8/15	2	2	1 (TG)	SLV	0.60	4463.50	2.50	13925.70	37240.30	0.30	11019.20	2.50	31627.90	42289.80	2.87
0.60	2.70	ø8/15	2	2	7 (TG)	SLV	0.60	6268.96	2.50	13925.70	37291.50	0.30	4511.52	2.50	31627.90	42347.90	2.22
2.70	3.30	ø8/10	2	2	29	SLV	0.60	1589.92	2.50	20888.60	37853.20	0.30	366.99	2.36	44782.90	44782.90	13.14
2.70	3.30	ø8/10	2	2	36	SLV	0.60	1954.99	2.50	20888.60	37941.80	0.30	20.43	2.36	44844.70	44844.70	10.68
2.70	3.30	ø8/10	2	2	1 (TG)	SLV	0.60	4463.50	2.50	20888.60	37240.30	0.30	11019.20	2.34	44353.10	44353.10	4.03
2.70	3.30	ø8/10	2	2	7 (TG)	SLV	0.60	6268.96	2.50	20888.60	37291.50	0.30	4511.52	2.34	44389.20	44389.20	3.33

Caratteristiche nodi trave-pilastro

Nodo	Conf.	Staff.	F.	Mod.	Br.	As1	As2	Bj	Hjc	Hjw	Ash
						<cmq>	<cmq>	<cm>	<cm>	<cm>	<cmq>
115N		ø12/ 7	Z+I		2	6.03	6.03	0.30	0.47	0.31	13.57
			Y-E		4	6.28	6.28	0.45	0.17	0.41	31.67
			Z-I		2	6.03	6.03	0.30	0.47	0.31	13.57

Verifiche nodi trave-pilastro

Nodo	F.	CC	TCC	Vc	Vjbd	vd _s	vd _i	VjbR	Afni	Rfni	Vjwd	VjwR
				<daN>	<daN>			<daN>	<daN/mq>	<daN/mq>	<daN>	<daN>
115Z+	1	SLV		0.00	51926.40	0.00	2.64	122036.00	910507.00	571038.00	51926.40	53106.60
			Y-	1	SLV		0.00	27045.00	858478.00	671629.00	26472.90	123915.00
				19	SLV		0.00	27045.00	858478.00	671629.00	26506.10	123915.00
			Z-	1	SLV		0.00	51926.40	910507.00	571038.00	51926.40	53106.60

Pilastrata n. 16

Nodi: 16 -18 116

Caratteristiche delle sezioni e dei materiali utilizzati

Sez.	Tipo	B	H	Cf	Cls	Fck	Fctk	Fcd	Fctd	TP	Fyk	Fyd
		<cm>	<cm>	<cm>		<daN/cm>	<daN/cm>	<daN/cm>	<daN/cm>		<daN/cm>	<daN/cm>
2R		30.00	60.00	4.50	C28/35	290.50	19.84	164.62	13.23	B450C	4500.00	3913.04
2R		30.00	60.00	6.30	C28/35	290.50	19.84	164.62	13.23	B450C	4500.00	3913.04

Stato limite ultimo - Verifiche a flessione/pressoflessione

Xg	CC	TCC	El	Sez.	X	N	My	My ver.	Mz	Mz ver.	Nu	MRdy	MRdz	α	ε _y	Sic.
<cm>					<cm>	<daN>	<daNm>	<daNm>	<daNm>	<daNm>	<daN>	<daNm>	<daNm>	<grad>		
0.00	7	SLV	1	2	0.00	-4159.71	-6909.28		-615.16		-4159.71	-20391.60	-1846.33	196.88	9.36	2.952

Relazione di calcolo

0.00	7	SLV	1	2	0.00	-4159.71	-6909.28			-615.16		-4159.71	-20391.60	-1846.33	196.88	9.36	2.952
0.28	7	SLV	1	2	28.00	-4033.71	-5870.62			-512.30		-4033.71	-20367.50	-1845.04	196.88	9.37	3.470
0.28	7	SLV	2	2	0.00	-4033.71	-5870.62			-512.30		-4033.71	-20367.50	-1845.04	196.88	9.37	3.470
3.30	7	SLV	2	2	302.00	-2674.71	5332.07			597.22		-2674.71	19695.10	2509.64	22.50	8.70	3.700

Stato limite d'esercizio - Verifiche tensionali

Xg	CC	TCC	El	Sez.	X	N	Mz	My	AfT	AfC	σ_c	σ_f
<m>					<cm>	<daN>	<daNm>	<daNm>	<cmq>	<cmq>	<daN/cmq>	<daN/cmq>
0.00	38	SLE R	1	2	0.00	-6182.34	-293.40	2187.28	12.31	8.29	22.60	317.92
0.00	28	SLE Q	1	2	0.00	-6160.71	-183.72	-1167.54	8.29	12.31	11.68	136.63
0.00	38	SLE R	1	2	0.00	-6182.34	-293.40	2187.28	12.31	8.29	22.60	317.92
0.00	28	SLE Q	1	2	0.00	-6160.71	-183.72	-1167.54	8.29	12.31	11.68	136.63
0.28	38	SLE R	1	2	28.00	-6056.34	-229.97	1869.35	10.30	10.30	18.69	233.83
0.28	28	SLE Q	1	2	28.00	-6034.71	-142.24	-897.73	6.28	14.33	8.96	108.79
0.28	38	SLE R	2	2	0.00	-6056.34	-229.97	1869.35	10.30	10.30	18.69	233.83
0.28	28	SLE Q	2	2	0.00	-6034.71	-142.24	-897.73	6.28	14.33	8.96	108.79
3.30	26	SLE R	2	2	302.00	-5309.05	308.18	2362.80	12.31	8.29	24.68	405.55
3.30	28	SLE Q	2	2	302.00	-4675.71	305.25	2012.32	12.31	8.29	21.79	347.41

Stato limite d'esercizio - Verifiche a fessurazione

Xg	CC	TCC	El	Sez.	X	N	My	Mz	c	s	K3	s_{rm}	Φ	A_s	$A_{c\ eff}$	σ_s	σ_{sz}	ϵ_{sm}	Wk
<m>					<cm>	<daN>	<daNm>	<daNm>	<mm>	<mm>		<mm>		<cmq>	<cmq>	<daN/cmq>	<daN/cmq>		<mm>
0.00	28	SLE Q	1	2	0.00	-6160.71	-1167.54	-183.72	54.00	158.01	0.13	235.60	20.00	8.29	796.21	73.11	593.66	0.01	0.01
0.00	28	SLE Q	1	2	0.00	-6160.71	-1167.54	-183.72	54.00	158.01	0.13	235.60	20.00	8.29	796.21	73.11	593.66	0.01	0.01
0.28	28	SLE Q	1	2	28.00	-6034.71	-897.73	-142.24	54.00	280.00	0.13	279.57	20.00	3.14	363.08	29.92	389.20	0.01	0.00
0.28	28	SLE Q	2	2	0.00	-6034.71	-897.73	-142.24	54.00	280.00	0.13	279.57	20.00	3.14	363.08	29.92	389.20	0.01	0.00
3.30	28	SLE Q	2	2	302.00	-4675.71	2012.32	305.25	54.00	158.01	0.13	238.86	20.00	12.31	1222.41	347.41	1190.17	0.07	0.03

Staffe - Verifiche armatura

X0	X1	Staff.	Br _y	Br _z	CC	TCC	bw _{r,y}	Vsdu _{r,y}	ctgθ _{r,y}	VRsd _{r,y}	VRcd _{r,y}	bw _{r,z}	Vsdu _{r,z}	ctgθ _{r,z}	VRsd _{r,z}	VRcd _{r,z}	Sic.T
<m>	<m>						<cm>	<daN>		<daN>	<daN>	<cm>	<daN>		<daN>	<daN>	
0.00	0.60	ø8/10	2	2	36	SLU	0.60	317.76	2.50	20888.60	37191.30	0.30	1821.31	2.34	44318.60	44318.60	24.33
0.00	0.60	ø8/10	2	2	19 (TG)	SLV	0.60	1272.56	2.50	20888.60	36985.30	0.30	13896.30	2.33	44173.10	44173.10	3.18
0.00	0.60	ø8/10	2	2	13 (TG)	SLV	0.60	5892.10	2.50	20888.60	36878.40	0.30	6116.72	2.32	44097.50	44097.50	3.55
0.60	2.70	ø8/15	2	2	29	SLU	0.60	103.02	2.50	13925.70	37279.60	0.30	1641.40	2.50	31627.90	42334.40	19.27
0.60	2.70	ø8/15	2	2	36	SLU	0.60	317.76	2.50	13925.70	37148.50	0.30	1581.31	2.50	31627.90	42185.60	20.00
0.60	2.70	ø8/15	2	2	19 (TG)	SLV	0.60	1272.56	2.50	13925.70	36985.30	0.30	13896.30	2.50	31627.90	42000.20	2.28
0.60	2.70	ø8/15	2	2	13 (TG)	SLV	0.60	5892.10	2.50	13925.70	36878.40	0.30	6116.72	2.50	31627.90	41878.90	2.36
2.70	3.30	ø8/10	2	2	29	SLU	0.60	103.02	2.50	20888.60	37129.60	0.30	1641.40	2.33	44275.10	44275.10	26.97
2.70	3.30	ø8/10	2	2	36	SLU	0.60	317.76	2.50	20888.60	36998.50	0.30	443.69	2.33	44182.50	44182.50	65.74
2.70	3.30	ø8/10	2	2	19 (TG)	SLV	0.60	1272.56	2.50	20888.60	36985.30	0.30	13896.30	2.33	44173.10	44173.10	3.18
2.70	3.30	ø8/10	2	2	13 (TG)	SLV	0.60	5892.10	2.50	20888.60	36878.40	0.30	6116.72	2.32	44097.50	44097.50	3.55

Caratteristiche nodi trave-pilastro

Nodo	Conf.	Staff.	F. Mod.	Br.	As1	As2	Bj	Hjc	Hjw	Ash
					<cmq>	<cmq>	<m>	<m>	<m>	<cmq>
116	N	ø12/10	Y+E	4	6.03	6.03	0.45	0.17	0.31	18.10
			Z+E	2	6.28	6.28	0.30	0.47	0.41	11.31

Verifiche nodi trave-pilastro

Nodo	F.	CC	TCC	Vc	Vjbd	vd _s	vd _i	Vjbr	Afni	Rfni	Vjwd	Vjwr
				<daN>	<daN>			<daN>	<daN/mq>	<daN/mq>	<daN>	<daN>
116	Y+	1	SLV	0.00	25963.20	0.00	1.20	52166.00	780810.00	507590.00	25714.30	70808.80
		19	SLV	0.00	25963.20	0.00	0.75	52166.00	780810.00	507590.00	25807.60	70808.80
		Z+	1	SLV	0.00	27045.00	0.00	1.20	97628.20	150582.00	---	---